





دانشگاه صنعتی شاهرود

دانشکده مکانیک

پایان نامه کارشناسی ارشد رشته مهندسی مکانیک گرایش طراحی کاربردی

عنوان پایان نامه :

بررسی تجربی و عددی کمانش ورق‌های فولادی مستطیلی

دارای گشودگی با دو لبه صلب

اساتید راهنما :

دکتر محمود شریعتی

دکتر اردشیر گرمی

دانشجو :

یاشار فرجیان محترم

تابستان ۸۶

تقدیم به دو فرشته ،

پدر و مادرم

اکنون که به لطف ایزد منان این پایان نامه به پایان رسیده است، بر خود واجب می دانم که از زحمات و مساعدت های بی دریغ و راهنمائی های سودمند استاد ارجمندم آقای دکتر شریعتی کمال تقدیر و تشکر را داشته باشم.

همچنین از استاد نمونه، آقای دکتر ایپکچی که نقش به سزایی دوران کارشناسی ارشد بنده داشتند بی نهایت سپاسگزارم.

از دوست ارجمندم آقای مسعود مهدیزاده نیز که همواره یار و یاور بنده در پیشبرد این پروژه بودند، کمال تشکر را دارم.

چکیده

ورق‌های فولادی در بسیاری از سازه‌ها مانند سازه‌های عرشه و بدنه کشتی‌ها، پل‌ها و سازه‌های صنایع هوافضا وجود دارند. در بسیاری از موارد، این صفحات در معرض بار فشاری تک‌محوره قرار دارند که زمینه را برای ناپایداری و کمانش ورق فراهم می‌آورد. گاهی، وجود گشودگی در ورق‌ها جهت بازرسی، نگهداری و سرویس، اجتناب ناپذیر است. در این موارد، وجود این گشودگی‌ها توزیع تنش در ورق را تغییر داده و ممکن است پایداری آنها را به طور چشمگیری کاهش دهند. لذا ضروری است که رفتار کمانش این گونه ورق‌ها مورد تحلیل و بررسی دقیق قرار گیرد. در این تحقیق رفتار کمانشی ورق‌های مستطیلی دارای گشودگی دایروی و شیاری شکل به صورت تجربی و عددی مورد بررسی قرار گرفته است. روش تحلیل عددی بکار گرفته شده، روش المان محدود می‌باشد که بدین منظور از نرم افزار ABAQUS استفاده شده است. از نسبت طول به عرض‌های مختلف و گشودگی‌های با مساحت، هندسه و موقعیت متفاوت در ورق مستطیلی استفاده شده و تاثیر این پارامترها در بار کمانش بررسی شده است. مشاهده شده است که نتایج تجربی به خوبی نتایج تحلیل المان محدود را تائید می‌کنند.

کلمات کلیدی : کمانش، ورق مستطیلی، گشودگی، بار فشاری، روش المان محدود، روش تجربی

فهرست مطالب

عنوان	صفحه
فصل اول : مقدمه	۱
فصل دوم : مروری بر مطالعات انجام گرفته	۳
فصل سوم : تئوری حاکم بر کمانش ورق‌های تخت مستطیلی	۱۷
۱-۳- مقدمه ای بر تئوری خمشی ورق‌ها	۱۸
۲-۳- معادلات تعادل غیر خطی	۲۳
۱-۲-۳- برآیند نیروها و گشتاورها	۲۳
۲-۲-۳- انرژی پتانسیل پایدار	۲۶
۳-۲-۳- مسیرهای تعادل غیر خطی	۳۲
۳-۳- معادلات خطی پایداری	۳۲
۱-۳-۳- معیار تعادل در مجاورت	۳۳
۲-۳-۳- معیار حداقل انرژی پتانسیل	۳۵
۴-۳- کاربردهای معادلات پایداری	۳۸
۱-۴-۳- ورقی که چهار لبه آن روی تکیه گاه ساده قرار دارد	۳۸
۲-۴-۳- سایر شرایط مرزی	۴۱
۵-۳- خرابی ورق‌ها	۴۴
۶-۳- رفتار پس از کمانش ورق‌ها	۴۸
فصل چهارم : تحلیل عددی با استفاده از روش المان محدود	۵۱
۱-۴- تحلیل Buckle	۵۳

۵۴Static,Riks تحلیل	۲-۴
۵۵خواص مکانیکی ورق ها	۳-۴
۵۶هندسه نمونه‌ها	۴-۴
۵۹شرایط مرزی	۵-۴
۵۹المان بندی نمونه‌ها	۶-۴
۶۰فرآیند تحلیل	۷-۴
۶۱نتایج تحلیل المان محدود	۸-۴
۶۲نتایج تحلیل عددی نمونه‌های دارای یک گشودگی دایروی	۱-۸-۴
۶۷نتایج تحلیل عددی نمونه‌های دارای بیش از یک گشودگی دایروی	۲-۸-۴
۷۴نتایج تحلیل عددی نمونه‌های دارای گشودگی شیاری شکل	۳-۸-۴
۸۱بررسی تاثیر نقص اولیه	۹-۴
۸۳بررسی تاثیر فاصله طولی مرکز گشودگی از مرکز صفحه	۱۰-۴
۸۵بررسی تاثیر زاویه شیار در نمونه‌های دارای گشودگی شیاری شکل	۱۱-۴
۸۸ فصل پنجم : بررسی تجربی کمانش ورق‌های مستطیلی	
۸۹آزمایش کشش استاندارد	۱-۵
۹۲اندازه گیری نقص اولیه	۲-۵
۹۳تست کمانش	۳-۵
۹۴نتایج تست‌های تجربی	۴-۵
۹۴نتایج تحلیل تجربی نمونه‌های دارای یک گشودگی دایروی	۱-۴-۵
۹۹نتایج تحلیل تجربی نمونه‌های دارای بیش از یک گشودگی دایروی	۲-۴-۵
۱۰۷نتایج تحلیل تجربی نمونه‌های دارای گشودگی شیاری شکل	۳-۴-۵

فصل ششم : بحث و نتیجه‌گیری	۱۱۵
۱-۶- مقایسه نتایج	۱۱۵
۲-۶- رابطه تجربی برای محاسبه بار کمانش ورق‌های دارای گشودگی شیاری	۱۳۹
فصل هفتم : نتایج و پیشنهادات	۱۴۰
مراجع	۱۴۳
چکیده انگلیسی	۱۴۴
عنوان انگلیسی	۱۴۵

فصل اول

مقدمه

کمانش یکی از پیچیده‌ترین پدیده‌ها در مکانیک جامدات می‌باشد. این پدیده، سازه‌هایی را تهدید می‌کند که نازک بوده و تحت نیروی فشاری و یا در حوزه تنش‌های فشاری واقعند. سازه‌هایی مانند ستون‌ها، ورق‌ها و پوسته‌ها سازه‌های رایجی هستند که کاربردهای بسیار متنوعی در صنایع مکانیک، عمران، هوافضا و کشتی‌سازی دارند، که مهمترین مد خرابی آنها، زمانی که تحت نیروی فشاری باشند، پدیده کمانش است.

پدیده کمانش از موضوعات مهم و کاربردی در حوزه مهندسی مکانیک است. قطعات بسیار زیادی وجود دارند که در حین کار ممکن است تحت اثر بارگذاریهایی مختلف محوری، خمشی یا عرضی دچار کمانش شوند. اگر قطعه‌ای دچار کمانش گردد، موجب زوال و از کار افتادگی آن قطعه خواهد شد.

ورق‌های فولادی در بسیاری از سازه‌ها مانند سازه‌های عرشه و بدنه کشتی‌ها، پل‌ها و سازه‌های صنایع هوافضا وجود دارند. در بسیاری از موارد، این صفحات در معرض بار فشاری تک‌محوره قرار دارند که زمینه را برای ناپایداری و کمانش ورق فراهم می‌آورد.

گاهی، وجود گشودگی در ورق‌ها جهت بازرسی، نگهداری و سرویس، اجتناب ناپذیر است. در این موارد، وجود این گشودگی‌ها توزیع تنش در ورق را تغییر داده و ممکن است پایداری آنها را به

طور چشمگیری کاهش دهند. لذا ضروری است که رفتار کمانش این گونه ورق ها مورد تحلیل و بررسی دقیق قرار گیرد.

در این تحقیق رفتار کمانشی ورقهای دارای گشودگی به روش عددی و نیز بطور تجربی مورد بررسی قرار گرفته است. نمونه های انتخاب شده دارای نسبت های طول به عرض مختلف بوده، مکان، هندسه و مساحت گشودگی و نیز تعداد گشودگی ها در آنها متغیر می باشد. شرایط مرزی به صورت دو سر آزاد و دو سر گیر دار انتخاب شده است. در بررسی تجربی از یک دستگاه پیشرفته بار گذاری تک محوره سروهیدرولیک INSTRON 8802 استفاده شده است. در بررسی المان محدود از نرم افزار ABAQUS 6.6 استفاده شده است.

در فصل دوم مروری بر مطالعات انجام شده انجام گرفته است و چند روش برای تحلیل کمانش ورقها مختصراً شرح داده شده است. فصل سوم حاوی تئوری حاکم بر کمانش ورق ها میباشد. البته لازم به ذکر است که در این تحقیق به تحلیل تئوری پرداخته نشده و این فصل صرفاً جهت آشنایی با کلیات تئوری کمانش آورده شده است. در فصل چهارم بررسی المان محدود به تفصیل بیان شده و در فصل پنجم نتایج تجربی مشاهده می شود. در فصل ششم نتایج تجربی و عددی با هم مقایسه شده و رابطه ای بر اساس نتایج تجربی برای پیش بینی بار کمانش نمونه های دارای گشودگی شیاری شکل، پیشنهاد شده است. نتایج تحقیق در فصل آخر بیان شده است.

فصل دوم

مروری بر مطالعات انجام گرفته

مسأله کمانش ورق مستطیلی دارای تکیه گاههای ساده چهار لبه و با طول a ، عرض b و ضخامت t ، برای اولین بار توسط Timishinko [۱] در سال ۱۹۶۱ مورد مطالعه قرار گرفت و با در نظر گرفتن فقط ترم درجه اول در معادله حاکم، تنش بحرانی به این صورت حاصل شد :

$$\sigma_{cr} = k \pi^2 E / (12(1-\nu^2)) (t/b)^2 \quad (۱-۲)$$

بطوریکه k ضریب بی بعد کمانش ورق بوده و به نوع بارگذاری ، شرایط مرزی و نسبت طول به عرض a/b بستگی دارد. برای شرایط مرزی تکیه گاه ساده و بارگذاری فشاری تک محوره در دو لبه کوتاه ، k به این صورت نوشته می شود:

$$k = \left(\frac{1}{m} \frac{a}{b} + m \frac{b}{a} \right)^2 \text{ و } m=1,2,\dots \quad (۲-۲)$$

که کمترین مقدار k ، در این حالت برابر چهار می باشد.

این مقدار مینیمم برای $a/b = 1$ در $m=1$ و برای $a/b = 2$ در $m=2$ و ... اتفاق می‌افتد. مشاهده شده است که کمترین بار مختص حالتی است که مقدار نسبت طول به عرض، عدد صحیح می‌باشد و مستقل از مقدار این پارامتر است. بنا براین بسیاری از محققان ورق مربع ($a/b = 1$) را برای بررسی رفتار کمانشی صفحات مستطیلی با نسبت طول به عرض عدد صحیح، مورد مطالعه قرار داده‌اند.

Khaled و همکارانش [۴]، در سال ۲۰۰۱ در مقاله‌ای تحت عنوان بررسی تاثیر نسبت طول به عرض در کمانش صفحات دارای گشودگی غیر مرکزی تحت بار تک محوره، این پدیده را مورد مطالعه قرار داده‌اند. در تحقیق Khaled از روش FEM برای تعیین بار کمانش استفاده شده است. آنها شرایط مرزی را برای هر چهار لبه، ساده در نظر گرفته و نسبت‌های طول به عرض ۱ تا ۴ را برای بررسی تاثیر این پارامتر بر روی بار کمانش بررسی کرده‌اند. دو هندسه برای گشودگی به صورت دایروی و مستطیلی با گوشه‌های گرد شده مورد بررسی قرار گرفته و مرکز گشودگی در نقاط مختلفی از صفحه واقع شده است.

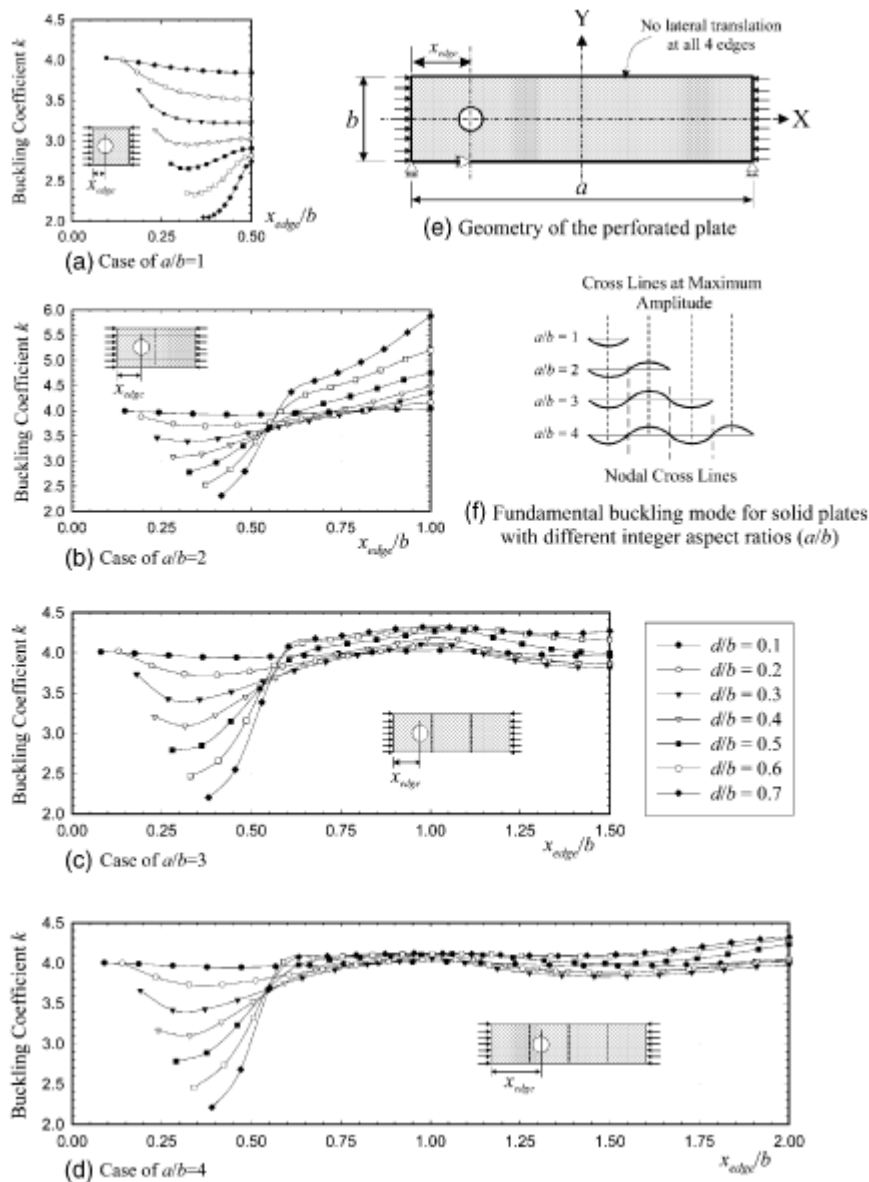
در ورق‌های نازک (یعنی مقادیر بزرگ b/t)، غالباً ناپایداری در تنش بحرانی σ_{cr} که بسیار کوچکتر از تنش تسلیم ماده σ_{ys} می‌باشد، رخ می‌دهد، مخصوصاً در مواردی که ورق دارای گشودگی نباشد، که این تنش، تنش کمانش الاستیک نامیده می‌شود. اما در ورق‌های ضخیم یا در ورق‌های دارای گشودگی بزرگ، ناپایداری ممکن است هنگامی رخ دهد که ماده به تنش تسلیم برسد، که در این حالت، کمانش غیر الاستیک نامیده می‌شود.

بنابراین در ورق‌های بسیار ضخیم، زوال قطعه ممکن است پیش از کمانش رخ دهد. در تحقیق Khaled [۴]، ورق‌ها نازک فرض شده‌اند تا تنش کمانش کمتر از تنش تسلیم ماده بوده و کمانش الاستیک مورد بررسی قرار بگیرد.

وی از نرم افزار المان محدود ANSYS برای تعیین بار کمانش استفاده کرده است. پس از تحلیل المان محدود، ضرایب کمانش k بدست آمده برای صفحات با سوراخ جابجا شده در امتداد طولی صفحه در شکل (۱-۲) نشان داده شده است.

در شکل ۱-۲ مشاهده می شود که برای اندازه کوچک سوراخ (مثلاً برای $d/b = 0.1$) ، جایگاه سوراخ تأثیر کمی بر روی ضریب کمانش دارد، مخصوصاً برای حالتی که نسبت طول به عرض صفحه بزرگتر می شود.

همچنین مشاهده می شود که رفتار کمانش صفحات مستطیلی با نسبت طول به عرض ۲ ، ۳ ، و ۴ هنگامی که سوراخ در امتداد طولی صفحه و در نیمه بیرونی پانل آخری جابجا می شود



شکل ۱-۲ ضرایب کمانش k برای صفحات با سوراخ جابجا شده در امتداد طولی صفحه [۴]

($x_e / b < 0.5$) ، مشابه صفحه مربعی شکل است، با این تفاوت که به مقدار بسیار کم ، پارامترها k افزایش می یابد.

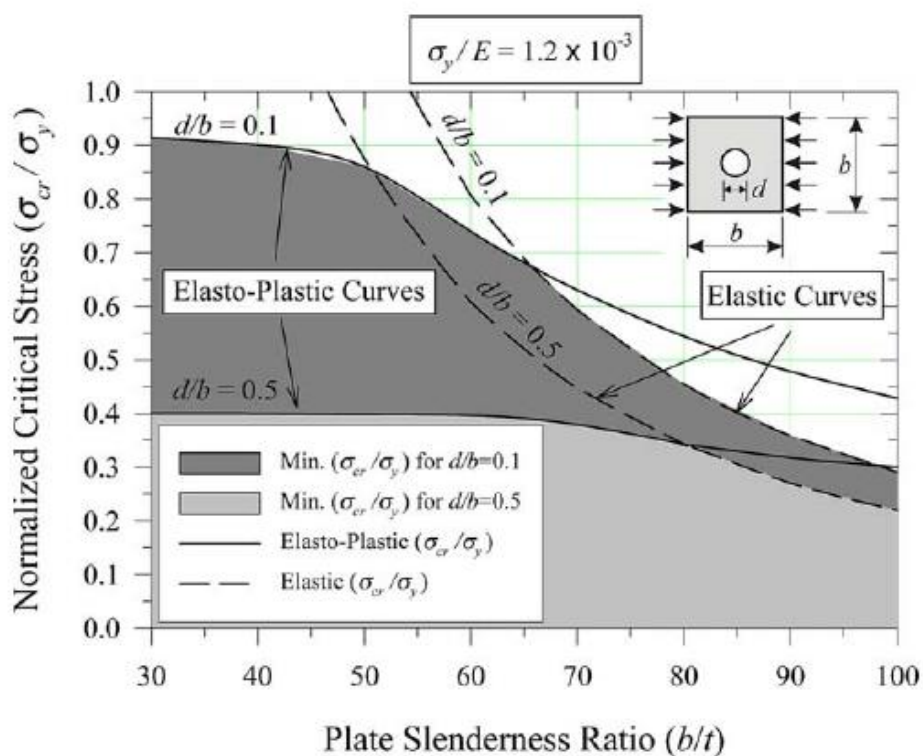
همچنین مشاهده می شود که یک منطقه نامطلوبی برای جایگاه سوراخ‌های بزرگ وجود دارد که در آن ناحیه، ضریب کمانش به مقدار چشمگیری کاهش می یابد. این منطقه را می توان برای x_e / b بین 0.25 و 0.5 تعریف کرد. به این منظور پیشنهاد می‌شود که وقتی اجبار برای قرار گرفتن سوراخ در این ناحیه وجود دارد، سایز سوراخ $d/b < 0.4$ در نظر گرفته شود تا k از 3 کوچکتر نشود.

Khaled [۴]، همچنین پیشنهاد می کند که برای اینکه $k > 3.4$ باشد باید فاصله لبه گشودگی از لبه بارگذاری نشده ورق (لبه های طولی) بیشتر از $0.1 b$ باشد چرا که با افزایش این فاصله، پایداری ورق بیشتر می شود. در بررسی گشودگی مستطیلی شکل نیز وی پیشنهاد می‌کند که عرض مستطیل در راستای طولی صفحه قرار بگیرد چرا که در بررسی وی مشخص شده است که گشودگی مستطیلی که در طول آن که در راستای طولی صفحه قرار گرفته بار کمانش را کاهش می دهد.

Khaled در مقاله‌ای تحت عنوان کمانش الاستوپلاستیک صفحات دارای گشودگی تحت فشار تک محور در سال 2004 [۵]، به بررسی این موضوع پرداخته است. وی در این تحقیق از روش FEM برای تعیین تنش کمانش صفحات دارای گشودگی دایروی شکل بهره برده است. وی منحنی های مربوط به تنش الاستیک و نیز تنش الاستوپلاستیک بر حسب نسبت ضخامت ورق (b/t) برای جنس های متفاوتی از فولاد را بدست آورده که از این اطلاعات برای تعیین در مد خرابی حاکم می توان استفاده کرد. در این مقاله نیز جایگاه گشودگی در امتداد طولی صفحه جابجا شده است تا تأثیر این پارامتر بر رفتار کمانشی مورد بررسی قرار گیرد. با بررسی نتایج این تحقیق مشاهده می شود که تنش بحرانی کمانش با افزایش نسبت ضخامت ورق (b/t) ، همیشه کاهش می یابد و این افزایش برای مقادیر بزرگتر نسبت ضخامت، مخصوصاً برای سایز کوچک گشودگی‌ها که خرابی قطعه از حالت الاستوپلاستیک به پلاستیک خالص تغییر فاز می دهد ، بیشتر است. در این مقاله نیز خالد [۵]، از نرم افزار المان محدود ANSYS استفاده کرده است.

شرایط مرزی در هر چهار لبه ساده در نظر گرفته شده است. وی خواص ماده را الاستیک خطی-پلاستیک کامل در نظر گرفته است و از پدیده کار سختی صرفنظر کرده است. در این مقاله حداکثر مقدار نقص اولیه $b/2000$ در نظر گرفته شده است. وی از روش arc-length برای بدست آوردن منحنی بار-جابجایی استفاده کرده است.

در شکل (۲-۲) تغییرات تنش کمانش بر حسب نسبت ضخامت برای فولاد A36 آورده شده است.



شکل ۲-۲ تنش کمانش بر حسب نسبت ضخامت برای فولاد A36 [۵]

همانطور که مشاهده می شود، برای ورقهای نازکتر، تنش کمانش غیر الاستیک بزرگتر از تنش الاستیک برای یک سایز سوراخ می باشد که این اختلاف با افزایش b/t افزایش می یابد. نقطه تلاقی منحنی های الاستیک و غیر الاستیک تعیین کننده نسبت (b/t) بحرانی می باشد که در آن تنش کمانشی از الاستیک به غیر الاستیک تغییر می کند.

Khaled [۵]، نتایج این تحقیق را بدین صورت بیان می کند که برای صفحه مربعی شکل با سوراخ مرکزی تحت بار فشاری تک محوره، برای سایز کوچک سوراخ ($d/b < 0.3$) کمانش الاستیک رخ می دهد و همچنین در مواردی که $b/t > 65$ (برای فولاد A36) ، بزرگتر از ۵۵ برای A572 درجه ۵۰ و بزرگتر از ۵۰ برای فولاد A572 درجه ۶۰ می باشد، نیز کمانش در محدوده الاستیک می باشد.

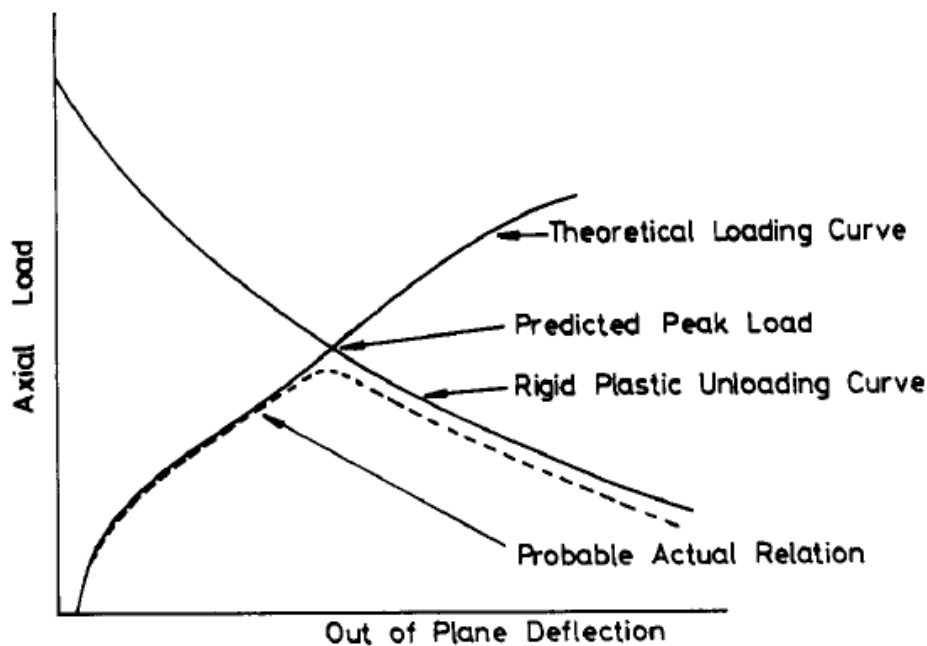
برای سوراخهای بزرگ ($d/b = 0.6, 0.7$) ، نسبت ضخامت تأثیر قابل اغماضی در تنش کمانش داشته و کمانش کاملاً غیرالاستیک رخ می دهد.

وی نتیجه گیری می کند که برای ورقهای بسیار نازک درجه فولاد تأثیر چندانی بر تنش کمانش ندارد چرا که در کمانش بدون توجه به سایز سوراخ، کاملاً الاستیک می باشد (بجز در حالت $d/b = 0.7$).

برای ورقهای ضخیم، در تمام سایز سوراخها کمانش غیرالاستیک رخ می دهد و تنش بحرانی با افزایش قطر سوراخ، کاهش می یابد. همچنین مقدار تنش بحرانی بستگی به تنش تسلیم فولاد دارد که با بیشتر شدن تنش تسلیم، افزایش می یابد.

خالد [۵]، پیشنهاد می کند که در کمانش الاستوپلاستیک، فاصله مرکز سوراخ از لبه صفحه از ۰٫۱ کمتر نباشد ($x_e / b > 0.1$) ، چرا که در غیر اینصورت تنش کمانش به شدت کاهش می یابد. وی همچنین بیان می کند که ورق بیشترین پایداری را در حالتی از خود نشان می دهد که برای تمام سایز گشودگیها، سوراخ در مرکز صفحه واقع شده باشد.

Narayanan [۶]، در سال ۱۹۸۴ به بررسی ظرفیت نهایی ورقهای دارای گشودگی تحت بار فشاری تک محوره پرداخته است. وی از روشی تقریبی برای پیش بینی بار کمانش استفاده کرده و با نتایج تجربی، کار تئوری خود را تأیید کرده است. وی در این مقاله ورقهای مربعی دارای گشودگی دایروی و مربعی بررسی کرده است. وی بار کمانش را از نقطه تلاقی بین منحنی تئوری بارگذاری و منحنی باربرداری بدست آمده از تئوری پلاستیک بدست می آورد (شکل ۲-۳) و با مقایسه با نتایج تجربی و نیز مطالعات تئوری انجام شده نشان می دهد که این روش دارای دقت مناسب برای ورقها در عمل می باشد.



شکل ۲-۳ رفتار بار-جابجایی ورق تحت فشار تک محوری [۶]

Narayanan [۶]، در مقاله خود، تأثیر قطر گشودگی و نیز تأثیر ضخامت ورق را در رفتار کمانشی بررسی کرده است. وی نقص اولیه ورقهای مورد مطالعه را دستگاههای دقیق اندازه گیری کرده و سپس تست های تجربی را انجام داده است. نتایج حاصله در جدول (۲-۱) آورده شده است.

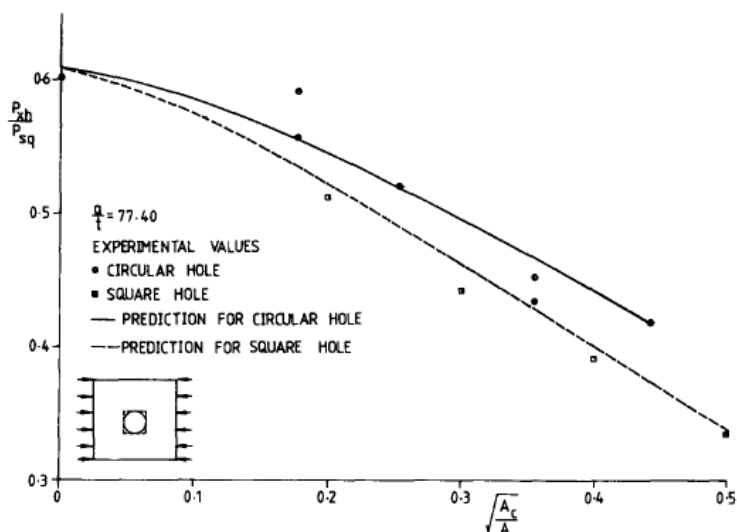
همانطور که در جدول ۲-۱ مشاهده می شود، نتایج تئوری و تجربی با هم تطابق دارند. نتایج Narayanan [۶] نشان می دهد که تغییر مکان گشودگی برای سوراخهای کوچکتر از $0.3a$ تأثیر اندکی بر ضریب کمانش دارند. برای گشودگی های بزرگتر، ضریب کمانش با بیشتر شدن فاصله گشودگی از مرکز صفحه کاهش می یابد. برای گشودگی با سایز $0.5a$ ، کاهش خطی در ضریب کمانش از ۳ به ۲ در افزایش فاصله گشودگی از مرکز سوراخ از ۰ تا $0.2a$ مشاهده می شود. در شکل (۲-۴) ، نتایج تحقیق Narayanan [۶] برای سوراخهای دایروی و مربعی آورده شده است، همانطور که مشاهده می شود، ورقهای با گشودگی مربعی شکل دارای پایداری کمتری می باشند.

Shanmagam [Y], در سال ۱۹۹۹ در مقاله‌ای تحت عنوان فرمول طراحی برای ورقهای دارای گشودگی تحت فشار محوری، به بررسی کمانش این گونه ورقها پرداخته است. وی در این مقاله رفتار کمانشی و پس کمانشی ورقهای سوراخدار با شرایط مرزی مختلف تحت بار فشاری تک محوره و دو محوره را مورد مطالعه قرار داده است.

Shanmagam [Y] در تحقیق خود از نرم افزار المان محدود ABAQUS برای بررسی رفتار کمانشی ورقهای مربعی دارای گشودگی دایروی و مربعی شکل استفاده کرده است. وی پارامترهایی همچون شکل و سائز گشودگی، ضخامت ورق، شرایط مرزی و نوع بارگذاری را مورد بررسی قرار داده است

جدول ۲-۱ نتایج بدست آمده توسط Narayanan [۶]

Group	Specimen no.	$\frac{a}{t} = \frac{b}{t}$	$\frac{d}{a}$ or $\frac{a'}{a}$	Observed values				Predicted strengths $\frac{P_{xh}}{P_{sq}}$	$\frac{P_{xh}/P_{sq}}{P_{ult}/P_{sq}}$
				P_{cr} Average (kN)	K_u Average (kN)	P_{ult} Average (kN)	$\frac{P_{ult}}{P_{sq}}$		
1	PL 1	77.40	0.0	25.064	4.013	39.32	0.603	0.61	1.012
	CIR 2a	77.40	0.2	22.504	3.604	37.46	0.574	0.56	0.976
	CIR 2b	77.40	0.2	23.228	3.720	38.70	0.593	0.56	0.944
	CIR 3a	77.40	0.3	21.311	3.413	33.94	0.520	0.51	0.981
	CIR 4a	77.40	0.4	19.706	3.156	29.57	0.453	0.47	1.038
	CIR 4b	77.40	0.4	18.358	2.940	28.39	0.435	0.47	1.080
	CIR 5a	77.40	0.5	19.482	3.120	27.35	0.419	0.42	1.002
2	CIR 6	42.30	0.291	—	—	42.17	0.721	0.70	0.971
	CIR 7	53.25	0.291	—	—	26.18	0.583	0.615	1.055
	CIR 8	88.48	0.291	6.341	3.205	12.35	0.465	0.48	1.032
	CIR 9	124.10	0.291	2.320	3.235	7.33	0.381	0.41	1.076
	CIR 10	42.3	0.465	—	—	33.64	0.575	0.56	0.974
	CIR 11	53.25	0.465	—	—	22.14	0.493	0.51	1.034
	CIR 12	88.48	0.465	5.926	2.995	10.89	0.410	0.41	1.000
3	Square								
	SQ 2	77.40	0.2	22.60	3.62	33.48	0.513	0.525	1.024
	SQ 3	77.40	0.3	20.29	3.25	28.85	0.442	0.46	1.041
	SQ 4	77.40	0.4	18.23	2.92	25.52	0.391	0.40	1.023
	SQ 5	77.40	0.5	19.17	3.07	21.86	0.335	0.34	1.015
Mean								1.015	
Standard deviation								0.037	



شکل ۲-۴ بار کمانش ورق‌های دارای گشودگی دایروی و مربعی [۶]

Shanmagam [۷]، برای بررسی دقت آنالیز انجام شده با ABAQUS، نتایج تجربی بدست آمده توسط Narayanan [۶] را با این نرم افزار المان محدود بررسی کرده و به تطابق خوبی دست یافته است، به طوری که حداکثر اختلاف بین نتایج تجربی نارایانان و بررسی FEM با این نرم افزار ۷٪ حاصل شده است که بیانگر این واقعیت است که این نرم افزار المان محدود توانایی مدل‌سازی کمانشی و پیش بینی بار کمانش ورق‌های دارای گشودگی را با دقت مناسبی دارا می باشد.

در تحلیل ورق‌های دارای گشودگی پارامترهایی که باید در نظر گرفته شوند، بسیار زیاد هستند. مهمترین پارامتر به اعتقاد Shanmagam [۷] نسبت ضخامت ورق $\frac{b}{t}$ می باشد. پارامتر موثر دیگر نسبت سائز سوراخ به سائز صفحه است. وی نقص اولیه را معادل $\frac{b}{1000}$ برای تمامی ورقها در نظر گرفته است. دیگر پارامترهای در نظر گرفته شده، شرایط مرزی و نوع بارگذاری (تک محوره و دو محوره) می باشند. در تحقیق وی، تحلیل‌ها با ثابت در نظر گرفتن همه پارامترها غیر از یک پارامتر که در حال تغییر می‌باشد انجام شده و بار بحرانی بدست آمده است و از این نتایج برای ارائه فرمول استفاده شده است.

به عنوان مثال برای یک شرایط مرزی و بارگذاری در نظر گرفته شده، نسبت بار بحرانی به بار تسلیم، تابعی از نسبت ضخامت و نسبت سائز گشودگی به عرض ورق d/b در نظر گرفته شده و تغییرات بار بحرانی بر بار تسلیم بر حسب نسبت ضخامت و نسبت d/b بدست آمده و سپس، یک چند جمله ای درجه دوم از این نتایج عبور داده شده است که فرمول پیشنهادی برای این حالت، بدین ترتیب حاصل شده است.

Shanmagan [۷]، فرمول های پیشنهادی خود را با نتایج تجربی Narayanan [۶] مقایسه کرده و مشاهده کرده است که نتایج با هم تطابق خوبی دارند. وی همچنین برای بررسی فرمولهای خود، نتایج حاصل از این فرمولها را با نتایج بدست آمده توسط نرم افزار ABAQUS نیز تأیید کرده است. در مقایسه این نتایج مشاهده شده است که فرمولهای پیشنهادی وی، پیش-بینی اندکی محافظه کارانه با خطای کمتر از ۱۰٪ ارائه می دهد، که این نتایج برای طراحی قابل قبول می باشند.

Roberts [۸]، نیز در سال ۱۹۸۴ با استفاده از روش FEM، کمانش الاستوپلاستیک ورقهای دارای گشودگی را بررسی کرده است.

Roberts [۸] از المانهای مثلثی سه گرهی که هر گره ۵ درجه آزادی دارد برای مدل کردن صفحه استفاده کرده و روابط تنش-کرنش الاستوپلاستیک را بر اساس تابع ناحیه تسلیم تقریب Ilyushin با فرض پلاستیک کامل شدن کل ضخامت ورق برای سطح تسلیم در نظر گرفته است. بر این اساس، کمانش الاستیک ورق منجر به حل معادله $\det[KL] + \mu[KG] = 0$ می شود که $[KL]$ ماتریس سختی خمشی، غشایی و $[KG]$ ماتریس سختی هندسی که بستگی به تنشهای غشایی قبل از کمانش دارد، می باشند. کمترین مقدار ویژه μ معرف فاکتور بار بحرانی و بردار ویژه مربوطه معرف شکل کمانش می باشد. وی ورق مربعی دارای تکیه گاههای ساده را مورد مطالعه قرار داده است.

Roberts [۸]، نقص اولیه ورق را به صورت $w_0 = 0.145b\sqrt{\sigma_{ys}/E} \sin(\pi x/b) \sin(\pi y/b)$ در نظر گرفته است که این مقدار را از کدی مربوط به طراحی پلهای فولادی استخراج کرده است.

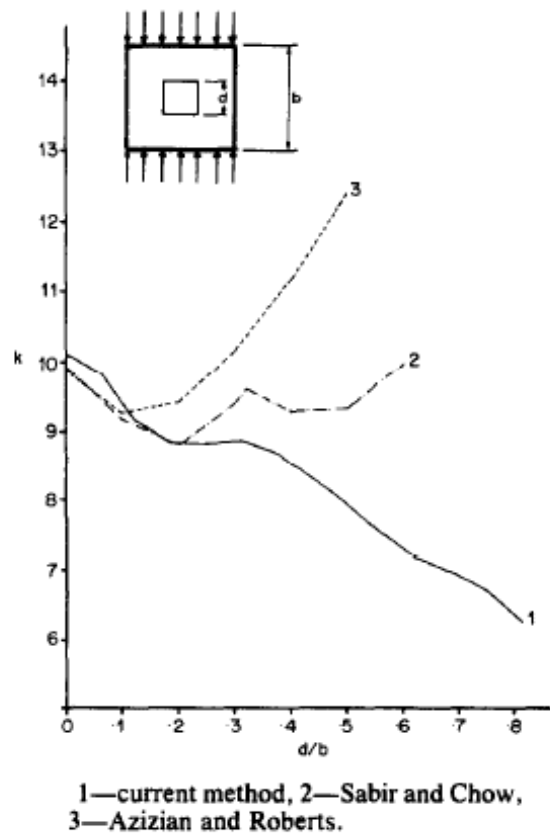
در نتایج Roberts [۸] ، برای سایز سوراخ d/b بین ۰ تا ۰/۵ ، اندازه گشودگی تاثیر چندانی بر بار کمانش ندارد و بار کمانش با افزایش اندازه سوراخ، مخصوصاً برای مقادیر کوچکتر b/t کاهش می‌یابد.

نتایج حل المان محدود رابرتز با اختلاف بسیار اندکی با نتایج تئوری و تجربی موجود مطابقت می‌کند که این مساله تائیدی بر نتایج وی می‌باشد.

Mingot [۱۳] ، در مقاله‌ای پیشنهاد کرده است که برای بررسی کمانش ورق‌های دارای گشودگی، این مساله را با روشی به نام همگن سازی به مساله کمانش ورق بدون گشودگی تقلیل داد. وی مساله مقدار ویژه و نیز پس کمانش ورق را با این روش حل کرده است.

Brown [۹] ، با استفاده از روش ماتریس مستقیم، پایداری ورق‌های مربعی شکل را بررسی کرده است. به عقیده وی دقت در تعیین توزیع تنش در ورق عامل اساسی برای دقت در پیش‌بینی بار کمانش می‌باشد. نتایج تحلیل‌های براون در گشودگی‌های کوچک تطابق خوبی با نتایج رابرتز [۸] دارد (شکل ۲-۵). اما در گشودگی‌های بزرگتر اختلاف بیشتر می‌شود که براون پیدا کردن دلیل این اختلاف را ملزم به تحقیقات بیشتر دانسته است.

Maan [۱۰] از روش المان محدود شبکه ثابت FGFEA برای حل مساله کمانش استفاده کرده است. وی در این مقاله به بررسی جزئیات روش FGFEA برای تعمیم آن جهت حل مسائل مقدار ویژه مانند فرکانس طبیعی و کمانش می‌پردازد. دیسکریت کردن یک جسم با استفاده از روش تحلیل المان محدود منجر به تولید یک سری المانهایی می‌شود که از مرز سازه شکل گرفته‌اند. بنابراین ارتباط مستقیمی بین مرز و مش وجود دارد، به طوریکه هر تغییری در مرزها در مش بندی تاثیر می‌گذارد. تغییرات مهم در مرز در مواقعی که مش نتواند سازه را به درستی پوشش دهد، می‌تواند منجر به لزوم مش بندی مجدد باشد. علاوه براین، با افزایش پیچیدگی هندسی سازه، زمان دیسکریت کردن به طور چشمگیری افزایش می‌یابد. این عوامل ناکارآمدی قابل توجهی را در پروسه FEM موجب می‌شوند، به خصوص زمانی که مش بندی‌های مجدد متعدد نیاز باشد.



شکل ۲-۵ مقایسه نتایج برای شرایط مرزی گیردار در هر چهار لبه [۸]

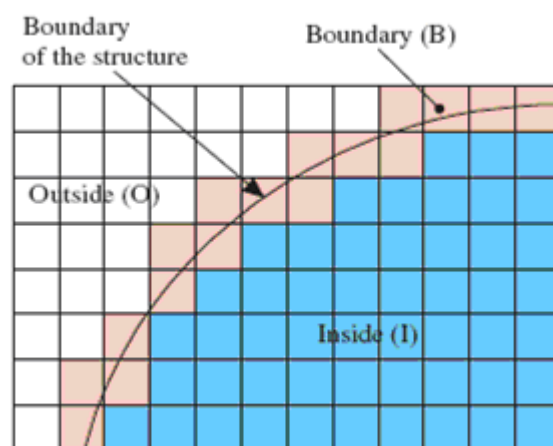
به منظور جایگزین کردن روشی دیگر به جای FEM در دهه های اخیر تعدادی از روشهای تحلیل برای مسائلی که مرز سازه با مش سازگار نیست مورد بررسی قرار گرفته اند. این روشها، روشهای بدون مش نامیده میشوند، به طوریکه دیسکریت کردن به جای مش منجر به پیدایش زیر نواحی گرهها یا نقاط تحلیل می شود. روش تولید مجدد کرنل (PKPM)، روش بدون المان گالرکین (EFGM) از مهم ترین روشهای تحلیل بدون المان هستند، که با کارایی در زمینه های مسائل تغییر شکل زیاد غیر خطی و تحلیل شکست مورد استفاده قرار می گیرند.

از دیگر روشهای جایگزین برای سازه هایی که مش با مرز سازه تطابق ندارد، روش تحلیل المان محدود شبکه ثابت (FGFEA) است. در این روش، دیسکریت کردن عبارتست از قرار دادن شبکه منظم ثابتی از المانهای مستطیلی با اندازه مناسب بر روی فضای سازه. سپس المانها با در

نظر گرفتن مکان آنها درون ناحیه دیسکریت شده جسم، به ۳ گروه متمایز تقسیم می شوند. این سه گروه عبارتند از : درونی (I)، بیرونی (O) و مرزی (B). مکان این المانها به ترتیب، درون، روی مرز و خارج از جسم می باشد که در شکل ۲-۶ نشان داده شده است.

به خاطر اینکه شبکه مستقل از جسم است، هیچ تغییر هندسی در جسم موجب بی ارزش شدن المانها نمی شود. خواص ماده برای هر المان بر حسب تابعی از نوع المان تعریف شده و احیاناً برای منعکس کردن تاثیر تغییرات هندسی اصلاح می شوند. المانهای بیرونی با ضرب یک مقدار بسیار کوچک در خواص مکانیکی ماده توصیف می شوند، تا نمایانگر فضای خارج از سازه باشند و خواص المانهای مرزی بر حسب تابعی از نسبت سطح جسم قرار گرفته در المان بر سطح فضای خالی در نظر گرفته می شود. وی مساله کمانش ورق مستطیلی دارای سوراخ دایروی را با این روش تحلیل کرده و نتایج را با روش المان محدود مقایسه کرده است، که به تطابق بسیار خوبی دست یافته است.

Anada [۱۱] ، مساله مقدار ویژه کمانش در ورقهای دوگانه پیوسته را بررسی کرده است. وی از ورقهای مربع و مستطیل شکل که دارای سوراخ مرکزی می باشند، به عنوان مثال عددی برای ورقهای متصل دو گانه استفاده کرده است. وی ضریب کمانش را محاسبه کرده با نتایج موجود و روش المان محدود مقایسه کرده است.



شکل ۲-۶ نحوه قرار گرفتن شبکه بر روی جسم [۱۰]

مقاله Anada [۱۱] به بررسی تحلیل کمانش ورقهای مربع سوراخدار و فاقد سوراخ با استفاده از روشی عددی بر پایه جابجایی و از نوع P و بر اساس تغییر شکل برشی مرتبه اول می-پردازد. این روش، امکان تحلیل ورق بدون سوراخ را با مدلی که فقط با یک ناحیه چهار گوش نشان داده می شود، فراهم می آمد و دقت نتایج را می توان با بالا بردن مرتبه چند جمله‌ای هایی را که برای میدان جابجایی بکار برده می شود، بهبود داد. بطور مشابه مسأله تحلیل ورق دوگانه پیوسته را می توان تنها با در نظر گرفتن دو زیر ناحیه در یک چهارم از هندسه انجام داد و از شرایط متقارن موجود در هندسه، بارگذاری و شرایط مرزی بهره برد. نتایج عددی در فرم بی بعد مربوط به ضریب کمانش $k = \frac{P_{cr} a}{\pi^2 D}$ بر حسب بار، طول، ضخامت و صلبیت خمشی محاسبه شده و با نتایج منتشر شده در مراجع و نیز روش المان محدود با استفاده از I-DEAS مقایسه شده است و به همخوانی قابل قبولی دست یافته است.

فصل سوم

تئوری حاکم بر کمانش ورق‌های تخت

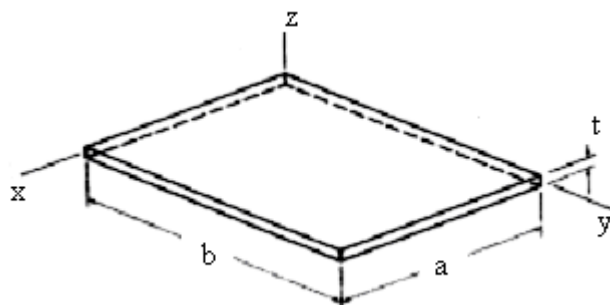
مستطیلی

ورق‌های تخت مستطیلی بدلیل سادگی نسبی معادلات حاکم مدل خوبی برای توصیف تعادل نیروها، معیار انرژی پتانسیل پایدار برای تعادل، معیار تعادل در مجاورت نقطه تعادل و معیار حداقل انرژی پتانسیل برای از دست دادن انرژی پایداری می باشد. بعنوان پیش زمینه معادلات بنیادین و سینماتیک دوبعدی تئوری ورق‌های نازک از معادلات متناظر با مکانیک جامدات سه بعدی استخراج شده اند. در ادامه، معادلات دیفرانسیل غیر خطی حاکم بر تعادل ورق‌ها، به دو روش برآیند نیروها و گشتاورها و سپس از روش معیار انرژی پتانسیل پایدار برای تغییر مکانهای صفحه میانی بدست می‌آید. سپس معادلات خطی از دست دادن پایداری متناظر در بخشهای بعدی یا معیار حداقل انرژی پتانسیل و معیار تعادل در مجاورت نقطه تعادل استخراج می شوند. در این قسمت به خاطر سادگی، معادلات پایداری ورق‌ها فقط برای بارهای لبه‌ای در صفحه استخراج شده‌اند. کاربردهای مثال‌های خاصی در ادامه بحث شده است.

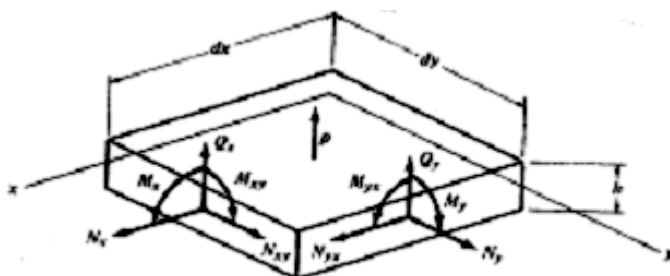
۱-۳- مقدمه ای بر تئوری خمشی ورق ها

در این بخش مقدمات ضروری برای تئوری خمشی ورق های نازک بطور مختصر و کامل ارائه شده است. مباحث مشروح در کتاب های تئوری ورق ها وجود دارد. در ابتدا یک ورق به طول a ، عرض b و ضخامت h تحت مؤلفه بار سطحی p بر حسب lb/in^2 عمود بر سطح ورق در نظر گرفته می شود. ورق در دستگاه مختصات کارتزین x, y, z تعریف می شود که x و y در صفحه میانی قرار دارند و z عمود بر سطح میانی مطابق شکل قرار گرفته است.

هدف تئوری ورقهای نازک، کاهش مسائل سه بعدی به مسأله تقریبی دو بعدی می باشد. گشتاورها و نیروهای داخلی که مانند شکل (۳-۲) بر لبه المان $dx dy$ ورق اعمال می شوند بر حسب نیروها و گشتاورها بر واحد طول لبه المان نمایش داده می شوند. نیروها و گشتاورها توسط معادلات زیر تنش های داخلی وابسته هستند.



شکل ۱-۳ ورق تخت مستطیلی [۲]



شکل ۲-۳ هیات تغییر شکل نیافته المان $dx dy$ ورق [۲]

$$\begin{aligned}
N_y &= \int_{-h/2}^{h/2} \bar{\sigma}_y dz & N_x &= \int_{-h/2}^{h/2} \bar{\sigma}_x dz \\
N_{yx} &= \int_{-h/2}^{h/2} \bar{\tau}_{yx} dz & N_{xy} &= \int_{-h/2}^{h/2} \bar{\tau}_{xy} dz \\
Q_y &= \int_{-h/2}^{h/2} \bar{\tau}_{yz} dz & Q_x &= \int_{-h/2}^{h/2} \bar{\tau}_{xz} dz \\
M_y &= \int_{-h/2}^{h/2} \bar{\sigma}_y z dz & M_x &= \int_{-h/2}^{h/2} \bar{\sigma}_x z dz \\
M_{yx} &= \int_{-h/2}^{h/2} \bar{\tau}_{yx} z dz & M_{xy} &= \int_{-h/2}^{h/2} \bar{\tau}_{xy} z dz
\end{aligned} \tag{۱-۳}$$

که

N_x, N_y, N_{xy}, N_{yx} = نیروهای برشی و قائم در صفحه

Q_x, Q_y = نیروهای برشی عرضی

M_x, M_y = گشتاورهای خمشی

M_{xy}, M_{yx} = گشتاورهای پیچشی هستند.

علائم $\bar{\sigma}_x, \bar{\sigma}_y, \bar{\tau}_{xy}$ و... مؤلفه های تنش در هر نقطه از ضخامت ورق هستند و متفاوت از

σ_x, τ_{xy} و... می باشند که فقط مربوط به مقادیر تنش در سطح میانی ($z = 0$) هستند.

از آنجایی که $\bar{\tau}_{xy} = \bar{\tau}_{yx}$ می باشد می توان از معادلات (۱-۳) نتیجه گرفت که $N_{yx} = N_{xy}$ و

$M_{xy} = M_{yx}$. به طور کلی نیروها و گشتاورها تابعی از مختصات x و y هستند.

تئوری ورقهای نازک با تقریبات ساده کننده زیر استخراج می شوند.

۱- فرض می شود خطوط قائم بر سطح میانی تغییر شکل نیافته، پس از تغییرشکل نیز قائم

مستقیم و بدون کشیدگی باقی می ماند، به طوری که از کرنش های برشی و قائم عرضی در استخراج

روابط سینماتیک ورق چشم پوشی می شود.

۲- تنشهای عرضی قائم در مقایسه با سایر مؤلفه های تنش کوچک فرض می شود، به طوری

که از آنها در روابط تنش کرنش صرف نظر می شود.

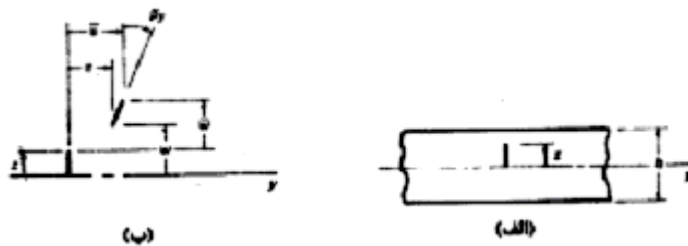
این تقریبات به فرضیات کیرشهف معروف هستند. نتیجه تقریب اول این است که مؤلفه های تغییر مکان در هر نقطه از سطوح میانی ورق \bar{u} ، \bar{v} و \bar{w} بر حسب مقادیر مؤلفه های سطح میانی u ، v و w با روابط زیر بیان می شوند (شکل ۳-۳ ملاحظه شود):

$$\begin{aligned}\bar{u} &= u + z\beta_x \\ \bar{v} &= v + z\beta_y \\ \bar{w} &= w\end{aligned}\quad (2-3)$$

که β_x و β_y به ترتیب چرخش نسبت محورهای x و y هستند.

تغییر مکانهای رده میانی با این محدودیت ها بیان می شوند که: کرنش ها نسبت به واحد کوچک هستند، چرخش ها نسبت به جهت های x و y نسبتاً کوچک هستند و چرخش نسبت به محور z به طور قابل صرف نظری کوچک می باشند، و برای چنین تغییر مکان هایی مؤلفه های $\bar{\epsilon}_x$ ، $\bar{\epsilon}_y$ و $\bar{\gamma}_{xy}$ روابط کرنش-تغییر مکان یک جسم سه بعدی عبارتند از

$$\begin{aligned}\bar{\epsilon}_x &= \bar{u}_{,x} + \frac{1}{2}\bar{w}_{,x}^2 \\ \bar{\epsilon}_y &= \bar{v}_{,y} + \frac{1}{2}\bar{w}_{,y}^2 \\ \bar{\gamma}_{xy} &= \bar{u}_{,y} + \bar{v}_{,x} + \bar{w}_{,x}\bar{w}_{,y}\end{aligned}\quad (3-3)$$



شکل ۳-۳ خط قائم بر سطح میانی ورق، قبل و بعد از تغییر شکل [۲]

اندیسهای X و Y نشانگر دیفرانسیل نسبت به X و Y می باشند. این عبارت ها برای ورق ها همانند معادلات ستون ها می باشند. بنابراین برای این کلاس از تغییر مکان $\beta_x - w_{,x}$ و $\beta_y - w_{,y}$ می باشد. از جایگزینی در معادلات (۲-۳) و مرتب کردن آن نتیجه می شود:

$$\begin{aligned}\bar{\varepsilon}_x &= \varepsilon_{,x} + z\kappa_x \\ \bar{\varepsilon}_y &= \varepsilon_{,y} + z\kappa_y \\ \bar{\gamma}_{xy} &= \gamma_{xy} + 2z\kappa_{xy}\end{aligned}\tag{۴-۳}$$

که $\bar{\varepsilon}_x$ ، $\bar{\varepsilon}_y$ و $\bar{\gamma}_{xy}$ مؤلفه های کرنش در هر نقطه از ضخامت ورق و ε_x ، ε_y و γ_{xy} فقط مقادیر متناظر در نقاط روی صفحه میانی هستند و عبارتند از :

$$\begin{aligned}\beta_x &= -w_{,x} & \kappa_x &= \beta_{x,x} \varepsilon_x = u_{,x} + \frac{1}{2}\beta_x^2 \\ \beta_y &= -w_{,y} & \kappa_y &= \beta_{y,y} \varepsilon_y = v_{,y} + \frac{1}{2}\beta_y^2\end{aligned}\tag{۵-۳}$$

$$\kappa_{xy} = \frac{1}{2}(\beta_{x,y} + \beta_{y,x}) \gamma_{xy} = (u_{,y} + v_{,x}) + \beta_x \beta_y$$

معادلات (۵-۳) روابط سینماتیک ورق ها هستند. این عبارت ها شبیه عبارت های ارائه شده برای تئوری ون کارمن ورق ها می باشد. کلیه متغیرهای معادلات (۵-۳) مقادیر صفحه میانی و فقط تابعی از X و Y هستند.

مؤلفه های کرنش $\bar{\varepsilon}_x$ ، $\bar{\varepsilon}_y$ و $\bar{\gamma}_{xy}$ بر اساس قانون هوک تعمیم یافته در جامدات ایزوتروپ سه بعدی عبارتند از :

$$\begin{aligned}\bar{\varepsilon}_x &= \frac{1}{E}[\bar{\sigma}_x - \nu(\bar{\sigma}_y + \bar{\sigma}_z)] \\ \bar{\varepsilon}_y &= \frac{1}{E}[\bar{\sigma}_y - \nu(\bar{\sigma}_x + \bar{\sigma}_z)] \\ \bar{\gamma}_{xy} &= \frac{2(1+\nu)}{E}\bar{\tau}_{xy}\end{aligned}\tag{۶-۳}$$

که ν ضریب پواسون می باشد. به عنوان نتیجه ای از تقریب دوم تئوری صفحات نازک $\bar{\sigma}_z$ به طور قابل صرف نظری کوچک می باشد. با حذف $\bar{\sigma}_z$ از معادلات (۳-۶) و مرتب کردن آنها روابط زیر نتیجه می شود.

$$\begin{aligned}\bar{\sigma}_x &= \frac{E}{1-\nu^2} (\bar{\epsilon}_x + \nu \bar{\epsilon}_y) \\ \bar{\sigma}_y &= \frac{E}{1-\nu^2} (\bar{\epsilon}_y + \nu \bar{\epsilon}_x) \\ \bar{\tau}_{xy} &= \frac{E}{2(1+\nu)} \bar{\gamma}_{xy}\end{aligned}\tag{۳-۷}$$

با جایگزینی معادلات (۳-۷) و (۳-۴) در معادلات (۳-۱) و انتگرال گیری، معادلات زیر نتیجه می شود:

$$\begin{aligned}M_x &= D(\kappa_x + \nu \kappa_y) & N_x &= C(\epsilon_x + \nu \epsilon_y) \\ M_y &= D(\kappa_y + \nu \kappa_x) & N_y &= C(\epsilon_y + \nu \epsilon_x) \\ M_{xy} &= D(1-\nu)\kappa_{xy} & N_{xy} &= C\frac{1-\nu}{2}Y_{xy}\end{aligned}\tag{۳-۸}$$

که

$$D \equiv \frac{Eh^2}{12(1-\nu^2)} \quad \text{و} \quad C = \frac{Eh}{1-\nu^2}$$

معادلات (۳-۸) از معادلات اساسی ورق ها به شمار می روند. ضرایب D , C به ترتیب پارامترهای سختی کششی و خمشی نامیده می شوند.

در آنالیز تعادل ورقها، ۸ رابطه سینماتیکی و ۶ رابطه اساسی به ۵ معادله تعادل افزوده می شوند و همانگونه که در ادامه بیان می شوند یک دستگاه با ۱۹ معادله و ۱۹ مجهول ایجاد می کند همه ۱۹ متغیر فقط توابعی از x , y هستند.

۲-۳- معادلات تعادل غیر خطی

۱-۲-۳- برآیند نیروها و گشتاورها

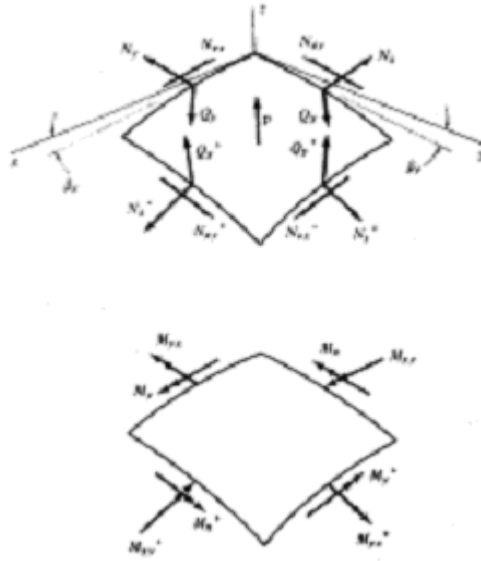
برای لحاظ کردن اثر غیر خطی متقابل بین نیروها و چرخش‌ها بایستی معادلات نشان دهنده تعادل نیروها و گشتاورهای المان‌های ورق که در حالت اندکی تغییر شکل یافته هستند، همانند شکل (۳-۳) استخراج شوند. برای ساده‌سازی نمودارها، شدت نیروها و گشتاورها در دو شکل جداگانه نشان داده شده است و المان ورق به صورت تخت و بدون ضخامت ترسیم شده است. بردارهایی که دارای پیکان‌های دو گانه هستند، نشان دهنده جهت گشتاورها (بر اساس قاعده دست راست) هستند، شدت نیروها و گشتاورها نشان داده شده‌اند. در شکل‌های (۲-۳) و (۴-۳) در جهات مثبت خود هستند و علائم قراردادی به گونه‌ای انتخاب شده‌اند که تمام عبارات‌های سمت راست معادلات (۳-۳) مثبت باشند. چرخش‌های β_x و β_y در شکل (۴-۳) نشان دهنده زاویه بین جهت دستگاه‌های مختصات متناظر و خط مماس بر گوشه بالایی سطح میانی المان ورق است. نیروها، گشتاورها و چرخش‌ها در عرض المان تغییر می‌کنند و N_x^+ برای نمایش $(N_x + N_{x,x}dx)$ به کار برده می‌شود. زوایای چرخش β_x و β_y کوچک بوده و سینوس و کسینوس آنها به ترتیب با خود زاویه و واحد (عدد یک) جایگزین می‌شوند. عبارتهای مرتبه دوم نشان دهنده روابط غیر خطی متقابل بین نیروهای برشی عرضی کوچک و چرخشها هستند و به طور قابل صرف نظری کوچک هستند. با یادآوری اینکه N_x نشان دهنده نیرو بر واحد طول روی لبه dy (همین طور سایر نیروها) است، برآیند نیروها در جهت x عبارت است از:

$$-N_x dy + (N_x + N_{x,x} dx) dy - N_{yx} dx + (N_{yx} + N_{yx,y} dy) dx = 0 \quad (9-3)$$

$$N_{x,x} + N_{yx,y} = 0 \quad (10-3)$$

به طور مشابه از برآیند نیروها در جهت y داریم:

$$N_{xy,x} + N_{y,y} = 0 \quad (11-3)$$



شکل ۳-۴ المان ورق در هیات تغییر شکل یافته [۲]

برآیند نیروها در جهت z اندکی پیچیده تر است. با استفاده از شکل (۳-۴) داریم:

$$\begin{aligned}
 & N_y dx \beta_y - (N_y + N_{y,y} dy) dx (\beta_y + \beta_{y,y} dy) \\
 + & \\
 & N_x dy \beta_x - (N_x + N_{x,x} dx) dy (\beta_x + \beta_{x,x} dx) \\
 & - Q dx + (Q_y + Q_{y,y} dy) dx - Q_x dy + (Q_x + Q_{x,x} dx) dy \quad (۱۲-۳) \\
 + & \\
 & N_{xy} dy \beta_y - (N_{xy} + N_{xy,x} dx) dy (\beta_y + \beta_{y,x} dx) \\
 + & \\
 & N_{yx} dx \beta_x - (N_{yx} + N_{yx,y} dy) dx (\beta_x + \beta_{x,y} dy) + p \quad dx \quad dy = 0
 \end{aligned}$$

با حذف عبارت های با مرتبه بالا و گروه بندی عبارت های باقی مانده، معادله (۱۲-۳) نتیجه

می شود :

$$\begin{aligned}
 & - (N_{x,x} + N_{xy,y}) \beta_x - (N_{yx,x} + N_{y,y}) \beta_y - N_x \beta_{x,x} \\
 & - N_{xy} \beta_{y,x} - N_{yx} \beta_{x,y} - N_y \beta_{y,y} + Q_{x,x} + Q_{y,y} = -p \quad (۱۳-۳)
 \end{aligned}$$

عبارتهای حاوی مشتقات N_x, N_y, N_{xy}, N_{yx} در معادله (۳-۱۳) را می توان با توجه به معادلات (۳-۱۰) و (۳-۱۱) صفر در نظر گرفت و از معادله اخیر حذف نمود.

بر آیند گشتاورها حول محورهای مختصات x و y به ترتیب معادلات زیر را می دهند:

$$-M_{xy,x} - M_{y,y} + Q_y = 0 \quad (۳-۱۴)$$

$$M_{yx,y} + M_{x,x} - Q_x = 0$$

معادله تعادل ششم یعنی مجموع گشتاور حول محور z معادله و اطلاعات جدیدی ارائه نمی کند. این موضوع را می توان از اثبات و استخراج معادله و مقایسه آن با عبارتهای N_{yx} و N_{xy} در معادلات (۳-۱) ملاحظه نمود.

همانگونه که بیان گردید $N_{xy} = N_{yx}$ و $M_{xy} = M_{yx}$ می باشد. جمع آوری پنج معادله تعادل و

مرتب نمودن آنها نتیجه می دهد :

$$N_{x,x} + N_{xy,y} = 0 \quad \text{الف (۳-۱۵)}$$

$$N_{xy,x} + N_{y,y} = 0 \quad \text{ب (۳-۱۵)}$$

$$Q_{x,x} + Q_{y,y} - N_x \beta_{x,x} - N_{xy} (\beta_{y,x} + \beta_{x,y}) - N_y \beta_{y,y} = -p \quad \text{ج (۳-۱۵)}$$

$$Q_y = M_{y,y} + M_{xy,x} \quad \text{د (۳-۱۵)}$$

$$Q_x = M_{x,x} + M_{xy,y} \quad \text{ه (۳-۱۵)}$$

همانگونه که در بخش قبلی نیز بیان گردید، این پنج معادله به همراه روابط بنیادین و سینماتیکی در معادلات (۳-۵) و (۳-۸) یک دستگاه ۱۹ معادله ای تشکیل می دهند. چند متغیر به آسانی حذف می شوند. جایگزینی معادلات (۳-۱۵) د و (۳-۱۵) ه در معادله (۳-۱۵) ج، عبارت زیر را برای معادله آخری نتیجه می دهد:

$$M_{x,xx} + 2M_{xy,xy} + M_{y,yy} - N_x \beta_{x,x} - N_{xy} (\beta_{y,x} + \beta_{x,y}) - N_y \beta_{y,y} = -p \quad (۳-۱۶)$$

از جایگزینی روابط متناسب با گشتاورها و چرخشها معادله (۳-۱۶) به شکل زیر ساده می شود:

$$D\nabla^4 w - (N_x w_{,xx} + 2N_{xy} w_{,xy} + N_y w_{,yy}) = p \quad (۳-۱۷)$$

بطوریکه

$$\nabla^4 w = w_{,xxxx} + 2w_{,xxyy} + w_{,yyyy}$$

با این ساده سازی می توان معادلات تعادل را به شکل نسبتاً کوتاه زیر نوشت :

$$N_{x,x} + N_{xy,y} = 0 \quad \text{الف (۱۸-۳)}$$

$$N_{xy,x} + N_{y,y} = 0 \quad \text{ب (۱۸-۳)}$$

$$D\nabla^4 w - (N_x w_{,xx} + 2N_{xy} w_{,xy} + N_y w_{,yy}) = p \quad \text{ج (۱۸-۳)}$$

این معادلات برای ورق ها نظیر معادلات ستون ها می باشد. این معادلات شکلی از معادلات بسیار رایج ون کارمن ورق ها می باشد، و این معادلات، معادلات غیر خطی تعادل برای کلیه حالات خمیده و تخت ورق ها در حوزه تغییر مکان رده میانی هستند.

۲-۲-۳ انرژی پتانسیل پایدار

در این بخش معادلات غیر خطی تعادل بخش قبلی بر اساس معیار پایداری انرژی پتانسیل مجدداً استخراج می شوند. شرح مختصری از معیار انرژی تعادل و پایداری در ادامه ارائه شده است. یک ورق تحت بارگذاری زمانی در حال تعادل است که انرژی پتانسیل کل آن، V_1 پایدار باشد. v زمانی پایدار است که عبارت زیر انتگرال v معادلات اوپلر حساب تغییرات را ارضاء کند.

انرژی پتانسیل کل یک ورق که تحت فشار جانبی و بارگذاری لبه ای باشد، مجموع انرژی کرنشی u و انرژی پتانسیل ناشی از کار خارجی Ω می باشد.

$$V = U + \Omega \quad (۱۹-۳)$$

انرژی کرنشی یک محیط همسانگرد سه بعدی در دستگاه مختصات متعامد به عبارت زیر بیان می شود:

$$U = \frac{1}{2} \iiint (\bar{\sigma}_x \bar{\epsilon}_x + \bar{\sigma}_y \bar{\epsilon}_y + \bar{\sigma}_z \bar{\epsilon}_z + \bar{\tau}_{xy} \bar{Y}_{xy} + \bar{\tau}_{yz} \bar{Y}_{yz} + \bar{\tau}_{zx} \bar{Y}_{zx}) dx \, dy \, dz$$

با حذف $\bar{\sigma}_z$ بر اساس تقریبات اصلی تئوری ورق های نازک جایگزین معادلات (۷-۳) و مرتب نمودن مجدد نتیجه می شود:

$$U = \frac{E}{2(1-\nu^2)} \iiint \left(\bar{\epsilon}_x^2 + \bar{\epsilon}_y^2 + 2\nu \bar{\epsilon}_x \bar{\epsilon}_y + \frac{1-\nu}{2} Y_{xy}^2 \right) dx \, dy \, dz$$

از جایگزینی معادلات (۴-۳) و انتگرال گیری نسبت به z روابط زیر حاصل می شود :

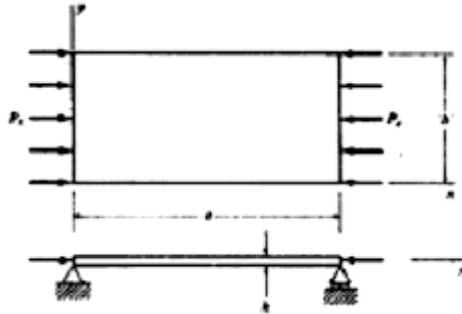
$$U = U_m + U_b \quad (20-3)$$

$$U_m = \frac{c}{2} \iint \left(\varepsilon_x^2 + \varepsilon_y^2 + 2\nu \varepsilon_x \varepsilon_y + \frac{1-\nu}{2} \gamma_{xy}^2 \right) dx \quad dy \quad (21-3)$$

$$U_b = \frac{D}{2} \iint \left[\kappa_x^2 + \kappa_y^2 + 2\nu \kappa_x \kappa_y + 2(1-\nu) \kappa_{xy}^2 \right] dx \quad dy \quad (22-3)$$

عبارتهای (۲۱-۳) و (۲۲-۳) به ترتیب انرژی کرنشی غشایی و انرژی کرنشی خمشی ورق ها نامیده می شوند. انرژی پتانسیل ناشی از کار خارجی برای سیستم پایستار منفی کار انجام شده به وسیله بار در حین تغییر شکل سازه می باشد. در نتیجه برای فشار جانبی p خواهیم داشت:

$$\Omega = - \iint p w \quad dx \quad dy$$



شکل ۳-۵ ورق تحت بار فشاری در صفحه [۲]

شکل عبارت انرژی پتانسیل ناشی از بار لبه ای به طبیعت بار گذاری بستگی دارد. به عنوان یک مثال یک بار لبه ای فشاری در صفحه P_x بر حسب lb همانند شکل (۳-۵) در نظر گرفته می-شود، که به طور یکنواخت در امتداد لبه های $x=0, a$ توزیع شده است. برای این نوع بارگذاری انرژی پتانسیل چنین نوشته می شود :

$$\Omega = p_x [u(a) - u(0)]$$

و یا

$$\Omega = p_x \frac{1}{b} \int_0^b \int_0^a u_{,x} \quad dx \quad dy$$

بنابراین بیان Ω برای بارهای لبه ای و جانبی عبارت است از :

$$\Omega = \iint \left(\frac{1}{b} p_x u_{,x} - pw \right) dx \quad dy \quad (23-3)$$

حال جمع آوری کلیه مؤلفه های انرژی پتانسیل کل نتیجه می دهد :

$$V = \iint F dx \quad dy \quad (24-3)$$

که

$$F = \frac{c}{2} \left(\varepsilon_x^2 + \varepsilon_y^2 + 2\nu \varepsilon_x \varepsilon_y + \frac{1-\nu}{2} Y_{xy}^2 \right) + \frac{D}{2} \left[\kappa_x^2 + \kappa_y^2 + 2\nu \kappa_x \kappa_y + 2(1-\nu) \kappa_{xy}^2 \right] + \left(\frac{1}{b} p_x u_{,x} - pw \right) \quad (25-3)$$

و از معادله (3-5) داریم:

$$\kappa_x = -w_{,xx} \quad \varepsilon_x = u_{,x} + \frac{1}{2} w_{,x}^2$$

$$\kappa_y = -w_{,yy} \quad \varepsilon_y = v_{,y} + \frac{1}{2} w_{,y}^2$$

$$\kappa_{xy} = -w_{,xy} \quad Y_{xy} = (u_{,y} + v_{,y}^2) + w_{,x} w_{,y}$$

برای برقراری تعادل، بایستی انرژی پتانسیل V پایا باشد یعنی متغیر اول δV برابر صفر باشد

بنابراین F بایستی معادله اویلر حساب تغییرات را ارضا کند. برای عبارت زیر انتگرال نظیر معادله (3-3)

(25) معادله اویلر اینچنین ارائه می شود:

$$\frac{\partial F}{\partial u} - \frac{\partial}{\partial x} \frac{\partial F}{\partial u_{,x}} - \frac{\partial}{\partial y} \frac{\partial F}{\partial u_{,y}} = 0$$

$$\frac{\partial F}{\partial v} - \frac{\partial}{\partial x} \frac{\partial F}{\partial v_{,x}} - \frac{\partial}{\partial y} \frac{\partial F}{\partial v_{,y}} = 0$$

$$\frac{\partial F}{\partial w} - \frac{\partial}{\partial x} \frac{\partial F}{\partial w_{,x}} - \frac{\partial}{\partial y} \frac{\partial F}{\partial w_{,y}} + \frac{\partial^2}{\partial x^2} \frac{\partial F}{\partial w_{,xx}} + \frac{\partial^2}{\partial x \partial y} \frac{\partial F}{\partial w_{,xy}} + \frac{\partial^2}{\partial y^2} \frac{\partial F}{\partial w_{,yy}} = 0$$

از معادله (۳-۲۵) نتیجه می شود :

$$\frac{\partial F}{\partial u_{,x}} = \frac{c}{2}(2\varepsilon_x + 2\nu\varepsilon_y) + \frac{p_x}{b} \frac{\partial F}{\partial u} = 0$$

$$\frac{\partial F}{\partial \nu} = 0 \quad \frac{\partial F}{\partial u_{,y}} = \frac{C}{2}[(1-\nu)Y_{xu}]$$

$$\frac{\partial F}{\partial \nu_{,y}} = \frac{C}{2}(2\varepsilon_y + 2\nu\varepsilon_x) \quad \frac{\partial F}{\partial \nu} = -p \frac{\partial F}{\partial \nu_{,x}} = \frac{C}{2}[(1-\nu)Y_{xy}]$$

$$\frac{\partial F}{\partial w_{,x}} = \frac{C}{2}[(2\varepsilon_x + 2\nu\varepsilon_y)w_{,x} + (1-\nu)Y_{xy}w_{,y}]$$

$$\frac{\partial F}{\partial w_{,y}} = \frac{C}{2}[(2\varepsilon_y + 2\nu\varepsilon_x)w_{,y} + (1-\nu)Y_{xy}w_{,x}]$$

$$\frac{\partial F}{\partial w_{,xy}} = -\frac{D}{2}[4(1-\nu)\kappa_{xy}] \quad \frac{\partial F}{\partial w_{,xx}} = -\frac{D}{2}(2\kappa_x + 2\nu\kappa_y)$$

$$\frac{\partial F}{\partial w_{,yy}} = -\frac{D}{2}(2\kappa_y + 2\nu\kappa_x)$$

از جایگزینی این عبارات در معادلات اویلر و ساده سازی آنها معادلات زیر حاصل می شود :

$$C\left[(\varepsilon_x + \nu\varepsilon_y)_{,x} + \frac{1-\nu}{2}(Y_{xy})_{,y}\right] = 0$$

$$C\left[\frac{1-\nu}{2}(Y_{xy})_{,x} + (\varepsilon_y + \nu\varepsilon_x)_{,y}\right] = 0$$

$$-D\left[(\kappa_x + \nu\kappa_y)_{,xx} + 2(1-\nu)(\kappa_{xy})_{,xy} + (\kappa_y + \nu\kappa_x)_{,yy}\right]$$

$$-C\left[(\varepsilon_x + \nu\varepsilon_y)w_{,x} + \frac{1-\nu}{2}(Y_{xy})w_{,y}\right]_{,x}$$

$$-C \left[(\varepsilon_y + \nu \varepsilon_x) w_{,y} + \frac{1-\nu}{2} (Y_{xy}) w_{,x} \right]_{,y} = p$$

از جایگزینی روابط بنیادین (۸-۳) نتیجه می شود:

$$N_{x,x} + N_{xy,y} = 0$$

$$N_{xy,x} + N_{y,y} = 0$$

$$D\nabla^4 w - (N_x w_{,xx} + 2N_{xy} w_{,xy} + N_y w_{,yy}) = p$$

ملاحظه می گردد که عبارت حاوی بار لبه ای P_x حذف شده است. این بار فقط از طریق

شرایط مرزی وارد آنالیز می گردد. ملاحظه می گردد که این معادلات تعادل اجزاء ورق مشابه معادلات (۱۸-۳) می باشد.

معادلات غیر خطی تعادل با یک مجموعه کوپل شده دارای سه معادله دیفرانسیل غیر خطی

و چهار متغیر w , N_x , N_y , N_{xy} می باشد. این معادلات با جایگزینی روابط سینماتیکی و بنیادین به سه معادله با سه مجهول w , u و v تبدیل می شوند. معادلات حاصله عبارتند از :

$$\left[\left(u_{,x} + \frac{1}{2} w_{,x}^2 \right) + \nu \left(v_{,y} + \frac{1}{2} w_{,y}^2 \right) \right]_{,x} + \frac{1-\nu}{2} (u_{,y} + v_{,x} + w_{,x} w_{,y})_{,y} = 0$$

$$\frac{1-\nu}{2} (u_{,y} + v_{,x} + w_{,x} w_{,y})_{,x} + \left[\left(v_{,y} + \frac{1}{2} w_{,y}^2 \right) + \nu \left(u_{,x} + \frac{1}{2} w_{,x}^2 \right) \right]_{,y} = 0$$

(۲۶-۳)

$$D\nabla^4 w - C \left[\left(u_{,x} + \frac{1}{2} w_{,x}^2 \right) + \nu \left(v_{,y} + \frac{1}{2} w_{,y}^2 \right) \right] w_{,xx} - (1-\nu) C [u_{,y} + v_{,x} + w_{,x} w_{,y}] w_{,xy} - C \left[\left(v_{,y} + \frac{1}{2} w_{,y}^2 \right) + \nu \left(u_{,x} + \frac{1}{2} w_{,x}^2 \right) \right] w_{,yy} = p$$

یک دستگاه خیلی ساده تر با دو معادله و دو مجهول از جایگزینی تابع تنش f حاصل می

شود. تابع تنش f با روابط زیر تعریف می شود:

$$N_y = f_{,xx} \quad N_{xy} = -f_{,xy} \quad N_x = f_{,yy} \quad (27-3)$$

که $f=f(x,y)$ می باشد. مشاهده می شود که معادلات (۳-۱۸ الف) و (۳-۱۸ ب) با جایگزینی

عبارت های (۳-۲۷) ارضا می شوند. جایگزینی این عبارت ها در معادله (۳-۱۸ ج) نتیجه می دهد:

$$D\nabla^4 w - (f_{,yy} w_{,xx} - 2f_{,xy} w_{,xy} + f_{,xx} w_{,yy}) = p \quad (28-3)$$

بنابراین برای تامین سازگاری هندسی از معادلات (۳-۵) نتیجه می شود:

$$\varepsilon_{x,yy} + \varepsilon_{y,xx} - \gamma_{,xy,xy} = w_{,xy}^2 - w_{,xx} w_{,yy}$$

و از معادلات (۳-۸)

$$\varepsilon_y = \frac{1}{Eh} (f_{,xx} - \nu f_{,yy}) \quad Y_{xy} = -\frac{2(1+\nu)}{Eh} f_{,xy} \quad \varepsilon_x = \frac{1}{Eh} (f_{,yy} - \nu f_{,xx})$$

بنابراین

$$\nabla^4 f - Eh(w_{,xy}^2 - w_{,xx} w_{,yy}) = 0 \quad (29-3)$$

معادلات (۳-۲۸) و (۳-۲۹) دو معادله با مجهول w و f را تشکیل می دهند. این معادلات به

ترتیب معادلات تعادل و سازگاری ورق ها نامیده می شوند. این معادلات معروف به معادلات ون کارمن ورق های تخت با تغییر شکل های بزرگ هستند.

برای بدست آوردن معادلات تعادل تئوری خطی ورق ها، فقط کافی است که عبارت های مربع

و مکعب مؤلفه های تغییر مکان حذف شوند. معادلات خطی متناسب با معادلات (۳-۱۸) عبارتند از:

$$N_{x,x} + N_{xy,y} = 0 \quad (30-3 \text{ الف})$$

$$N_{xy,x} + N_{y,y} = 0 \quad (30-3 \text{ ب})$$

$$D\nabla^4 w = p \quad (30-3 \text{ ج})$$

که

$$\begin{aligned} \varepsilon_x &= u_{,x} \quad N_x = C(\varepsilon_x + \nu \varepsilon_y) \\ \varepsilon_y &= u_{,y} \quad N_y = C(\varepsilon_y + \nu \varepsilon_x) \end{aligned} \quad (31-3)$$

$$Y_{xy} = u_{,y} + \nu_{,x} N_{xy} = C \frac{1-\nu}{2} Y_{xy}$$

همانگونه که دیده می شود معادله (۳-۳۰ ج) با دیگر معادلات کوپیل شده نمی باشد. این

معادله به تغییر مکان و بار عرضی دلالت دارد و دیگر معادلات به مقادیر در صفحه دلالت می کند.

برای بار لبه ای در صفحه که در ادامه پایداری ورق ها مورد مطالعه قرار خواهد گرفت، آنالیز تعادل بییشتر از کمانش $p=w=0$ خواهد بود. در نتیجه معادلات حاکم بر تغییر شکل های پیش از کمانش معادلات (۳-۳۰الف) و (۳-۳۰ب) خواهد بود.

۳-۲-۳- مسیره‌های تعادل غیر خطی

معادلات (۳-۲۶) کلیه هیأت های تعادل خطی و غیر خطی ورق ها را در حوزه تغییر شکل های رده میانی تعیین می کنند. معادلات دیفرانسیل حاوی عبارت های خطی، مربع و مکعب از متغیرهای u و v و w می باشد و به همین دلیل غیر خطی هستند. حل عددی تقریبی معادلات دیفرانسیل غیر خطی برای هر حالت خاص به دست می آید. نمودارهای بار تغییر مکان که بر اساس حل های عددی ورقی که همانند شکل ۳-۵ بارگذاری شده است به دست می آیند، در شکل های (۳-۶الف) و (۳-۶ب) ترسیم ترسیم شده اند. در شکل (۳-۶الف) بار بر حسب تغییر مکان طولی یک انتهای ورق، u ، نسبت به انتهای دیگر (اغلب کوتاه شدگی نامیده می شود) ترسیم شده است. نقاط روی مسیره‌های اولیه و ثانویه به ترتیب بیانگر هیأت های تخت و خمیده ورق هستند. تقارن شکل (۳-۶ب) فقط به این معنی است که ورق در هر دو جهت تغییر شکل می دهد. معادلات خطی (۳-۱۸) معادلات حاکم بر هر دو مسیر اولیه و ثانویه هستند.

مسیره های تعادلی که از حل معادلات تعادل به دست می آیند وجود یک نقطه انشعاب و مقدار بار بحرانی متناظر با آن را نشان می دهد. در نتیجه حل جداگانه معادلات پایداری برای به دست آوردن بار بحرانی لازم نیست. بنابراین مسیره‌های تعادلی شکل (۳-۶) بر اساس حل عددی معادلات دیفرانسیل غیر خطی می باشند. هدف از آنالیز پایداری، شبیه آنچه در ادامه انجام می شود، تعیین بار نقطه انشعاب به وسیله حل معادلات دیفرانسیل خطی می باشد.

۳-۳- معادلات خطی پایداری

در این بخش، معادلات دیفرانسیل خطی تعیین بار نقطه انشعاب یک ورق تخت به دست خواهد آمد، که تحت بار در صفحه لبه ای (برای حالتی که فشار جانبی $p=0$ باشد) قرار گرفته باشد. همین

معادلات در ادامه با استفاده از معیار حداقل انرژی پتانسیل مجدداً به دست می آیند.

۳-۳-۱- معیار تعادل در مجاورت

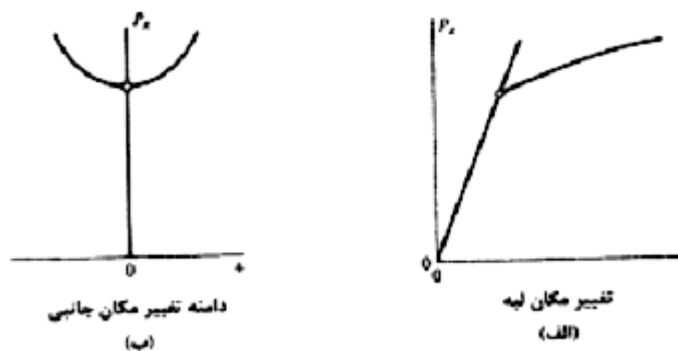
برای بررسی امکان وجود هیأت های نزدیک تعادل، نمودارهای کوچکی از متغیرها تغییر مکان در نظر گرفته می شود و دو هیأت مجاور که با تغییر مکان های قبل و بعد از نمو نشان داده می شوند، مورد بررسی قرار می گیرند.

$$u \rightarrow u + u_1$$

$$v \rightarrow v_0 + v_1 \quad (32-3)$$

$$w \rightarrow w_0 + w_1$$

که u_1, v_1 و w_1 نمو های اختیاری تغییر مکان و u, v, w و u_0, v_0, w_0 به طور دو هیأت نزدیک تعادل اختیاری هستند. جایگزینی این روابط در معادلات (۳-۲۶) عبارت هایی خطی، مربع و مکعب را بر حسب مولفه های تغییر مکان u_1, v_1, w_1 و u_0, v_0, w_0 نتیجه می دهد. در معادلاتی که به دست خواهد آمد، u_0, v_0, w_0 به تنهایی به دلیل دلالت بر حالت تعادل صفر و عبارتهای که شامل مربع و مکعب u_1, v_1, w_1 باشند، به دلیل کوچکی مؤلفه های نمو تغییر مکان چشم پوشی می شوند. بنابراین معادلات منتهی به ضرب متغیر بر حسب u_0, v_0, w_0 و بر حسب u_1, v_1, w_1 خطی و همگن می باشند.



شکل ۳-۶ مسیرهای تعادلی ورق تحت بارگذاری فشاری در صفحه [۲]

در هر حال ضرایب u_0 , v_0 , w_0 متأثر از معادلات غیر خطی اولیه می باشند. به همین دلیل مطلوب است که دامنه کاربرد معادلات خطی شده محدود شود، البته با استلزام اینکه u_0 , v_0 , w_0 برای هیأت‌هایی تعریف شود که معادلات تعادل خطی (۳-۳۰) بر آنها حاکم باشد. برای یک ورق تخت که تحت بار گذاری لبه ای در صفحه باشد این محدودیت، مزایای بیشتری دارد به طوری که w_0 و مشتقاتش صفر می شوند.

به ترتیبی که در ادامه ملاحظه می شود با به کار بردن معادلات غیر خطی به شکل معادلات (۳-۱۸) نسبت به معادلات (۳-۲۶) مشتقات باقی مانده معادلات خطی شده، به طور اساسی کوتاه می شوند. نمو‌های (u, v, w) باعث نموی در مؤلفه نیروهای داخلی می شوند، بر همین اساس در معادلات (۳-۱۸) داریم :

$$\begin{aligned} N_x &\rightarrow N_{x0} + \Delta N_x \\ N_y &\rightarrow N_{y0} + \Delta N_y \\ N_{xy} &\rightarrow N_{xy0} + \Delta N_{xy} \end{aligned} \quad (3-33)$$

که اندیس 0 بیانگر نیروهای متناظر با u_0 , v_0 , w_0 و ΔN ها متناظر با مؤلفه های نمو u_1 , v_1 و w_1 است. همچنین نشان N_{x1} نشان دهنده بخشی از عبارت های ΔN می باشند که بر حسب u_1 خطی می باشد و برای دو عبارت دیگر نیز به همین ترتیب. به عنوان مثال از معادلات (۳-۵) و (۳-۸) داریم:

$$N_x = C \left[\left(u_{,x} + \frac{1}{2} w_{,x}^2 \right) + v \left(v_{,y} + \frac{1}{2} w_{,y}^2 \right) \right]$$

بنابر این از آنجایی که در بار گذاری لبه ای در صفحه w_0 و مشتقات آن برابر صفر هستند:

$$N_x + \Delta N_x = C \left[\left(u_{0,x} + u_{1,x} + \frac{1}{2} w_{1,x}^2 \right) + v \left(v_{0,y} + v_{1,y} \right) + \frac{1}{2} w_{1,y}^2 \right]$$

بنابراین

$$N_{x0} = C(u_{0,x} + v v_{0,y})$$

$$\Delta N_x = C \left[\left(u_{1,x} + \frac{1}{2} w_{1,x}^2 \right) + v \left(v_{1,y} + \frac{1}{2} w_{1,y}^2 \right) \right]$$

$$N_{x1} = C(u_{1,x} + v v_{1,y})$$

پس از جاگزینی در معادلات (۳-۱۸) نتیجه می شود:

$$N_{x1,x} + N_{xy1,y} = 0 \quad (34-3 \text{ الف})$$

$$N_{xy1,x} + N_{y1,y} = 0 \quad (34-3 \text{ ب})$$

$$D\nabla^4 w_1 - (N_{x0}w_{1,xx} - 2N_{xy0}w_{1,xy} + N_{y0}w_{1,yy}) = 0 \quad (34-3 \text{ ج})$$

که

$$\begin{aligned} N_{x1} &= C(u_{1,x} + \nu v_{1,y}) & N_{x0} &= C(u_{0,x} + \nu v_{0,y}) \\ N_{y1} &= C(v_{1,y} + \nu v_{1,x}) & N_{y0} &= C(v_{0,y} + \nu v_{0,x}) \\ N_{xy1} &= C\frac{1-\nu}{2}(u_{1,y} + v_{1,x}) & N_{xy0} &= C\frac{1-\nu}{2}(u_{0,y} + v_{0,x}) \end{aligned} \quad (35-3)$$

معادلات (34-3) معادلات پایداری تحت بار لبه ای در صفحه می باشند. بنابراین معادلات ورق ها نظیر معادلات ستون ها می باشند.

همانند معادلات تعادل خطی معادله (34-3 ج) مستقل از معادلات (34-3 الف) و (34-3 ب) می باشد. این کوپل نشدگی به مقدار زیادی آنالیز حالت های خاص بخش (3-5) را ساده خواهد نمود. معادلات متناظر پوسته ها کوپل شده هستند.

معادله (34-3 ج) معادله ای خطی و همگن بر حسب w_1 است که N_{x0} ها ضرایب متغییر آن هستند. ضرایب از معادلات خطی (3-30 الف) و (3-30 ب) به دست می آیند. معادله (34-3 ج) همانند یک معادله همگن فقط برای مقادیر گسسته بار اعمالی دارای حل است. برای هر کدام از این مقادیر در هیات مجاور تبادل وجود دارد. یک ورق مسطح روی مسیر تعادلی اولیه مسیرهای تعادلی ثانویه، آنالیزهای خطی شده هیچ اطلاعاتی در مورد شیب و شکل اولیه مسیرهای تعادلی ثانویه ارائه نمی کند، ولی بار نقطه انشعاب به وسیله رابطه (34-3 ج) تعیین می شود و بیانگر از دست دادن پایداری می باشند. کوچک ترین مقدار این بارها بار بحرانی P_{cr} تعریف می شود.

این نکته قابل تأکید است که این روش برای فرمول بندی مسأله مقدار ویژه با باری که مقادیرش ثابت باشد، منجر به مقادیر ویژه و مدهای ویژه درستی می شود. این مقادیر نه فقط زمانی که مسیر ثانویه در نقطه انشعاب می باشد، بلکه در زمانی که اینگونه نیز نباشد مقادیر درستی هستند.

۳-۳-۲- معیار حداقل انرژی پتانسیل

در این معادلات پایداری ورق (34-3) مجدداً با استفاده از معیار حداقل انرژی پتانسیل استخراج می

شود. شکل مسطح یک ورق حالتی متعادل برای مقادیر بارگذاری است. برای بارهایی که به اندازه کافی کوچک باشند، تعادل پایدار خواهد بود. زمانی که انرژی پتانسیل کل به حداقل مقدار نسبی دست یابد تعادل از حالت پایدار به حالت خنثی تبدیل می شود. عبارت زیر انتگرال متغیر دوم انرژی پتانسیل کل ورق، که بطور لبه‌ای بارگذاری شده است، با معادلات (۳-۲۴) و (۳-۲۵) ارائه شده است. برای بدست آوردن متغیر دوم

$$\begin{aligned} u &\rightarrow u_0 + u_1 \\ v &\rightarrow v_0 + v_1 \\ w &\rightarrow w_0 + w_1 \end{aligned} \quad (3-36)$$

در نظر گرفته می شود که (w_0, v_0, u_0) بیانگر هیأتی روی مسیر تعادل اولیه و (w_1, v_1, u_1) نموهای مجازی هستند. متغیر دوم شامل عبارت هایی از انرژی پتانسیل کل می شود که بر حسب (w_1, v_1, u_1) از مرتبه دوم (مربع) باشند. مشتق گیری بصورت عبارت به عبارت انجام می شود، مثلاً

$$\varepsilon_x = u_{,x} + \frac{1}{2} w_{1,x}^2$$

بنابراین

$$\varepsilon_x^2 = u_{,x}^2 + u_{,x} w_{,x}^2 + \frac{1}{4} w_{,x}^4$$

از جایگزینی معادلات (۳-۳۶) و جمع آوری عبارت های مربع و با لحاظ کردن $w_0 \equiv 0$ خواهیم داشت:

$$\frac{1}{2} \delta^2(\varepsilon_x^2) = u_{1,x}^2 + u_{0,x} w_{1,x}^2$$

بطور مشابه از جایگزینی کرنش‌ها، عبارت زیر برای متغیر دوم انرژی کرنشی غشایی بدست می آید:

$$\begin{aligned} \frac{1}{2} \delta^2 U_m = \frac{C}{2} \iint \left\{ \left[u_{1,x}^2 + v_{1,y}^2 + 2v u_{1,x} v_{1,y} + \frac{1-v}{2} (u_{1,y} + v_{1,x})^2 \right] \right. \\ \left. + [(u_{0,x} + v v_{0,y}) w_{1,x}^2 + (v_{0,y} + v u_{0,x}) w_{1,y}^2 \right. \\ \left. + (1-v)(u_{0,y} + v_{0,x}) w_{1,x} w_{1,y} \right\} dx \quad dy \end{aligned} \quad (3-37)$$

با استفاده از روابط بنیادین معادلات (۳-۳۵) معادله (۳-۳۷) به شکل ساده تر بازنویسی می-

شوند:

$$\frac{1}{2} \delta^2 U_m = \frac{c}{2} \iint \left[u_{1,x}^2 + v_{1,y} + \frac{1-v}{2} (u_{1,y} + v_{1,x})^2 \right] dx \quad dy \quad (3-38)$$

$$+ \frac{1}{2} \iint (N_{x0} w_{1,x}^2 + 2N_{xy0} w_{1,x} w_{1,y} + N_{y0} w_{1,y}^2) dx \quad dy$$

بطور مشابه متغیر دوم انرژی کرنشی خمشی چنین بدست می آید:

$$\frac{1}{2} \delta^2 U_b = \frac{D}{2} \iint [w_{1,xx}^2 + w_{1,yy}^2 + 2v w_{1,xx} w_{1,yy} + 2(1-v) w_{1,xy}^2] dx \quad dy \quad (3-39)$$

ملاحظه می شود که انرژی پتانسیل ناشی از کار خارجی رابطه (۳-۲۳) دارای هیچ عبارتی به

صورت مربع با مرتبه بالاتر بر حسب مؤلفه های تغییر مکان نمی باشد. بنابراین $\sigma^2 \Omega = 0$ ، در نتیجه:

$$\delta^2 V = \delta^2 U_m + \delta^2 U_b \quad (3-40)$$

بنابراین عبارت نهایی متغیر دوم چنین نوشته می شود:

$$\delta^2 VC \iint F \quad dx \quad dy \quad (3-41)$$

که

$$F = \left[u_{1,x}^2 + v_{1,y}^2 + 2v u_{1,x} v_{1,y} + \frac{1-v}{2} (u_{1,y} + v_{1,x})^2 \right]$$

$$+ \frac{1-v^2}{Eh} (N_{x0} w_{1,x}^2 + 2N_{xy0} w_{1,x} w_{1,y} + N_{y0} w_{1,y}^2) \quad (3-42)$$

$$+ \frac{h^2}{12} [w_{1,xx}^2 + w_{1,yy}^2 + 2v w_{1,xx} w_{1,yy} + 2(1-v) w_{1,xy}^2]$$

معادلات حاکم برای از دست دادن پایداری، معادلات اوایلر برای عبارت داخل انتگرال متغیر

دوم هستند. برای عبارت داخل انتگرال به شکل معادله (۳-۴۲) معادلات اوایلر عبارتند از :

$$\frac{\partial F}{\partial u_1} - \frac{\partial}{\partial x} \frac{\partial F}{\partial u_{1,x}} - \frac{\partial}{\partial y} \frac{\partial F}{\partial u_{1,y}} = 0$$

$$\frac{\partial F}{\partial v_1} - \frac{\partial}{\partial x} \frac{\partial F}{\partial v_{1,x}} - \frac{\partial}{\partial y} \frac{\partial F}{\partial v_{1,y}} = 0$$

(۴۳-۳)

$$\frac{\partial F}{\partial w_1} - \frac{\partial}{\partial x} \frac{\partial F}{\partial w_{1,x}} - \frac{\partial}{\partial y} \frac{\partial F}{\partial w_{1,y}} + \frac{\partial^2}{\partial x^2} \frac{\partial F}{\partial w_{1,xx}} + \frac{\partial^2}{\partial x \partial y} \frac{\partial F}{\partial w_{1,xy}} + \frac{\partial^2}{\partial y^2} \frac{\partial F}{\partial w_{1,yy}} = 0$$

از جایگزینی معادله (۴۲-۳) و ساده کردن عبارت های حاصله نتیجه می شود:

$$(u_{1,x} + v v_{1,y})_{,x} + \frac{1-v}{2} (u_{1,y} + v_{1,x})_{,y} = 0$$

$$(v_{1,y} + v u_{1,x})_{,y} + \frac{1-v}{2} (u_{1,y} + v_{1,x})_{,x} = 0$$

(۴۴-۳)

$$D\nabla^4 w_1 - (N_{x0} w_{1,xx} + 2N_{xy0} w_{1,xy} + N_{y0} w_{1,yy}) = 0$$

معادله (۴۴-۳) به شکل کوتاه تری چنین نوشته می شود:

$$N_{x1,x} + N_{xy1,y} = 0$$

$$N_{xy1,x} + N_{y1,y} = 0$$

$$D\nabla^4 w_1 - (N_{x0} w_{1,xx} + 2N_{xy0} w_{1,xy} + N_{y0} w_{1,yy}) = 0$$

که N_{y1} ها با معادلات (۳۵-۳) تعریف شده اند. این معادلات مشابه معادلات (۳۴-۳) هستند.

۳-۴- کاربرد های معادلات پایداری

معادله (۳۴-۳ ج) برای کلیه بارهای لبه ای ممکن در صفحه به کار می رود. در حالت عمومی تر ضرایب N_{x0} ها توابعی از متغیر های y, x هستند. به هر حال در این قسمت کاربردهایی که بیان خواهد شد، محدود به حالتی هستند که این ضرایب ثابت باشند. برای سادگی اندیس ۱ از مقادیر نمو، حذف می شوند.

۳-۴-۱- ورق با چهار تکیه گاه ساده

به عنوان اولین مثال از کاربردهای معادلات خطی پایداری، یک ورق در نظر گرفته و همانند شکل (۵) در لبه های a و $x=0$ گسترده فشاری یکنواخت P_x می باشد. از آنالیز تعادل ورق ها و با استفاده از معادلات (۳-۳۰ الف) و (۳-۳۰ ب) داریم:

$$N_{xy0} = N_{y0} = 0 \quad N_{x0} = -\frac{P_x}{b}$$

از جایگزینی در معادله (۳-۳۴ ج)، عبارت ساده زیر بدست می آید:

$$D\nabla^4 w + \frac{P_x}{b} w_{,xx} = 0 \quad (۴۵-۳)$$

شرایط مرزی ساده در a و $x=0$ عبارتند از $w=M_x=0$ و در b و $y=0$ عبارتند از $w=M_y=0$ ، که

از معادلات (۳-۵) و (۳-۸) شرایط مرزی چنین نوشته می شوند:

$$\begin{aligned} x=0, a \quad w = w_{,xx} &= 0 \\ y=0, b \quad w = w_{,yy} &= 0 \end{aligned} \quad (۴۶-۳)$$

معادله (۳-۴۵) یک معادله با ضرایب ثابت است. جوابی به شکل

$$m, n = 1, 2, 3, \dots \quad w = C_1 \sin \frac{m\pi x}{a} \sin \frac{n\pi y}{b} \quad (۴۷-۳)$$

هر دو معادله دیفرانسیل و معادله شرایط مرزی را ارضاء می کند که C_1 یک ثابت است.

جایگزینی در معادله (۳-۴۵) نتیجه می دهد:

$$D \left[\left(\frac{m\pi}{a} \right)^4 + 2 \left(\frac{m\pi}{a} \right)^2 \left(\frac{n\pi}{b} \right)^2 + \left(\frac{n\pi}{b} \right)^4 \right] - \frac{P_x}{b} \left(\frac{m\pi}{a} \right)^2 = 0$$

مقادیر مجزای P_x برای معادله (۳-۴۵) حل غیر صفر دارد. بنابراین:

$$\frac{P_x}{b} = \left(\frac{\pi a}{m} \right)^2 D \left[\left(\frac{m}{a} \right)^2 + \left(\frac{n}{b} \right)^2 \right]^2 \quad (۴۸-۳)$$

بار بحرانی باری است که متناظر با کوچک ترین مقدار ویژه باشد. برای همه مقادیر a, b

کوچک ترین مقدار ویژه با $n=1$ بدست می آید. بر همین اساس:

$$m = 1, 2, 3, \dots \quad \frac{P_x}{b} = \left(\frac{\pi a}{m} \right)^2 D \left[\left(\frac{m}{a} \right)^2 + \left(\frac{1}{b} \right)^2 \right]^2 \quad (۴۹-۳)$$

معادله (۳-۴۹) به شکل زیر نیز قابل بیان است.

$$P_x = \kappa_c \frac{\pi^2 D}{b} \quad (50-3)$$

که

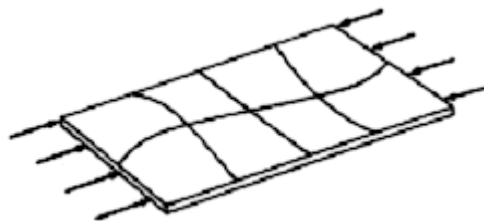
$$\kappa_c = \left(\frac{mb}{a} + \frac{a}{mb} \right)^2 \quad (51-3)$$

ملاحظه می گردد که κ_c تابعی از نسبت a/b و m می باشد. برای مقادیر معین a/b مقدار m از سعی و خطا تعیین می شود، تا کوچک ترین مقدار ویژه بدست آید.

به عنوان مثال ورقی در نظر گرفته می شود که $a=20\text{in}$ و $b=10\text{in}$ و $E=10^7\text{Psi}$ و $h=0.1\text{in}$ و $D=916\text{ lb-in}$ و معادله (3-51) به ازای $m=1,2,3$ به ترتیب مقادیر $6/25$ و 4 و $4/7$ را برای κ_c نتیجه می دهد. برای سایر مقادیر m ضریب k بزرگتر خواهد بود. کوچک ترین مقدار ویژه متناظر با $m=2$ می باشد. برای این مقدار بار بحرانی از معادله (3-50) برابر $P_{cr}=3620\text{ lb}$ می باشد.

در شکل (3-7) طرحی از یک ورق در هیأت تعادل خمیده نشان شده است. در این وضعیت گفته می شود یک نیم موجی سینوسی در جهت عرضی و دو نیم در جهت طولی وجود دارد. بدلیل اینکه در معادلات خطی شده، w_1 بی نهایت کوچک در نظر گرفته می شود، دامنه موج ها بی نهایت کوچک هستند. بار $P_{cr}=3620\text{ lb}$ کوچکترین باری است که به ازای آن، ورق پایداریش را از دست می دهد.

در شکل (3-8) نمودار κ_c بر حسب a/b بر اساس معادله (3-51) برای سایر مقادیر m ترسیم شده است. منحنی ممتد در نمودار نشان دهنده کوچک ترین مقادیر ویژه و منحنی های خط چین نشان دهنده مقاریر ویژه بالاتر برای a/b های داده شده می باشند.

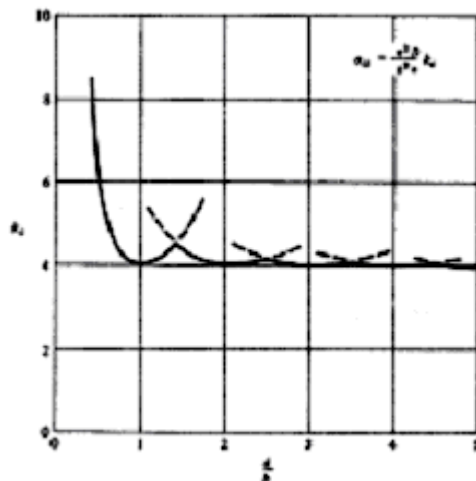


شکل 3-7 ورق کمانش کرده تحت بارگذاری فشاری در صفحه [2]

۳-۴-۲- سایر شرایط مرزی

حل ساده معادله (۳-۴۷) برای شرایط مرزی دیگر مناسب نیست. به عنوان مثالی عمومی تر ورقه در نظر گرفته می شود که بار P_x به آن اعمال می شود و در لبه های $x=0, a$ روی تکیه گاه ساده قرار دارد، و فعلاً شرایط مرزی در لبه های دیگر $y=0, b$ اختیاری می باشد. چنین ورقه همانند یک ستون است که سختی خمشی EI آن با Db جایگزین شده است. بنابر این از معادله تیر نتیجه می شود:

$$p_x = m^2 \frac{\pi^2 Db}{a^2} \quad (۳-۵۲)$$



شکل ۳-۸ مقادیر تنش محوری ورق های با تکیه گاه ساده تحت بارگذاری فشاری در صفحه [۲]

چنین ورقه، ستون عریض نامیده می شود. کوچکترین مقدار ویژه متناظر با $m=1$ می باشد. در حالت عمومی تر معادله دیفرانسیل و شرایط مرزی در $x=0, a$ با حلی به شکل زیر ارضاء می شود.

$$m = 1, 2, 3, \dots \quad w = f(y) \sin \frac{m\pi x}{a} \quad (۳-۵۳)$$

با جایگزینی معادله (۳-۵۳) در معادله (۳-۴۵) این معادله به یک معادله دیفرانسیل معمولی

کاهش می یابد.

$$\frac{d^4 f}{dy^4} - 2\left(\frac{m\pi}{a}\right)^2 \frac{d^2 f}{dy^2} + \left[\left(\frac{m\pi}{a}\right)^4 - \frac{p_x}{Db}\left(\frac{m\pi}{a}\right)^2\right] f = 0 \quad (54-3)$$

معادله (54-3) یک معادله با ضرایب ثابت است. در نتیجه حل آن به آسانی برای شرایط

اختیاری $y=0, b$ بیان می شود. معادله مشخصه متناسب با معادله (54-3) عبارت است از:

$$\lambda^4 - 2\left(\frac{m\pi}{a}\right)^2 \lambda^2 + \left[\left(\frac{m\pi}{a}\right)^4 - \frac{p_x}{Db}\left(\frac{m\pi}{a}\right)^2\right] = 0 \quad (55-3)$$

ریشه های معادله (55-3) عبارتند از:

$$\lambda = \pm \left[\frac{m\pi}{a} \left(\frac{m\pi}{a} \pm \sqrt{\frac{p_x}{Db}} \right) \right]^{1/2} \quad (56-3)$$

از طرفی از معادله (52-3) برای ستون های عریض $(p_x/Db)^{1/2} = m\pi/a$ می باشد و برای سایر

شرایط مرزی در $y=0, b$ عبارت $(p_x/Db)^{1/2} > m\pi/a$ خواهد بود. در نتیجه برای شرایط مرزی دیگر

معادله (56-3) چنین باز نویسی می شود:

$$\lambda = \alpha - \alpha i\beta - i\beta$$

که α و β اعدادی مثبت و حقیقی هستند که عبارتند از:

$$\alpha = \left[\left(\frac{m\pi}{a} \right)^2 - \frac{m\pi}{a} \sqrt{\frac{p_x}{Db}} \right]^{1/2} \quad (57-3)$$

$$\beta = \left[- \left(\frac{m\pi}{a} \right)^2 - \frac{m\pi}{a} \sqrt{\frac{p_x}{Db}} \right]^{1/2}$$

حل معادله (54-3) چنین نوشته می شود:

$$f = C_1 e^{-\alpha y} + C_2 e^{\alpha y} + C_3 \cos \beta y + C_4 \sin \beta y \quad (58-3)$$

که C_1 تا C_4 ثابت هایی هستند که چهار معادله شرایط مرزی در $y=0, b$ تعیین می شوند. به

عنوان یک مثال ویژه ورقی در نظر گرفته می شود که در $y=0$ روی تکیه گاه ساده و در $y=b$ آزاد

است.

همانند قبل معادلات شرایط مرزی در $y=0$ عبارتند از:

$$w = w_{,yy} = 0 \quad (59-3)$$

معادلات در $y=b$ چنین نوشته می شود:

$$w_{,yy} + \nu w_{,xx} = w_{,yyy} + (2-\nu)w_{,xxy} = 0 \quad (60-3)$$

که معادله اول بیانگر صفر بودن M_y میباشد و معادله دوم نشان دهنده صفر بودن نیروی

برش عرضی Q_y و گشتاور پیچشی M_{xy} میباشد. معادلات (3-58) و (3-59) نتیجه می دهد:

$$C_1 = -C_2 \quad C_3 = 0$$

بنابر این معادله (3-58) به شکل ساده تر زیر باز نویسی می شود:

$$f = A \sinh \alpha y + B \sin \beta y$$

که A و B ثابت های جدیدی هستند. جایگزینی در معادله (3-60) نتیجه می دهد:

$$\left[\left(\alpha^2 - \nu \frac{m^2 \pi^2}{a^2} \right) \sinh \alpha b \right] A - \left[\left(\beta^2 + \nu \frac{m^2 \pi^2}{a^2} \right) \sinh \beta b \right] B = 0$$

$$\left\{ \alpha \left[\alpha^2 - (2-\nu) \frac{m^2 \pi^2}{a^2} \right] \cosh \alpha b \right\} A - \left\{ \beta \left[\beta^2 + (2-\nu) \frac{m^2 \pi^2}{a^2} \right] \cos \beta b \right\} B' = 0$$

برای حل غیر بدیهی بایستی دترمیان ضرایب A و B در دستگاه معادلات همگن برابر صفر

باشد. از برابری دترمیان با صفر و مرتب کردن مجدد حاصل می شود:

$$\beta b \left[(\alpha b)^2 - \nu \left(\frac{m\pi b}{a} \right)^2 \right]^2 \tanh \alpha b = \alpha b \left[(\alpha b)^2 + \nu \left(\frac{m\pi b}{a} \right)^2 \right]^2 \tan \beta b \quad (61-3)$$

که از معادله (3-57) نتیجه می شود:

$$\alpha b = \left[\left(\frac{m\pi b}{a} \right)^2 - \frac{m\pi b}{a} \sqrt{\frac{p_x b}{D}} \right]^{1/2}$$

$$\beta b = \left[- \left(\frac{m\pi b}{a} \right)^2 + \frac{m\pi b}{a} \sqrt{\frac{p_x b}{D}} \right]^{1/2}$$

این معادلات، بیانی روشن برای پارامتر بدون بعد $P_x b/D$ بر حسب پارامتر طول موج m ، ضریب پواسون ν و نسبت a/b تشکیل می دهد.

محاسبات نشان می دهد که برای هر مقداری از a/b حداقل بار در $m=1$ بدست می آید. نتایج را می توان به شکل زیر بیان نمود.

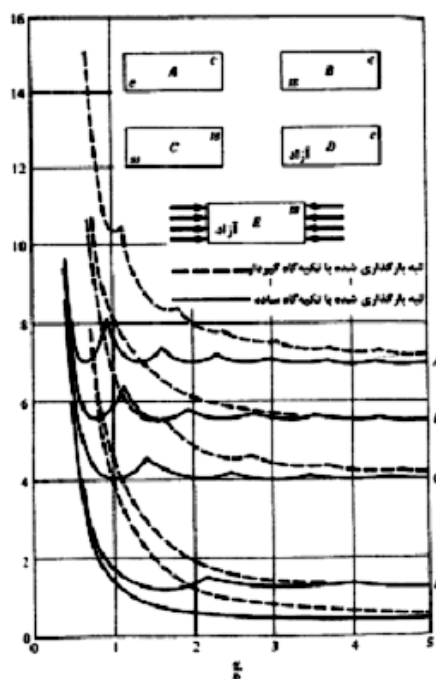
$$P_x = K_c \frac{\pi^2 D}{b} \quad (۶۲-۳)$$

که K_c یک ضریب کماتش بی بعد برای بارگذاری فشاری است. در مراجع، نتایج عددی این محاسبات ارائه شده است. این نتایج در شکل (۹-۳) نشان داده شده است.

هم چنین در شکل (۹-۳) مقادیر متناظر با سایر شرایط مرزی روی لبه های x و y ورق نشان داده شده است. در مراجع، نتایج بسط عددی شرایط مرزی بیشتری مانند قیدهای الاستیک لبه ای به شکل نمودار ارائه شده است. نتایج بر اساس روش های تحلیلی می باشد که از روش های عددی بدست می آیند.

۳-۵- خرابی ورق ها

مسیر های تعادل ورق بدون نقص تحت فشار در صفحه مجدداً در شکل (۱۰-۳) ترسیم شده است.



شکل ۳-۹ تاثیر شرایط مرزی بر ضرایب کمانش ورق تحت بارگذاری فشاری در صفحه [۲]

همچنین در شکل (۳-۱۰) منحنی‌های متناظر برای یک ورق ناقص آورده شده است. از این نمودارها دو نتیجه مهم به وضوح دیده می شود:

۱- کمانش در ورق های واقعی (ورق های دارای نقص) تدریجی اتفاق می افتد و تصمیم گیری در مورد اینکه دقیقاً در چه باری کمانش رخ داده است، مشکل است. بنابراین مقایسه مقادیر تجربی و تئوری بار بحرانی ورق‌ها، مستلزم یک نوعی انتخاب طراح می باشد.

۲- در هر حالتی ورق تمایل به تحمل بار بیشتری پس از کمانش دارد. بنابراین بار بحرانی

ورق، بر خلاف ستون ها، بیانگر استحکام نهایی آن نمی باشد. این نتایج که مبتنی بر شکل (۳-۱۰)

برای بارهای فشاری در صفحه می باشد، برای سایر بارهای در صفحه نیز صادق است.

این حقیقت که ورق‌های دارای تکیه‌گاه می تواند بار بیشتری پس از تحمل تحمل کنند، در

سال ۱۹۲۰ در جریان مطالعات تجربی طراحی سازه‌ای هواپیما کشف گردید. در سال ۱۹۲۹ واگنر

معیاری برای استحکام پس از کمانش جان برشی ایجاد کرد. جان برشی یک ورق نازک است که چهار

لبه آن مقید شده و تحت بار برشی در صفحه می باشد. وضعیت تنش های پیش از کمانش در جان

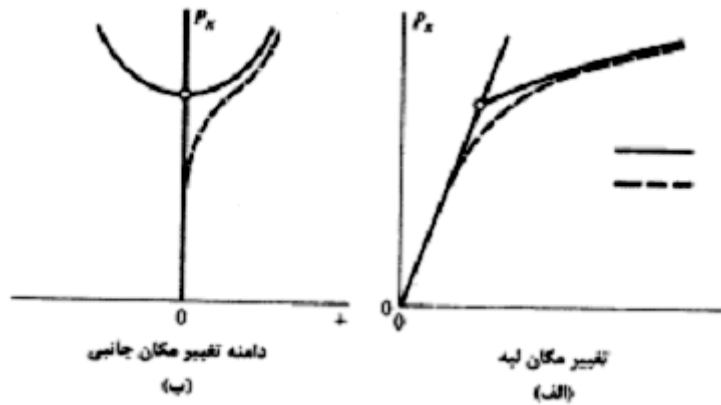
برشی شامل تنش‌های فشاری و کششی است. تنش‌های فشاری در جهت خطوط قطری هستند که

نسبت به لبه های ورق ۴۵ درجه بوده و تنش های کششی عمود بر تنش های فشاری می باشند.

تنش های فشاری باعث ایجاد کمانش جان در امتداد خطوط قطری می شوند. قبل از کمانش مقدار

تنش های کششی و فشاری برابر است، ولی پس از کمانش تنش های کششی بزرگتر می شوند. عدم

موازنه نیروها به وسیله تکیه‌گاه تحمل می شود. واگنر در آنالیز تقریبی خود فرض نمود که برای یک



شکل ۳-۱۰ مسیره‌های تعادلی ورق‌های کامل و ناقص تحت فشار در صفحه [۲]

جان نازک در حال کمانش می‌توان تنش‌های فشاری را به کلی نادیده گرفت. چنین مدلی گاهاً تیر با کشش قطری نامیده می‌شود. یک روش بهتر آنالیز جان‌های برشی و نتایج مبسوط آزمایش، به وسیله کوهن گزارش شده است.

برای انجام یک طراحی کارا بایستی استحکام پس از کمانش ورق‌ها محاسبه شود. به عنوان مثالی از این روش حالتی ساده‌تر از جان‌برشی در نظر گرفته می‌شود، یعنی یک ورق تحت بار فشاری یکنواخت P_x که همانند شکل (۳-۱۱ الف) بر لبه‌های ورق توزیع شده است. بار اعمالی P_x بر اساس رابطه زیر با تنش σ_x ارتباط دارد.

$$p_x = h \int_0^b \sigma_x dy$$

که h و b بترتیب ضخامت و عرض ورق می‌باشد. مادامی که $P_x \leq P_{cr}$ باشد، تنش همانند خطوط (۱-۱) و (۲-۲) شکل (۳-۱۱ ب)، در امتداد عرض ورق، یکنواخت خواهد بود. بنابراین $P_x = hb\sigma_x$ خواهد بود. در حالت خاصی که $P_x = P_{cr}$ باشد، نتیجه می‌شود:

$$p_{cr} = hb\sigma_{cr} \quad (۳-۶۳)$$

برای حالتی که $P_x \geq P_{cr}$ باشد، بدلیل تأثیر پایدارکنندگی تکیه‌گاهی لبه، تنش در نزدیکی لبه‌های ورق b و $y=0$ بزرگتر از تنش در نقاط نزدیک مرکز ورق است. در چنین حالتی توزیع تنش همانند خطوط (۳-۳) و (۴-۴) شکل (۳-۱۱ ب)، غیر یکنواخت می‌باشد.

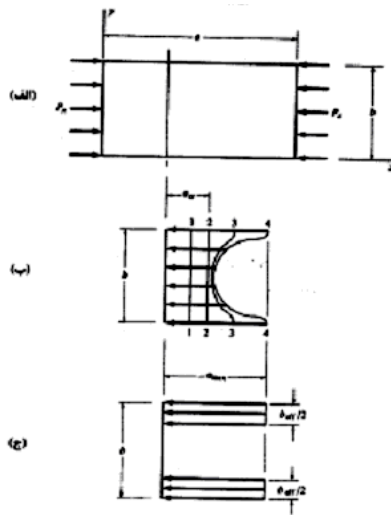
حالتی که در حوزه تغییر مکان‌های رده میانی قرار داشته باشد، توزیع تنش‌های پس از کمانش، از معادلات تعادل غیر خطی (۳-۱۸) تعیین می‌شود. رایج است که برای طراحی، نتایج آنالیز

بر حسب عرض مؤثر بین می شود و تنش‌ها همانند شکل (۳-۱۱ ج) ، بطور یکنواخت در نظر گرفته می شوند. از شکل داریم:

$$p_x = hb_{eff}\sigma_{max} \quad (۳-۶۴)$$

که σ_{max} ماکزیمم تنش در لبه های ورق b و $y=0$ می باشد. بیان بسیار رایج برای b_{eff} عبارت است از:

$$b_{eff} = b \left(\frac{\sigma_{cr}}{\sigma_{max}} \right)^{1/2} \quad (۳-۶۵)$$



شکل ۳-۱۱ توزیع تنش در ورق قبل و بعد از کمانش [۲]

که σ_{cr} تنش بحرانی کلاسیک برای شرایط مرزی مشخص می باشد. معادله (۳-۶۵) به فرمول مؤثر ون کارمن معروف است. در مواردی نیز عبارتهای صحیح تری وجود دارد، ولی در طراحی کاربرد محدودی دارند. برای حالتی که σ_x برابر σ_{cr} ، $2\sigma_{cr}$ و $4\sigma_{cr}$ باشد، معادلات (۳-۶۳) تا (۳-۶۵) بترتیب را برابر P_{cr} ، $1/4 P_{cr}$ و $2 P_{cr}$ می دهند.

ماکزیمم تنش مجاز σ_{max} در لبه‌های ورق به وسیله استحکام تسلیم ماده ورق و یا توسط استحکام کمانشی اعضاء نگهدارنده ورق در لبه هایش تعریف می شود. البته مقدار σ_{cr} در معادله (۳-۳)

۶۵) بوسیله معادله (۳-۶۳) ارائه شده است، که P_{cr} با توجه به نوع شرایط مرزی از معادله (۳-۵۰) یا معادله (۳-۶۲) تعیین می شود.

گاهی به خاطر تخمین در جهت افزایش اطمینان، خود بار بحرانی اولیه P_{cr} به عنوان استحکام نهایی ورق بکار برده می شود. اگر تسلیم ماده پیش از کمانش اتفاق بیافتد، بار بحرانی کوچکتر از مقدار بدست آمده از آنالیز پایداری الاستیک خواهد بود. بدلیل اینکه وضعیت تنش ها در دو جهت می باشند، آنالیز پایداری غیر الاستیک ورق ها به مراتب پیچیده تر از ستون ها می باشد. تأثیر پلاستیسیته در کمانش و رفتار پس از کمانش ورق ها در مراجع ارائه شده است. غالباً نتایج آنالیز پلاستیک پایداری به شکل زیر بیان می شود.

$$\bar{\sigma}_{cr} = \eta \sigma_{cr}$$

که $\bar{\sigma}_{cr}$ تنش کمانش پلاستیک برای شرایط مرزی و بار گذاری مشخص می باشد.
 σ_{cr} تنش بحرانی الاستیک متناظر است.
 η ضریب کاهش پلاستیسیته است.

مقدار η با یک تقریب محافظه کارانه با $\eta = (E_t / E)^{1/2}$ بیان می شود و گاهی به کار برده می شود که E_t مدول مماسی است. در کاربردهای سازه های کمانش پلاستیک در ورق ها و پوسته ها به اندازه ستون هارایج نمی باشد.

۳-۶- رفتار پس از کمانش ورق ها

در این بخش رفتار پس از کمانش یک ورق بی نهایت طویل با تکیه گاه های لبه ای، که تحت بار فشاری یکنواخت است، مورد بررسی قرار می گیرد. برخی از نتایج این مثال در بخش قبلی برای بار تخریب ورق ها مورد بحث قرار گرفته است. پس از کمانش، بخش میانی ورق به سمت بیرون شکم می دهد و بخش بسیار زیادی از بار توسط قسمتهای نزدیک به تکیه گاه ها تحمل می شود.

ون کارمن با استدلال پیشنهاد کرد که عرض مؤثر بایستی به عرض ورق و با ضخامت مشابه با آن باشد، که در بار طراحی مشخص کمانش کرده است. بنابراین او پیشنهاد کرد برای داشتن یک طراحی کارا بایستی تنش بار طراحی نسبتاً نزدیک به تنش تسلیم مواد باشد. برای موادی با مدول

یانگ 10^7 psi و استحکام تسلیم 40.000 psi که در آن زمان نمونه ای از آلیاژ با کیفیت آلومینیوم بودند، مشخص شد که عرض مؤثر بایستی 30 برابر ضخامت ورق باشد. همانگونه که در بخش قبل تأکید شده است، جاذبه ساده بودن استفاده از معادلات ون کارمن آنقدر زیاد است که با وجود روش-های دقیق تر موجود، استفاده از معادلات ون کارمن هنوز در مهندسی آنالیز سازه‌های هوا فضایی استفاده می شود. رفتار ورق در محدوده پس از کمانش به راحتی از حل عددی معادلات دیفرانسیل غیر خطی حاکم تعیین می شود. معادلات حاکم از معادلات (۳-۲۸) و (۳-۲۹) عبارتند از:

$$\nabla^4 f = Eh(w_{,xy}^2 - w_{,xx}w_{,yy}) \quad (۳-۶۶)$$

$$D\nabla^4 w = p + f_{,yy}w_{,xx} - 2f_{,xy}w_{,xy} + f_{,xx}w_{,yy}$$

در حدود سال ۱۹۴۰ حل این معادلات توسط چندین محقق ارائه شده است. معروف ترین آنها مارگور، کویتر و کوکس می باشند. مارگور عبارت انرژی پتانسیل مرتبط و روش ریلی-ریتز را در آنالیز عددی به کاربرد. نتایج برحسب عرض مؤثر تعریف شده به وسیله ون کارمن به صورت تابعی از تنش ماکزیمم ارائه شده است (شکل ۳-۱۲ ملاحظه شود). مارگور ابتدا حل یک عبارتی زیر را برای تابع تغییر مکان ارائه نمود:

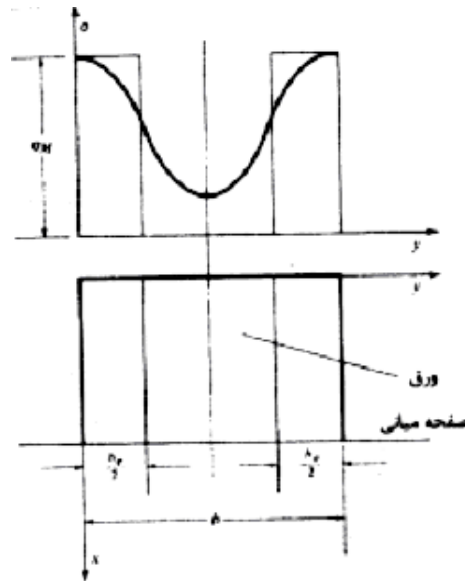
$$w = c_1 \cos \frac{\pi x}{l} \cos \frac{\pi y}{b} \quad (۳-۶۷)$$

در این رابطه l نشان دهنده طول موج محوری و b عرض ورق است. حل عددی فقط برای حالت $l = b$ به دست آمده است. این برای یک ورق بی نهایت طویل متناظر با این فرض است که طول موج در هر دو جهت مشابه باشد. همچنین نتایج برای یک ورق مرجع با شرایط مرزی ساده به دست آمده اند. با حذف دامنه موج c_1 از دو معادله و پس از جایگزینی تنش نتیجه می شود:

$$\sigma_{cr} = \frac{\pi^2 E}{3(1-\nu^2)} \left(\frac{h}{b}\right)^2 \quad (۳-۶۸)$$

حلی به شکل زیر بدست می آید:

$$\sigma_{cr} = \frac{\pi^2 E}{3(1-\nu^2)} \left(\frac{h}{b}\right)^2 \quad (۳-۶۹)$$



شکل ۳-۱۲ توزیع تنش در ورق [۲]

که σ_M تنش ماکزیمم (تنش در تقویت کننده) است. اگر چه این معادله تقریب نزدیکی با محدوده پس از کمانش ابتدایی دارد، ولی چنین به نظر می رسد که صحت کمی در قالب پیشرفت کمانش داشته باشد. بنابراین مارگور حل تصحیح شده ای برای تابع تغییر مکان ارائه نمود:

$$w = c_1 \cos \frac{\pi x}{1} \cos \frac{\pi y}{b} - c_2 \cos \frac{3\pi x}{1} \left(\cos \frac{\pi y}{b} - \eta \cos \frac{3\pi y}{b} \right) \quad (70-3)$$

جایگزینی این عبارت در معادلات (۳-۶۶) منجر به یک دستگاه معادلات غیر خطی با سه مجهول η, c_2, c_1 می شود. برای این معادلات حل های تقریبی به دست آمده اند.

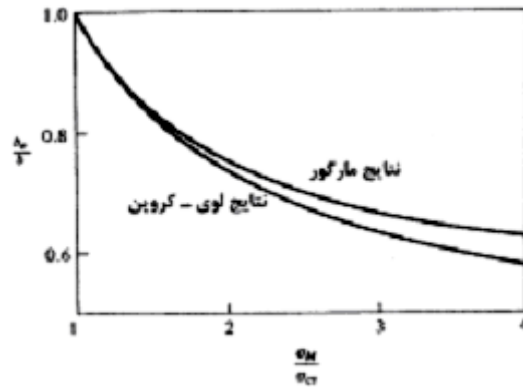
کوکس حل ساده های به دست آورد و متوجه شد که برای ورق های با لبه گیردار عرض مؤثر با فرمول تقریبی زیر ارائه می شود:

$$\frac{b_e}{b} = 0.14 + 0.86 \left(\frac{\sigma_{cr}}{\sigma_M} \right)^{1/2} \quad (71-3)$$

و کویتر معادله زیر را برای کلیه شرایط لبه ای ارائه نمود:

$$\frac{b_e}{b} = \left[1.2 - 0.65 \left(\frac{\sigma_{cr}}{\sigma_M} \right)^{2/5} + 0.45 \left(\frac{\sigma_{cr}}{\sigma_M} \right)^{4/5} \right] \left(\frac{\sigma_{cr}}{\sigma_M} \right)^{2/5} \quad (72-3)$$

مسائل جدید آنالیزهایی با درجات آزادی بیشتر هستند. در شکل (۳-۱۳) حل تک عبارتی مارگور با حل لوی مقایسه شده اند.



شکل ۳-۱۳ عرض موثر ورق کمانش کرده [۲]

فصل چهارم

تحلیل عددی با استفاده از روش المان

محدود

در این تحقیق از روش المان محدود برای تحلیل کمانش ورق مستطیلی استفاده شده است. به این منظور نرم افزار ABAQUS 6.6.3 مورد استفاده قرار گرفته است.

ABAQUS یک مجموعه از برنامه‌های مدل‌سازی بسیار توانمند می‌باشد که مبتنی بر روش اجزای محدود، قابلیت حل مسایل از یک تحلیل خطی ساده تا پیچیده‌ترین مدل‌سازی غیر خطی را دارا می‌باشد. این نرم افزار دارای مجموعه المانهای بسیار گسترده‌ای می‌باشد که هر نوع هندسه‌ای را می‌توان به صورت مجازی توسط این المان‌ها مدل کرد. همچنین دارای مدل‌های مواد مهندسی بسیار زیادی است که در مدل‌سازی انواع مواد با خواص و رفتار گوناگون نظیر فلزات، لاستیکها، پلیمرها، کامپوزیت-ها، بتن تقویت شده، فومهای فبری و نیز شکننده و همچنین مواد موجود در زمین نظیر خاک و سنگ، قابلیت بالایی را ممکن می‌سازد.

نظر به اینکه ABAQUS یک ابزار مدل‌سازی عمومی و گسترده می‌باشد، استفاده از آن تنها محدود به تحلیل‌های مکانیک جامدات و سازه (تنش - تغییر مکان) نمی‌شود. با استفاده از این نرم‌افزار می‌توان مسایل مختلفی نظیر انتقال حرارت، نفوذ جرم، تحلیل حرارتی اجزای الکتریکی، اکوستیک، مکانیک خاک و پیزو الکتریک را مورد مطالعه قرار داد.

استفاده از نرم افزار ABAQUS با وجود اینکه مجموعه قابلیت‌های بسیار گسترده‌ای را در اختیار کاربر قرار می‌دهد، کار نسبتاً ساده‌ای می‌باشد. پیچیده ترین مسایل را می‌توان به آسانی مدل کرد. به عنوان مثال مسایل شامل بیش از یک جزء را می‌توان با ایجاد مدل هندسی هر جزء و سپس نسبت دادن رفتار ماده مربوطه به هر جزء و سپس مونتاژ اجزاء مختلف مدل کرد. در اغلب مدل‌سازی‌ها، حتی مدل‌های با درجه غیر خطی بالا، کاربر می‌بایست تنها داده‌های مهندسی نظیر هندسه مساله، رفتار ماده مربوط به آن، شرایط مرزی و بار گذاری آن مساله را تعیین کند. در یک تحلیل غیر خطی ABAQUS، به طور اتوماتیک میزان نمو بار^۱ و تکرارهای همگرایی را انتخاب و همچنین در طول تحلیل مقادیر آنها را جهت دستیابی به یک جواب صحیح تعدیل می‌کند. در نتیجه کاربر بندرت می‌بایست مقادیر پارامترهای کنترلی حل عددی مساله را تعیین کند.

^۱ Load Increment

ABAQUS/CAE محیط اصلی و گرافیکی ABAQUS می‌باشد که در آن قابلیت‌های متنوعی جهت مدل‌سازی، اجرای فرمان حل و مانیتور کردن آن به طور هم زمان و نیز مشاهده نتایج در دسترس قرار گرفته است. ABAQUS/CAE به محیط‌های ده گانه‌ای تقسیم شده است که در هر یک از این محیط‌ها طبق یک فرآیند منطقی یکی از بخش‌های مدل‌سازی انجام می‌گیرد. هنگامی که مدل‌سازی به اتمام رسید، ABAQUS/CAE یک فایل ورودی^۱ ایجاد می‌کند که ساختاری بسیار شبیه به یک کد برنامه نویسی شده دارد و توسط یکی از دو روش ضمنی و یا صریح مورد تحلیل قرار می‌گیرد. حل گر نرم افزار، فایل ورودی را خوانده و طی فرآیند حل اطلاعاتی را به CAE می‌فرستد که قابلیت مانیتور کردن پروسه حل به طور همزمان را ممکن می‌سازد. همچنین نتایج تحلیل در یک فایل خروجی^۲ ذخیره می‌گردد. در نهایت کاربر با استفاده از محیط Visualization فایل خروجی حل گر را باز کرده و به مشاهده نتایج به صورت نمودار، کانتور، انیمیشن و یا هر رابط گرافیکی دیگر می‌پردازد [۳].

تعریف حلگر مسئله در محیط Step انجام می‌شود. برای تحلیل مسئله کمانش در نرم افزار ABAQUS باید دو نوع تحلیل انجام شود. تحلیل اول Buckle و تحلیل دوم Static,Riks نامیده می‌شود.

۴-۱- تحلیل Buckle

این فرایند حل، یک تحلیل خطی مقدار ویژه است و برای بدست آوردن مقادیر ویژه کمانش برای سازه‌های الاستیک و سخت^۳ مورد استفاده قرار می‌گیرد. به عبارت دیگر بار بحرانی، تغییر شکل‌های بحرانی و نیز شکل مدهای کمانش را بدست می‌دهد. یک مثال ساده از سازه‌های سخت ستون اوپلر است.

در یک مسئله مقدار ویژه کمانش به دنبال بارهایی می‌گردیم که در این بارها ماتریس سختی مدل تکین شود. بنابراین مسئله

^۱ Input file

^۲ Output database

^۳ Stiff

$$K^{MN}v^M = 0 \quad (1-3)$$

حلهای غیر صفر خواهد داشت. وقتی بار اعمال می‌شود، ماتریس سختی مماسی است. و v^M جابجایی‌های مخالف صفر هستند. بارهای اعمال شده می‌توانند شامل فشار، نیروهای متمرکز، جابجایی‌های غیر صفر معین و یا بارگذاری حرارتی باشند.

فرمول بندی مسئله مقدار ویژه به صورت زیر است:

$$(K_0^{NM} + \lambda_i K_{\Delta}^{NM})v_i^M = 0 \quad (2-3)$$

که در این رابطه K_0^{NM} ماتریس سختی مربوط به حالت اولیه و شامل تاثیرات پیش بارها است. K_{Δ}^{NM} ماتریس سختی دیفرانسیلی بار و تنش اولیه ناشی از الگوی بارگذاری افزایشی است. λ_i مقادیر ویژه هستند و v_i^M شکل مدهای کمانش (بردارهای ویژه) هستند. M و N مربوط به درجات آزادی کل مدل و i مشخص کننده مد کمانش نام است.

تحلیل‌های خطی، بار کمانش را بیشتر از مقدار واقعی پیش بینی می‌کنند. با این وجود، باید برای تمام نمونه‌ها ابتدا یک تحلیل خطی (مقدار ویژه) انجام شود تا شکل مدهایی که مقدار ویژه کمتری دارند بدست آیند؛ زیرا کمانش معمولاً در این مدها اتفاق می‌افتد (در هندسه مورد بررسی، کمانش در حالت تجربی فقط در مد یک رخ می‌دهد). جابجایی‌های مربوط به این شکل مدها در فایل ذخیره می‌شوند و در تحلیل بعدی (Static,Riks) به عنوان نقص اولیه¹ مورد استفاده قرار می‌گیرند تا تاثیر شکل مدها در تحلیل کمانش اعمال شود. برای این منظور از روش حلگر Subspace در نرم افزار استفاده شد. در غیر این صورت نرم افزار به طور اختیاری مد کمانش را انتخاب می‌کند که این معمولاً به نتایج غیر واقعی منجر می‌شود.

¹ Initial Imperfection

۲-۴- تحلیل Static,Riks

این روش حل یک فرایند تحلیل بار - جابجایی غیر خطی است. و برای تعیین بارهای فروپاشی بویژه برای سازه‌های حساس به عیب و نقص^۱ مناسب است. در این تحلیل می‌توان غیر خطی بودن ماده، شرایط مرزی و هندسه را در نظر گرفت.

این تحلیل غالباً باید با یک تحلیل مقدار ویژه کمانش همراه باشد. تا اطلاعات کاملی درباره فروپاشی سازه‌ها ارائه کند.

روش Riks از مقدار بار به عنوان یک مجهول اضافی استفاده می‌کند و بطور همزمان مسئله را برای بارها و جابجایی‌ها حل می‌کند. بنابراین یک کمیت دیگر برای اندازه‌گیری پیشروی حل باید مورد استفاده قرار گیرد. حلگر ABAQUS/Standard از طول کمان^۲ l ، در امتداد مسیر تعادل استاتیکی در فضای بار - جابجایی استفاده می‌کند. این روش منجر به حل مسئله می‌شود صرفنظر از اینکه پاسخ پایدار یا ناپایدار است [۳].

در این تحقیق برای بررسی رفتار کمانش و پیدا کردن منحنی‌های بار - جابجایی خطی از روش Static,Rics استفاده شد و همانطور که قبلاً گفته شد بارگذاری به صورت اعمال جابجایی در این Step صورت گرفت.

۳-۴- خواص مکانیکی ورق‌ها

برای بدست آوردن خواص مکانیکی نمونه‌ها ابتدا باید تست کشش انجام پذیرد. تست کشش بر روی نمونه استاندارد ASTM E8 و توسط دستگاه INSTRON انجام گرفت و مدول یانگ، تنش تسلیم و خواص پلاستیک ماده بدست آمد (شکل ۴-۱).

^۱ Imperfection

^۲ Arclength



شکل ۴-۱ تست کشش

در تحلیل المان محدود با نرم‌افزار ذکر شده برای تحلیل غیر خطی، خواص پلاستیک ماده نیز مورد نیاز می‌باشد. کرنش پلاستیک از رابطه زیر حاصل می‌شود.

$$\varepsilon_{pl} = \varepsilon_{real} - \frac{\sigma_{real}}{E} \quad (3-3)$$

جزئیات تست کشش و نتایج بدست آمده برای خواص ماده در فصل بعد آورده شده است. در این قسمت فقط نتایج حاصله ارائه می‌شود.

- مدول الاستیسیته، $E = 217GPa$ بدست آمد.

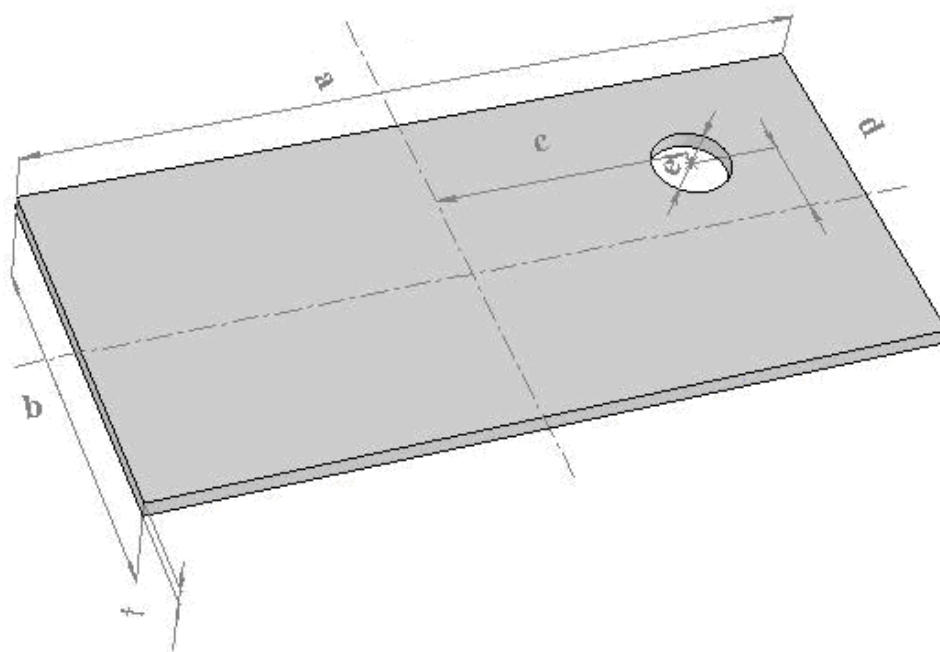
- ضریب پواسون $\nu = 0.33$ در نظر گرفته شد.

- تنش تسلیم $\sigma_y = 350MPa$.

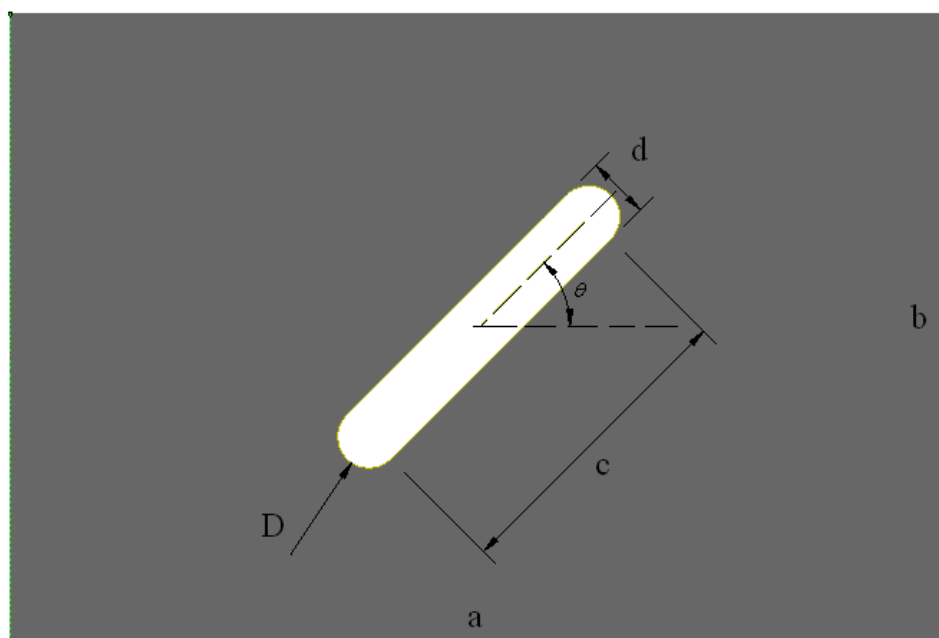
۴-۴- هندسه نمونه‌ها

از چند نسبت طول به عرض متفاوت (a/b) در تحلیل‌ها استفاده شده است که عبارتند از $1/1$ ، $1/6$ ، $1/5$ و $2/1$. عرض اسمی همه نمونه‌ها 100 mm می‌باشد. دو نوع گشودگی مورد بررسی گرفته است که عبارتند از گشودگی دایروی و گشودگی شیاری شکل. در گشودگی دایروی، شعاع آن 10 mm است و در گشودگی شیاری شکل، قطر شیار 10 mm می‌باشد. لازم به ذکر است که در تمام نمونه‌های

دارای شیار، مرکز شیار بر مرکز ورق مستطیلی منطبق است. در گشودگی دایروی، نمونه‌هایی با بیش از یک گشودگی نیز مورد بررسی قرار گرفته‌اند. نامگذاری نمونه‌های با یک گشودگی دایروی به‌طور پارامتری به شکل $pl-a-b-c-d-e-t$ می‌باشد. a نشانگر طول، b عرض ورق، c فاصله مرکز گشودگی از مرکز صفحه در امتداد طولی و d فاصله مرکز گشودگی از مرکز صفحه در امتداد عرضی، e قطر گشودگی دایروی شکل بوده و t عرض ورق می‌باشد. همه ابعاد به میلی‌متر می‌باشند. در نمونه‌های فاقد گشودگی e در نامگذاری صفر منظور شده است. شکل شماتیک یک نمونه با یک گشودگی دایروی به همراه پارامترهای فوق در شکل ۴-۲ مشاهده می‌شود. در نمونه‌های دارای بیش از یک گشودگی، نام گذاری به شکل $pl-a-b-x_1c_1-y_1d_1-\dots-x_nc_n-y_nd_n-e_1D_1-\dots-e_nD_n-t$ می‌باشد، که a و b مشابه نمونه‌های دارای یک گشودگی بوده و x_1 تا x_n به ترتیب فاصله اولین و n امین گشودگی از مرکز ورق در امتداد طولی و d_1 تا d_n مقادیر این پارامتر می‌باشند. به همین ترتیب، y_1 تا y_n به ترتیب فاصله اولین و n امین گشودگی از مرکز ورق در امتداد عرضی و e_1 تا e_n مقادیر این پارامتر می‌باشند. e_1 تا e_n نیز نشانگر قطر گشودگی‌ها بوده و مقادیر D_1 تا D_n مقدار عددی مربوطه را نشان می‌دهد. به دلیل طولانی بودن اسم این نمونه‌ها، از نامگذاری اختصاری در متن استفاده شده و نام کامل نمونه به همراه نام اختصاری مربوطه، در جدول ۴-۱ آورده شده است. در نمونه‌های با گشودگی شیاری شکل، نامگذاری به طور پارامتری به صورت $-t\theta pl-s-a-b-c-d-D$ می‌باشد که a و b مانند نمونه‌های با گشودگی دایروی مقدار طول و عرض ورق مستطیلی را نشان می‌دهند. c طول شیار، d عرض شیار و D قطر نیم‌دایره‌های انتهایی شیار می‌باشند. θ زاویه امتداد شیار با امتداد طولی ورق بوده و t ضخامت ورق می‌باشند. شکل شماتیک یک نمونه با گشودگی شیاری به همراه پارامترهای فوق در شکل ۴-۳ مشاهده می‌شود.



شکل ۴-۲ نحوه نام‌گذاری نمونه‌های دارای یک گشودگی دایروی



شکل ۴-۳ نحوه نام‌گذاری نمونه‌های دارای گشودگی شیاری شکل

جدول ۴-۱ نامگذاری نمونه‌های دارای بیش از یک گشودگی دایروی

نام اختصاری	نام کامل نمونه
pl2a	$pl-150-100.05-x_10-y_10-x_20-y_224.82-e_120-e_220-2.07$
pl2b	$pl-150-100.2-x_10-y_10-x_20-y_234.8-e_120-e_220-2.07$
pl2c	$pl-150-100.05-x_10-y_10-x_224.62-y_20-e_120-e_220-2.07$
pl2d	$pl-150-100-x_10-y_10-x_235.27-y_20-e_120-e_220-2.07$
pl2e	$pl-150-100.07-x_10-y_10-x_250-y_20-e_120-e_220-2.07$
pl2f	$pl-150-100-x_10-y_10-x_226.6-y_214.6-e_120-e_220-2.07$
pl2g	$pl-150-100-x_10-y_10-x_235.18-y_219.58-e_120-e_220-2.07$
pl2h	$pl-150-100-x_10-y_10-x_243.54-y_224.08-e_120-e_220-2.07$
pl2i	$pl-150-100.1-x_134.85-y_119.23-x_2(-36.25)-y_2(-19.11)-e_120-e_220-2.07$
pl3a	$pl-150-100.1-x_10-y_10-x_20-y_225.1-x_30-y_3(-24.95)-e_119.9-e_219.9-e_319.9-2.07$
pl3b	$pl-150-100-x_10-y_10-x_20-y_235.3-x_30-y_3(-35.5)-e_119.9-e_219.9-e_319.9-2.07$
pl3c	$pl-150-100.07-x_10-y_11.8-x_224.9-y_21-x_325.1-y_30.6-e_119.9-e_219.9-e_319.9-2.07$
pl3d	$pl-150-100.15-x_10.56-y_11.2-x_234.76-y_21.2-x_3(-35.24)-y_31.15-e_119.9-e_219.9-e_319.9-2.07$
pl3e	$pl-150-100.12-x_10-y_10.2-x_250.15-y_2(-1)-x_3(-49.07)-y_30.2-e_119.9-e_219.9-e_319.9-2.07$
pl3f	$pl-150-100.15-x_10.4-y_11.9-x_227.1-y_2(-13.3)-x_3(-25.05)-y_316.3-e_119.9-e_219.9-e_319.9-2.07$
pl3g	$pl-150-100.05-x_11-y_10.2-x_236-y_2(-19.15)-x_3(-33.7)-y_318.95-e_119.9-e_219.9-e_319.9-2.07$
pl3h	$pl-150-100.05-x_10.75-y_10.65-x_242.55-y_2(-23.85)-x_3(-43.3)-y_324.23-e_119.9-e_219.9-e_319.9-2.07$
pl4a	$pl-150-100.25-x_135.4-y_1(-19.42)-x_234.6-y_218.87-x_3(-35.75)-y_3(-20.37)-x_4(-34.3)-y_418.62-e_119.9-e_219.9-e_319.9-e_419.9-2.07$
pl4b	$pl-150-100-x_124.45-y_10.35-x_2(-0.25)-y_224.9-x_3(-25.15)-y_3(-0.05)-x_40.05-y_4(-24.35)-e_119.9-e_219.9-e_319.9-e_419.9-2.07$
pl5a	$pl-150-100.05-x_10.1-y_10.5-x_235.2-y_2(-18.9)-x_335.15-y_319.35-x_4(-34.9)-y_419.7-x_5(-34.6)-y_5(-18.8)-e_119.9-e_219.9-e_319.9-e_419.9-e_519.9-2.07$
pl5b	$pl-150-100.1-x_1(-0.4)-y_11.05-x_243.9-y_2(-23.1)-x_344.1-y_324.5-x_4(-44.1)-y_424.1-x_5(-43.85)-y_5(-24.05)-e_119.9-e_219.9-e_319.9-e_419.9-e_519.9-2.07$
pl5c	$pl-150-100.25-x_1(-0.325)-y_10.575-x_224.925-y_20.375-x_3(-0.225)-y_325.175-x_4(-25.525)-y_40.575-x_5(-0.925)-y_5(-25.275)-e_119.9-e_219.9-e_319.9-e_419.9-e_519.9-2.07$
pl5d	$pl-150-100.15-x_1(-0.4)-y_10.325-x_234.25-y_20.275-x_30.05-y_334.925-x_4(-35.1)-y_40.975-x_5(-0.45)-y_5(-34.875)-e_119.9-e_219.9-e_319.9-e_419.9-e_519.9-2.07$
pl8	$pl-150-100.2-x_129.405-y_10.35-x_220.575-y_220.85-x_3(-0.675)-y_329.65-x_4(-21.645)-y_421.5-x_5(-30.075)-y_50.25-x_6(-21.575)-y_6(-21.45)-x_7(-0.325)-y_7(-29.4)-x_820.373-y_8(-21.4)-e_119.9-e_219.9-e_319.9-e_419.9-e_519.9-e_619.9-e_719.9-e_819.9-2.07$

۴-۵- شرایط مرزی

برای اعمال شرایط مرزی روی لبه های ورق مستطیلی، با توجه به محدودیت نرم افزار ABAQUS در ایجاد بار گسترده خطی، از دو صفحه صلب متصل به دو انتهای ورق استفاده می شود. بار به صورت متمرکز روی مرکز صفحه بالایی اعمال می شود که نتیجه آن ایجاد بار محوری گسترده و فشاری روی هر دو لبه ورق می باشد. همچنین تمام درجات آزادی صفحه پایینی و نیز تمام درجات آزادی صفحه بالایی بجز حرکت در راستای محور z (امتداد طولی ورق)، مقید می شود. در نتیجه شرایط مرزی برای لبه های کناری آزاد و برای لبه های بالا و پایین گیردار یعنی CFCF^۱ خواهد بود.

۴-۶- المان بندی نمونه ها

برای مش بندی نمونه ها از المان غیر خطی S8R که المان کوادراتیک ۸ گرهی با ۶ درجه آزادی برای پوسته های نسبتاً ضخیم می باشد، استفاده شده است. این المان دارای درجات آزادی مناسبی جهت مدل کردن نمونه ها و شرایط مرزی می باشند. در المان S8R اثر تنش برشی نیز اعمال می شود که به دقت نتایج می افزاید. در این المان از یک انتگرال کاهش یافته^۲ برای محاسبه ماتریس سختی استفاده می کنند. ولی ماتریس های جرم و بار به طور دقیق انتگرال گیری می شوند. انتگرال کاهش یافته معمولاً منجر به نتایج دقیقتری می شود. مشروط به اینکه المانها خراب نباشند یا تحت بارگذاری خمشی صفحه ای^۳ قرار نگرفته باشند. همچنین این روش باعث کاهش زمان تحلیل می شود. با بررسی نتایج و نیز مشاهده نتایج تجربی معلوم شده است که استفاده از این نوع المان انتخاب مناسبی بوده است. در نمونه های دارای گشودگی جهت افزایش دقت در محاسبات در نزدیکی گشودگی المانها ریزتر شده اند. یک نمونه از المان بندی در اطراف گشودگی دایروی و شیاری در شکل ۴-۴ مشاهده می شود.

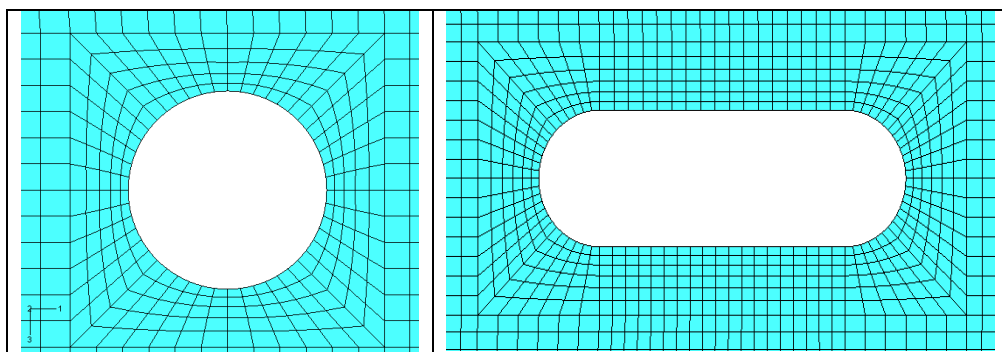
^۱ Clamped Free Clamped Free

^۲ Reduced Integration

^۳ In-Plane bending

۴-۷- فرآیند تحلیل

همان طور که قبلاً اشاره شد، تحلیلهای خطی، بخصوص برای ورقهای ضخیم، بار کمانش را بیشتر از مقدار واقعی پیش بینی می کنند. با این وجود، باید برای تمام نمونه ها ابتدا یک تحلیل خطی (مقدار ویژه) انجام شود تا شکل مدهایی که مقدار ویژه کمتری دارند بدست آیند؛ زیرا کمانش معمولاً در مد ۱ اتفاق می افتد. جابجایی های مربوط به این مدها در فایلی ذخیره می شوند و در تحلیل بعدی (Static,Riks) مورد استفاده قرار می گیرند تا تاثیر شکل مدها در تحلیل کمانش اعمال شود.



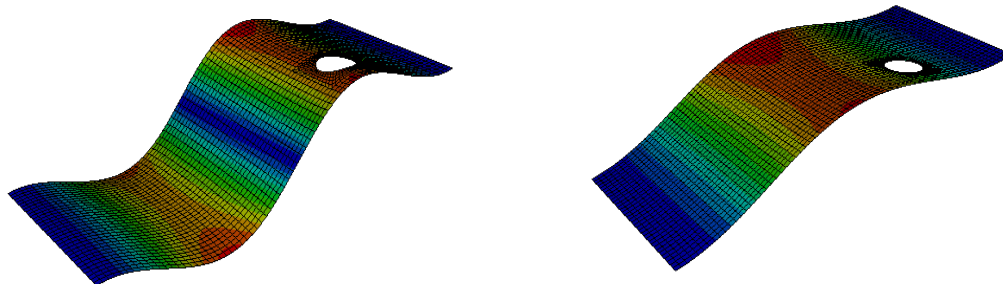
شکل ۴-۴ مش بندی اطراف گشودگی

در تحلیل غیر خطی باید شکل مدی که نمونه در عمل بدان شکل کمانش می کند را (که در بررسی تجربی حاضر تماماً مد یک بوده) به همراه نقص اولیه ورق به نرم افزار داد. بدین منظور، قبل از تحلیل عددی مقدار نقص اولیه تمامی نمونه ها در آزمایشگاه اندازه گیری شده است که در فصل بعدی روش کار مفصلاً بیان خواهد شد. پس از اتمام اندازه گیری نقص اولیه برای تمامی نمونه ها مشاهده شد که مقدار نقص اولیه به طور میانگین حدود ۲۵٪ ضخامت ورق می باشد. اما به هر حال به منظور دقت بیشتر در تحلیل ها، مقدار نقص اولیه هر نمونه جداگانه اندازه گیری شده و به عنوان ورودی نرم افزار وارد تحلیل عددی شده است.

همانطور که در فصل دوم بیان شد در مراجع مختلف، مقادیر متفاوتی برای این پارامتر در نظر گرفته شده است. khaled [۵] مقدار $b/2000$ را به عنوان نقص اولیه فرض کرده است. Shanmugam [۷] در تحقیق خود وی نقص اولیه را معادل $b/1000$ برای تمامی ورقها در نظر گرفته و Roberts [۸]، نقص اولیه ورق را تابعی بسته صورت

حاضر از آن استفاده شده است، یعنی اندازه‌گیری تجربی نقص اولیه برای هر نمونه، بهترین راه تعیین این پارامتر می‌باشد.

در شکل ۴-۵ دو مد کمانش برای نمونه pl-210-100-49.6-26.3-20.2-2.07 به عنوان مثال آورده شده است.



مد دو

مد یک

شکل ۴-۵ مدهای کمانش نمونه pl-210-100-49.6-26.3-20.2-2.07

۴-۸- نتایج تحلیل المان محدود

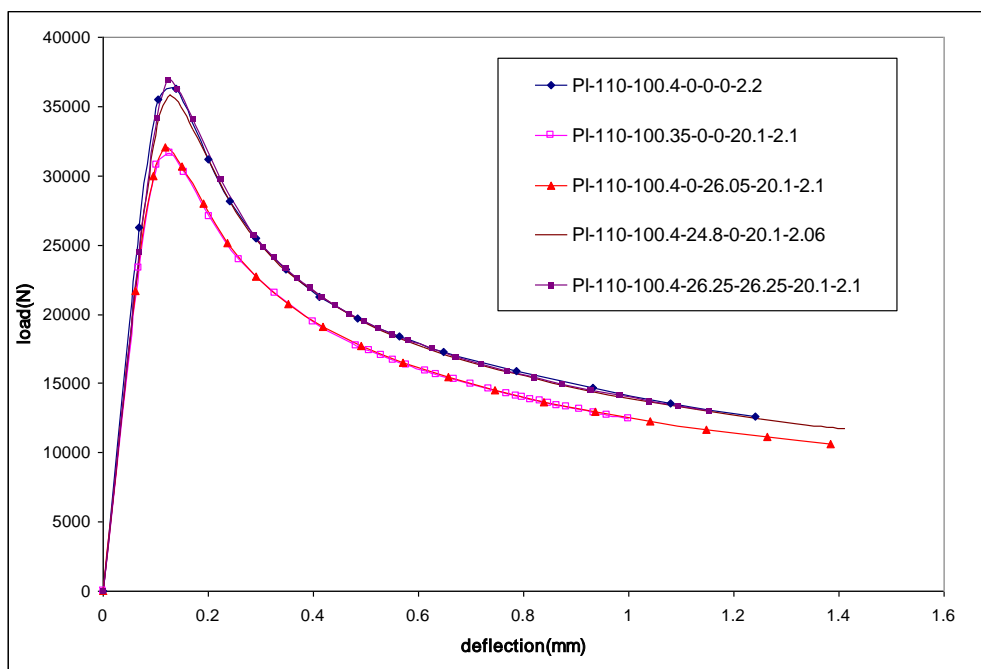
پس از بدست آمدن نتایج تحلیل غیر خطی برای هر نمونه، مقدار بار از لبه گیردار و مقدار جابجایی در امتداد طول (کوتاه شدگی^۱) از لبه بالایی استخراج می‌شوند. نقطه ماکزیمم نمودار بار-جابجایی، مقدار بار بحرانی کمانش را نشان می‌دهد.

نتایج تحلیل عددی به چند دسته تقسیم شده و به ترتیب آورده شده‌اند. در هر گروه از نمونه‌ها، شکل‌های مربوط به مد کمانش نمونه‌ها، نمودارهای بار-جابجایی و جدول مربوط به بار کمانش و مقدار نقص اولیه آورده شده‌اند.

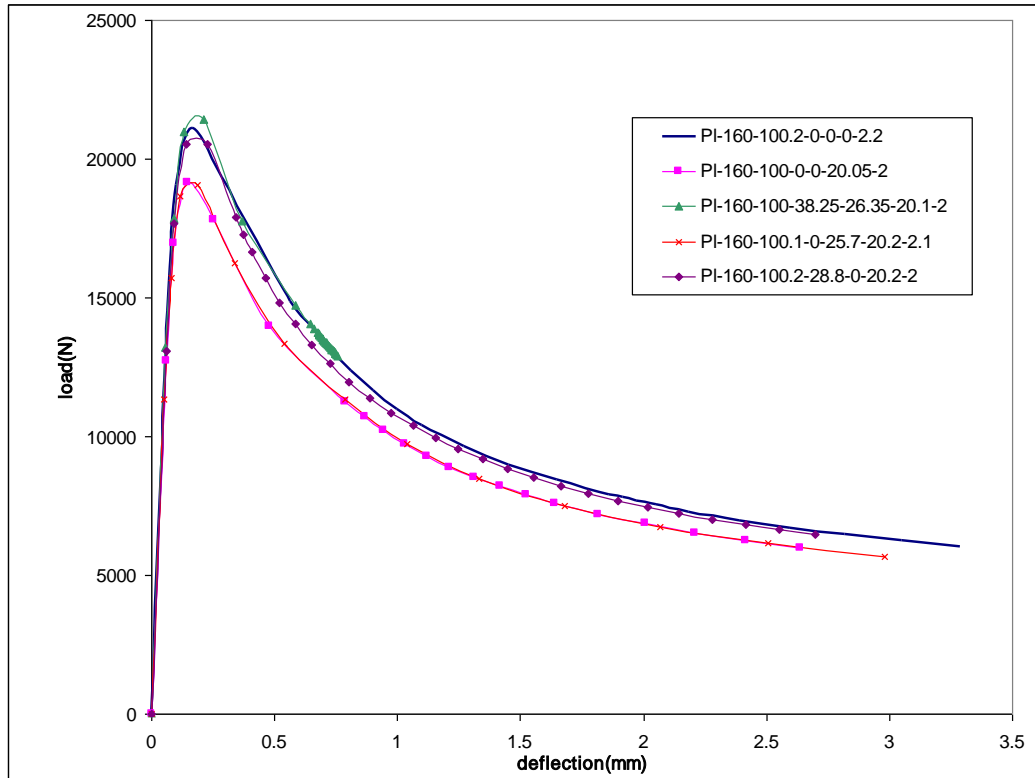
^۱ deflection

۴-۸-۱- نتایج تحلیل عددی نمونه‌های دارای یک گشودگی دایروی

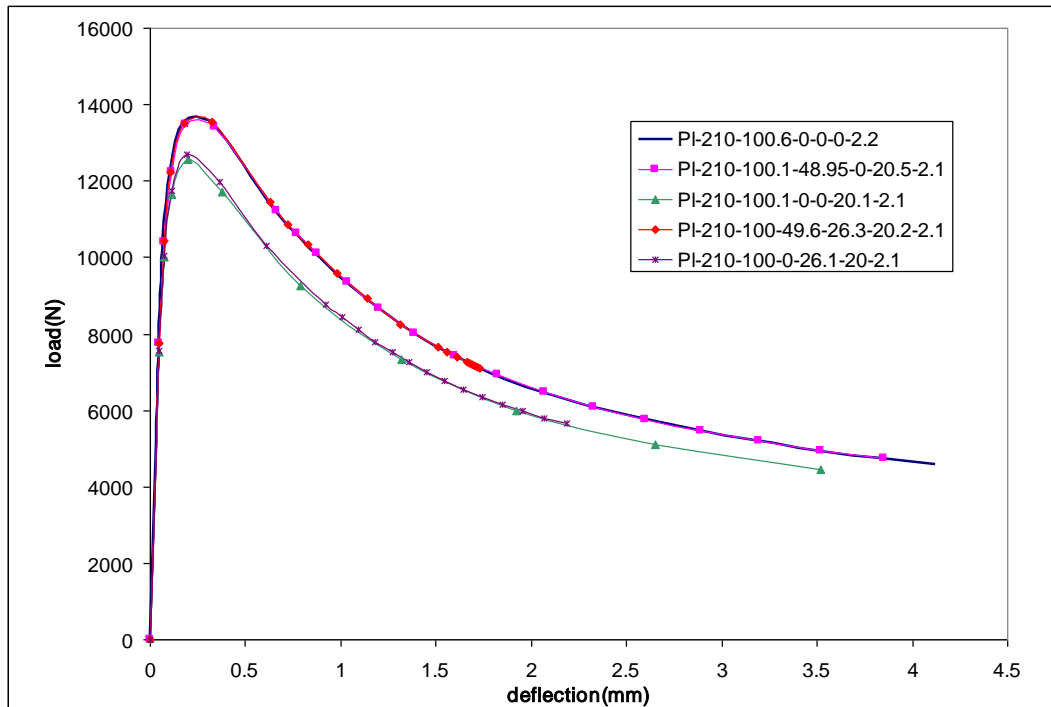
در شکل‌های ۴-۶ تا ۴-۸ منحنی‌های بار-جابجایی حاصل از تحلیل عددی با نرم‌افزار ABAQUS برای نمونه‌های دارای یک گشودگی دایروی با نسبت طول به عرض ۱/۱، ۱/۶ و ۲/۱ آورده شده‌اند. در شکل ۴-۹ منحنی‌های بار-جابجایی برای نمونه‌های دارای یک گشودگی دایروی با نسبت طول به عرض ۱/۵ مشاهده می‌شوند. در شکل ۴-۱۰ شکل کمانش کرده نمونه p1-150-100,07-49,97-0-20,2-2,05 پس از تحلیل غیر خطی به همراه کانتورهای تنش فون میزس، آورده شده است. در جدول ۴-۲ برای نمونه‌های دارای یک گشودگی دایروی با نسبت طول به عرض ۱/۱، ۱/۶ و ۲/۱ مقدار بار کمانش همراه با نقص اولیه برای مقایسه بهتر آورده شده‌اند. در جدول ۴-۳ مقدار بار کمانش همراه با نقص اولیه برای نمونه‌های دارای یک گشودگی دایروی با نسبت طول به عرض ۱/۵ مشاهده می‌شود.



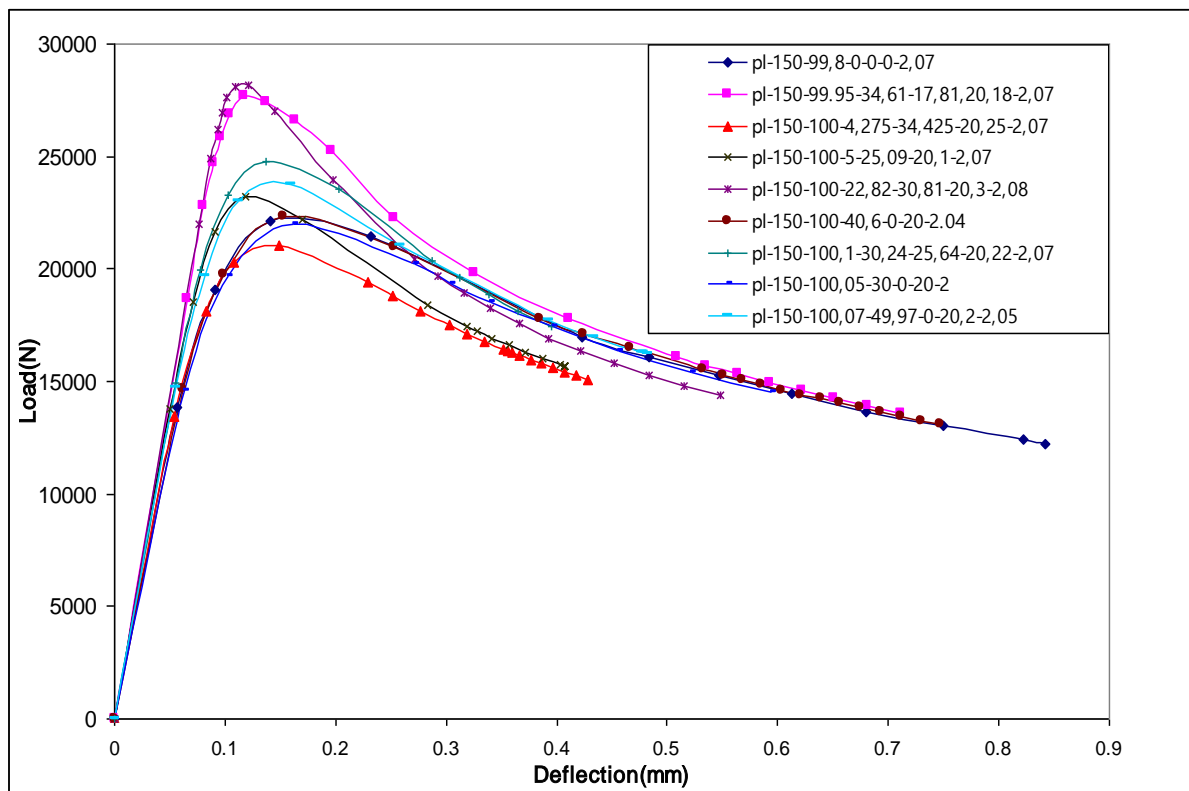
شکل ۴-۶ نمودار بار-جابجایی برای نمونه‌های با نسبت طول به عرض ۱/۱



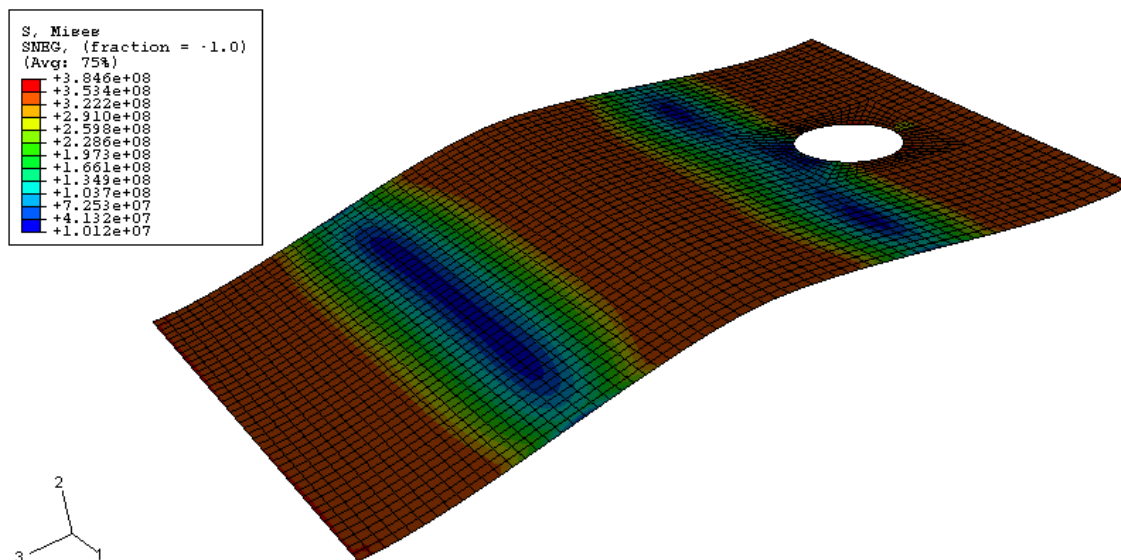
شکل ۴-۷ نمودار بار-جابجایی برای نمونه‌های با نسبت طول به عرض ۱/۶



شکل ۴-۸ نمودار بار-جابجایی برای نمونه‌های با نسبت طول به عرض ۲/۱



شکل ۴-۹ نمودار بار-جابجایی برای نمونه‌های با نسبت طول به عرض ۱/۵



شکل ۴-۱۰ مد کمانش نمونه pl-150-100,07-49,97-0-20,2-2,05

جدول ۴-۲ نتایج تحلیل المان محدود نمونه‌های دارای یک گشودگی دایروی با نسبت طول به

عرض ۱/۱، ۱/۶ و ۲/۱

Specimen name	Aspect ratio	Imperfection (m)	P _{cr} (FEM) (N)
<i>Pl-110-100.4-0-0-0-2.2</i>	1.1	0.00044	36286.6
<i>Pl-110-100.35-0-0-20.1-2.1</i>	1.1	0.00042	31599.6
<i>Pl-110-100.4-0-26.05-20.1-2.1</i>	1.1	0.00042	32064.4
<i>Pl-110-100.4-24.8-0-20.1-2.06</i>	1.1	0.000412	35784.5
<i>Pl-110-100.4-26.25-26.25-20.1-2.1</i>	1.1	0.00042	36864.1
<i>Pl-160-100.2-0-0-0-2.2</i>	1.6	0.00055	21829.8
<i>Pl-160-100-0-0-20.05-2</i>	1.6	0.0005	19167.5
<i>Pl-160-100-38.25-26.35-20.1-2</i>	1.6	0.000325	21425.5
<i>Pl-160-100.1-0-25.7-20.2-2.1</i>	1.6	0.000525	19079.9
<i>Pl-160-100.2-28.8-0-20.2-2</i>	1.6	0.0005	20550.3
<i>Pl-210-100-0-26.1-20-2.1</i>	2.1	0.000525	12692.6
<i>Pl-210-100-49.6-26.3-20.2-2.1</i>	2.1	0.000525	13532.7
<i>Pl-210-100.1-0-0-20.1-2.1</i>	2.1	0.000525	12576
<i>Pl-210-100.1-48.95-0-20.5-2.1</i>	2.1	0.000525	12480.4
<i>Pl-210-100.6-0-0-0-2.2</i>	2.1	0.00055	13546.3

جدول ۴-۳ نتایج تحلیل المان محدود نمونه‌های دارای یک گشودگی دایروی با نسبت طول به

عرض ۱/۵

Specimen name	Imperfection (m)	P _{cr} (FEM) (N)
<i>pl-150-99,8-0-0-0-2,07</i>	0.00058	22112.8
<i>pl-150-99,95-34,61-17,81-20,18-2,07</i>	0.0001	27679.8
<i>pl-150-100-4,275-34,425-20,25-2,07</i>	0.00045	21044.3
<i>pl-150-100-5-25,09-20,1-2,07</i>	0.00025	23234.2
<i>pl-150-100-22,82-30,81-20,3-2,08</i>	0.00005	28171.3
<i>pl-150-100-40,6-0-20-2.04</i>	0.00055	22340
<i>pl-150-100,1-30,24-25,64-20,22-2,07</i>	0.0003	24799.6
<i>pl-150-100,05-30-0-20-2</i>	0.00058	21981.3
<i>pl-150-100,07-49,97-0-20,2-2,05</i>	0.00035	23778.5

واضح است که با افزایش نسبت طول به عرض، بار کمانش به نسبت بسیار زیادی کاهش می‌یابد. به عنوان مثال، با افزایش نسبت طول از ۱/۱ به ۲/۱ در نمونه‌های فاقد گشودگی، بار کمانش ۶۲٪ کاهش یافته است. با بررسی نتایج همانطور که انتظار می‌رفت، مشخص گردید که در صورت یکسان بودن نقص اولیه، قطعه بدون سوراخ دارای بیشترین بار کمانش می‌باشد.

در نمونه PI-110-100.4-0-0-0-2.2 بدلیل بیشتر بودن نقص اولیه، بار کمانش از نمونه PI-110-100.4-26.25-26.25-20.1-2.1 حدود ۶۰۰ نیوتون کمتر است. ولی در دو نسبت طول به عرض ۱/۶ و ۲/۱، نمونه فاقد گشودگی دارای بیشترین بار کمانش می‌باشد.

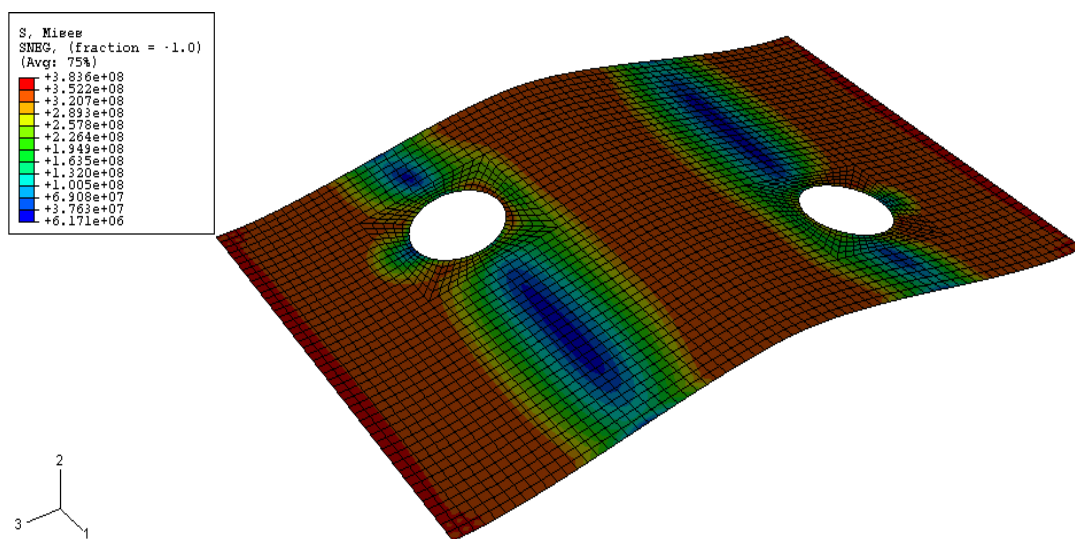
نتیجه مهم دیگری که حاصل شد این است که جابجا شدن گشودگی از مرکز ورق در امتداد عرضی، به مقدار در نظر گرفته شده، تاثیر بسیار اندکی در کاهش بار کمانش دارد. در جابجا شدن گشودگی از مرکز ورق در امتداد عرضی در حالی که هیچ جابجایی در امتداد طولی صورت نگیرد، اختلاف بین بار کمانش برای نمونه‌های دارای گشودگی در نسبت طول به عرض‌های ۱/۱، ۱/۶ و ۲/۱ در حدود ۲٪ می‌باشد. با بررسی مشخص شد که در صورتی که فاصله مرکز گشودگی از مرکز ورق در امتداد طولی از حد مشخصی تجاوز کند، تاثیر آن بر کاهش بار کمانش بسیار اندک خواهد بود. به عنوان مثال در نمونه pl-160-100-38.25-26.35-20.1-2 که فاصله مرکز گشودگی از مرکز ورق در امتداد طولی ۳۸/۲۵ میلی‌متر می‌باشد، اختلاف بار کمانش این نمونه با نمونه فاقد گشودگی کمتر از ۲٪ است. در حالی که این اختلاف بین نمونه PI-160-100.1-0-25.7-20.2-2.1 و نمونه بدون سوراخ با همان نسبت طول به عرض، ۱۲٪ است، چرا که گشودگی در فاصله طولی موثر از مرکز صفحه، که در قسمت ۴-۱۰ بدست خواهد آمد) واقع است. همچنین با بررسی نتایج مشخص می‌شود که وجود این گشودگی با قطر معادل 0.2 b بیشتر از ۱۲٪، بار کمانش را در نمونه‌های با نسبت طول به عرض -های ۱/۱، ۱/۶ و ۲/۱، کاهش نداده است.

در نمونه‌های با نسبت طول به عرض ۱/۵، تاثیر بسیار زیاد نقص اولیه به وضوح مشاهده می‌شود، به طوری که نمونه‌های PI-150-100-22,82-30,81-20,3-2,08 و PI-150-99.95-34,61-17,81,20,18-2,07 که در مقایسه با سایر نمونه‌ها دارای نقص اولیه کمتری هستند بیشترین مقادیر بار کمانش را به خود اختصاص داده‌اند و بار کمانش نمونه فاقد گشودگی، به دلیل زیاد بودن مقدار نقص اولیه، به مراتب کمتر از این نمونه‌ها می‌باشد. در نمونه‌هایی که نقص اولیه

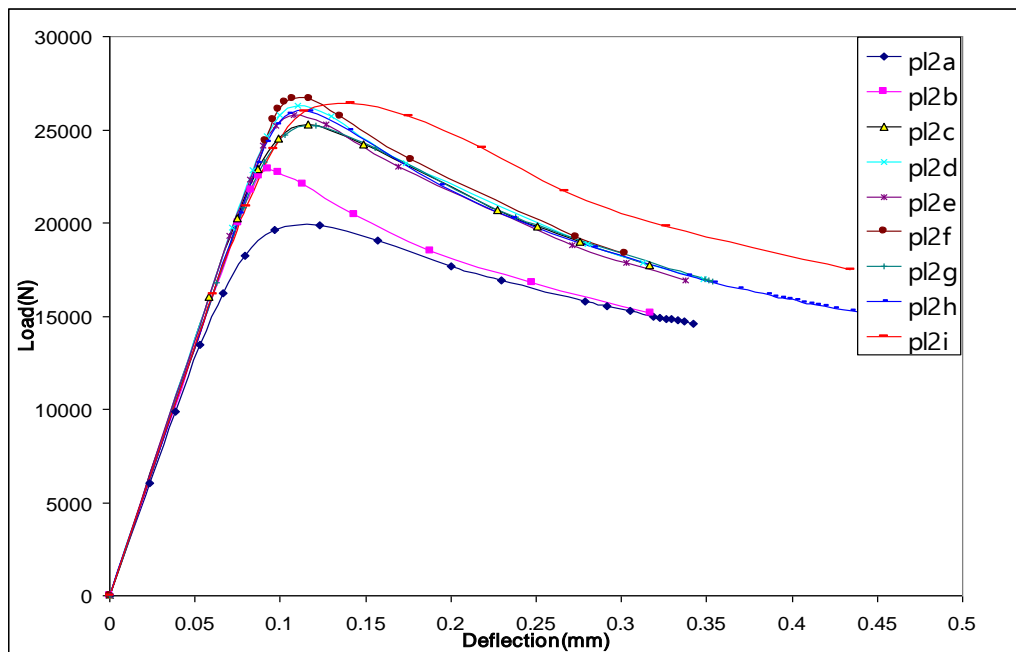
یکسانی دارند، می‌توان نمونه فاقد گشودگی را با نمونه pl-150-100,05-30-0-20-2 مقایسه کرد، که در این مورد نیز مشاهده می‌شود که وجود گشودگی تنها ۰/۶٪ بار کمانش را کاهش داده است. به سادگی می‌توان نتیجه گیری کرد که این گشودگی در خارج از فاصله موثر طولی از مرکز صفحه واقع شده است. در نمونه‌های pl-150-100,05-30-0-20-2 و pl-150-100-40,6-0-20-2.04 که نقص اولیه در آنها تقریباً مشابه است، مشاهده می‌شود که بارها تقریباً مشابه هستند، در حالی که فاصله طولی مرکز گشودگی دایروی، حدود ۱۰ mm افزایش یافته است. پس می‌توان نتیجه گیری کرد که در صورتی که گشودگی در فاصله طولی موثر از مرکز صفحه واقع نشود، جابجایی گشودگی در خارج از این محدوده نیز تاثیر چندانی در بار کمانش نخواهد داشت. کمترین بار کمانش نیز در این نسبت طول به عرض مربوط به نمونه pl-150-100-4,275-34,425-20,25-2,07 می‌باشد، چرا که هم گشودگی در فاصله طولی موثر از مرکز صفحه واقع شده است و هم دارای نقص اولیه نسبتاً زیادی است.

۴-۸-۲- نتایج تحلیل عددی نمونه‌های دارای بیش از یک گشودگی دایروی

در شکل ۴-۱۱ فرم کمانش نمونه pl2i آورده شده است. در شکل ۴-۱۲ منحنی‌های بار-جابجایی برای نمونه‌های دارای دو گشودگی دایروی و در جدول ۴-۴ مقادیر بار بحرانی کمانش این نمونه‌ها، به همراه نقص اولیه مربوط به هر نمونه، آورده شده است.



شکل ۴-۱۱ مد کمانش نمونه pl2i



شکل ۴-۱۲ نمودار بار-جابجایی برای نمونه‌های دارای دو گشودگی دایروی

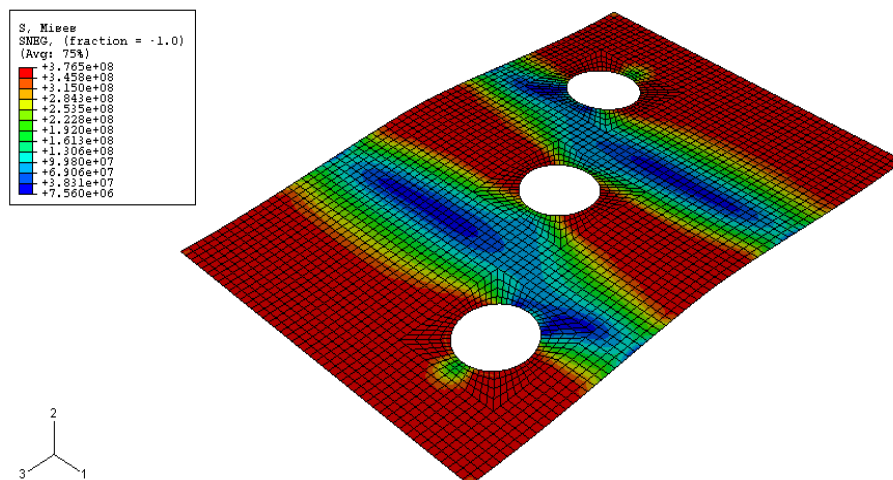
جدول ۴-۴ نتایج تحلیل المان محدود برای نمونه‌های دارای دو گشودگی دایروی

Specimen name	Imperfection (m)	$P_{cr}(FEM)$ (N)
<i>pl2a</i>	0.0002	19884.9
<i>pl2b</i>	0.00005	22916.6
<i>pl2c</i>	0.0001	25254.6
<i>pl2d</i>	0.00005	26314.3
<i>pl2e</i>	0.00005	25767.4
<i>pl2f</i>	0.00002	26685.6
<i>pl2g</i>	0.0001	25215.7
<i>pl2h</i>	0.00005	25976.3
<i>pl2i</i>	0.00015	26446

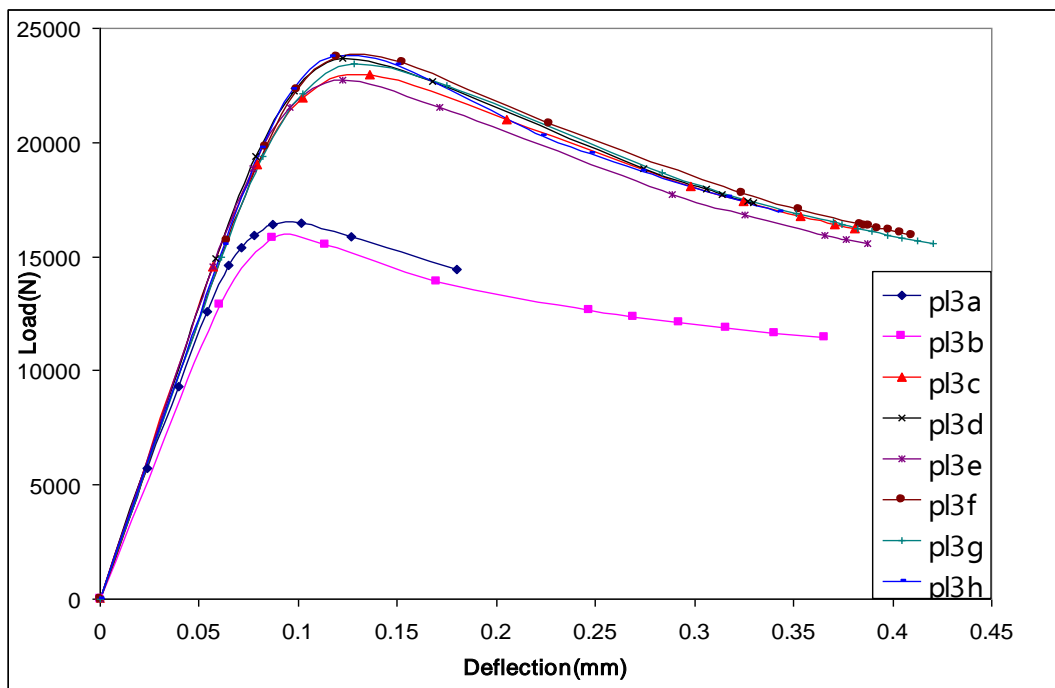
در این نمونه‌ها نیز همانند نمونه‌های دارای یک گشودگی، واقع شدن گشودگی‌ها در فاصله طولی موثر از مرکز صفحه، بار کمانش را در نمونه‌های *pl2a* و *pl2b* حدود 6000 N نسبت به سایر نمونه‌های دارای دو گشودگی کاهش داده است. در مقایسه نمونه *pl2c* با نمونه *pl-150-99.95-34.61-17.81-20.18-2,07*، که دارای نقص اولیه یکسان می‌باشند، مشاهده می‌شود که در نمونه *pl2c*، که گشودگی دوم خارج از فاصله طولی موثر از مرکز ورق واقع شده، بار کمانش

حدود ۲۵۰۰N کاهش یافته است، که این کاهش فقط در اثر وجود یک گشودگی بیشتر در نمونه pl2c (گشودگی مرکزی) می‌باشد. با مقایسه مقادیر بار کمانش در نمونه‌های pl2a و pl2i که مقدار نقص اولیه مشابهی دارند، مشاهده می‌شود که در نمونه pl2i که هر دو گشودگی در خارج از فاصله طولی موثر از مرکز ورق واقع شده‌اند، بار کمانش نسبت به نمونه pl2a که در آن، هر دو گشودگی در داخل این محدوده قرار دارند، ۲۵٪ افزایش یافته است. در مقایسه نمونه‌های pl2c و pl2g که نقص اولیه یکسانی دارند، مشاهده می‌شود که وقتی فاصله گشودگی دوم، در هر دو نمونه، بیشتر از فاصله طولی موثر از مرکز صفحه است، بار کمانش برای هر دو نمونه یکسان بوده و با جابجایی نمونه در امتداد عرضی صفحه، در نمونه pl2g، تغییری در بار کمانش حاصل نشده است. با مقایسه نمونه pl2b با نمونه‌های pl2d و pl2e و pl2h که همگی دارای نقص اولیه یکسانی می‌باشند نیز مشاهده می‌شود که در نمونه pl2b که هر دو گشودگی در داخل محدوده موثر واقع شده‌اند، بار کمانش نسبت به سه نمونه دیگر که در هر سه آنها یکی از گشودگی‌ها خارج این محدوده قرار دارند، حدود ۱۲٪ کاهش یافته است، و در نمونه‌های pl2e و pl2h که در آنها گشودگی دوم نسبت به نمونه pl2d، به ترتیب، فاصله بیشتری از مرکز صفحه در امتداد طولی داشته و به لبه عرضی صفحه نزدیکتر می‌شود، بار کمانش اندکی کاهش یافته است.

در شکل ۴-۱۳ فرم کمانش نمونه pl3h، در شکل ۴-۱۲ منحنی‌های بار-جابجایی برای نمونه‌های دارای سه گشودگی دایروی و در جدول ۴-۵ مقادیر بار بحرانی کمانش این نمونه‌ها، به همراه نقص اولیه مربوط به هر نمونه، آورده شده است.



شکل ۴-۱۳ مد کمانش نمونه pl3h



شکل ۴-۱۴ نمودار بار-جابجایی برای نمونه‌های دارای سه گشودگی دایروی

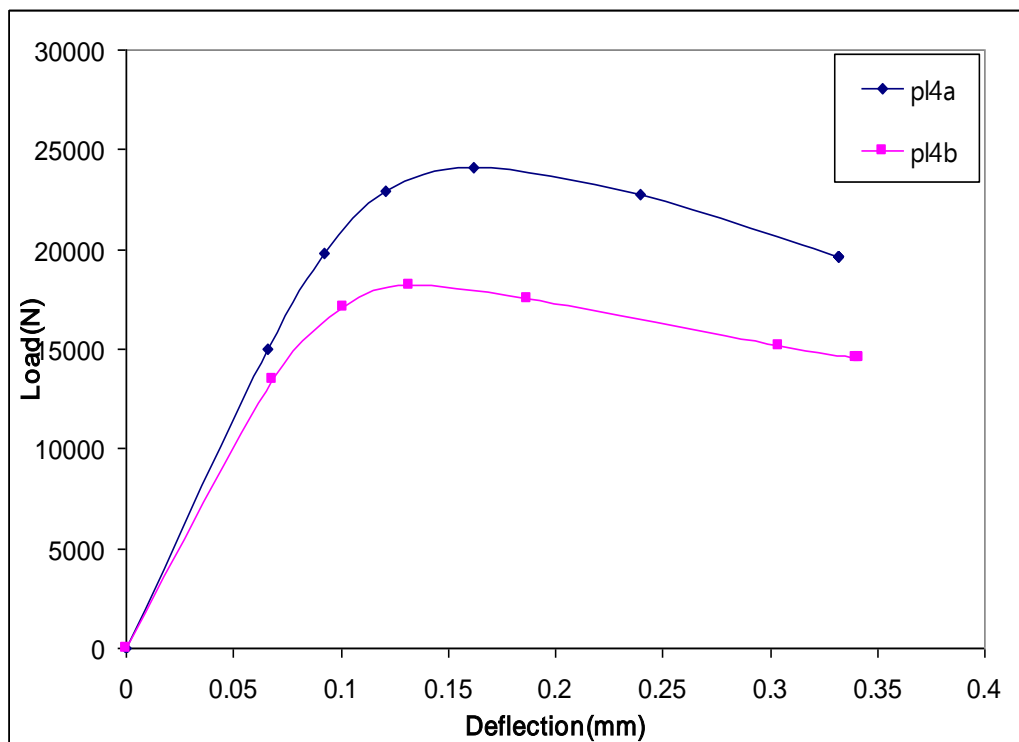
جدول ۴-۵ نتایج تحلیل المان محدود برای نمونه‌های دارای سه گشودگی دایروی

Specimen name	Imperfection (m)	$P_{cr}(FEM)$ (N)
<i>pl3a</i>	0.00015	16477
<i>pl3b</i>	0.00035	15797.2
<i>pl3c</i>	0.00025	22989.6
<i>pl3d</i>	0.0002	23682.3
<i>pl3e</i>	0.0002	22724.8
<i>pl3f</i>	0.00015	23771.5
<i>pl3g</i>	0.0002	23473.9
<i>pl3h</i>	0.00015	23767.6

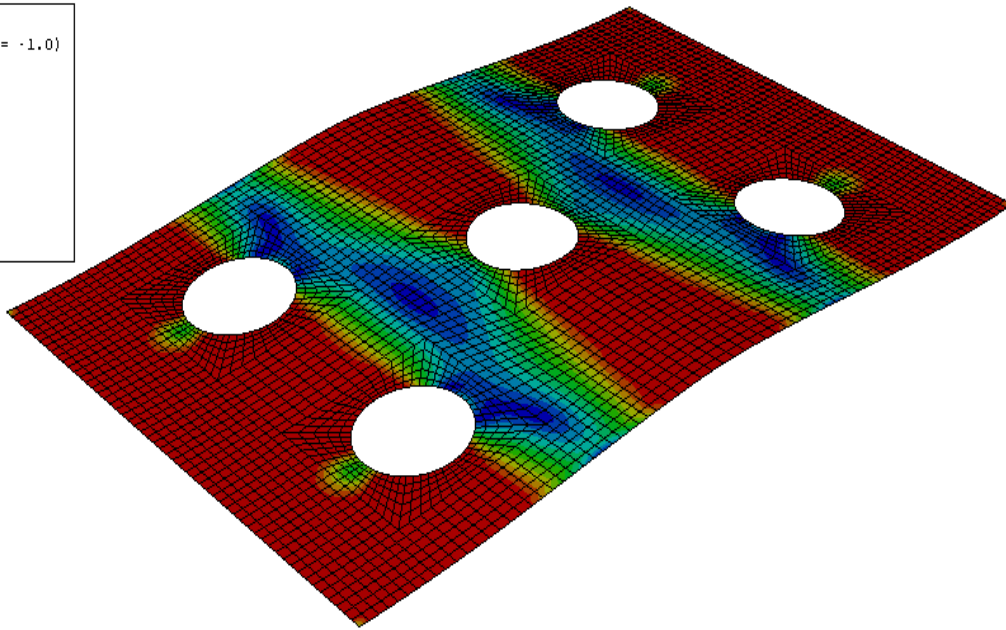
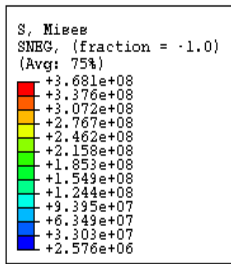
در نمونه‌های دارای سه گشودگی دایروی نیز قرار گرفتن گشودگیها در فاصله طولی موثر از مرکز صفحه، بار کمانش را به میزان قابل توجهی کاهش داده است، به طوریکه در نمونه *pl3a* و *pl3b* که هر سه گشودگی در آنها در این محدوده واقع شده، بار کمانش نسبت به سایر نمونه‌ها در حدود ۳۰٪ کاهش یافته است. در مقایسه نمونه‌های *pl3f* و *pl3h* با نمونه *pl3a* که هر سه نمونه دارای نقص اولیه یکسانی می‌باشند، مشاهده می‌شود که در نمونه‌های *pl3f* و *pl3h* که در آنها دو گشودگی

خارج از فاصله طولی موثر از مرکز صفحه واقع شده‌اند، بار کمانش نسبت به نمونه p13a، که در آن هر سه گشودگی در این محدوده واقع شده، حدود ۳۰٪ بیشتر است. در نمونه p13e بار کمانش نسبت به نمونه p13d، بدلیل نزدیک شدن گشودگی‌ها به لبه عرضی، اندکی کاهش یافته است، و با مقایسه نمونه p13g با نمونه p13d، باز هم مشاهده می‌شود که جابجا شدن گشودگی‌ها در امتداد عرضی ورق، تاثیری در بار کمانش ندارد.

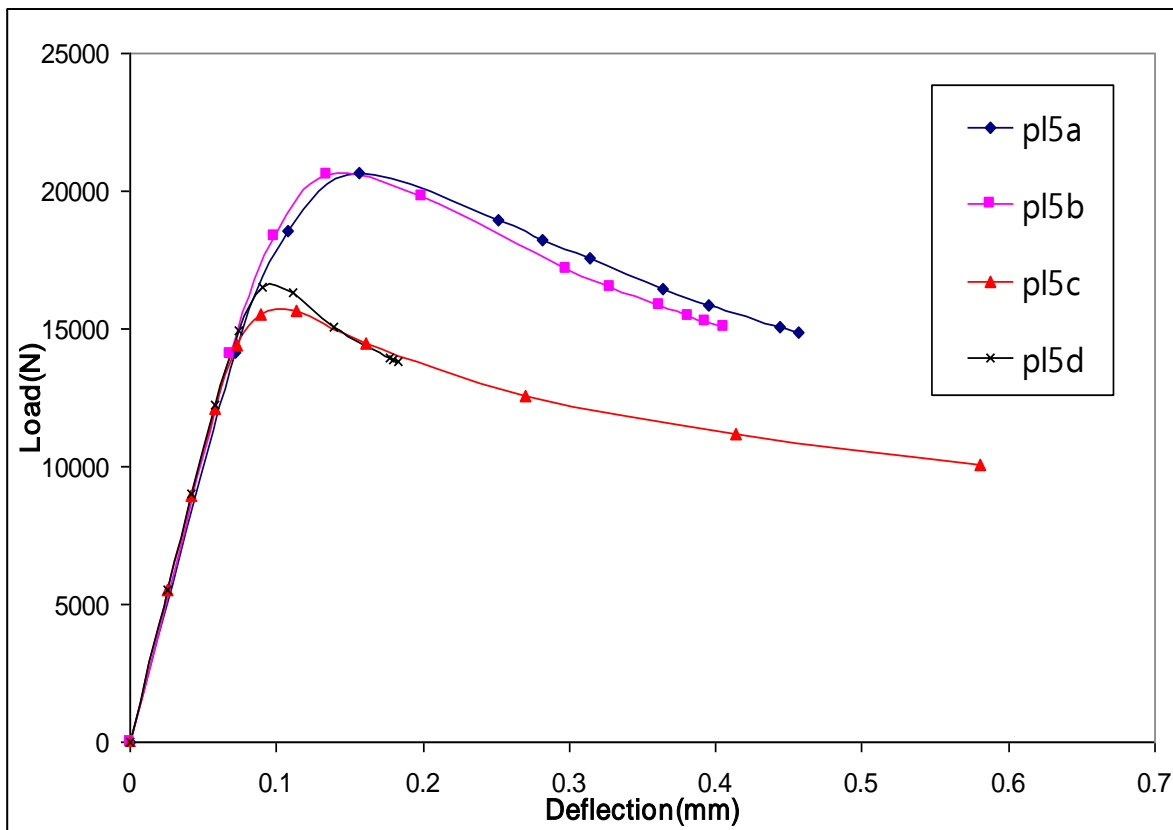
شکل ۴-۱۵، منحنی‌های بار-جابجایی نمونه‌های دارای چهار گشودگی دایروی را نشان می‌دهد. شکل ۴-۱۶، فرم کمانش نمونه p15b و شکل ۴-۱۷، منحنی‌های بار-جابجایی نمونه‌های دارای پنج گشودگی دایروی را نشان می‌دهند. به همین ترتیب، شکل ۴-۱۸ فرم کمانش نمونه p18 و شکل ۴-۱۹ منحنی‌های بار-جابجایی p18 را نشان می‌دهد. مقادیر بار بحرانی کمانش نمونه‌های دارای چهار، پنج و هشت گشودگی دایروی، به همراه نقص اولیه مربوط به هر نمونه، در جدول ۴-۶ آورده شده است.



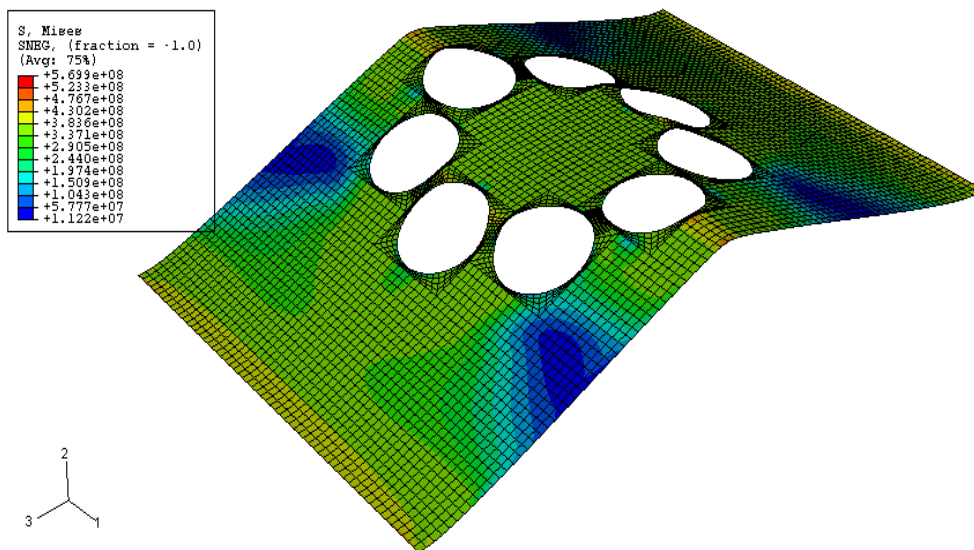
شکل ۴-۱۵ نمودار بار-جابجایی برای نمونه‌های دارای چهار گشودگی دایروی



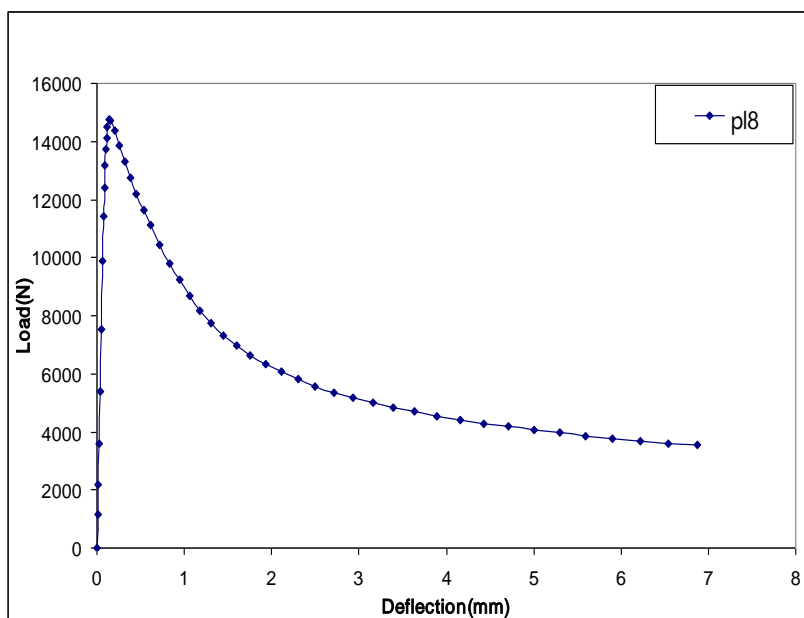
شکل ۴-۱۶ مد کمانش نمونه p15b



شکل ۴-۱۷ نمودار بار-جابجایی برای نمونه‌های دارای پنج گشودگی دایروی



شکل ۴-۱۸ مد کمانش نمونه p18



شکل ۴-۱۹ نمودار بار-جابجایی برای نمونه‌های دارای هشت گشودگی دایروی

در نمونه p14b که دو گودگی از چهار گشودگی، در فاصله طولی موثر از مرکز صفحه واقع شده‌اند، بار کمانش نسبت به نمونه p14a، که در آن هیچکدام از گشودگی‌ها در این محدوده قرار ندارند، ۲۵٪ کاهش یافته است. نمونه p15a مشابه نمونه p14a می‌باشد، با این تفاوت که یک گشودگی مرکزی در نمونه p15a اضافه شده، و وجود این گشودگی، بار کمانش این نمونه را نسبت به نمونه p14a حدود ۴۰۰۰N کاهش داده است.

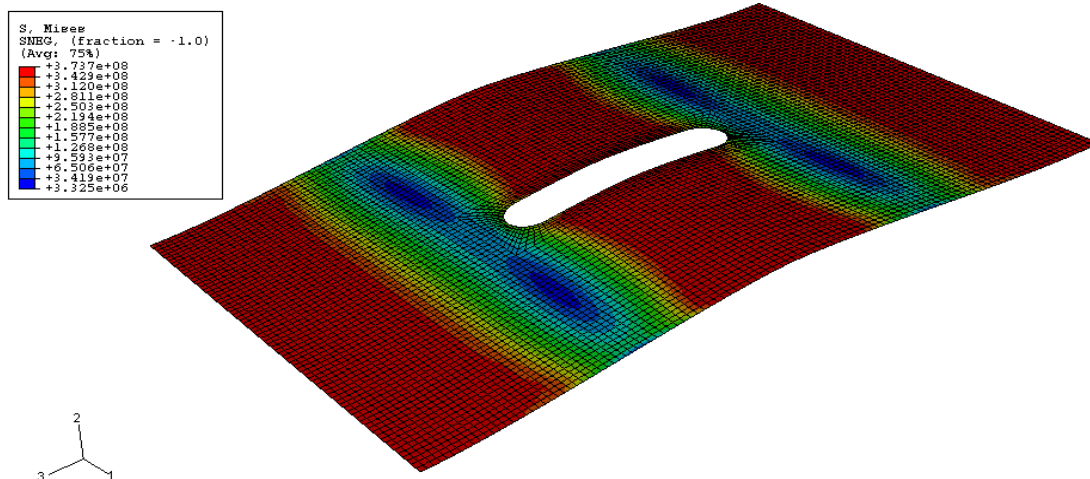
جدول ۴-۶ نتایج تحلیل المان محدود برای نمونه‌های دارای چهار، پنج و هشت گشودگی دایروی

Specimen name	Imperfection (m)	$P_{cr}(FEM)$ (N)
<i>pl4a</i>	0.0003	24101
<i>pl4b</i>	0.0004	18220.2
<i>pl5a</i>	0.00045	20644.9
<i>pl5b</i>	0.00035	20614.4
<i>pl5c</i>	0.00025	15642.3
<i>pl5d</i>	0.00025	16519.1
<i>pl8</i>	0.0003	14749.8

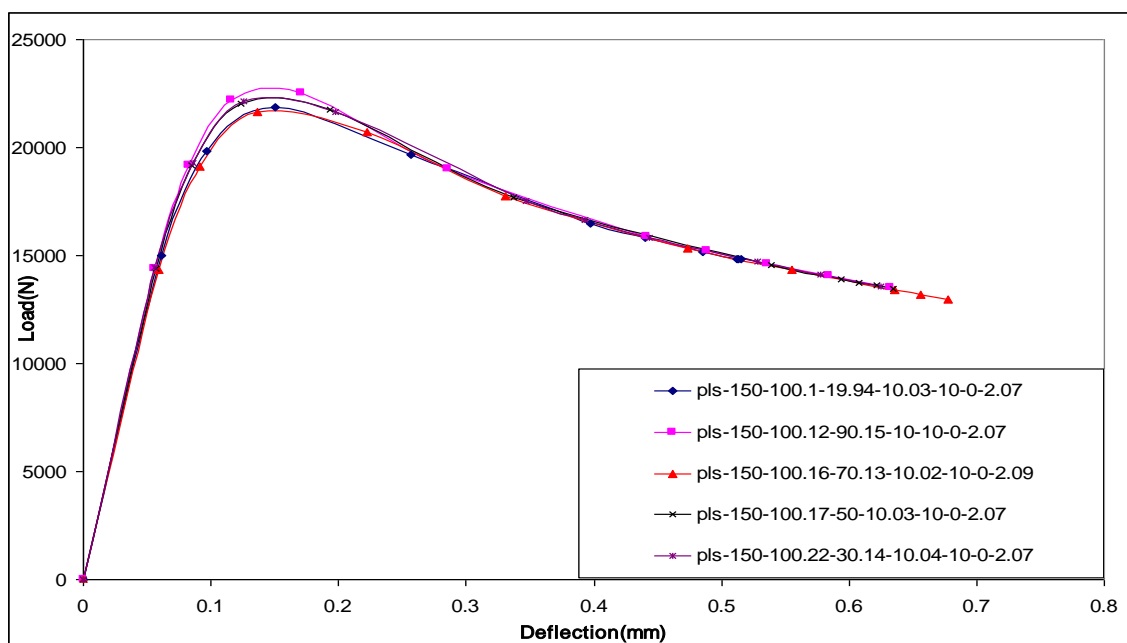
در نمونه *pl5b* گشودگی‌ها، بجز گشودگی مرکزی، در امتداد طولی و عرضی نسبت به نمونه *pl5a* جابجا شده‌اند و همانطور که ملاحظه می‌شود بدلیل اینکه این گشودگی‌های جابجا شده، در هر دو نمونه، خارج از فاصله طولی موثر از مرکز صفحه واقع شده‌اند، تفاوتی در بار کمانش این دو نمونه مشاهده نمی‌شود. نمونه *pl5c* نیز مشابه نمونه *pl4b* است، با این تفاوت که یک گشودگی مرکزی در این نمونه اضافه شده است، و به دلیل وجود همین گشودگی مرکزی، بار کمانش این نمونه نسبت به نمونه *pl4b* حدود $3000N$ کاهش یافته، که اگر نقص اولیه نمونه *pl5c* هم به مانند نمونه *pl4b* بود، حتما این تفاوت در مقدار بار کمانش بیشتر می‌شد. در نمونه *pl5d* فاصله گشودگیها از مرکز صفحه نسبت به نمونه *pl5c* بیشتر شده است، و به دلیل اینکه دو گشودگی که در نمونه *pl5c* اندکی در ناحیه موثر واقع شده بودند، و در نمونه *pl5d* این دو گشودگی کاملا به خارج از این محدوده انتقال یافته‌اند، بنابراین مقدار بار کمانش در این نمونه نسبت به نمونه *pl5c* اندکی افزایش یافته است. نمونه *pl8* هم با توجه به تعداد گشودگی‌ها، کمترین مقدار بار کمانش را در بین تمام نمونه‌های با نسبت طول به عرض $1/5$ را به خود اختصاص داده است.

۴-۸-۳- نتایج تحلیل عددی نمونه‌های دارای گشودگی شیاری شکل

در شکل‌های ۴-۲۰ تا ۴-۲۹ شکل‌ها، و نمودارهای بار-جابجایی، و در جداول ۴-۷ تا ۴-۱۱، بار کمانش حاصل از تحلیل عددی و مقدار نقص اولیه، به ترتیب برای نمونه‌های دارای گشودگی شیاری شکل دارای θ برابر با ۰، ۳۰، ۴۵، ۶۰ و ۹۰ درجه، آورده شده است.



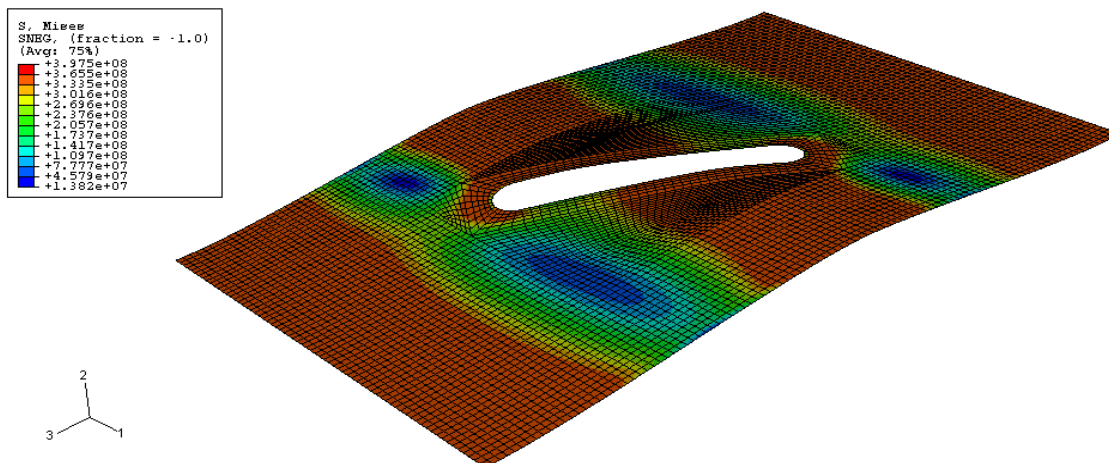
شکل ۴-۲۰ مد کمانش نمونه pls-150-100.17-50-10.03-10-0-2.07



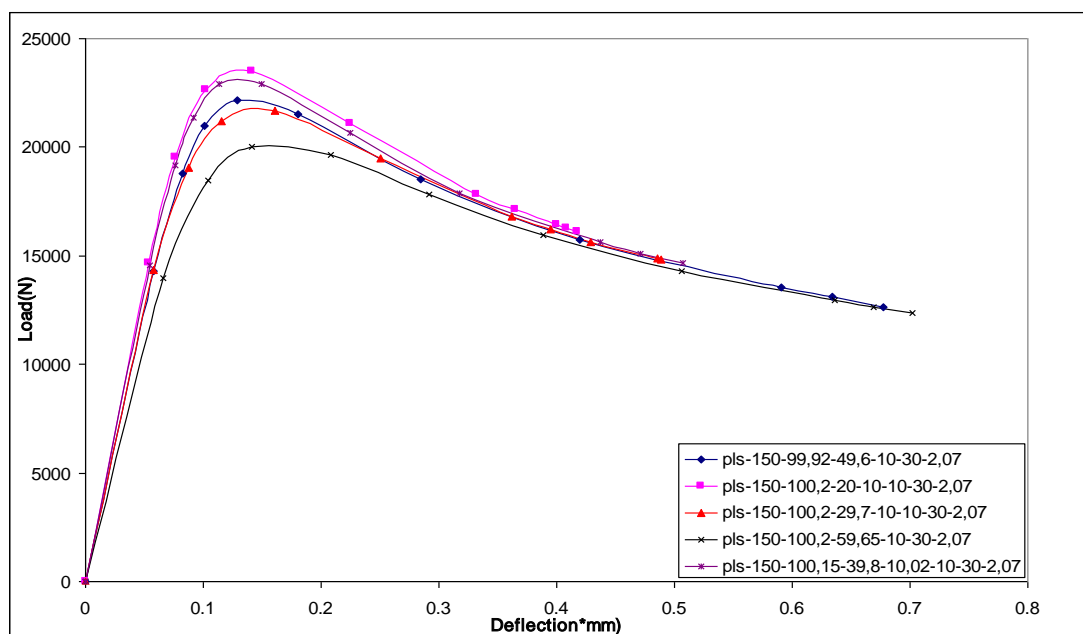
شکل ۴-۲۱ نمودار بار-جابجایی برای نمونه‌های دارای گشودگی شیاری با θ برابر ۰ درجه

جدول ۴-۷ نتایج تحلیل المان محدود برای نمونه‌های دارای گشودگی شیاری با θ برابر ۰ درجه

Specimen name	Imperfection (m)	P _{cr} (FEM) (N)
pls-150-100.1-19.94-10.03-10-0-2.07	0.0005	21876
pls-150-100.12-90.15-10-10-0-2.07	0.00035	22546.5
pls-150-100.16-70.13-10.02-10-0-2.09	0.00045	21672.6
pls-150-100.17-50-10.03-10-0-2.07	0.0004	22031.6
pls-150-100.22-30.14-10.04-10-0-2.07	0.00042	22158.5



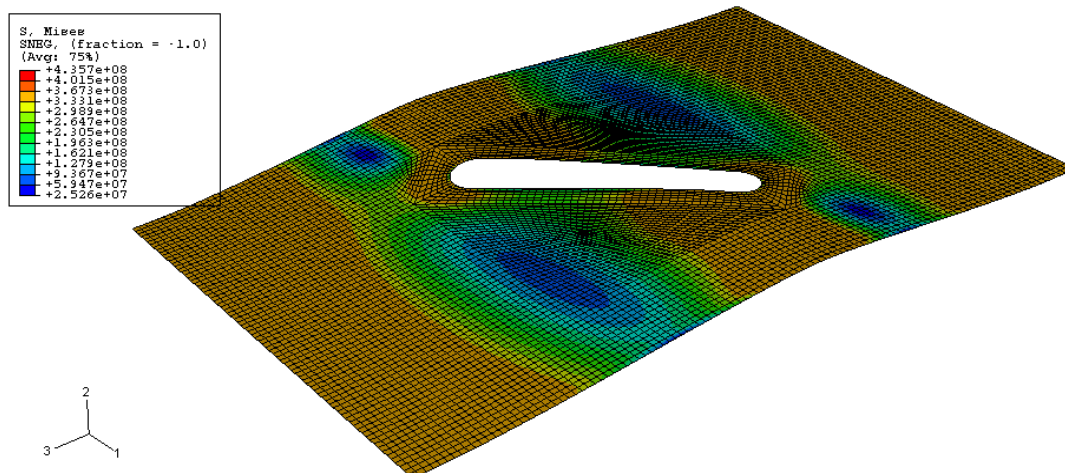
شکل ۴-۲۲ مد کمانش نمونه *pls-150-100,2-59,65-10-30-2,07*



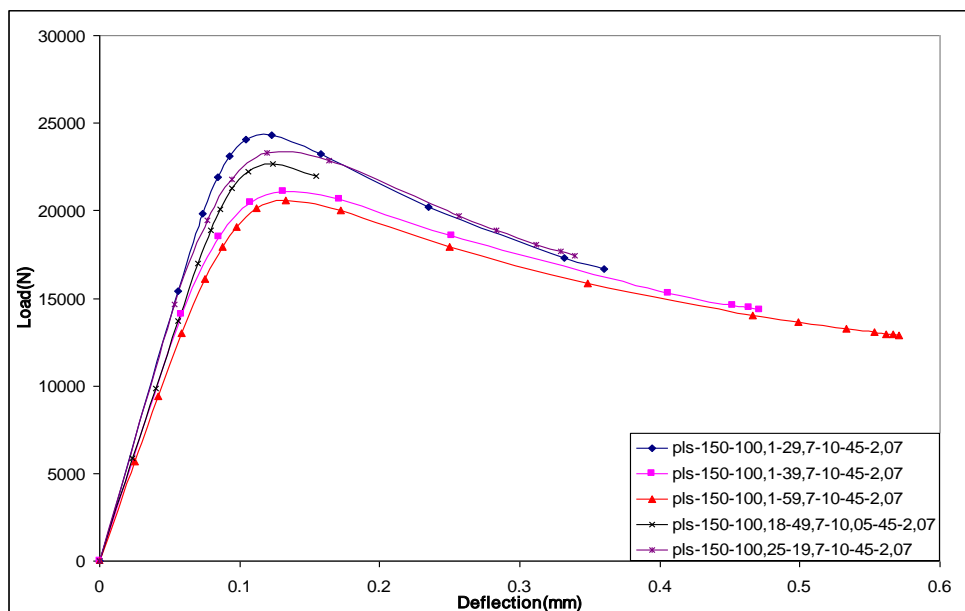
شکل ۴-۲۳ نمودار بار-جابجایی برای نمونه‌های دارای گشودگی شیاری با θ برابر ۳۰ درجه

جدول ۴-۸ نتایج تحلیل المان محدود برای نمونه‌های دارای گشودگی شیاری با θ برابر ۳۰ درجه

Specimen name	Imperfection (m)	$P_{cr}(FEM)$ (N)
<i>pls-150-99,92-49,6-10-30-2,07</i>	0.0003	22166.5
<i>pls-150-100,2-20-10-10-30-2,07</i>	0.0003	23497
<i>pls-150-100,2-29,7-10-10-30-2,07</i>	0.00043	21667.6
<i>pls-150-100,2-59,65-10-30-2,07</i>	0.0005	20034.1
<i>pls-150-100,15-39,8-10,02-10-30-2,07</i>	0.00025	22937.4



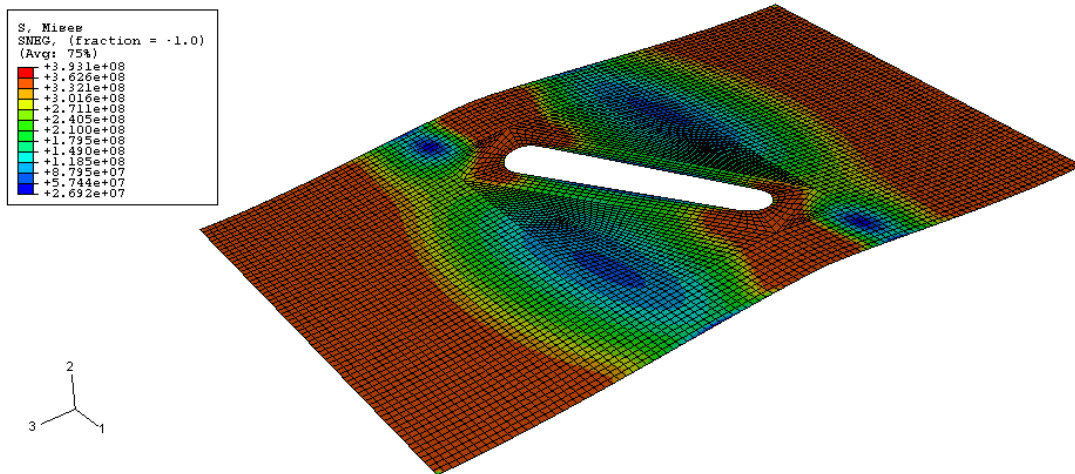
شکل ۴-۲۴ مد کمانش نمونه *pls-150-100,1-59,7-10-45-2,07*



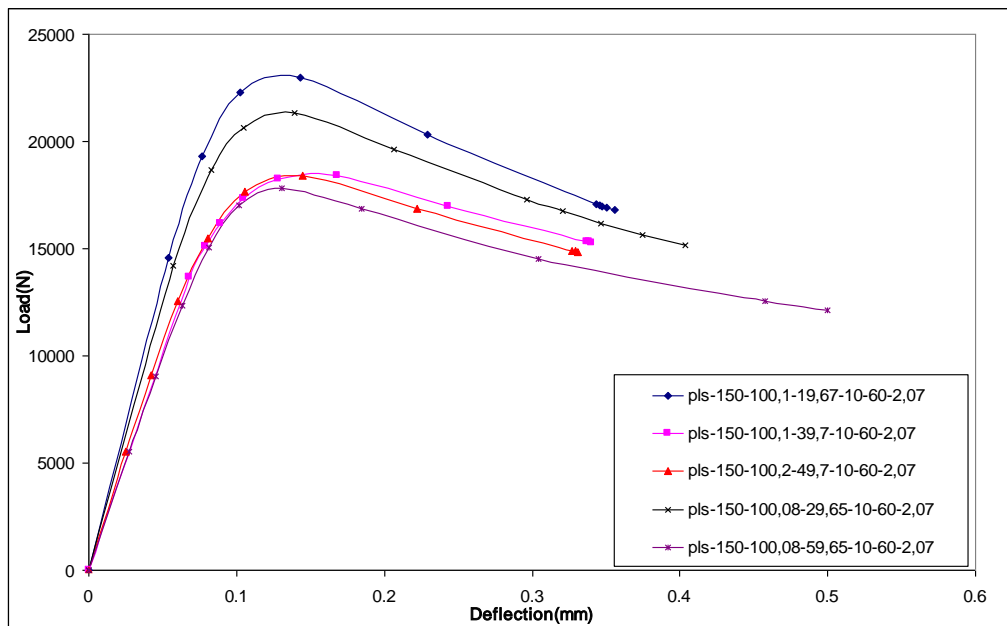
شکل ۴-۲۵ نمودار بار-جابجایی برای نمونه‌های دارای گشودگی شیاری با θ برابر ۴۵ درجه

جدول ۴-۹ نتایج تحلیل المان محدود برای نمونه‌های دارای گشودگی شیاری با θ برابر ۴۵ درجه

Specimen name	Imperfection (m)	$P_{cr}(FEM)$ (N)
<i>pls-150-100,1-29,7-10-45-2,07</i>	0.00015	24344.7
<i>pls-150-100,1-39,7-10-45-2,07</i>	0.00035	21122.6
<i>pls-150-100,1-59,7-10-45-2,07</i>	0.00025	20602.8
<i>pls-150-100,18-49,7-10,05-45-2,07</i>	0.00015	22645.3
<i>pls-150-100,25-19,7-10-45-2,07</i>	0.0003	23286.8



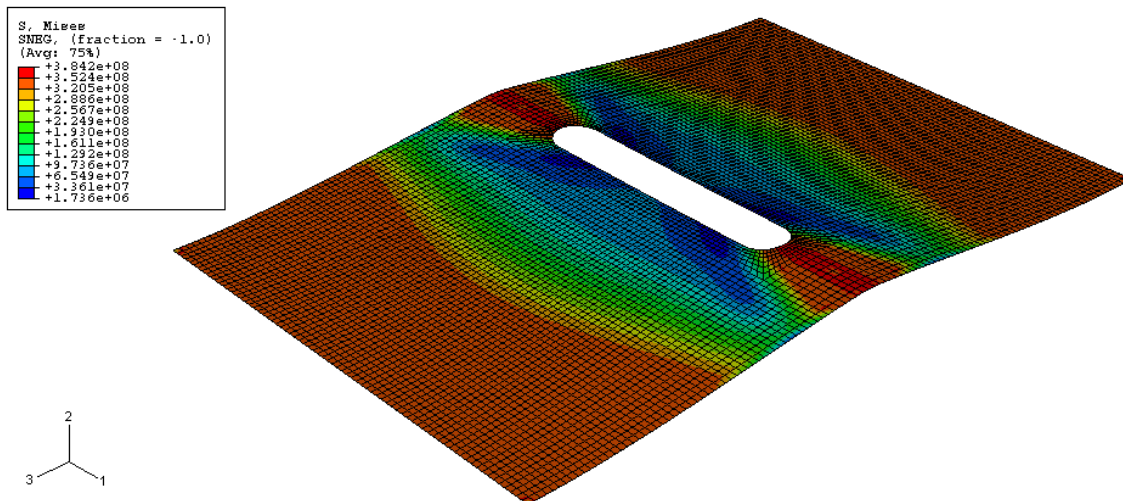
شکل ۴-۲۶ مد کمانش نمونه *pls-150-100,08-59,65-10-60-2,07*



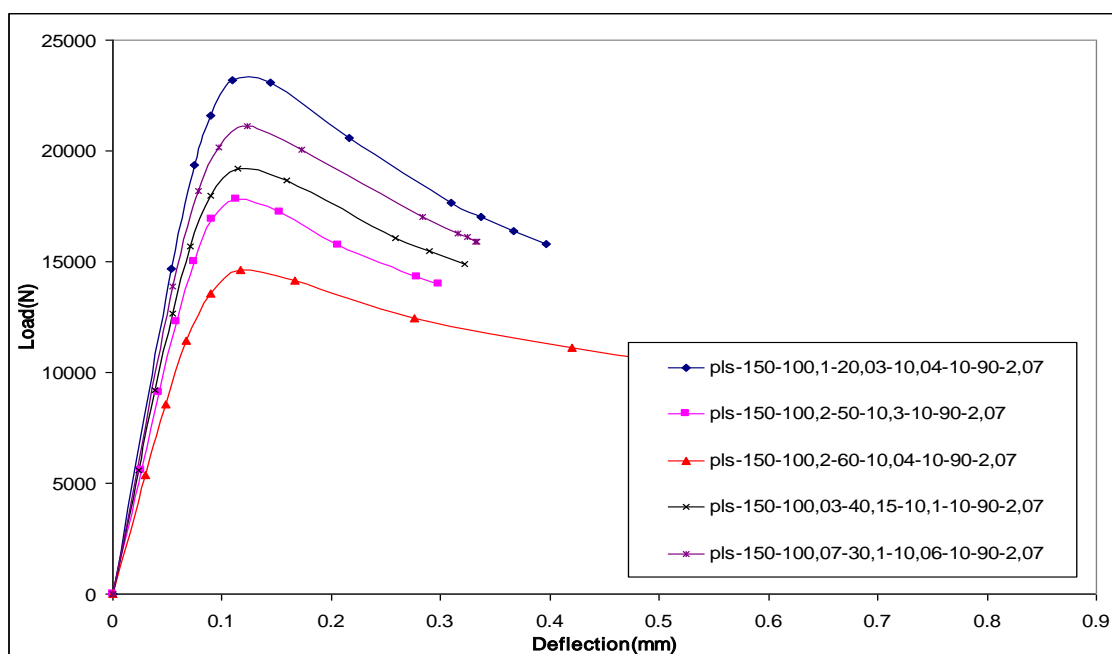
شکل ۴-۲۷ نمودار بار-جابجایی برای نمونه‌های دارای گشودگی شیاری با θ برابر ۶۰ درجه

جدول ۴-۱۰ نتایج تحلیل المان محدود برای نمونه‌های دارای گشودگی شیاری با θ برابر ۶۰ درجه

Specimen name	Imperfection (m)	$P_{cr}(FEM)$ (N)
<i>pls-150-100,1-19,67-10-60-2,07</i>	0.0003	22962.4
<i>pls-150-100,1-39,7-10-60-2,07</i>	0.00055	18388.4
<i>pls-150-100,2-49,7-10-60-2,07</i>	0.0004	18403.5
<i>pls-150-100,08-29,65-10-60-2,07</i>	0.00035	21330
<i>pls-150-100,08-59,65-10-60-2,07</i>	0.0003	17834.4



شکل ۴-۲۸ مد کمانش نمونه *pls-150-100,2-60-10,04-10-90-2,07*



شکل ۴-۲۹ نمودار بار-جابجایی برای نمونه‌های دارای گشودگی شیاری با θ برابر ۹۰ درجه

جدول ۴-۱۱ نتایج تحلیل المان محدود برای نمونه‌های دارای گشودگی شیاری با θ برابر ۹۰ درجه

Specimen name	Imperfection (m)	P_{cr} (FEM) (N)
<i>pls-150-100,1-20,03-10,04-10-90-2,07</i>	0.00025	23166.2
<i>pls-150-100,2-50-10,3-10-90-2,07</i>	0.00025	17825.2
<i>pls-150-100,2-60-10,04-10-90-2,07</i>	0.00038	14649.1
<i>pls-150-100,03-40,15-10,1-10-90-2,07</i>	0.0003	19203.7
<i>pls-150-100,07-30,1-10,06-10-90-2,07</i>	0.0003	21123.1

همانطور که واضح است، بار بحرانی کمانش با بیشتر شدن مساحت گشودگی کاهش می‌یابد. با مقایسه نمونه‌های pls-150-100.22-30.14-10.04-10-0-2.07 ، pls-150-100.17-50-10.03-10-0-2.07 و pls-150-100.16-70.13-10.02-10-0-2.09 که دارای نقص اولیه تقریباً یکسانی هستند ملاحظه می‌شود که با افزایش طول شیار یعنی با افزایش مساحت گشودگی بار کمانش کاهش یافته است.

در نمونه‌های با θ برابر با 0° درجه، نمونه pls-150-100.1-19.94-10.03-10-0-2.07 با وجود اینکه دارای نقص اولیه‌ای در حدود 0.1mm کمتر از نقص اولیه نمونه فاقد گشودگی می‌باشد، اما باز هم بار بحرانی کمانش در این نمونه حدود 1000N کاهش یافته است. نمونه pls-150-100.12-90.15-10-10-0-2.07 بدلیل داشتن نقص اولیه کمتر نسبت به سایر نمونه‌های با θ برابر با 0° درجه، بیشترین بار کمانش را در این دسته به خود اختصاص داده است.

نکته‌ای که می‌توان بدان اشاره کرد، این است که حالتی که θ برابر با 0° درجه می‌باشد، کاهش یا افزایش طول شیار تاثیر چشمگیری در مقدار بار کمانش ندارد، چرا که در این حالت با تغییر طول شیار، هیچ تغییری در تصویر گشودگی در امتداد عرضی ورق رخ نمی‌دهد، و با بررسی نتایج در θ های دیگر، مشخص شد که هرچه اندازه تصویر گشودگی در امتداد عرضی ورق افزایش پیدا می‌کند، بار کمانش کاهش می‌یابد.

در نمونه‌های با θ برابر با 30° درجه، با مقایسه pls-150-100,2-20-10-10-30-2,07 و pls-150-99,92-49,6-10-30-2,07 که دارای نقص اولیه یکسانی می‌باشند، مشاهده می‌شود که با افزایش طول شیار بار کمانش در نمونه pls-150-99,92-49,6-10-30-2,07 5% نسبت به نمونه pls-150-100,2-20-10-10-30-2,07 کاهش یافته است. نمونه pls-150-100,15-39,8-10,02-10-30-2,07 بدلیل داشتن کمترین مقدار نقص اولیه در بین نمونه‌های با θ برابر با 30° درجه، دارای بیشترین مقدار بار کمانش بوده، و نمونه pls-150-100,2-59,65-10-30-2,07 نیز به دلیل داشتن بیشترین طول شیار و نیز بیشترین مقدار نقص اولیه، دارای کمترین بار کمانش می‌باشد.

در نمونه‌های با θ برابر با 45° درجه، با مقایسه نمونه‌های pls-150-100,1-29,7-10-45-2,07 و pls-150-100,18-49,7-10,05-45-2,07 مشاهده می‌شود که بار کمانش در نمونه

pls-150-100,1-29,7-10-45-2,07، ۷٪ نسبت به نمونه pls-150-100,18-49,7-10,05-45-2,07 کاهش یافته است. همچنین، کمترین مقدار بار کمانش در نمونه‌های با θ برابر با ۴۵ درجه، مربوط به نمونه pls-150-100,1-59,7-10-45-2,07 می‌باشد، که دارای بیشترین طول شیار است. در نمونه‌های با θ برابر با ۶۰ درجه، بار کمانش از نمونه pls-150-100,1-19,67-10-60-2,07 تا نمونه pls-150-100,08-59,65-10-60-2,07، یعنی از نمونه دارای کمترین طول شیار تا نمونه دارای بیشترین طول شیار، ۲۲٪ کاهش یافته است.

در نمونه‌های با θ برابر با ۹۰ درجه، تاثیر تغییر طول شیار در مقدار بار کمانش، بیشتر از نمونه‌های با θ کمتر است، چراکه در این حالت شیار کاملاً در امتداد عرضی صفحه واقع شده و در نتیجه تصویر شیار در امتداد عرضی صفحه در مقایسه با نمونه‌های با θ های کمتر، دارای بیشترین مقدار است (در این حالت طول تصویر شیار بر امتداد عرضی ورق، برابر با طول خود شیار است). به طوریکه مشاهده می‌شود، بار کمانش در نمونه pls-150-100,1-20,03-10,04-10-90-2,07، ۲۳٪ نسبت به نمونه pls-150-100,2-50-10,3-10-90-2,07، که هر دوی این نمونه‌ها دارای مقدار نقص اولیه یکسانی هستند، افزایش یافته است. در نمونه pls-150-100,03-40,15-10,1-10-90-2,07 نیز، بار کمانش ۱۰٪ نسبت به نمونه pls-150-100,07-30,1-10,06-10-90-2,07 کاهش یافته است.

بار تسلیم برای فولاد مورد استفاده در تحلیل را می‌توان به سادگی با ضرب تنش تسلیم ماده از تست کشش معلوم می‌باشد در سطح مقطع ورق بدست آورد. این بار برابر با 72 KN می‌باشد. با توجه به اینکه در تمامی نمونه‌ها بار کمانش از این مقدار بسیار کوچکتر می‌باشد کاملاً واضح است که در تمامی نمونه‌ها کمانش در حالت الاستیک رخ داده است.

۹-۴- بررسی تاثیر نقص اولیه

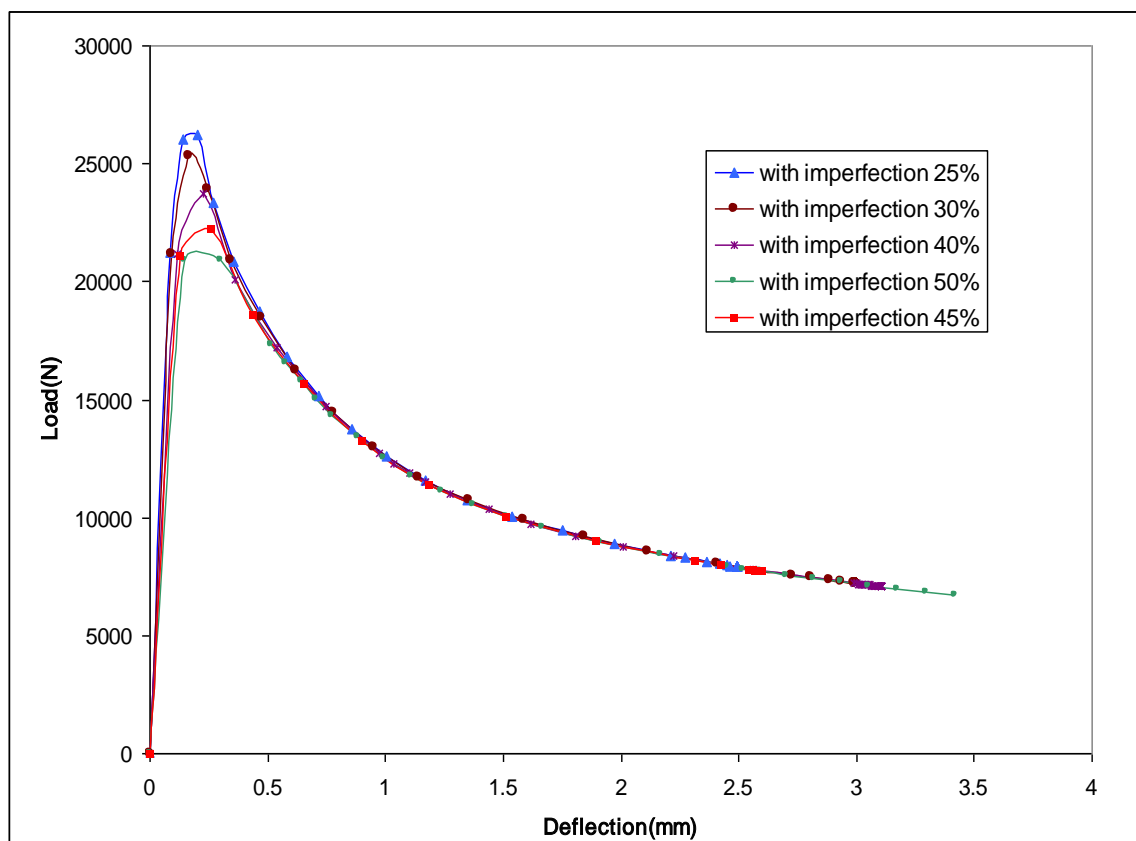
نقص اولیه به معنی انحراف تصادفی کوچکی از شکل مفروض اولیه سازه می‌باشد که اگر این پارامتر در تحلیل عددی مد نظر قرار نگیرد، باعث ایجاد اختلاف بین نتایج تجربی و عددی می‌شود. واضح

است که برای یک نمونه مشخص با افزایش نقص اولیه، بار کمانش کاهش خواهد یافت. جهت بررسی این موضوع نمونه PI-160-100.2-0-0-0-2.2 مورد مطالعه قرار گرفت.

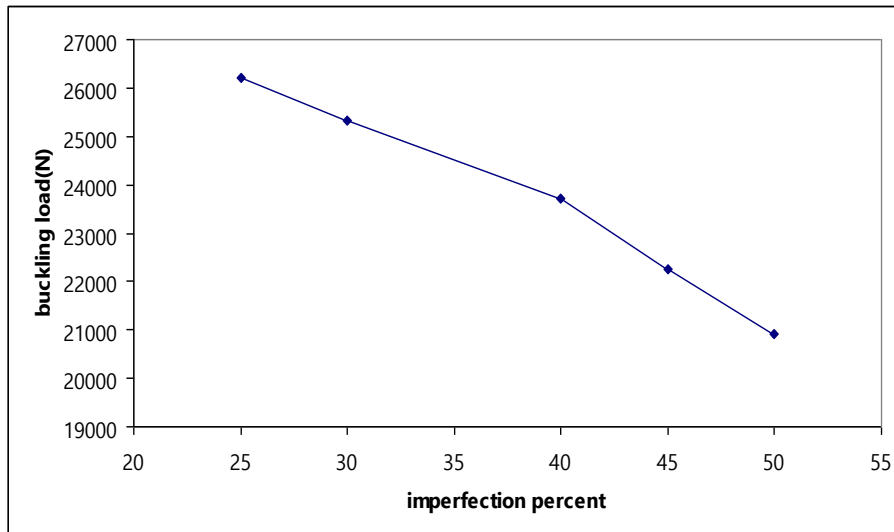
فرض شد که مقدار نقص اولیه نمونه مشخص نمی‌باشد و مقدار آن از ۲۵٪ تا ۵۰٪ ضخامت ورق تغییر داده شد (شکل ۴-۳۰).

همانطور که مشاهده می‌شود، بار کمانش از ۲۶۲۰۰ نیوتون برای نقص اولیه ۲۵٪ ضخامت به مقدار ۲۰۹۰۰ نیوتون برای نقص اولیه ۵۰٪ ضخامت کاهش می‌یابد. این ۲۰٪ کاهش در بار کمانش فقط در اثر افزایش مقدار نقص اولیه می‌باشد.

نتیجه دیگری که از بررسی شکل ۴-۳۰ حاصل می‌شود این است که مقدار نقص اولیه بر رفتار پس کمانشی تأثیری ندارد. در شکل ۴-۳۱ مقدار بار کمانش بر حسب نقص اولیه جهت مقایسه بهتر مشاهده می‌شود.



شکل ۴-۳۰ بررسی تأثیر نقص اولیه بر بار کمانش



شکل ۴-۳۱ بار کمانش بر حسب نقص اولیه

بنابراین با توجه به تاثیر چشمگیر این مساله، در کار تجربی سعی شده است که مقدار نقص اولیه برای هر نمونه به دقت محاسبه شده و در تحلیل عددی مورد استفاده قرار گیرد.

۴-۱۰- بررسی تاثیر فاصله طولی مرکز گشودگی از مرکز صفحه در نمونه‌های

دارای یک گشودگی دایروی

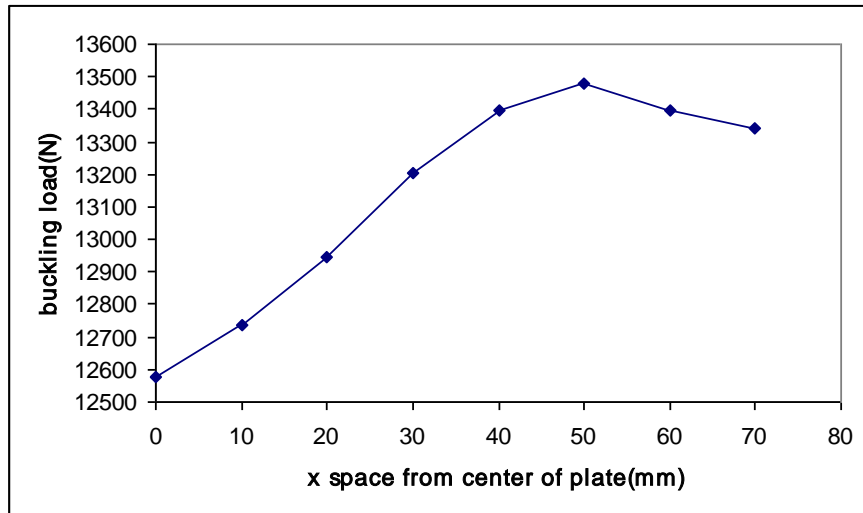
همانطور که در قسمت ۴-۸-۱ اشاره شد، فاصله طولی مرکز گشودگی از مرکز صفحه تاثیر زیادی بر بار کمانش دارد. به عبارت دیگر، فاصله معینی وجود دارد که اگر گشودگی خارج از این محدوده قرار گیرد وجود آن تاثیر بسیار اندکی در کاهش بار کمانش خواهد داشت.

جهت بررسی این امر، از بین نمونه‌های دارای یک گشودگی دایروی، نمونه‌هایی با نسبت طول به عرض ۲/۱ و ۱/۶ مورد مطالعه قرار گرفته‌اند. به طوریکه گشودگی از مرکز صفحه به تدریج فاصله گرفته و بار کمانش برای هر مورد محاسبه شده است. نتایج این بررسی در نمودار ۴-۳۲ و ۴-۳۳ مشاهده می‌شود.

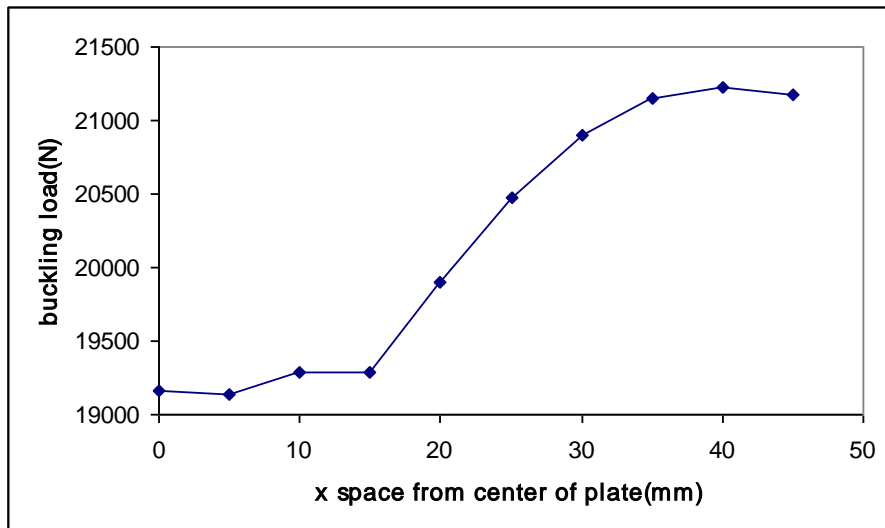
همانطور که مشاهده می‌شود برای نمونه با نسبت طول به عرض ۲/۱، فاصله موثر از مرکز صفحه ۴۰ mm می‌باشد. که وقتی فاصله از این مقدار بیشتر می‌شود بار کمانش تغییر چندانی نمی‌کند و در نسبت طول ۱/۶ این فاصله برار ۳۰ mm می‌باشد.

با بررسی نتایج مشاهده می‌شود که فاصله موثر گشودگی از مرکز صفحه برابر ۲۰٪ طول ورق

می‌باشد.



شکل ۴-۳۲ تاثیر فاصله طولی مرکز گشودگی از مرکز صفحه برای نسبت طول به عرض ۲/۱



شکل ۴-۳۳ تاثیر فاصله طولی مرکز گشودگی از مرکز صفحه برای نسبت طول به عرض ۱/۶

مشاهده می‌شود که وقتی گشودگی در این فاصله قرار دارد اختلاف بین بار کمانش برای

نمونه دارای گشودگی و نمونه فاقد گشودگی در حدود ۲٪ می‌باشد. اما با بیشتر شدن فاصله، بار

کمانش برای نمونه سوراخدار تا ۱۲٪ کاهش می‌یابد.

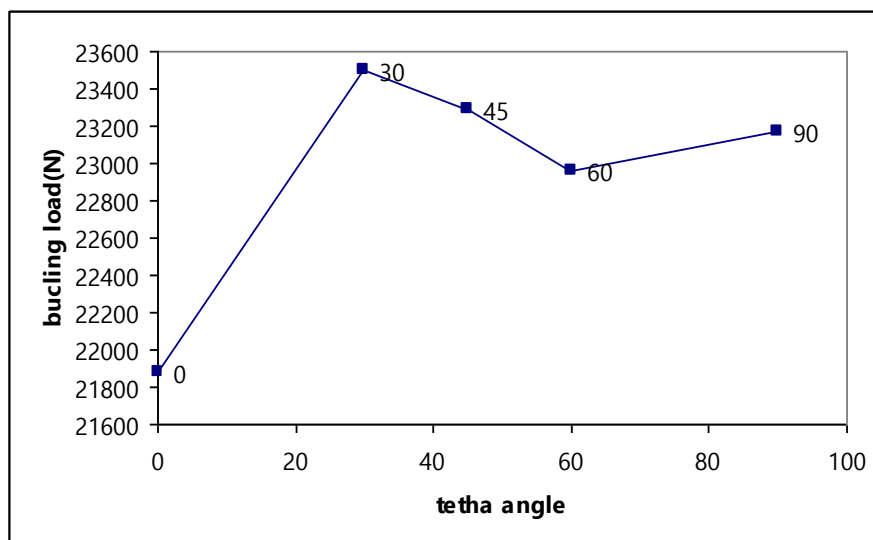
۴-۱۱- بررسی تاثیر زاویه شیار در نمونه‌های دارای گشودگی شیاری شکل

در قسمت ۴-۸-۳، نتایج تحلیل عددی برای نمونه‌های دارای گشودگی شیاری شکل، به صورت مجزا برای هر دسته از نمونه‌های دارای θ یکسان، مقایسه شدند. در این قسمت به بررسی تاثیر θ در نمونه‌های دارای طول شیار یکسان، پرداخته می‌شود.

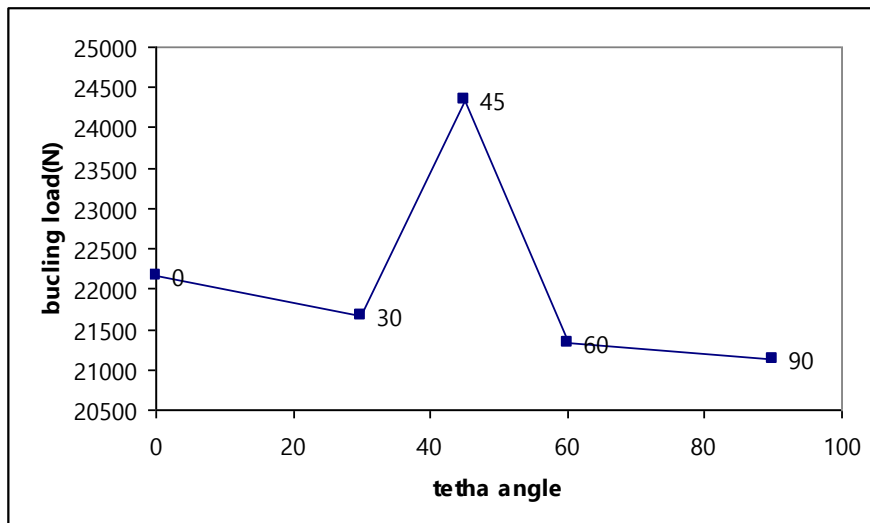
در شکل ۴-۳۴ تا ۴-۳۶، نمودار بار بحرانی بر حسب زاویه شیار یعنی θ ، به ترتیب برای نمونه‌های دارای طول شیار ۲۰، ۳۰ و ۵۰ میلیمتر، آورده شده است.

با مقایسه نمونه‌های با طول شیار ۲۰ میلیمتر و دارای θ های برابر با ۳۰، ۴۵ و ۶۰ درجه، که دارای مقدار نقص اولیه یکسانی می‌باشند، مشاهده می‌شود که با تغییر زاویه θ از ۳۰ درجه تا ۶۰ درجه، بار کمانش 500N کاهش یافته است.

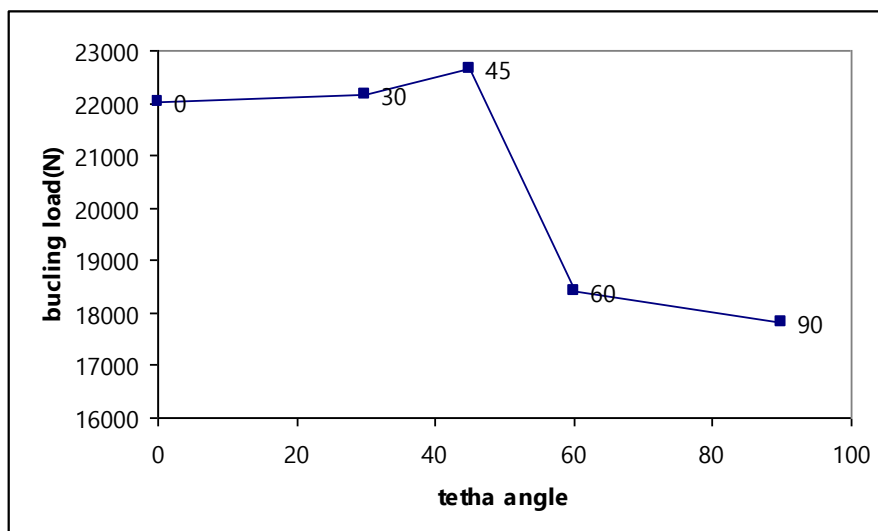
در نمونه‌های با طول شیار ۳۰mm، همانطور که در شکل ۴-۳۵ مشاهده می‌شود، غیر از نمونه دارای زاویه ۴۵ درجه که نقص اولیه کمی دارد، در بقیه نمونه‌ها سیری نزولی در مقدار بار کمانش، با افزایش زاویه از ۰ تا ۹۰ درجه، وجود دارد. به طوریکه بار کمانش از نمونه با زاویه ۰ درجه، تا نمونه با زاویه ۹۰ درجه (که مقدار نقص اولیه یکسانی دارند)، 1000N کاهش یافته است.



شکل ۴-۳۴ نمودار بار بحرانی بر حسب زاویه شیار یعنی در نمونه‌های دارای طول شیار ۲۰mm



شکل ۴-۳۵ نمودار بار بحرانی بر حسب زاویه شیار یعنی در نمونه‌های دارای طول شیار ۳۰mm



شکل ۴-۳۶ نمودار بار بحرانی بر حسب زاویه شیار یعنی در نمونه‌های دارای طول شیار ۵۰mm

در نمونه‌های با طول شیار ۵۰mm نیز ، همانطور که در شکل ۴-۳۶ مشاهده می‌شود، غیر از نمونه دارای زاویه ۳۰ و ۴۵ درجه ، که نقص اولیه کمی دارند، در بقیه نمونه‌ها سیری نزولی در مقدار بار کمانش ، با افزایش زاویه از ۰ تا ۹۰ درجه ، وجود دارد. به طوریکه بار کمانش از نمونه با زاویه ۰ درجه، تا نمونه با زاویه ۶۰ درجه(که این دو نمونه، مقدار نقص اولیه یکسانی دارند)، ۳۶۰۰N و تا نمونه با زاویه ۹۰ درجه، ۴۲۰۰N کاهش یافته است.

با بررسی نتایج فوق، مشاهده می‌شود که با افزایش طول شیار، بار کمانش در نمونه‌های دارای θ یکسان، افزایش پیدا میکند، و همچنین افزایش طول شیار، در کاهش بار کمانش، در حالت θ برابر ۹۰ درجه، بیشترین تاثیر را دارد.

با افزایش زاویه θ از ۰ تا ۹۰ درجه، در طول شیار یکسان، بار کمانش کاهش پیدا می‌کند، و همچنین تاثیر تغییر θ در نمونه‌های دارای طول شیار بزرگتر بیشتر می‌شود. به طوریکه اختلاف بین بار کمانش نمونه‌های دارای طول شیار ۳۰ میلیمتر، در تغییر θ از ۰ تا ۹۰ درجه، ۰.۵٪ میباشد، که این اختلاف در نمونه‌های با طول شیار ۵۰، به ۱.۹٪ رسیده است.

فصل پنجم

تحلیل تجربی

جهت بررسی تجربی کمانش ورق‌های مستطیلی دارای گشودگی از یک دستگاه سروهیدرولیک INSTRON 8802 استفاده شده است (شکل ۵-۱). دستگاه مورد استفاده، دارای دقت و قابلیت بسیار بالایی در بارگذاری تک محوره می‌باشد. ظرفیت اعمال بار استاتیکی دستگاه ۳۰۰KN می‌باشد.



شکل ۵-۱ دستگاه سروهیدرولیک INSTRON 8802

پس از مشخص شدن جنس فولاد مورد استفاده در ساخت نمونه‌ها، چند نمونه تست کشش طبق استاندارد ASTM E8 جهت تعیین خواص مکانیکی ماده، از همان جنس شده ساخته شد.

۵-۱- آزمایش کشش استاندارد

برای بدست آوردن خواص مکانیکی نمونه‌ها ابتدا باید تست کشش انجام پذیرد. تست کشش بر روی نمونه‌ها، مطابق استاندارد ASTM E8 و توسط دستگاه INSTRON انجام گرفته و مدول یانگ، تنش تسلیم و خواص پلاستیک ماده بدست آمد (شکل ۵-۲).



شکل ۵-۲ آزمایش کشش استاندارد

تست در شرایط جابجایی ثابت^۱ انجام می‌گیرد. برای دقت بیشتر در خواندن نیرو از نیروسنج^۲ ۲۵ KN و نیز جهت بالا بردن دقت در اندازه‌گیری کرنش و جابجایی از یک اکستنسومتر در تست کشش استفاده شد. پس از اتمام تست، داده‌های مورد نظر، که مقدار نیروی وارد شده بر نیروسنج و مقدار جابجایی اکستنسومتر می‌باشند، به‌طور خودکار در یک فایل ذخیره می‌شوند. با معلوم بودن سطح مقطع نمونه مقدار تنش مهندسی و با معلوم بودن فاصله اولیه دهانه اکستنسومتر که ۲۵ میلی-متر می‌باشد، کرنش مهندسی حاصل می‌شود. بنابراین نتایجی که از دستگاه حاصل می‌شوند تنش و کرنش مهندسی را ارائه می‌دهند که مقادیرشان کمتر از مقادیر تنش و کرنش واقعی است. چون

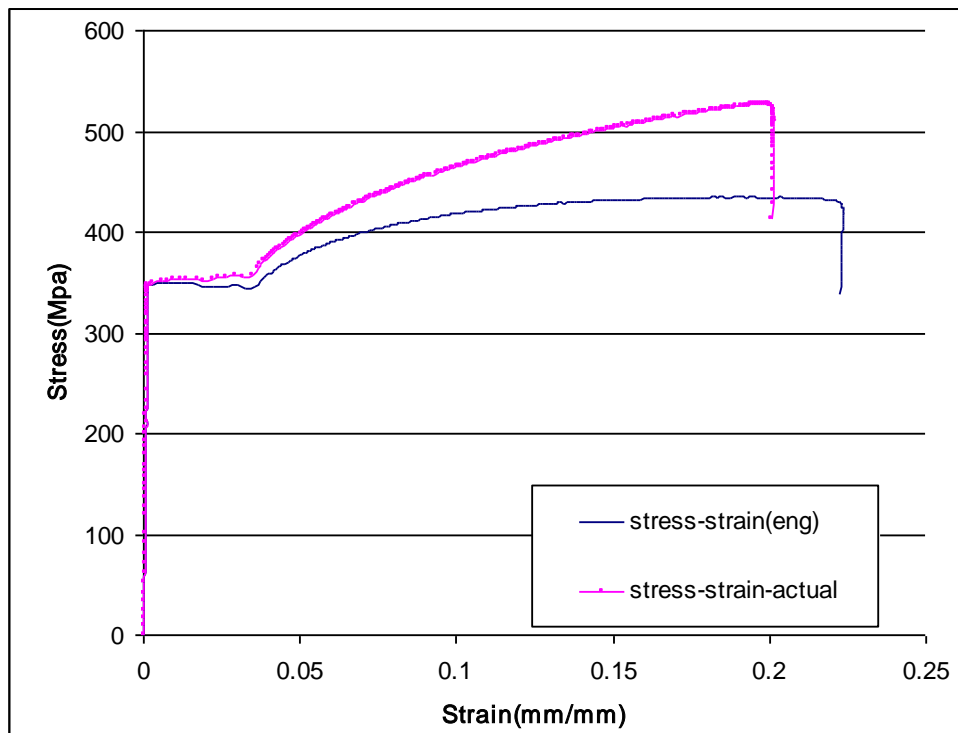
^۱ displacement control

^۲ loadcell

سطح مقطع نمونه تست کشش در حال کم شدن است براحتی از مبحث الاستیسیته می توان روابط ۱-۵ و ۲-۵ را برای بدست آوردن تنش و کرنش واقعی از مقادیر مهندسی استخراج کرد. نمودار تنش-کرنش حاصل از آزمایش کشش استاندارد در شکل ۳-۵ مشاهده میشود.

$$\varepsilon_{real} = Ln(1 + \varepsilon_{Eng.}) \quad (1-5)$$

$$\sigma_{real} = \sigma_{Eng.} (1 + \varepsilon_{Eng.}) \quad (2-5)$$



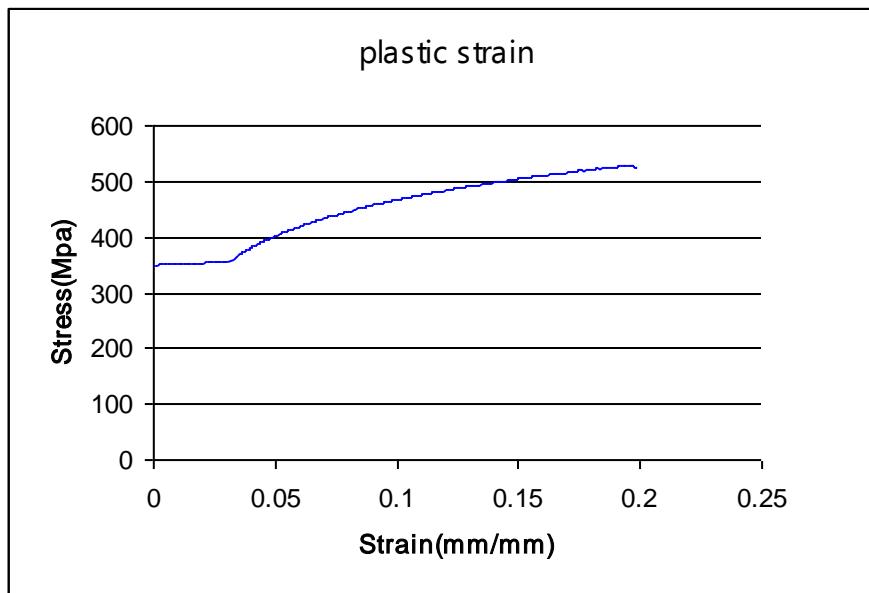
شکل ۳-۵ نمودار تنش کرنش

در تحلیل المان محدود با نرم افزار ذکر شده برای تحلیل غیر خطی، خواص پلاستیک ماده نیز مورد نیاز می باشد. کرنش پلاستیک از رابطه زیر حاصل می شود.

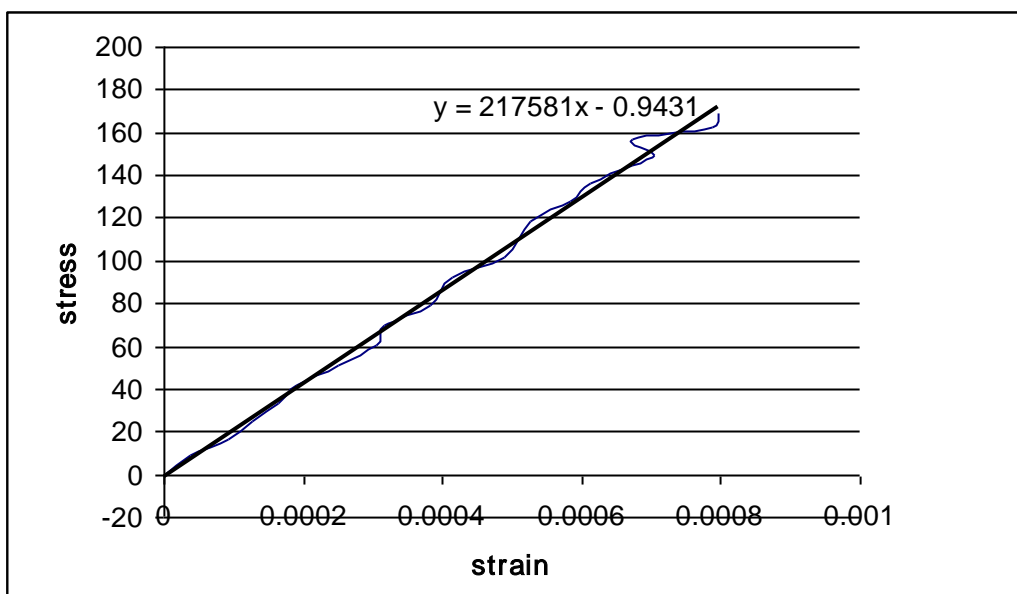
$$\varepsilon_{pl} = \varepsilon_{real} - \frac{\sigma_{real}}{E} \quad (3-5)$$

از قسمت خطی در نمودار تنش-کرنش واقعی، مدول یانگ بدست می آید. بطوریکه یک منحنی درجه اول از قسمت خطی آن عبور داده شده و شیب خط مذکور به عنوان مدول یانگ در

تمامی تحلیل‌ها مورد استفاده قرار خواهد گرفت. نمودار ۴-۵ منحنی کرنش پلاستیک حاصل از رابطه ۳-۵ را نشان می‌دهد.



شکل ۴-۵ منحنی کرنش پلاستیک

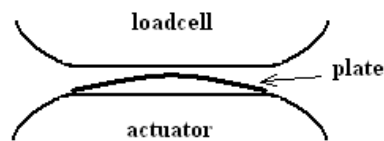


شکل ۵-۵ بخش خطی نمودار تنش-کرنش برای محاسبه مدول یانگ

۵-۲- اندازه گیری نقص اولیه

همانطور که قبلاً ذکر شد به دلیل اهمیت و تاثیر زیاد مقدار نقص اولیه ورق در بار کمانش، مقدار نقص اولیه تمامی نمونه‌ها باید قبل از تست کمانش اندازه‌گیری شود. این پارامتر در آزمایشگاه با دقت خوبی توسط دستگاه اینسترون اندازه گرفته شد.

به این ترتیب که به نیروسنج و محرک^۱ دستگاه، صفحات تخت بسته شده و ورق بین این دو صفحه تخت قرار گرفت. محرک به نیروسنج نزدیک شد به طوری که مطابق شکل ۵-۶، فاصله‌ای بین ورق و صفحه تخت متصل به نیروسنج باقی نماند. در این حالت تست در حالت کنترل نیرو^۲ شروع شد.

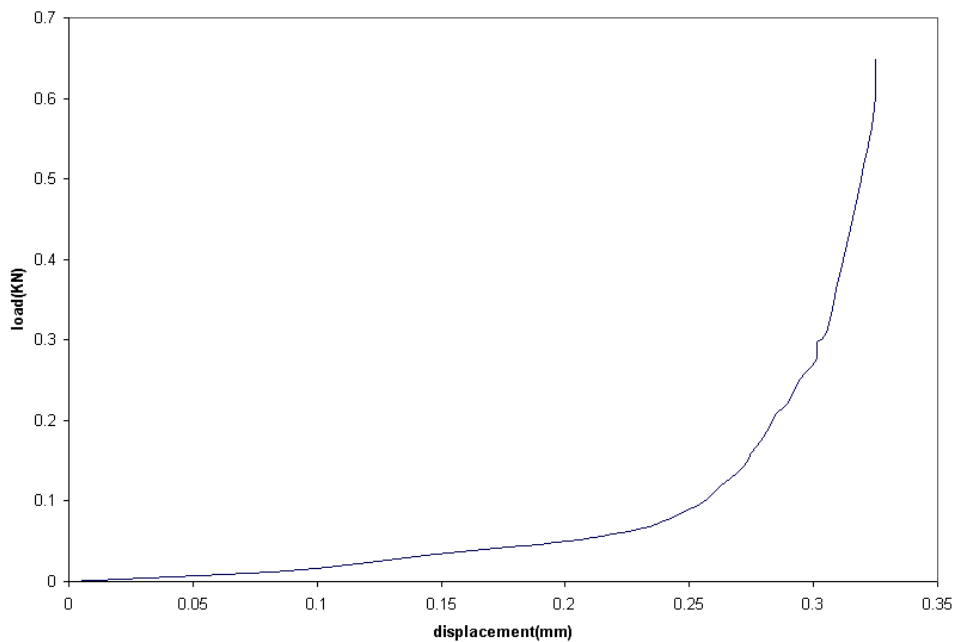


شکل ۵-۶ شکل شماتیک نحوه قرار گرفتن ورق در آزمایش تعیین مقدار نقص اولیه

با ترسیم مقادیر نیرو بر حسب جابجایی انجام شده به راحتی می‌توان مقدار نقص اولیه را تعیین کرد. برای مشخص شدن موضوع نموداری که برای نمونه PI-160-100-38.25-26.35-20.1-2 بدست آمده، در شکل ۵-۷ آورده شده است. همانطور که واضح است مقدار نقص اولیه این نمونه ۰/۳۲۵ میلی‌متر است، زیرا در این نقطه بدون هیچگونه افزایش در جابجایی، مقدار نیرو با شیب زیادی افزایش یافته است.

^۱ actuator

^۲ load control



شکل ۵-۷ تعیین مقدار نقص اولیه نمونه PI-160-100-38.25-26.35-20.1-2

۵-۳- تست کمانش

برای تست کمانش ورق‌های مستطیلی از فک‌های خود دستگاه استفاده شده است. فک‌های هیدرولیکی دستگاه لبه‌های بالا و پایین ورق را گرفته و شرط مرزی گیردار را برقرار می‌سازند. لبه‌های کناری نیز آزاد هستند. بنابراین شرایط مرزی CFCCF بر روی ورق ایجاد می‌شود (شکل ۵-۸).

لازم به ذکر است که طول ورق‌ها ۴ cm بیشتر از طول مفید می‌باشد که ۲ cm برای درگیر شدن در فک بالا و ۲ cm برای فک پایین در نظر گرفته شده است و طول مفیدی که در تحلیل تئوری اعمال شد فاصله بین دو فک بالا و پایین است. یک نمونه بسته شده به دستگاه در شکل ۵-۸ مشاهده می‌شود.



شکل ۵-۸ نحوه قرار گرفتن نمونه‌ها در فک‌های هیدرولیکی

تست کمانش در شرایط کنترل جابجایی انجام گرفت. پس از اتمام آزمایش، داده‌های مورد نظر، که مقدار نیروی وارد شده بر نیروسنج و مقدار جابجایی محرک (که همان کوتاه شدگی نمونه می‌باشد) می‌باشند، به‌طور خودکار در یک فایل ذخیره می‌شوند. نام‌گذاری نمونه‌ها، دقیقاً همانند نام‌گذاری‌ها در قسمت تحلیل المان محدود می‌باشند. در ادامه، به بررسی نتایج تست‌ها پرداخته می‌شود.

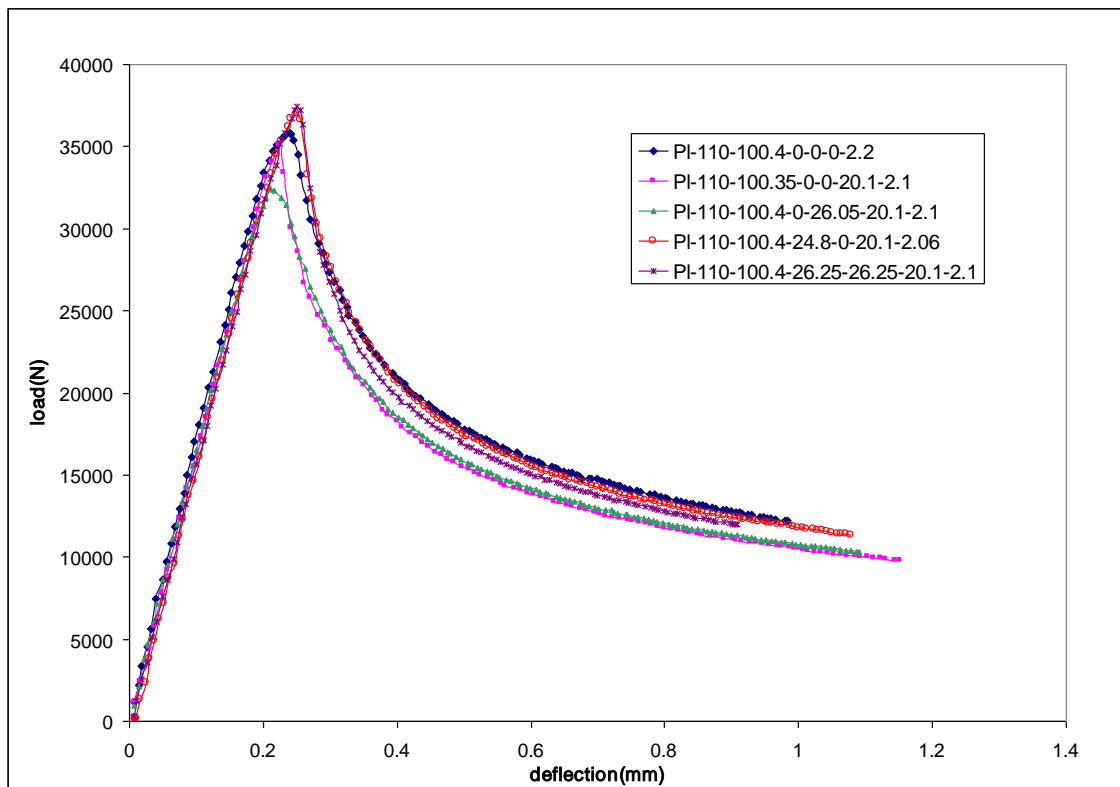
۴-۵- نتایج تست‌های تجربی

نتایج تحلیل تجربی نیز به مانند نتایج تحلیل عددی، به چند دسته تقسیم شده و به ترتیب آورده شده‌اند. در هر گروه از نمونه‌ها، شکل‌هایی مربوط به مد کمانش نمونه‌ها، نمودارهای بار-جابجایی و جدول مربوط به بار کمانش و مقدار نقص اولیه مشاهده می‌شوند.

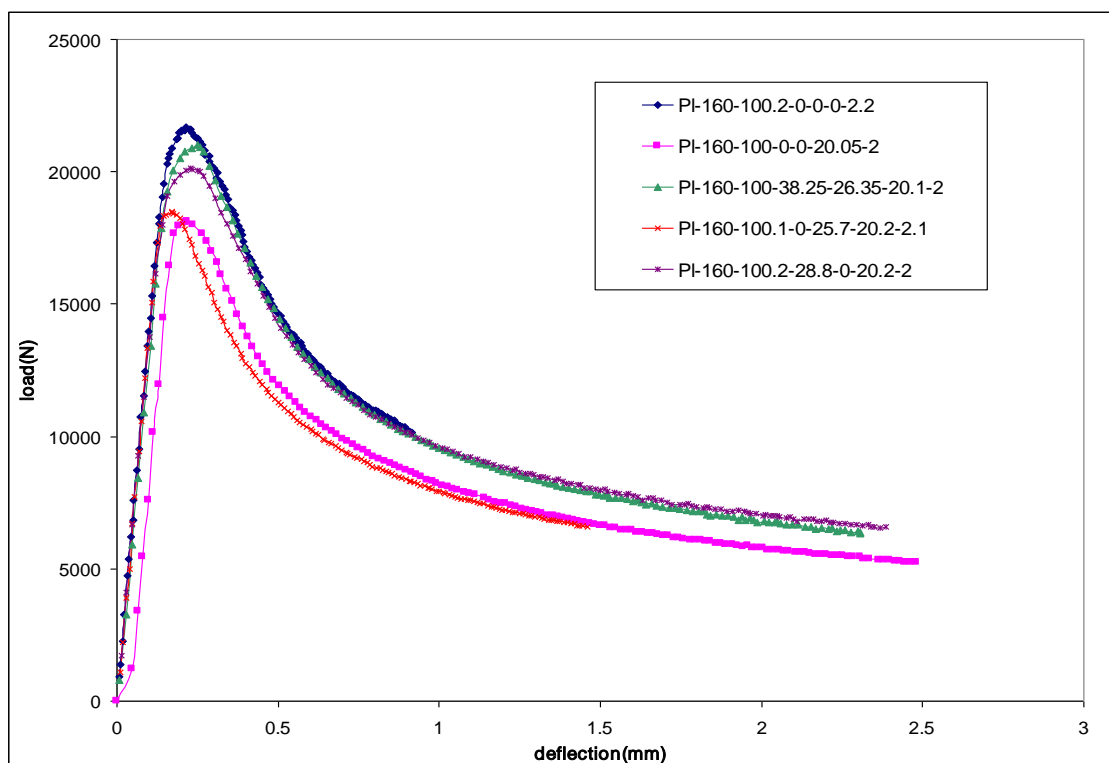
۴-۵-۱- نتایج تحلیل تجربی نمونه‌های دارای یک گشودگی دایروی

در شکل‌های ۵-۹ تا ۵-۱۱ منحنی‌های بار-جابجایی حاصل از تحلیل تجربی برای نمونه‌های دارای یک گشودگی دایروی با نسبت طول به عرض $1/1$ ، $1/6$ و $2/1$ آورده شده‌اند و در شکل ۵-۱۲ منحنی‌های بار-جابجایی حاصل از تست تجربی برای نمونه‌های دارای یک گشودگی دایروی با نسبت طول به عرض $1/5$ مشاهده می‌شوند. در شکل ۵-۱۳، مد کمانش نمونه‌های PI-150-100.07-49.97-0-20.2-2.1 و PI-210-100-49.6-26.3-20.2-2.1 مشاهده می‌شوند.

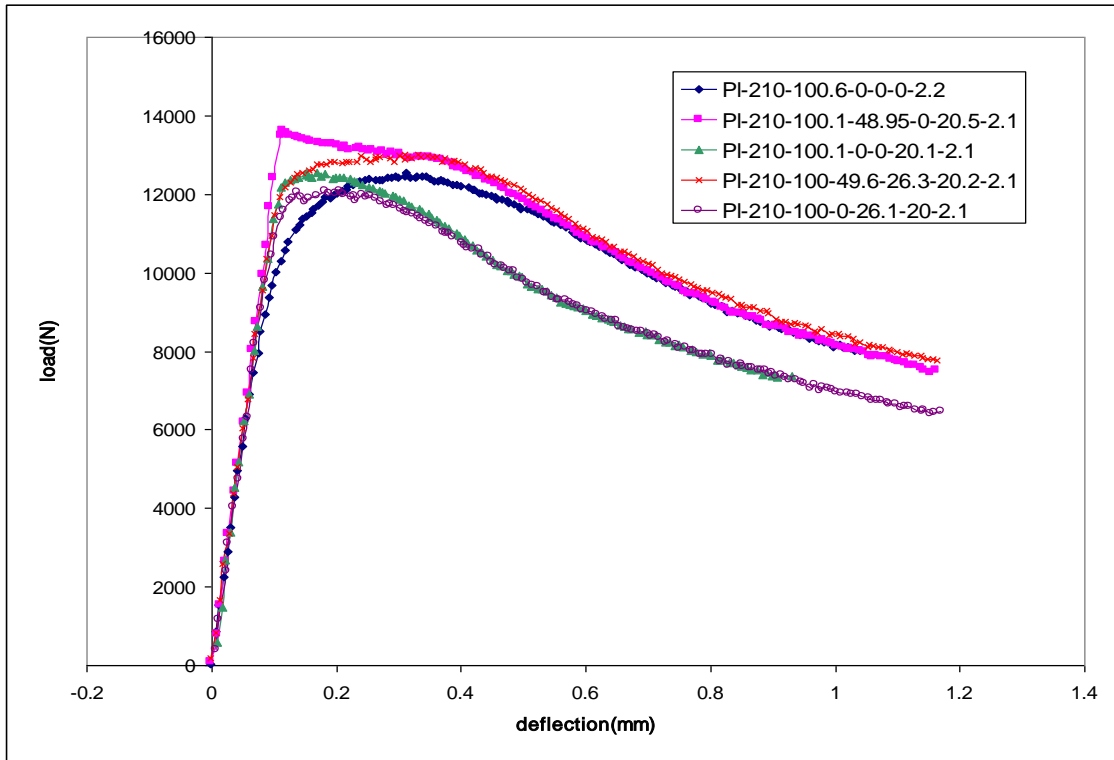
در جدول ۵-۱، برای نمونه‌های دارای یک گشودگی دایروی با نسبت طول به عرض $1/1$ ، $1/6$ و $2/1$ ، مقدار بار کمانش حاصل از تست تجربی، همراه با نقص اولیه، برای مقایسه بهتر آورده شده‌اند و در جدول ۵-۲ مقدار بار کمانش حاصل از تست تجربی همراه با نقص اولیه برای نمونه‌های دارای یک گشودگی دایروی با نسبت طول به عرض $1/5$ مشاهده می‌شود.



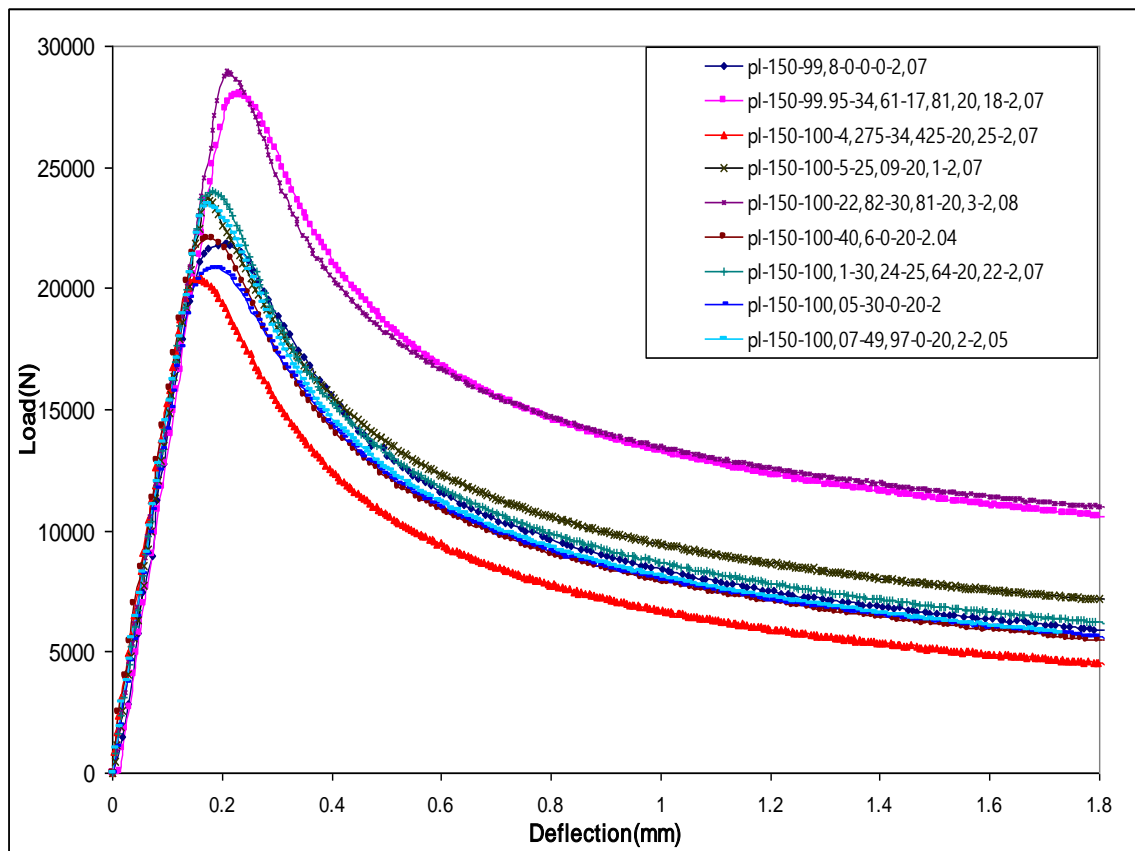
شکل ۵-۹ نمودار بار-جابجایی برای نمونه‌های با نسبت طول به عرض ۱/۱



شکل ۵-۱۰ نمودار بار-جابجایی برای نمونه‌های با نسبت طول به عرض ۱/۶



شکل ۵-۱۱ نمودار بار-جابجایی برای نمونه‌های با نسبت طول به عرض ۲/۱



شکل ۵-۱۲ نمودار بار-جابجایی برای نمونه‌های با نسبت طول به عرض ۱/۵



نمونه PI-150-100.07-49.97-0-20.2-2.1



نمونه PI-210-100-49.6-26.3-20.2-2.1

شکل ۵-۱۳ نمونه‌های دارای یک گشودگی دایروی در تست کمناش

جدول ۵-۱ نتایج تست‌های تجربی نمونه‌های دارای یک گشودگی دایروی با نسبت طول به عرض

۱/۱، ۱/۶ و ۲/۱

Specimen name	Aspect ratio	Imperfection (m)	P _{cr} (exp) (N)
Pl-110-100.4-0-0-0-2.2	1.1	0.00044	35819.1
Pl-110-100.35-0-0-20.1-2.1	1.1	0.00042	35188
Pl-110-100.4-0-26.05-20.1-2.1	1.1	0.00042	32335.6
Pl-110-100.4-24.8-0-20.1-2.06	1.1	0.000412	36643
Pl-110-100.4-26.25-26.25-20.1-2.1	1.1	0.00042	37184.8
Pl-160-100.2-0-0-0-2.2	1.6	0.00055	21594.5
Pl-160-100-0-0-20.05-2	1.6	0.0005	18109.6
Pl-160-100-38.25-26.35-20.1-2	1.6	0.000325	20938.3
Pl-160-100.1-0-25.7-20.2-2.1	1.6	0.000525	18406.1
Pl-160-100.2-28.8-0-20.2-2	1.6	0.0005	20099.6
Pl-210-100-0-26.1-20-2.1	2.1	0.000525	12092.5
Pl-210-100-49.6-26.3-20.2-2.1	2.1	0.000525	12963.3
Pl-210-100.1-0-0-20.1-2.1	2.1	0.000525	12546.4
Pl-210-100.1-48.95-0-20.5-2.1	2.1	0.000525	13475.1
Pl-210-100.6-0-0-0-2.2	2.1	0.00055	12537.5

جدول ۵-۲ نتایج تست‌های تجربی نمونه‌های دارای یک گشودگی دایروی با نسبت طول به عرض

۱/۵

Specimen name	Imperfection (m)	$P_{cr}(\text{exp})$ (N)
<i>pl-150-99,8-0-0-0-2,07</i>	0.00058	21882.24
<i>pl-150-99,95-34,61-17,81-20,18-2,07</i>	0.0001	28044.2
<i>pl-150-100-4,275-34,425-20,25-2,07</i>	0.00045	20408.9
<i>pl-150-100-5-25,09-20,1-2,07</i>	0.00025	23734.8
<i>pl-150-100-22,82-30,81-20,3-2,08</i>	0.00005	28964.8
<i>pl-150-100-40,6-0-20-2,04</i>	0.00055	22063.6
<i>pl-150-100,1-30,24-25,64-20,22-2,07</i>	0.0003	24051.24
<i>pl-150-100,05-30-0-20-2</i>	0.00058	20869.6
<i>pl-150-100,07-49,97-0-20,2-2,05</i>	0.00035	23503.74

همانطور که واضح است، در تحلیل تجربی نیز، با افزایش نسبت طول به عرض، بار کمانش به نسبت بسیار زیادی کاهش می‌یابد. به عنوان مثال، با افزایش نسبت طول از ۱/۱ به ۲/۱ در نمونه‌های فاقد گشودگی، بار کمانش ۶۴٪ کاهش یافته است.

همچنین با بررسی نتایج، همانطور که انتظار میرفت، مشخص شد که قطعه بدون سوراخ در صورت یکسان بودن نقص اولیه دارای بیشترین بار کمانش می‌باشد. در نسبت طول‌های ۱/۱ و ۲/۱ به دلیل اینکه نقص اولیه نمونه بدون سوراخ بیشتر است، حداکثر بار کمانش به جای نمونه فاقد گشودگی متعلق به یکی از نمونه‌هایی است که در آنها سوراخ از مرکز صفحه در امتداد طولی جابجا شده است.

همچنین، در نتایج تجربی نیز، همانطور که در قسمت ۴-۱۰ حاصل شد، جابجا شدن گشودگی از مرکز ورق در امتداد طولی، هنگامی که این فاصله بیشتر از ۲۰٪ طول ورق باشد، تاثیر بسیار اندکی در کاهش بار کمانش دارد. جابجا شدن گشودگی از مرکز ورق در امتداد عرضی، به مقدار در نظر گرفته شده، تاثیر بسیار اندکی در کاهش بار کمانش دارد.

به عنوان مثال در نمونه 2-20.1-26.35-38.25-100-160-Pl که فاصله مرکز گشودگی از مرکز ورق در امتداد طولی ۳۸/۲۵ میلی‌متر می‌باشد، اختلاف بار کمانش این نمونه با نمونه فاقد گشودگی کمتر از ۳٪ است. در حالی که این اختلاف بین نمونه 2.1-20.2-25.7-0-100-160-Pl و نمونه بدون سوراخ ۱۴٪ است، چرا که گشودگی در فاصله طولی موثر از مرکز صفحه واقع است. در نمونه‌های با نسبت طول به عرض ۱/۵، تاثیر بسیار زیاد نقص اولیه به وضوح مشاهده می‌شود، به طوری که نمونه‌های pl-150-100-22,82-30,81-20,3-2,08 و pl-150-99.95-34,61-17,81,20,18-2,07 که در مقایسه با سایر نمونه‌ها دارای نقص اولیه کمتری هستند بیشترین مقادیر بار کمانش را به خود اختصاص داده‌اند و بار کمانش نمونه فاقد گشودگی، به دلیل زیاد بودن مقدار نقص اولیه، به مراتب کمتر از این نمونه‌ها می‌باشد. در نمونه‌هایی که نقص اولیه یکسانی دارند، می‌توان نمونه فاقد گشودگی را با نمونه 2-20-0-30-05-150-pl مقایسه کرد، که در این مورد نیز مشاهده می‌شود که وجود گشودگی، ۴٪ بار کمانش را کاهش داده است. همچنین، مشاهده می‌شود در صورتی که گشودگی در فاصله طولی موثر از مرکز صفحه واقع نشود، جابجایی گشودگی در خارج از این محدوده نیز تاثیر چندانی در بار کمانش نخواهد داشت. کمترین بار کمانش نیز در این نسبت طول به عرض مربوط به نمونه -4,275-34,425-150-100-pl 20,25-2,07 می‌باشد، چرا که هم گشودگی در فاصله طولی موثر از مرکز صفحه واقع شده است و هم دارای نقص اولیه نسبتاً زیادی است.

۵-۴-۲- نتایج تحلیل تجربی نمونه‌های دارای بیش از یک گشودگی دایروی

در شکل ۵-۱۴ فرم کمانش نمونه‌هایی با دو گشودگی دایروی آورده شده است. در شکل ۵-۱۵ منحنی‌های بار-جابجایی حاصل از تست تجربی برای نمونه‌های دارای دو گشودگی دایروی و در جدول ۳-۵ مقادیر بار بحرانی کمانش حاصل از تست تجربی این نمونه‌ها، به همراه نقص اولیه مربوط به هر نمونه، آورده شده است.

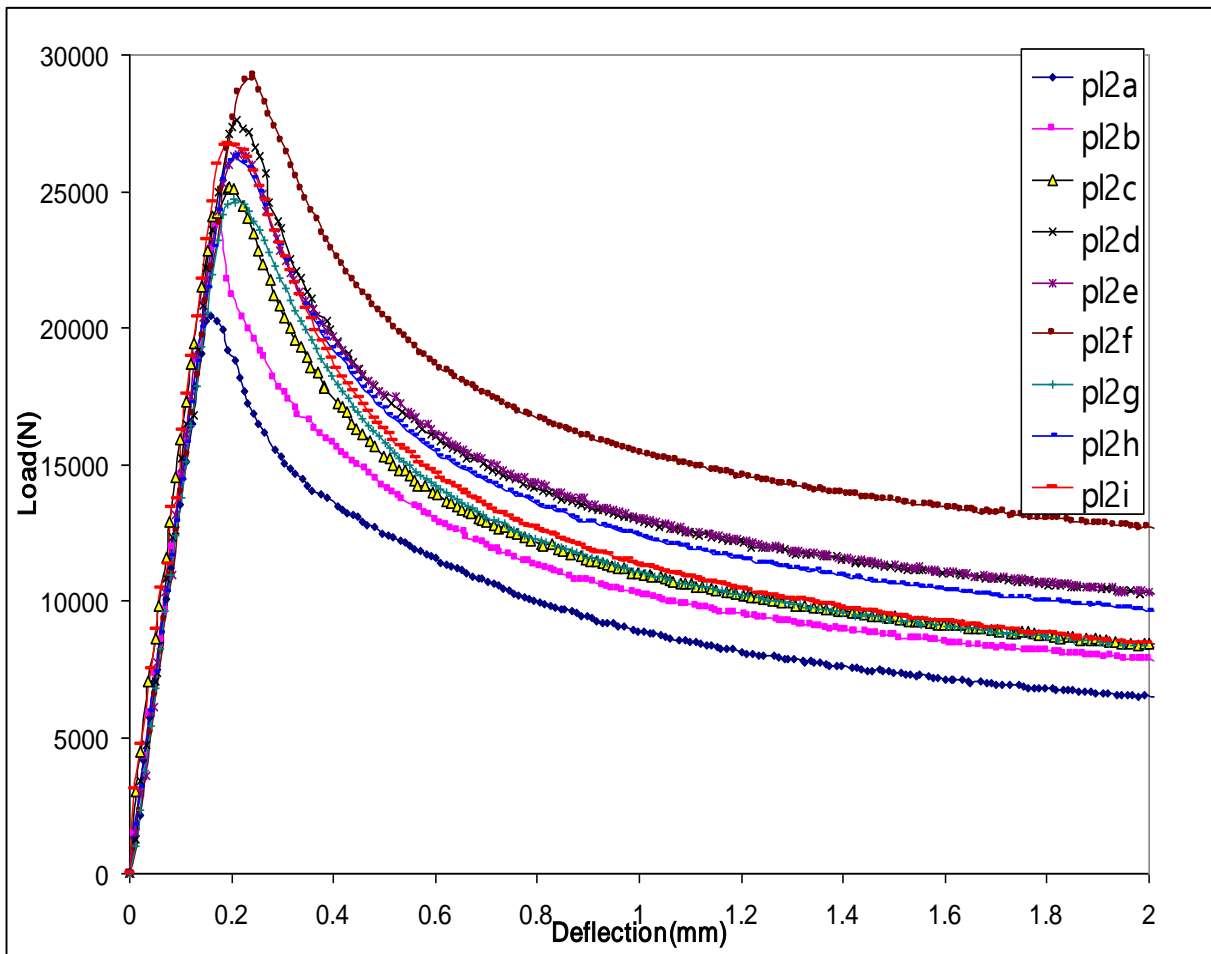


نمونه p12d



نمونه p12b

شکل ۱۴-۵ نمونه‌هایی دارای دو گشودگی دایروی در تست کمناش



شکل ۱۵-۵ نمودار بار-جابجایی برای نمونه‌های دارای دو گشودگی دایروی

جدول ۳-۵ نتایج تحلیل تجربی برای نمونه‌های دارای دو گشودگی دایروی

Specimen name	Imperfection (m)	P _{cr} (exp) (N)
<i>pl2a</i>	0.0002	20441
<i>pl2b</i>	0.00005	23929.34
<i>pl2c</i>	0.0001	25163.1
<i>pl2d</i>	0.00005	27581.2
<i>pl2e</i>	0.00005	26489.2
<i>pl2f</i>	0.00002	29214.4
<i>pl2g</i>	0.0001	24740.9
<i>pl2h</i>	0.00005	26285.7
<i>pl2i</i>	0.00015	26759

در این نمونه‌ها نیز همانند نمونه‌های دارای یک گشودگی، واقع شدن گشودگی‌ها در فاصله طولی موثر از مرکز صفحه، بار کمانش را کاهش داده است. به مانند نتایج تحلیل عددی، در مقایسه نمونه *pl2c* با نمونه *pl-150-99.95-34.61-17.81-20.18-2,07*، که دارای نقص اولیه یکسان می‌باشند، مشاهده می‌شود که در نمونه *pl2c*، که گشودگی دوم خارج از فاصله طولی موثر از مرکز ورق واقع شده، بار کمانش حدود ۲۵۰۰N کاهش یافته است، که این کاهش فقط در اثر وجود یک گشودگی بیشتر در نمونه *pl2c* (گشودگی مرکزی) می‌باشد. با مقایسه مقادیر بار کمانش در نمونه‌های *pl2i* و *pl2a* که مقدار نقص اولیه مشابهی دارند، مشاهده می‌شود که در نمونه *pl2i* که هر دو گشودگی در خارج از فاصله طولی موثر از مرکز ورق واقع شده‌اند، بار کمانش نسبت به نمونه *pl2a* که در آن، هر دو گشودگی در داخل این محدوده قرار دارند، ۲۵٪ افزایش یافته است. در مقایسه نمونه‌های *pl2c* و *pl2g* که نقص اولیه یکسانی دارند، مشاهده می‌شود که وقتی فاصله گشودگی دوم، در هر دو نمونه، بیشتر از فاصله طولی موثر از مرکز صفحه است، بار کمانش برای هر دو نمونه یکسان بوده و با جابجایی نمونه در امتداد عرضی صفحه، در نمونه *pl2g*، تغییری در بار کمانش حاصل نشده است.

در شکل ۱۶-۵ فرم کمانش نمونه‌هایی با سه گشودگی دایروی، در شکل ۱۶-۵ منحنی‌های بار-جابجایی حاصل از تست تجربی برای نمونه‌های دارای سه گشودگی دایروی و در جدول ۴-۵

مقادیر بار بحرانی کمانش حاصل از تست تجربی این نمونه‌ها، به همراه نقص اولیه مربوط به هر نمونه، آورده شده است.

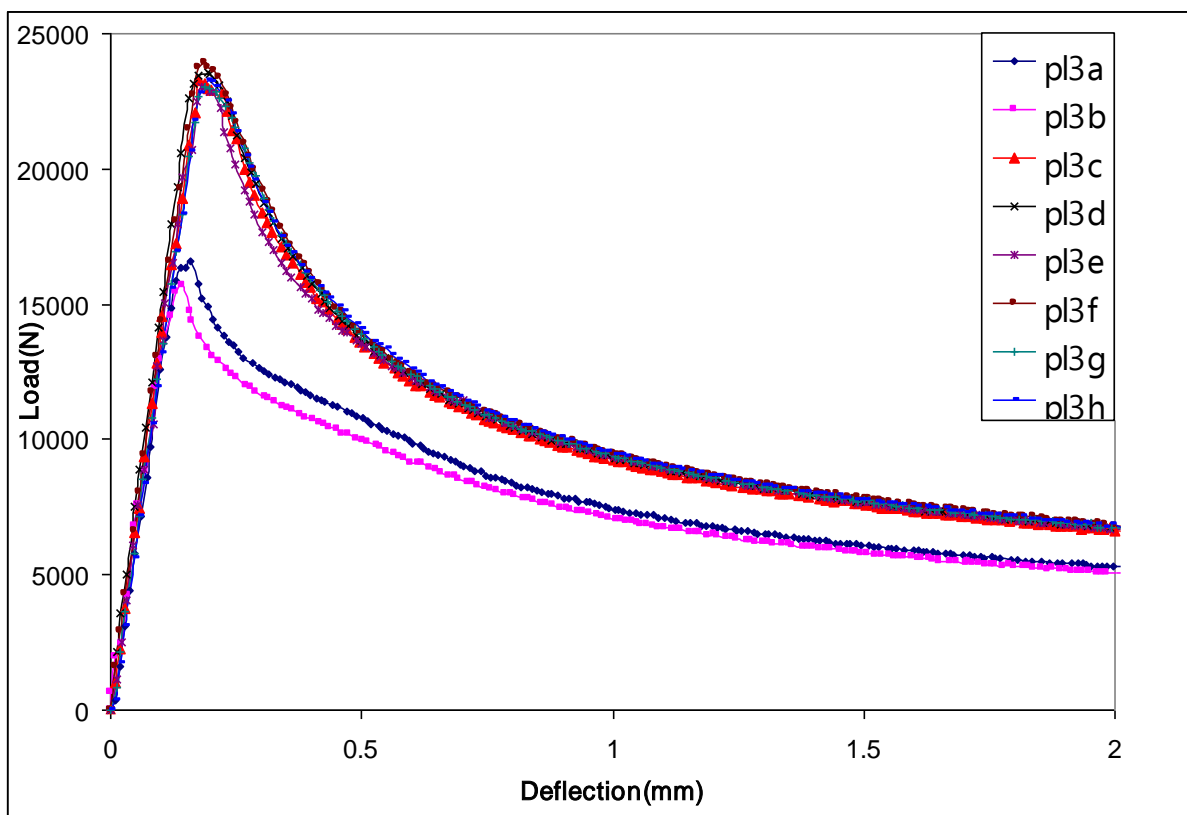


نمونه p13f

نمونه p13d

نمونه p13a

شکل ۵-۱۵ نمونه‌هایی دارای سه گشودگی دایروی در تست کمانش



شکل ۵-۱۶ نمودار بار-جابجایی برای نمونه‌های دارای سه گشودگی دایروی

جدول ۴-۵ نتایج تحلیل تجربی برای نمونه‌های دارای سه گشودگی دایروی

Specimen name	Imperfection (m)	P _{cr} (exp) (N)
<i>pl3a</i>	0.00015	16607.2
<i>pl3b</i>	0.00035	15689.7
<i>pl3c</i>	0.00025	23244.5
<i>pl3d</i>	0.0002	23595.2
<i>pl3e</i>	0.0002	23016.3
<i>pl3f</i>	0.00015	23949.5
<i>pl3g</i>	0.0002	23050.1
<i>pl3h</i>	0.00015	23293

مشابه نتایج تحلیل عددی، در نتایج تجربی برای نمونه‌های دارای سه گشودگی دایروی نیز، قرار گرفتن گشودگیها در فاصله طولی موثر از مرکز صفحه، بار کمانش را به میزان قابل توجهی کاهش داده است، به طوری که در نمونه *pl3a* و *pl3b* که هر سه گشودگی در آنها در این محدوده واقع شده، بار کمانش نسبت به سایر نمونه‌ها در حدود ۳۰٪ کاهش یافته است. در مقایسه نمونه‌های *pl3f* و *pl3h* با نمونه *pl3a* که هر سه نمونه دارای نقص اولیه یکسانی می‌باشند، مشاهده می‌شود که در نمونه‌های *pl3f* و *pl3h* که در آنها دو گشودگی خارج از فاصله طولی موثر از مرکز صفحه واقع شده‌اند، بار کمانش نسبت به نمونه *pl3a*، که در آن هر سه گشودگی در این محدوده واقع شده، حدود ۳۰٪ بیشتر است.

در شکل ۱۷-۵ فرم کمانش نمونه‌های با چهار گشودگی دایروی و در شکل ۱۸-۵، منحنی-های بار-جابجایی حاصل از تست تجربی این نمونه‌ها مشاهده می‌شوند. شکل ۱۹-۵، فرم کمانش نمونه‌هایی با پنج گشودگی دایروی و شکل ۲۰-۵، منحنی‌های بار-جابجایی حاصل از تست تجربی نمونه‌های دارای پنج گشودگی دایروی را نشان می‌دهند. شکل ۲۱-۵ فرم کمانش نمونه *pl8* و شکل ۲۲-۵ منحنی بار-جابجایی حاصل از تست تجربی برای نمونه *pl8* را نشان می‌دهد. مقادیر بار بحرانی

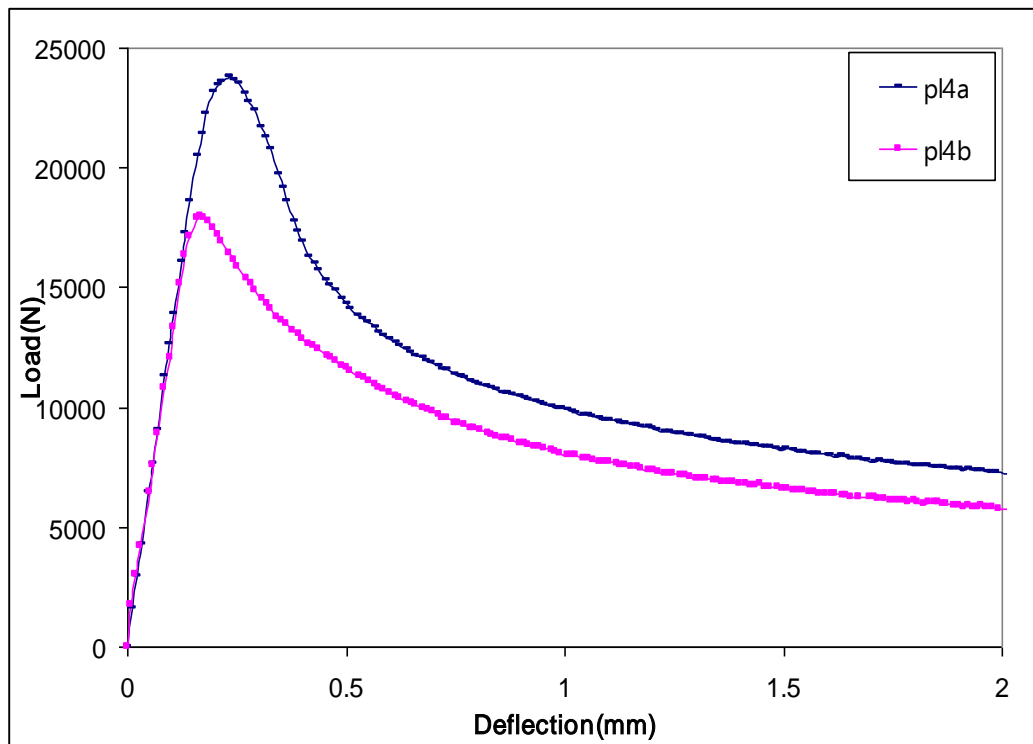
کمانش حاصل از تست تجربی نمونه‌های دارای چهار، پنج و هشت گشودگی دایروی، به همراه نقص اولیه مربوط به هر نمونه، در جدول ۵-۵ آورده شده است.



نمونه pl4b

نمونه pl4a

شکل ۵-۱۷ نمونه‌های دارای چهار گشودگی دایروی در تست کمانش



شکل ۵-۱۸ نمودار بار-جابجایی برای نمونه‌های دارای چهار گشودگی دایروی

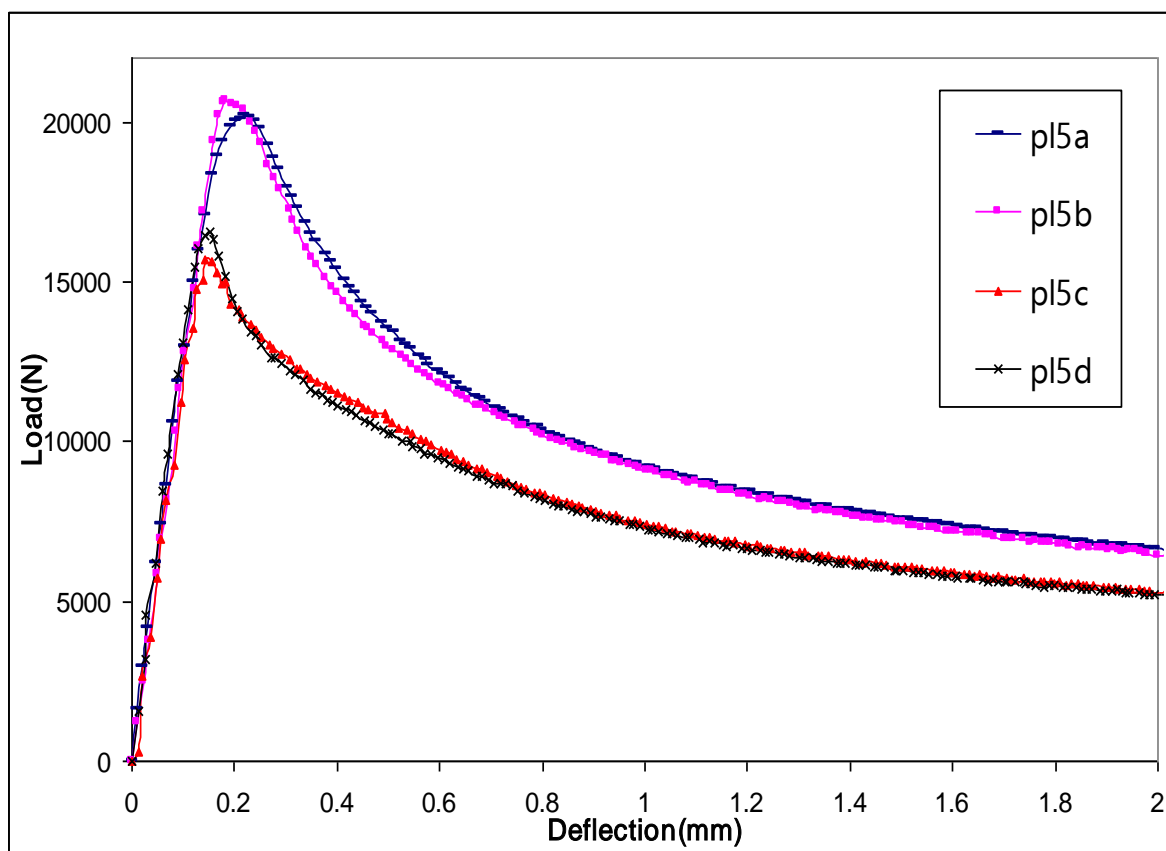


نمونه p15d

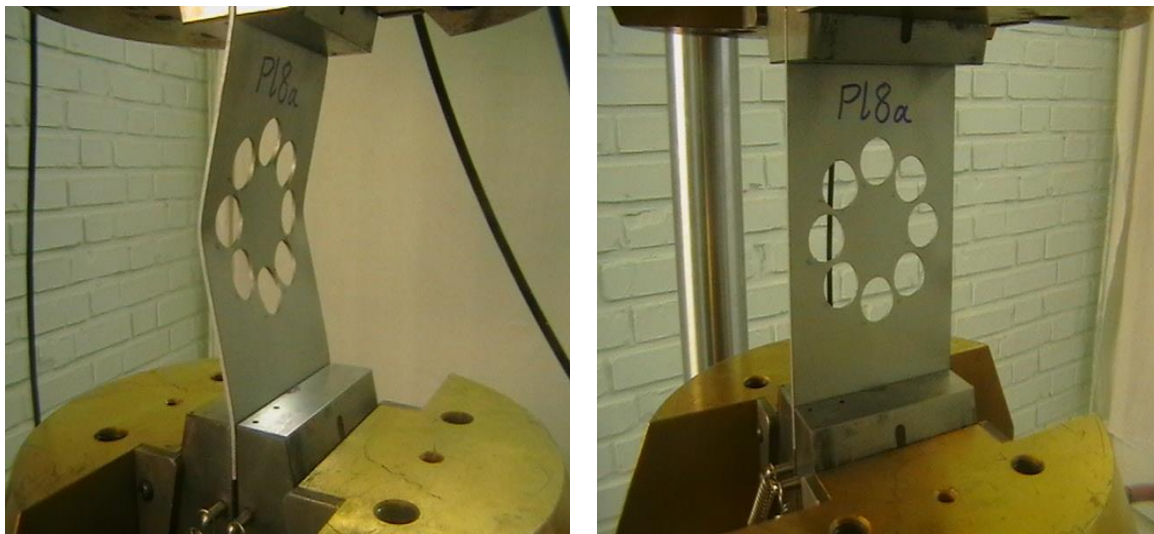


نمونه p14a

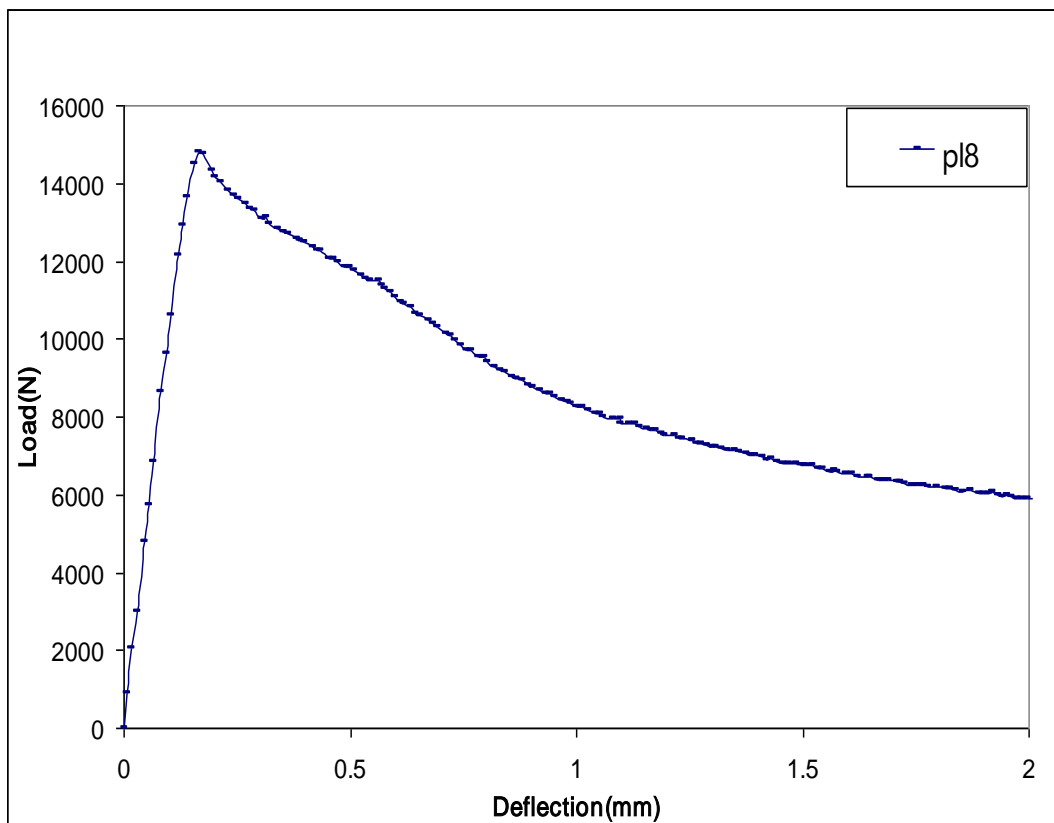
شکل ۵-۱۹ نمونه‌هایی دارای پنج گشودگی دایروی در تست کمانش



شکل ۵-۲۰ نمودار بار-جابجایی برای نمونه‌های دارای پنج گشودگی دایروی



شکل ۵-۲۱ مد کمانش نمونه p18



شکل ۵-۲۲ نمودار بار-جابجایی برای نمونه‌های دارای هشت گشودگی دایروی

جدول ۵-۵ نتایج تحلیل تجربی برای نمونه‌های دارای چهار، پنج و هشت گشودگی دایروی

Specimen name	Imperfection (m)	$P_{cr}(exp)$ (N)
<i>pl4a</i>	0.0003	23795.4
<i>pl4b</i>	0.0004	18009.3
<i>pl5a</i>	0.00045	20195.1
<i>pl5b</i>	0.00035	20693.3
<i>pl5c</i>	0.00025	15688.9
<i>pl5d</i>	0.00025	16578
<i>pl8</i>	0.0003	14817

در نمونه *pl4b* که دو گودگی از چهار گشودگی، در فاصله طولی موثر از مرکز صفحه واقع شده‌اند، بار کمانش تجربی نسبت به نمونه *pl4a*، که در آن هیچکدام از گشودگی‌ها در این محدوده قرار ندارند، ۲۵٪ کاهش یافته است. وجود یک گشودگی مرکزی در نمونه *pl5a*، بار کمانش این نمونه را نسبت به نمونه *pl4a* حدود ۴۰۰۰N کاهش داده است. نمونه *pl5c* نیز مشابه نمونه *pl4b* است، با این تفاوت که یک گشودگی مرکزی در این نمونه اضافه شده است، و به دلیل وجود همین گشودگی مرکزی، بار کمانش این نمونه نسبت به نمونه *pl4b* حدود ۳۰۰۰N کاهش یافته، که اگر نقص اولیه نمونه *pl5c* هم به مانند نمونه *pl4b* بود، حتما این تفاوت در مقدار بار کمانش بیشتر می‌شد. در نمونه *pl5d* فاصله گشودگیها از مرکز صفحه نسبت به نمونه *pl5c* بیشتر شده است، و به دلیل اینکه دو گشودگی که در نمونه *pl5c* اندکی در ناحیه موثر واقع شده بودند، در نمونه *pl5d* کاملا به خارج از این محدوده انتقال یافته‌اند، بنابراین مقدار بار کمانش در این نمونه نسبت به نمونه *pl5c* اندکی افزایش یافته است. نمونه *pl8* هم با توجه به تعداد گشودگی‌ها، کمترین مقدار بار کمانش را در بین تمام نمونه‌های با نسبت طول به عرض ۱/۵ را به خود اختصاص داده است.

۵-۴-۳- نتایج تحلیل تجربی نمونه‌های دارای گشودگی شیاری شکل

در شکل‌های ۵-۲۳ تا ۵-۲۹ شکل‌ها، و نمودارهای بار-جابجایی، و در جداول ۵-۶ تا ۵-۱۰، بار کمانش حاصل از تست تجربی و مقدار نقص اولیه، به ترتیب برای نمونه‌های دارای گشودگی شیاری شکل دارای θ برابر با ۰، ۳۰، ۴۵، ۶۰ و ۹۰ درجه، آورده شده است.

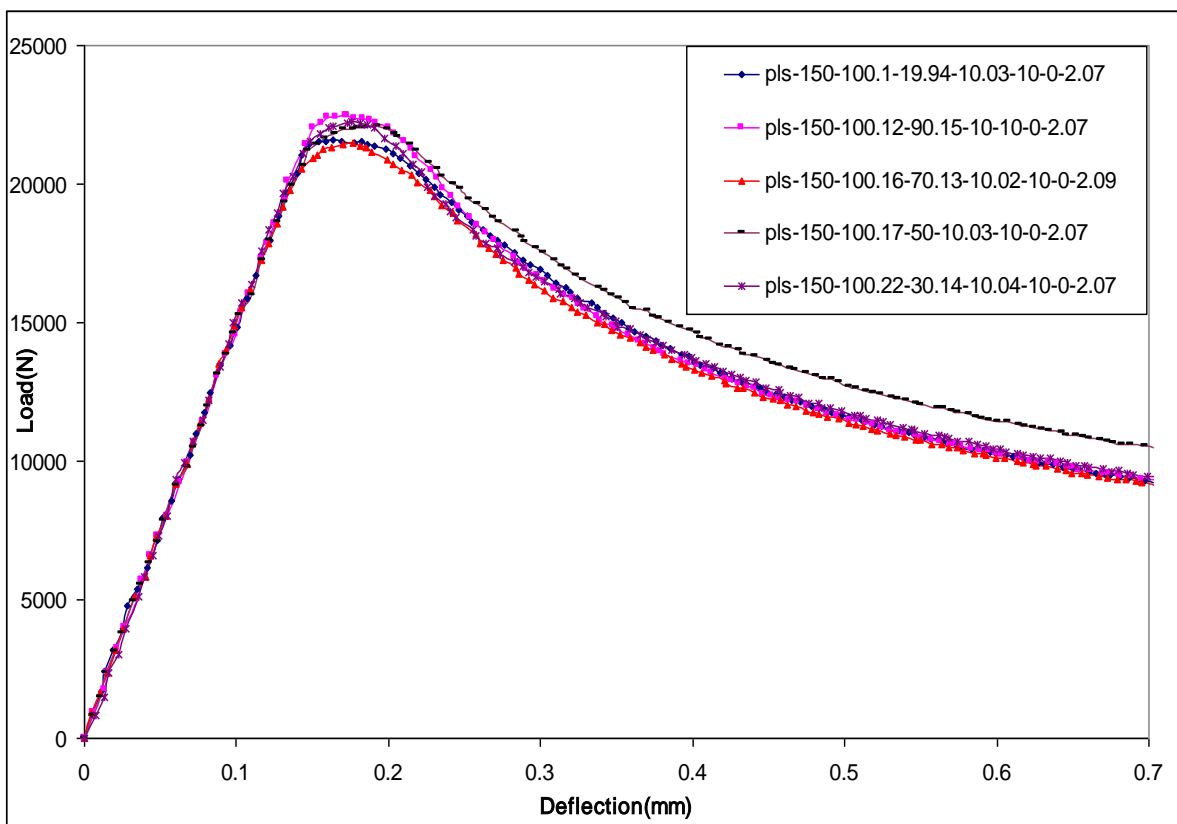


نمونه pls-150-100.22-30.14-10.04-10-0-2.07



نمونه pls-150-100.12-90.15-10-10-0-2.07

شکل ۵-۲۳ مد کمانش نمونه‌هایی دارای گشودگی شیاری با θ برابر ۰ درجه



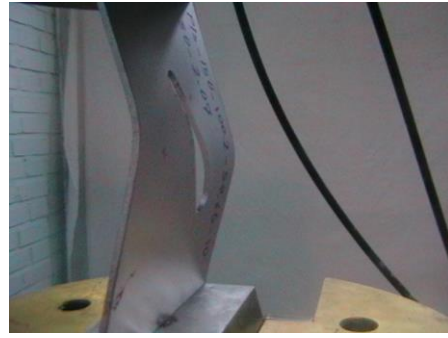
شکل ۵-۲۴ نمودار بار-جابجایی برای نمونه‌های دارای گشودگی شیاری با θ برابر ۰ درجه

جدول ۵-۶ نتایج تحلیل تجربی برای نمونه‌های دارای گشودگی شیاری با θ برابر ۰ درجه

Specimen name	Imperfection (m)	$P_{cr}(exp)$ (N)
<i>pls-150-100.1-19.94-10.03-10-0-2.07</i>	0.0005	21604.76
<i>pls-150-100.12-90.15-10-10-0-2.07</i>	0.00035	22495.04
<i>pls-150-100.16-70.13-10.02-10-0-2.09</i>	0.00045	21467.37
<i>pls-150-100.17-50-10.03-10-0-2.07</i>	0.0004	22083.04
<i>pls-150-100.22-30.14-10.04-10-0-2.07</i>	0.00042	22249.17

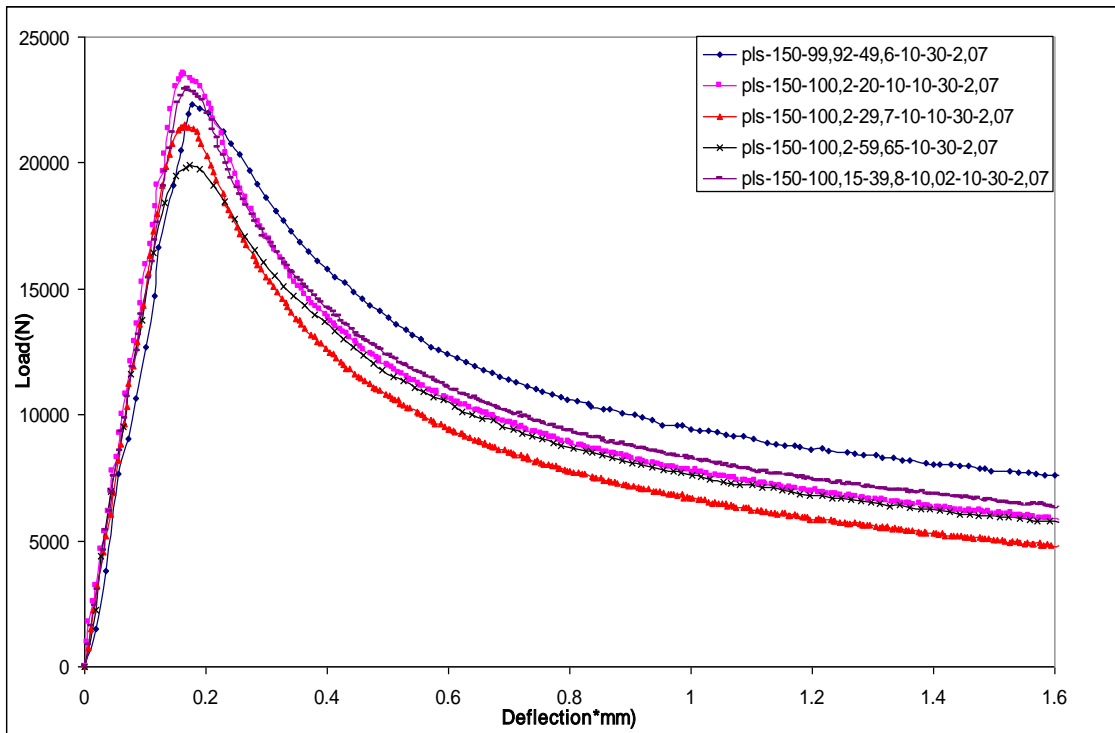


نمونه pls-150-99,92-49,6-10-30-2,07



نمونه pls-150-100,2-59,65-10-30-2,07

شکل ۵-۲۵ مد کمانش نمونه‌هایی دارای گشودگی شیاری با θ برابر ۳۰ درجه



شکل ۵-۲۶ نمودار بار-جابجایی برای نمونه‌های دارای گشودگی شیاری با θ برابر ۳۰ درجه

جدول ۵-۷ نتایج تحلیل تجربی برای نمونه‌های دارای گشودگی شیاری با θ برابر ۳۰ درجه

Specimen name	Imperfection (m)	$P_{cr}(exp)$ (N)
<i>pls-150-99,92-49,6-10-30-2,07</i>	0.0003	22308.6
<i>pls-150-100,2-20-10-10-30-2,07</i>	0.0003	23536.93
<i>pls-150-100,2-29,7-10-10-30-2,07</i>	0.00043	21542.65
<i>pls-150-100,2-59,65-10-30-2,07</i>	0.0005	19903.56
<i>pls-150-100,15-39,8-10,02-10-30-2,07</i>	0.00025	22961.96

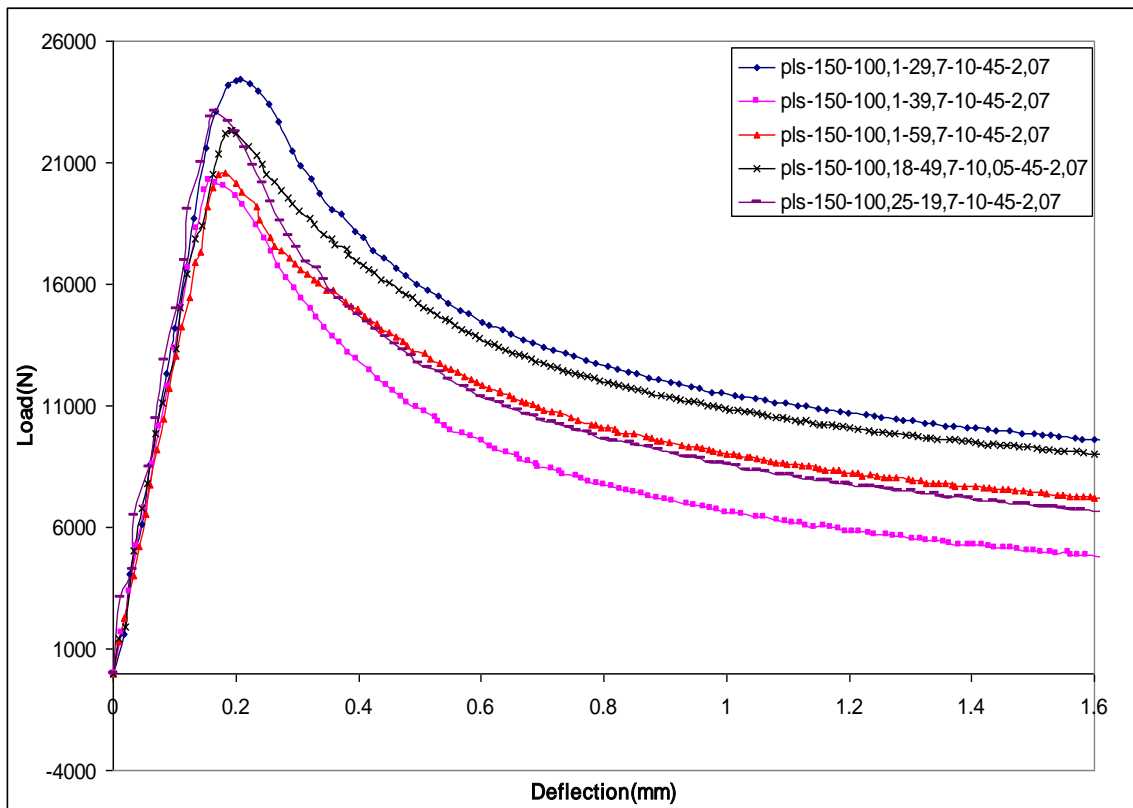


نمونه pls-150-100,18-49,7-10,05-45-2,07



نمونه pls-150-100,1-39,7-10-45-2,07

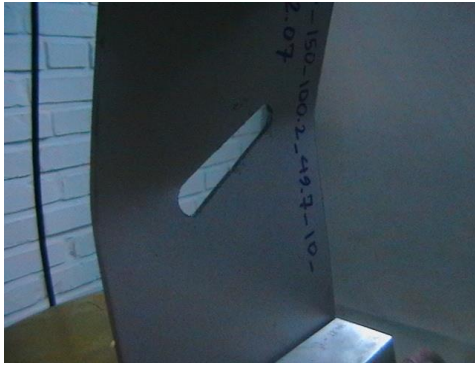
شکل ۵-۲۷ مد کمانش نمونه‌هایی دارای گشودگی شیاری با θ برابر ۴۵ درجه



شکل ۵-۲۸ نمودار بار-جابجایی برای نمونه‌های دارای گشودگی شیاری با θ برابر ۴۵ درجه

جدول ۴-۹ نتایج تحلیل تجربی برای نمونه‌های دارای گشودگی شیاری با θ برابر ۴۵ درجه

Specimen name	Imperfection (m)	$P_{cr}(exp)$ (N)
<i>pls-150-100,1-29,7-10-45-2,07</i>	0.00015	24409.77
<i>pls-150-100,1-39,7-10-45-2,07</i>	0.00035	20306.26
<i>pls-150-100,1-59,7-10-45-2,07</i>	0.00025	20583.13
<i>pls-150-100,18-49,7-10,05-45-2,07</i>	0.00015	22331.68
<i>pls-150-100,25-19,7-10-45-2,07</i>	0.0003	23127.08

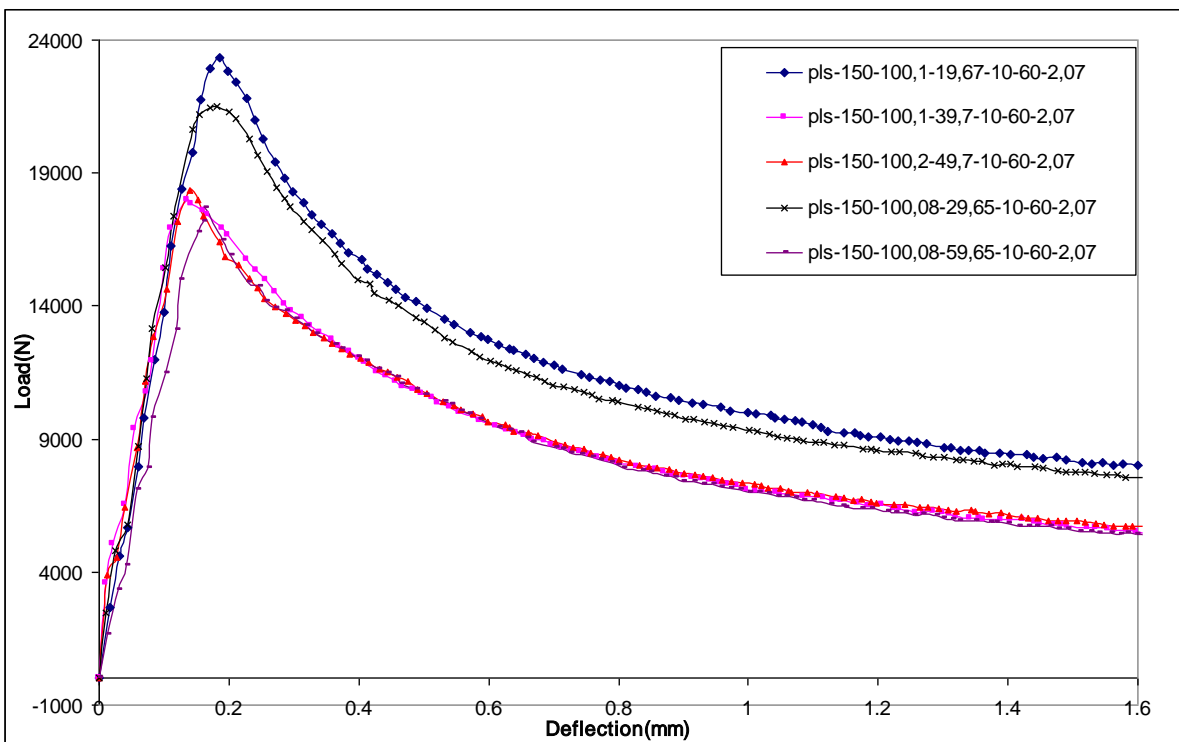


نمونه pls-150-100,2-49,7-10-60-2,07



نمونه pls-150-100,08-29,65-10-60-2,07

شکل ۵-۲۹ مد کمانش نمونه‌هایی دارای گشودگی شیاری با θ برابر ۶۰ درجه



شکل ۵-۳۰ نمودار بار-جابجایی برای نمونه‌های دارای گشودگی شیاری با θ برابر ۶۰ درجه

جدول ۵-۹ نتایج تحلیل تجربی برای نمونه‌های دارای گشودگی شیاری با θ برابر ۶۰ درجه

Specimen name	Imperfection (m)	$P_{cr}(exp)$ (N)
<i>pls-150-100,1-19,67-10-60-2,07</i>	0.0003	23320.16
<i>pls-150-100,1-39,7-10-60-2,07</i>	0.00055	17996.4
<i>pls-150-100,2-49,7-10-60-2,07</i>	0.0004	18347.03
<i>pls-150-100,08-29,65-10-60-2,07</i>	0.00035	21523.59
<i>pls-150-100,08-59,65-10-60-2,07</i>	0.0003	17683.4

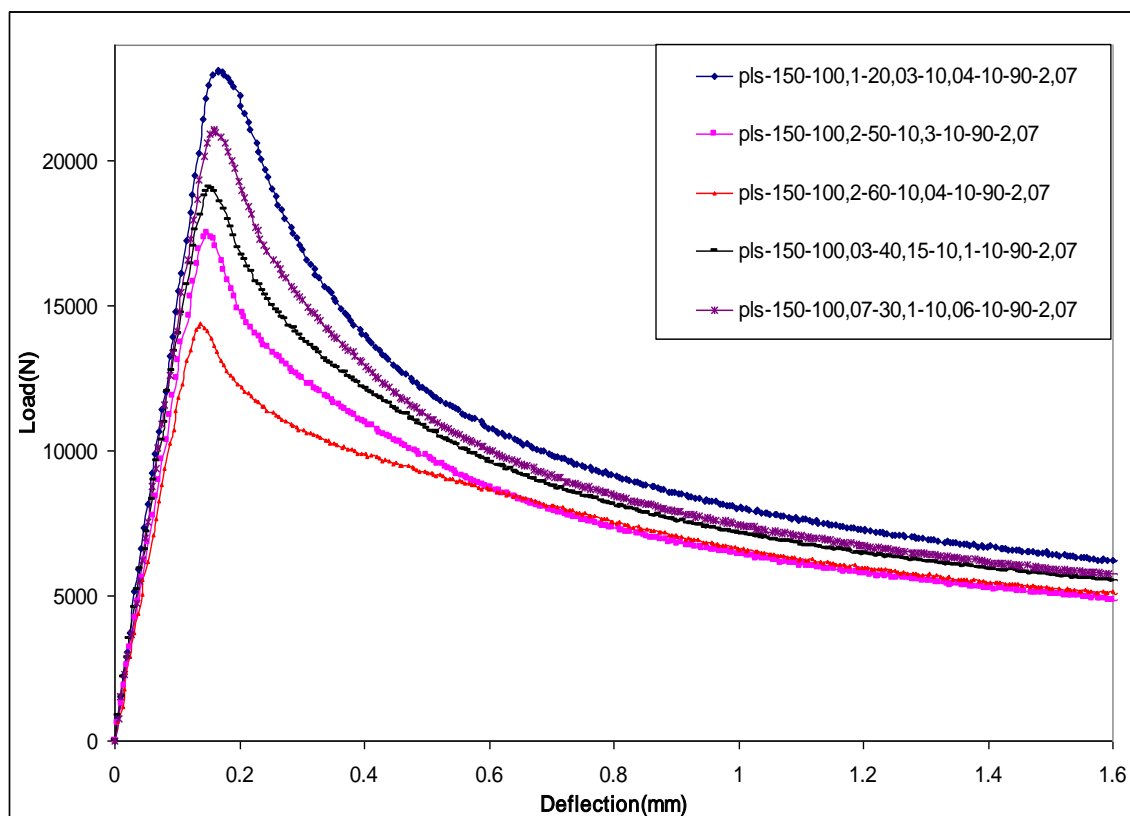


نمونه pls-150-100,03-40,15-10,1-10-90-2,07



نمونه pls-150-100,2-50-10,3-10-90-2,07

شکل ۳۱-۵ مد کمانش نمونه‌هایی دارای گشودگی شیاری با θ برابر ۹۰ درجه



شکل ۳۲-۵ نمودار بار-جابجایی برای نمونه‌های دارای گشودگی شیاری با θ برابر ۹۰ درجه

جدول ۵-۱۰ نتایج تحلیل تجربی برای نمونه‌های دارای گشودگی شیاری با θ برابر ۹۰ درجه

Specimen name	Imperfection (m)	$P_{cr}(\text{exp})$ (N)
<i>pls-150-100,1-20,03-10,04-10-90-2,07</i>	0.00025	23126.91
<i>pls-150-100,2-50-10,3-10-90-2,07</i>	0.00025	17496.85
<i>pls-150-100,2-60-10,04-10-90-2,07</i>	0.00038	14401.54
<i>pls-150-100,03-40,15-10,1-10-90-2,07</i>	0.0003	19081.13
<i>pls-150-100,07-30,1-10,06-10-90-2,07</i>	0.0003	21082.67

همانطور که واضح است، در تست‌های تجربی نیز، بار بحرانی کمانش با بیشتر شدن مساحت گشودگی کاهش می‌یابد. با مقایسه نمونه‌های *pls-150-100.22-30.14-10.04-10-0-2.07*، *pls-150-100.16-70.13-10.02-10-0-2.09* و *pls-150-100.17-50-10.03-10-0-2.07* نقص اولیه تقریباً یکسانی هستند ملاحظه می‌شود که با افزایش طول شیار یعنی با افزایش مساحت گشودگی بار کمانش کاهش یافته است. نمونه *pls-150-100.12-90.15-10-10-0-2.07* بدلیل داشتن نقص اولیه کمتر نسبت به سایر نمونه‌های با θ برابر با ۰ درجه، بیشترین بار کمانش را در این دسته به خود اختصاص داده است.

در نمونه‌های با θ برابر با ۳۰ درجه، با مقایسه *pls-150-100,2-20-10-10-30-2,07* و *pls-150-99,92-49,6-10-30-2,07* که دارای نقص اولیه یکسانی می‌باشند، مشاهده می‌شود که با افزایش طول شیار بار کمانش در نمونه *pls-150-99,92-49,6-10-30-2,07* ۵٪ نسبت به نمونه *pls-150-100,2-20-10-10-30-2,07* کاهش یافته است. نمونه‌های با θ برابر با ۳۰ درجه، دارای بیشترین مقدار بار کمانش بوده، و نمونه *pls-150-100,2-59,65-10-30-2,07* نیز به دلیل داشتن بیشترین طول شیار و نیز بیشترین مقدار نقص اولیه، دارای کمترین بار کمانش می‌باشد. در نمونه‌های با θ برابر با ۴۵ درجه، با مقایسه نمونه‌های *pls-150-100,1-29,7-10-45-2,07* و *pls-150-100,18-49,7-10,05-45-2,07* مشاهده می‌شود که بار کمانش در نمونه *pls-150-100,18-49,7-10,05-45-2,07* ۹٪ نسبت به نمونه *pls-150-100,1-29,7-10-45-2,07* کاهش یافته است.

در نمونه‌های با θ برابر با ۶۰ درجه، بار کمانش از نمونه pls-150-100,1-19,67-10-60-2,07 تا نمونه pls-150-100,08-59,65-10-60-2,07، یعنی از نمونه دارای کمترین طول شیار تا نمونه دارای بیشترین طول شیار، ۲۴٪ کاهش یافته است. در نمونه‌های با θ برابر با ۹۰ درجه، تاثیر تغییر طول شیار در مقدار بار کمانش، بیشتر از نمونه‌های با θ کمتر است، چراکه در این حالت شیار کاملاً در امتداد عرضی صفحه واقع شده و در نتیجه تصویر شیار در امتداد عرضی صفحه در مقایسه با نمونه‌های با θ های کمتر، دارای بیشترین مقدار است (در این حالت طول تصویر شیار بر امتداد عرضی ورق، برابر با طول خود شیار است). به طوریکه مشاهده می‌شود، بار کمانش در نمونه pls-150-100,1-19,67-10-60-2,07، ۲۴٪ نسبت به نمونه pls-150-100,2-50-10,3-10-90-2,07، که هر دوی این نمونه‌ها دارای مقدار نقص اولیه یکسانی هستند، افزایش یافته است. در نمونه pls-150-100,03-40,15-10,1-10-90-2,07 نیز، بار کمانش ۹٪ نسبت به نمونه pls-150-100,07-30,1-10-90-2,07، کاهش یافته است.

نکته‌ای که می‌توان بدان اشاره کرد، این است که در حالتی که θ برابر با ۰ درجه می‌باشد، کاهش یا افزایش طول شیار تاثیر چشمگیری در مقدار بار کمانش ندارد، چرا که در این حالت با تغییر طول شیار، هیچ تغییری در تصویر گشودگی در امتداد عرضی ورق رخ نمی‌دهد، و با بررسی نتایج در θ های دیگر، مشخص شد که هرچه اندازه تصویر گشودگی در امتداد عرضی ورق افزایش پیدا می‌کند، بار کمانش کاهش می‌یابد. با بررسی نتایج، مشاهده می‌شود که با افزایش طول شیار، بار کمانش در نمونه‌های دارای θ یکسان، افزایش پیدا میکند، و همچنین افزایش طول شیار، در کاهش بار کمانش، در حالت θ برابر ۹۰ درجه، بیشترین تاثیر را دارد. با افزایش زاویه θ از ۰ تا ۹۰ درجه، در طول شیار یکسان، بار کمانش کاهش پیدا می‌کند، و همچنین تاثیر تغییر θ در نمونه‌های دارای طول شیار بزرگتر بیشتر می‌شود.

بار تسلیم برای فولاد مورد استفاده در تحلیل را می‌توان به سادگی با ضرب تنش تسلیم ماده که از تست کشش معلوم می‌باشد در سطح مقطع ورق بدست آورد. این بار برابر با ۷۲ KN می‌باشد. با توجه به اینکه در تمامی نمونه‌ها بار کمانش از این مقدار بسیار کوچکتر می‌باشد کاملاً واضح است که در تمامی نمونه‌ها کمانش در حالت الاستیک رخ داده است.

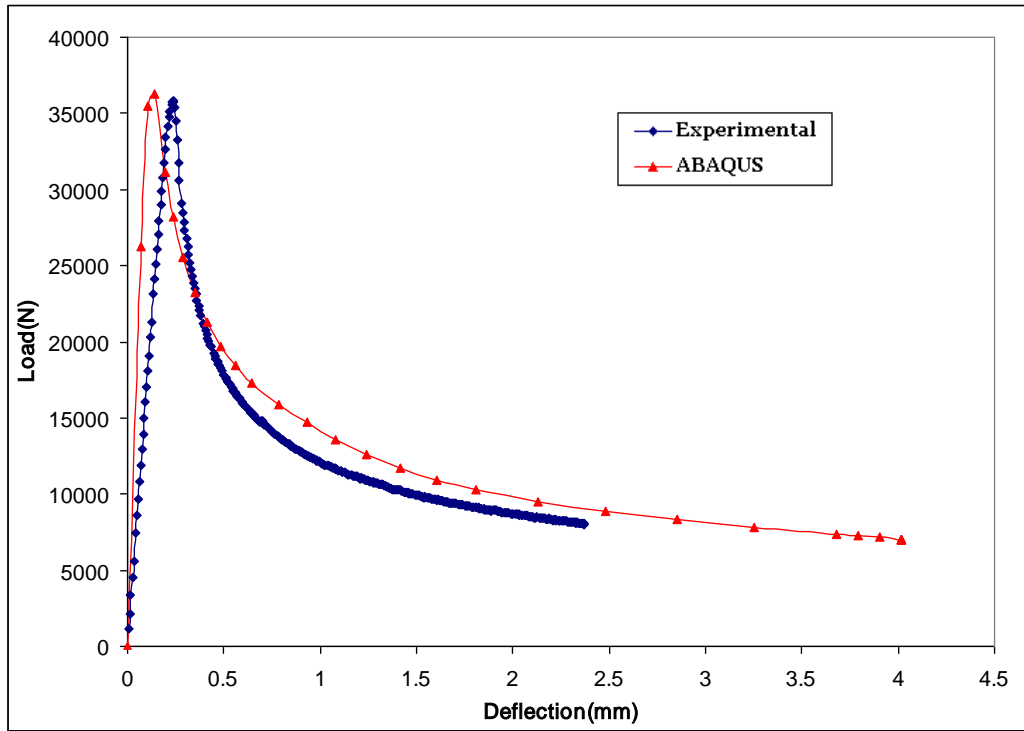
فصل ششم

بحث و نتیجه‌گیری

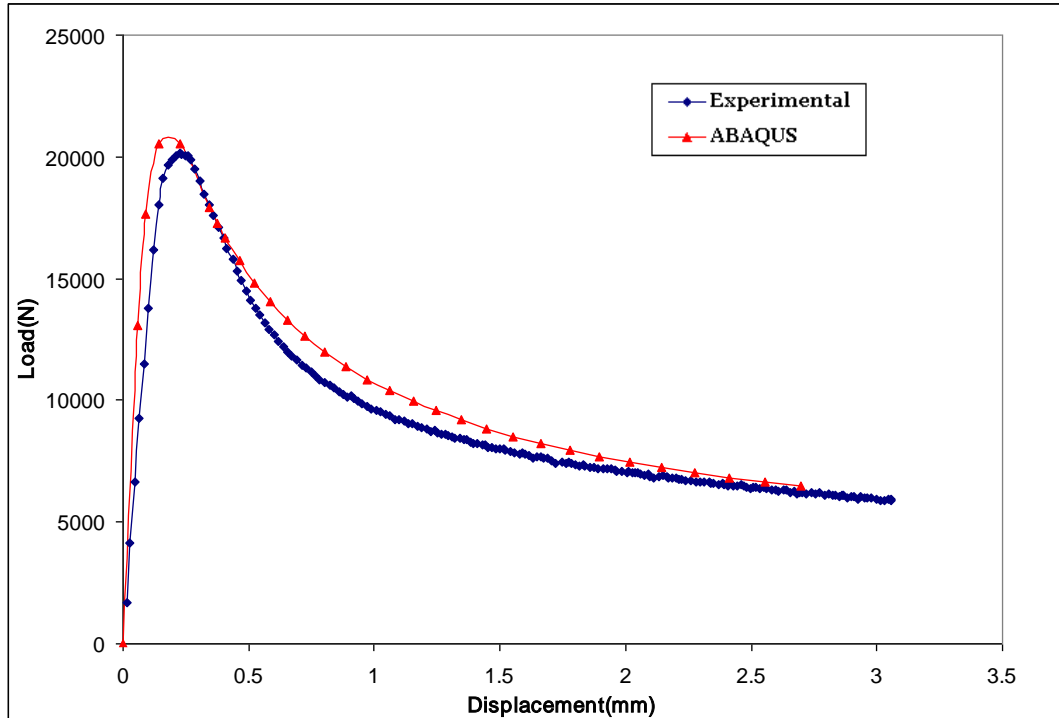
در این فصل نتایج تجربی بدست آمده در فصل ۵ و نتایج تحلیل المان محدود در فصل ۴ با هم مقایسه می‌شوند. نمودارهای بار-جابجایی و مد کمانش تجربی و عددی تعدادی از نمونه‌ها با هم مقایسه شده است. همچنین برای تمامی نمونه‌ها، مقدار بار کمانش بدست آمده از طریق تجربی و عددی، به همراه درصد اختلاف بین این مقادیر، در نمودارها آورده شده‌اند. در انتهای فصل نیز رابطه-ای بر حسب نتایج تجربی برای محاسبه بار کمانش ورق‌های دارای گشودگی شیاری شکل پیشنهاد شده است.

۱-۶- مقایسه نتایج

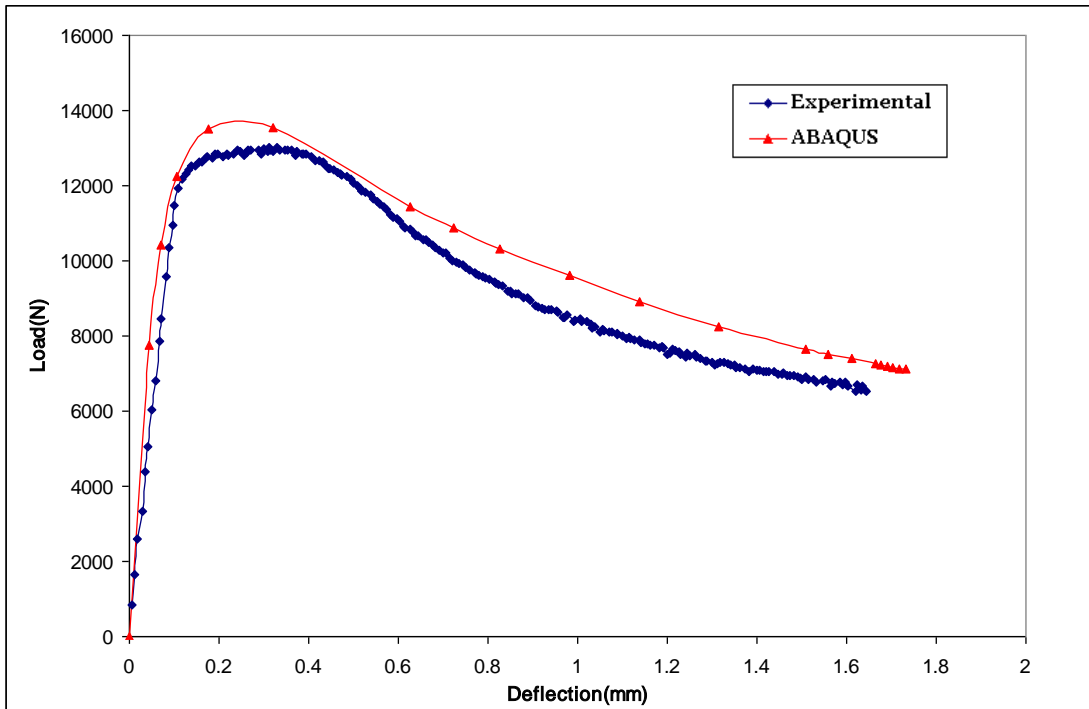
در شکل‌های ۱-۶ تا ۱۴-۶، منحنی بار-جابجایی حاصل از تحلیل المان محدود به همراه نتایج تست-های تجربی برای تعدادی از نمونه‌ها آورده شده است. در شکل‌های ۱۵-۶ تا ۲۰-۶ مد کمانش تجربی چند نمونه، جهت مقایسه، در کنار فرم کمانش یافته حاصل از تحلیل عددی نمونه با نرم‌افزار ABAQUS مشاهده می‌شوند، و بالاخره در شکل‌های ۲۱-۶ تا ۴۴-۶ مقدار بار کمانش بدست آمده از طریق تجربی و عددی، به همراه درصد اختلاف بین این مقادیر برای تمامی نمونه‌ها آورده شده‌اند.



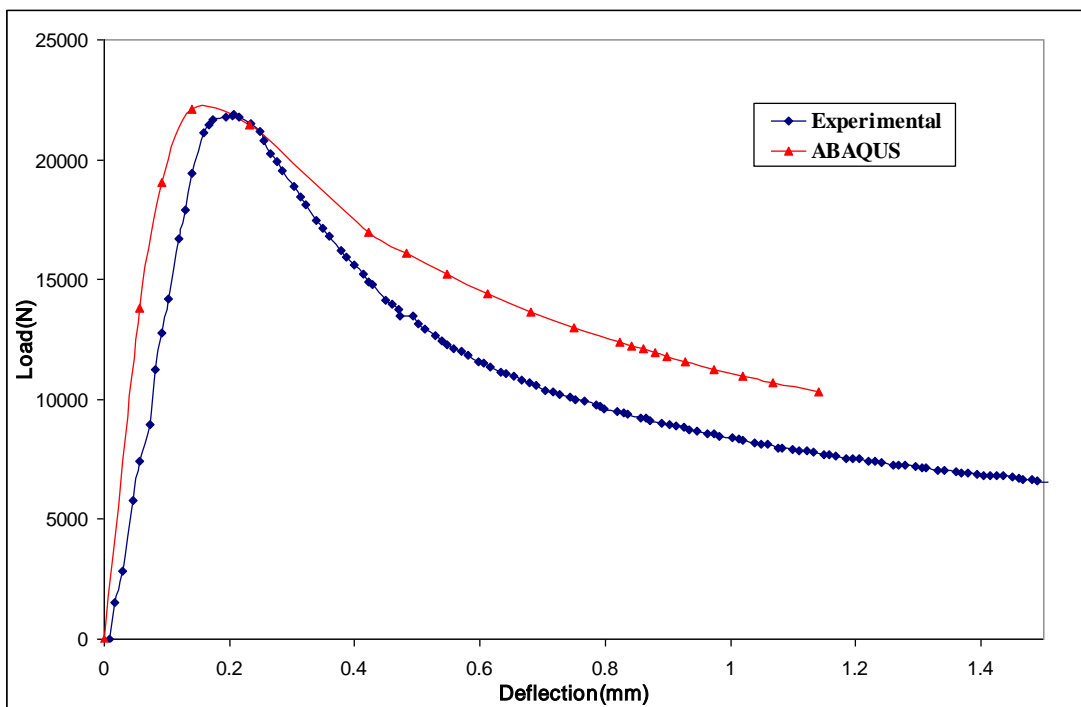
شکل ۶-۱ نمودار بار-جابجایی نمونه PI-110-100.4-0-0-0-2.2



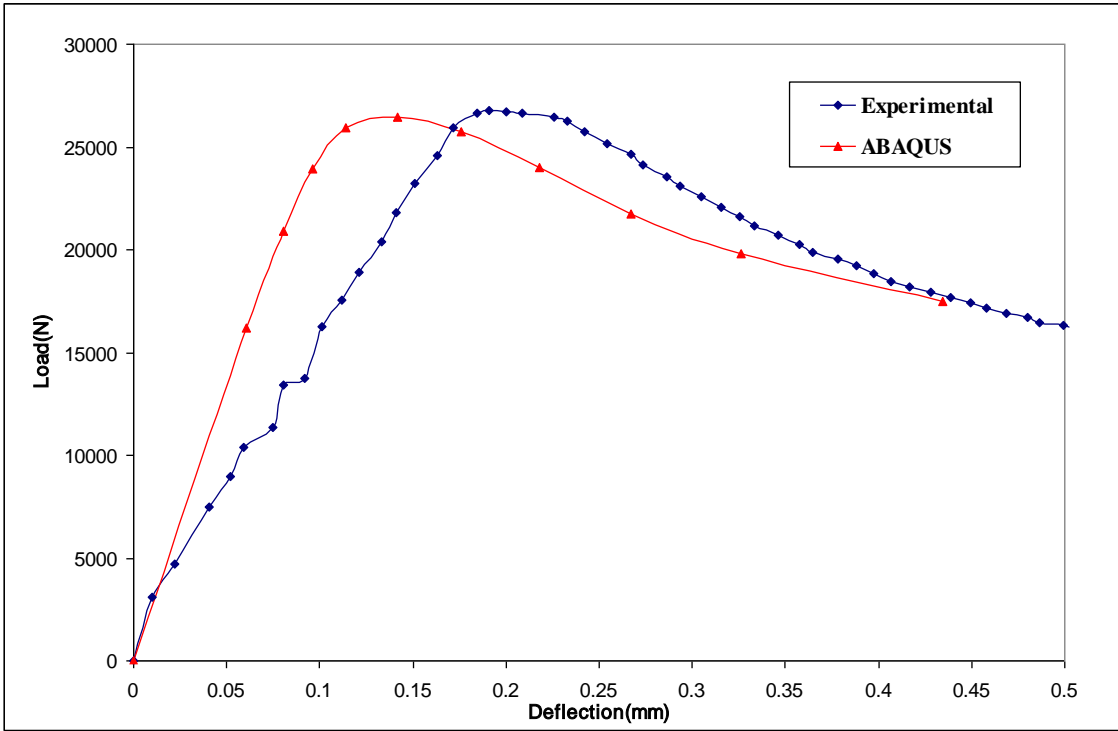
شکل ۶-۲ نمودار بار-جابجایی نمونه PI-160-100.2-28.8-0-20.2-2



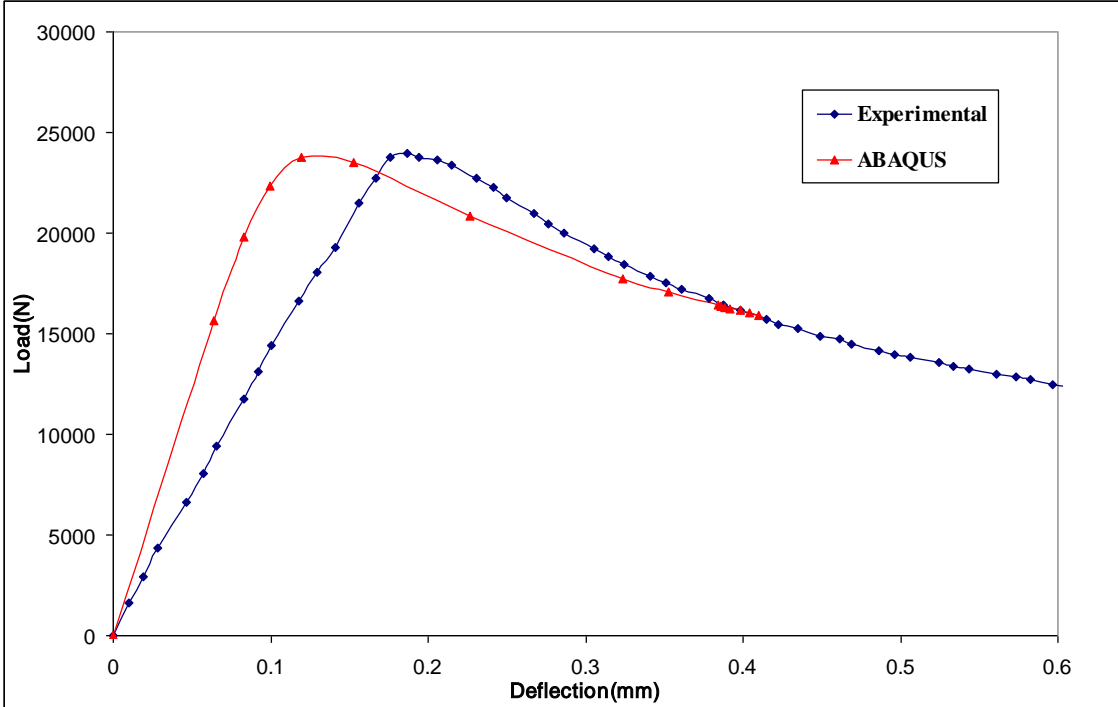
شکل ۳-۶ نمودار بار-جابجایی نمونه PI-210-100-49.6-26.3-20.2-2.1



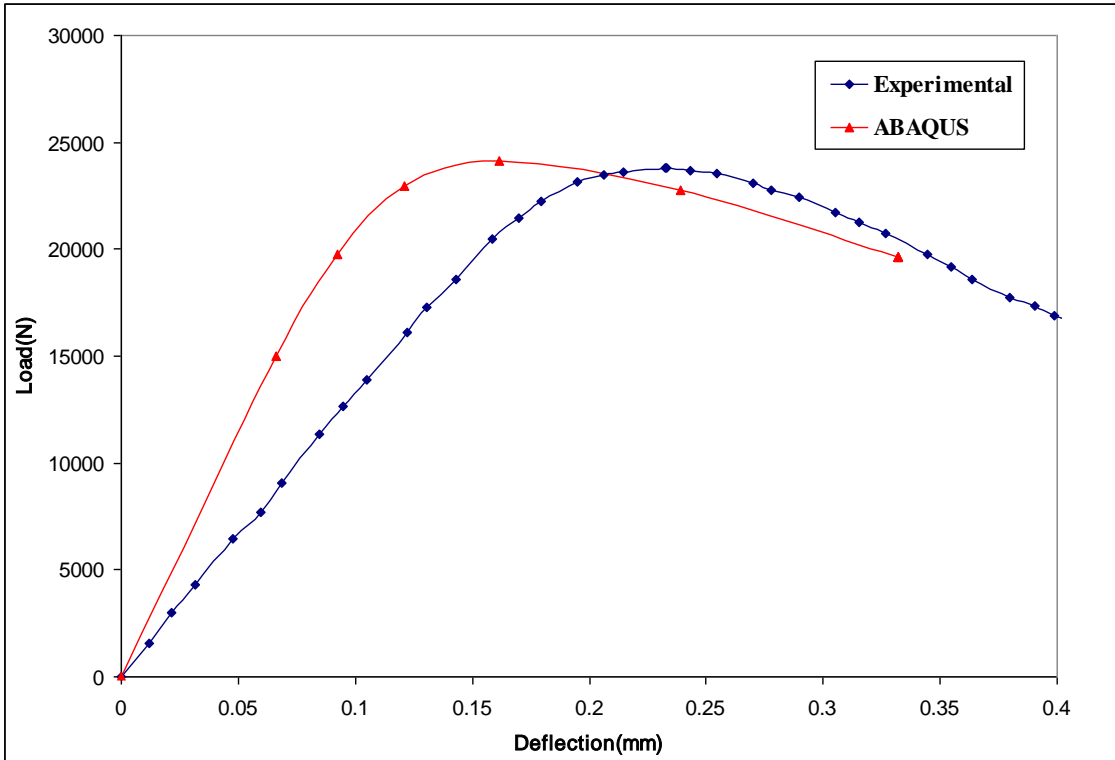
شکل ۴-۶ نمودار بار-جابجایی نمونه pl-150-99,8-0-0-0-2,07



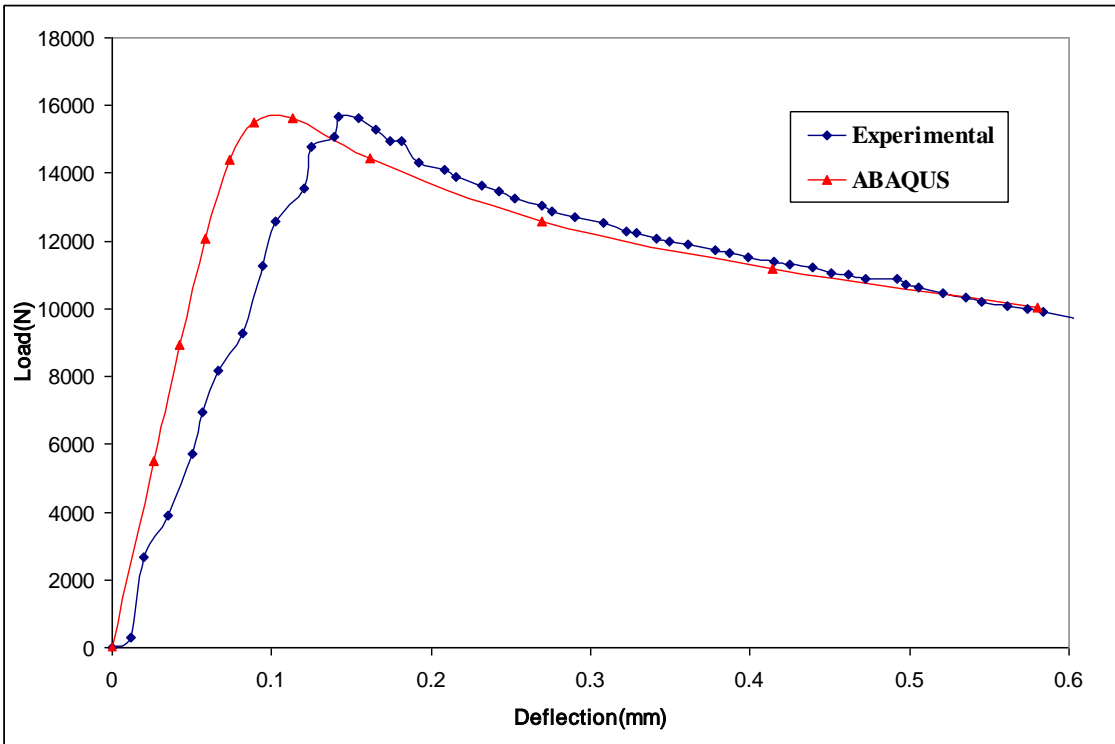
شکل ۵-۶ نمودار بار-جابجایی نمونه p12i



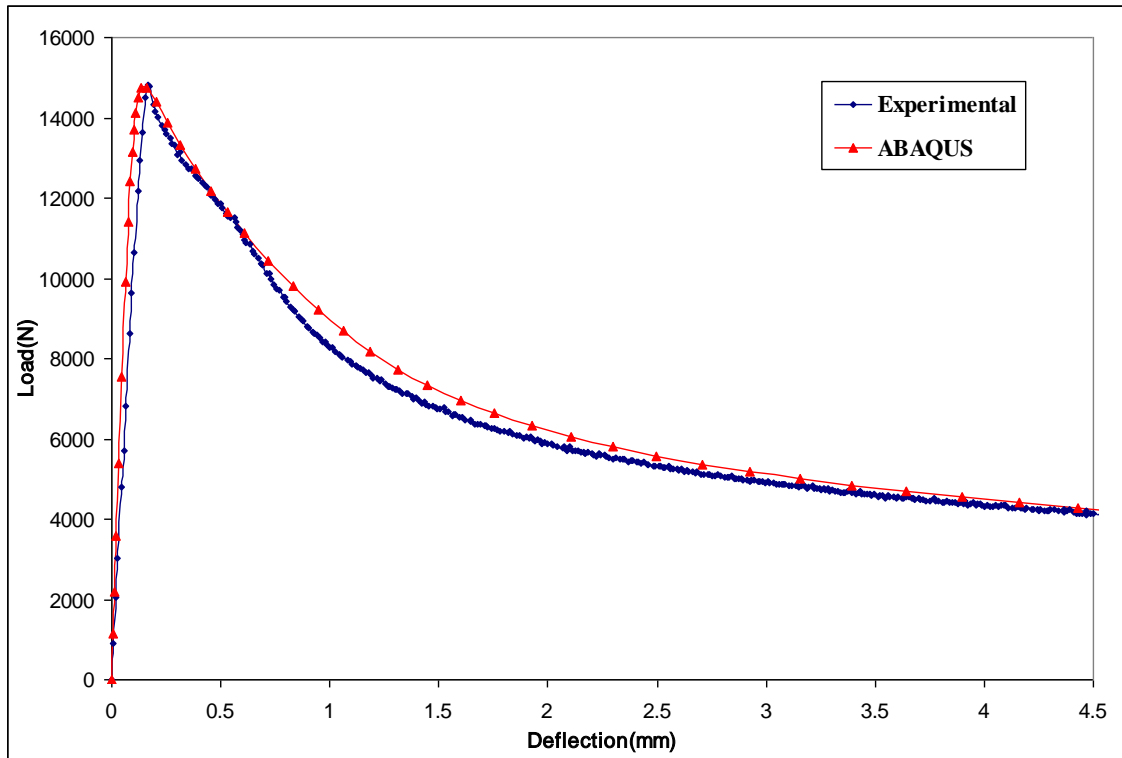
شکل ۶-۶ نمودار بار-جابجایی نمونه p13f



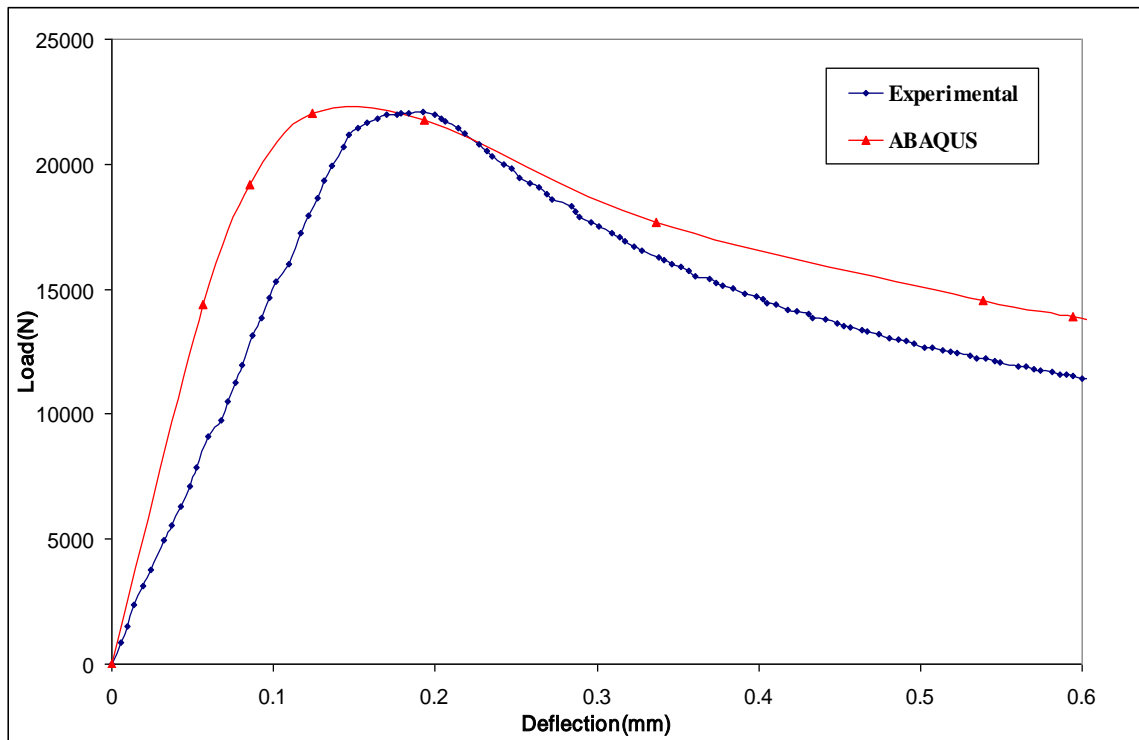
شکل ۶-۷ نمودار بار-جابجایی نمونه p14a



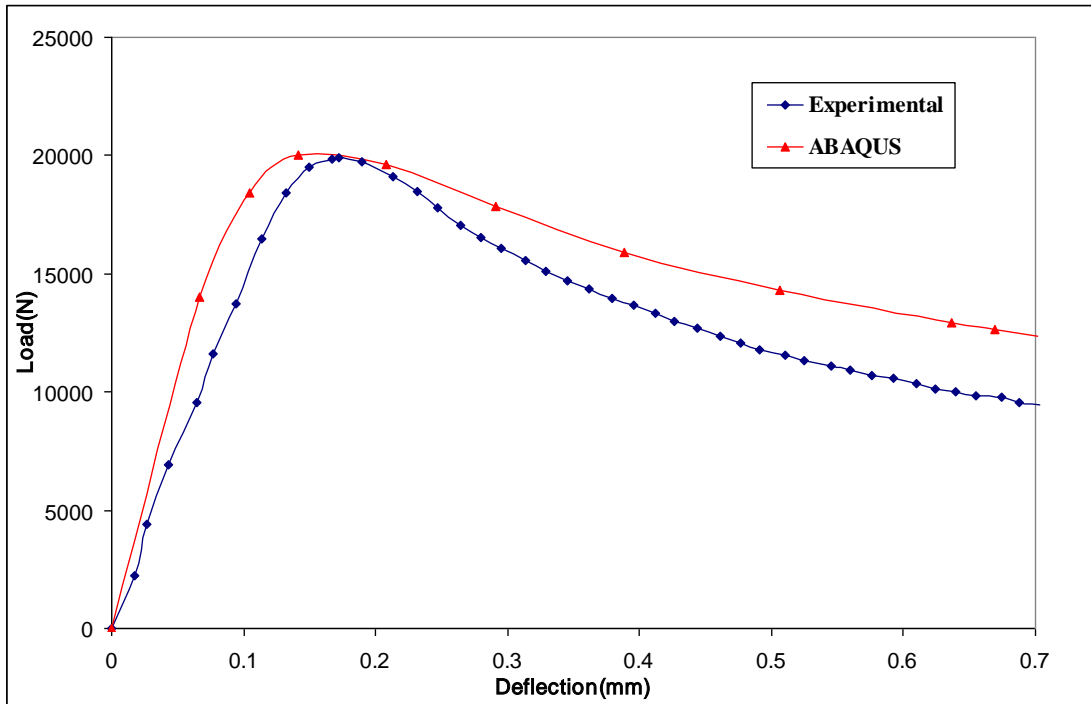
شکل ۶-۸ نمودار بار-جابجایی نمونه p15c



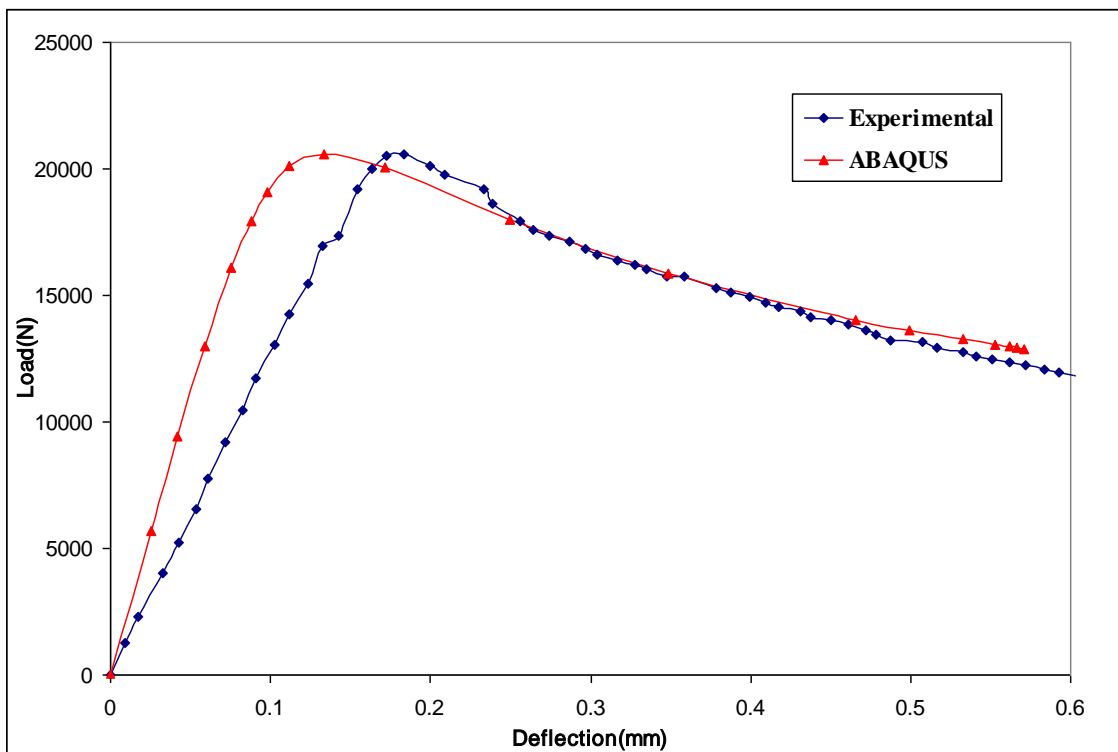
شکل ۹-۶ نمودار بار-جابجایی نمونه pl8



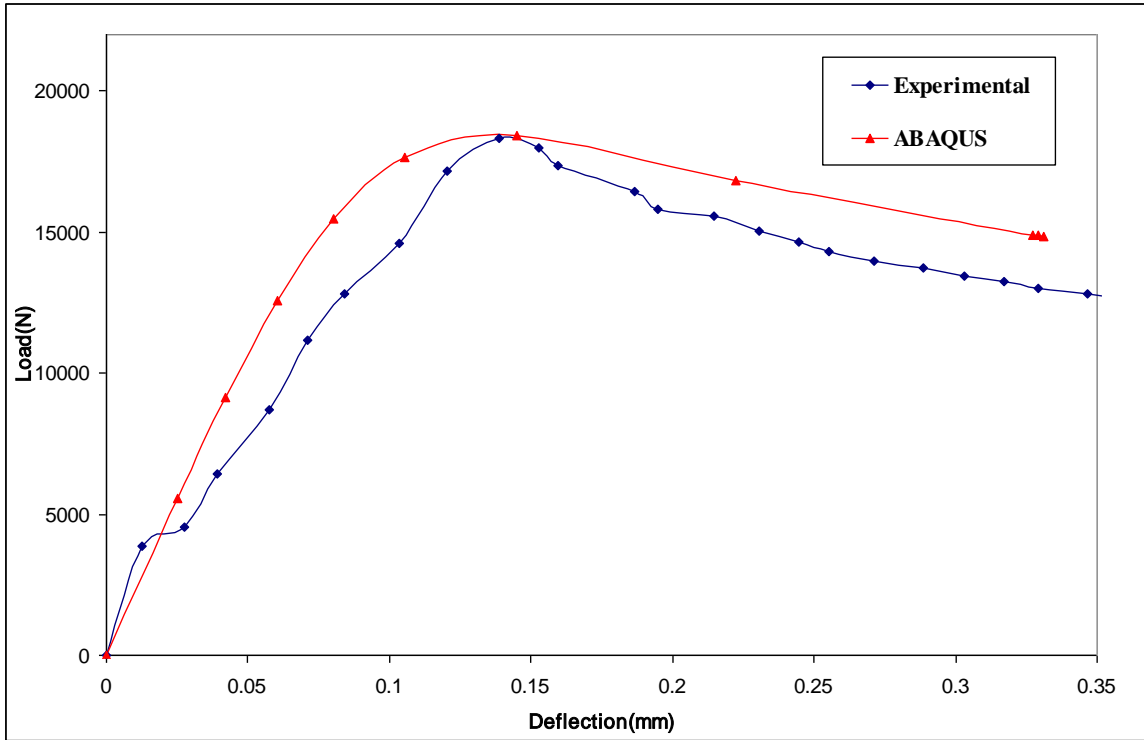
شکل ۱۰-۶ نمودار بار-جابجایی نمونه pls-150-100.17-50-10.03-10-0-2.07



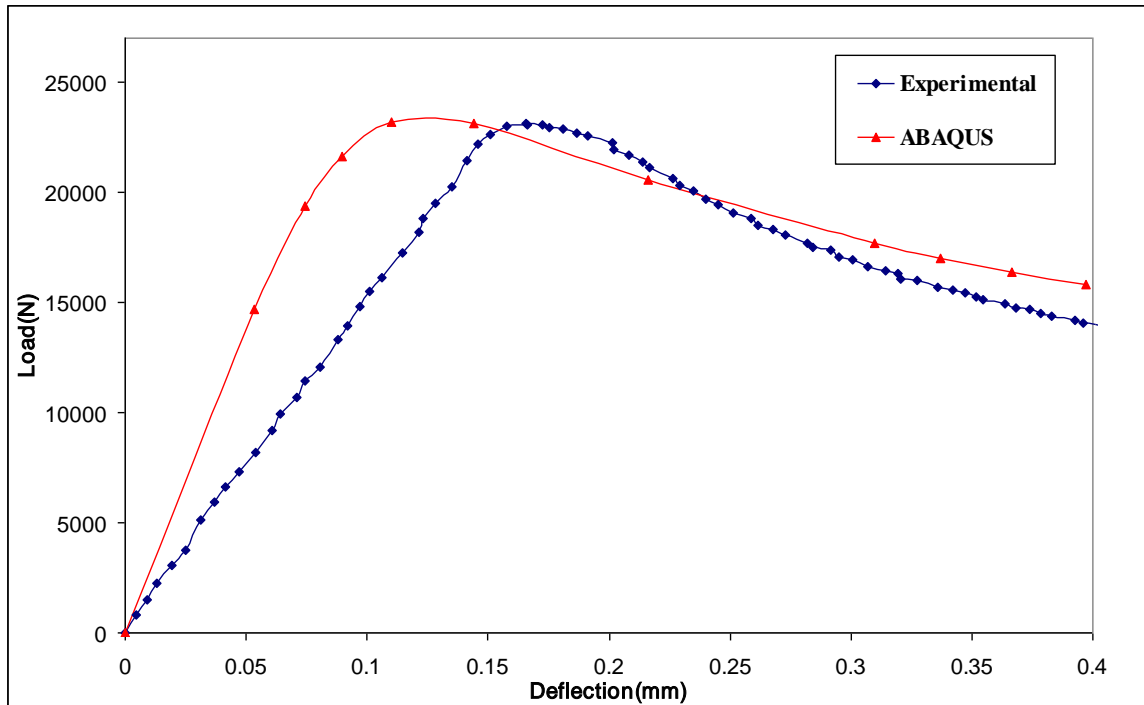
شکل ۶-۱۱ نمودار بار-جابجایی نمونه pls-150-100,2-59,65-10-30-2,07



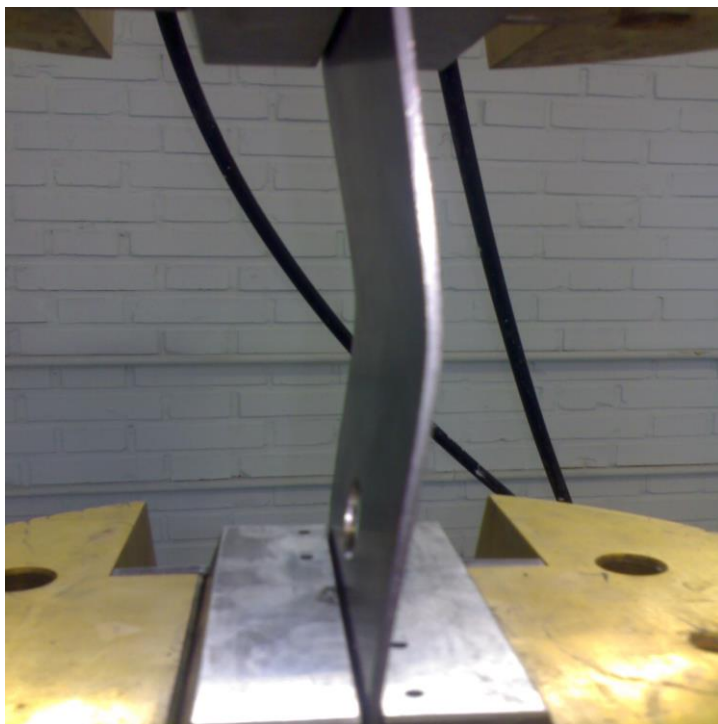
شکل ۶-۱۲ نمودار بار-جابجایی نمونه pls-150-100,1-59,7-10-45-2,07



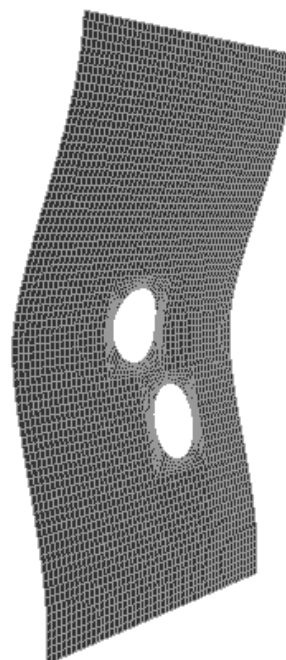
شکل ۶-۱۳ نمودار بار-جابجایی نمونه pls-150-100,2-49,7-10-60-2,07



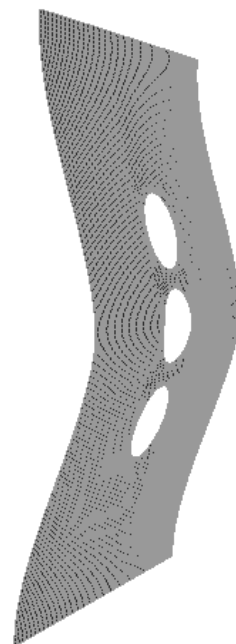
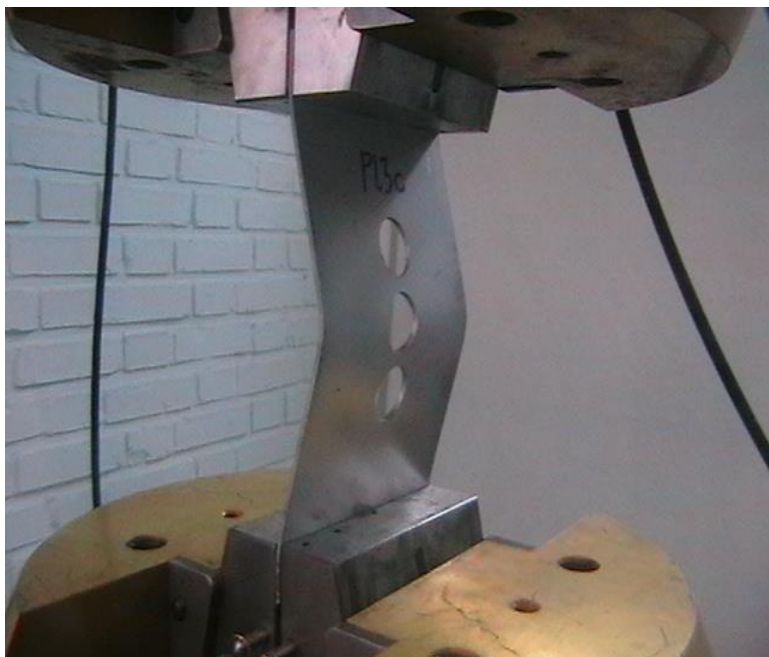
شکل ۶-۱۴ نمودار بار-جابجایی نمونه pls-150-100,1-20,03-10,04-10-90-2,07



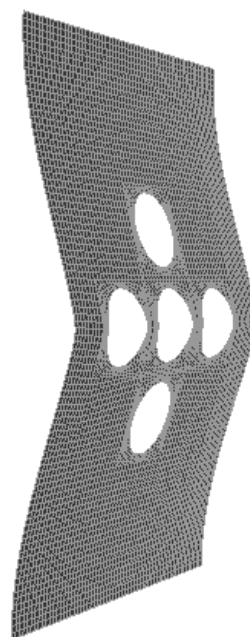
شکل ۶-۱۵ فرم کمانش تجربی و عددی نمونه pl-150-100,07-49,97-0-20,2-2,05



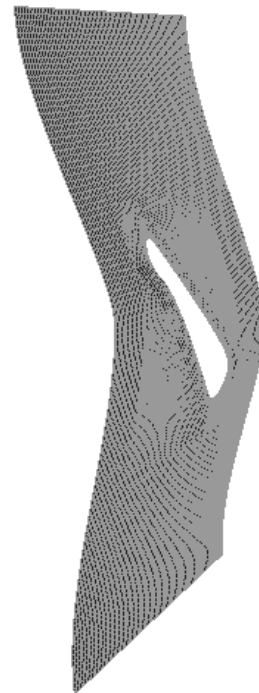
شکل ۶-۱۶ فرم کمانش تجربی و عددی نمونه pl2f



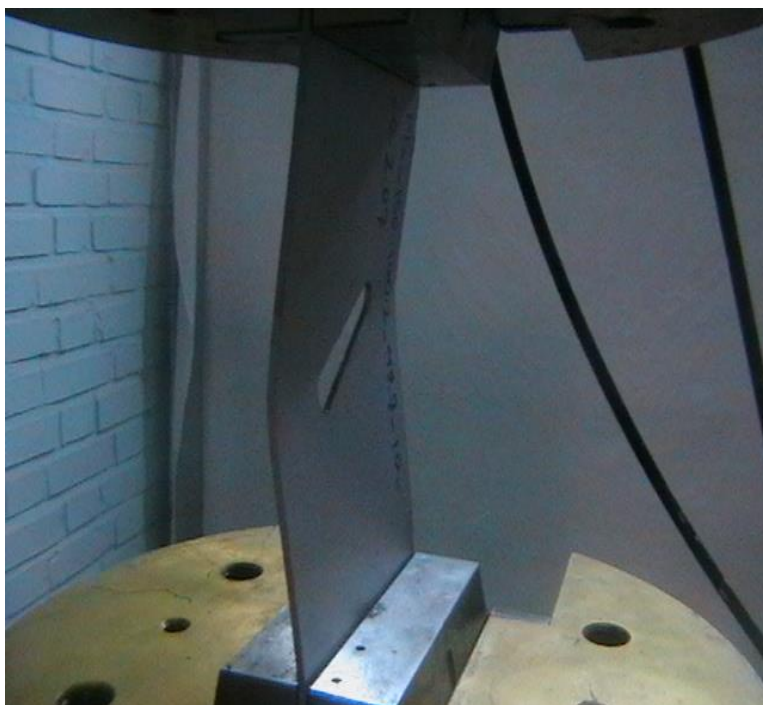
شکل ۶-۱۷ فرم کمانش تجربی و عددی نمونه Pl3c



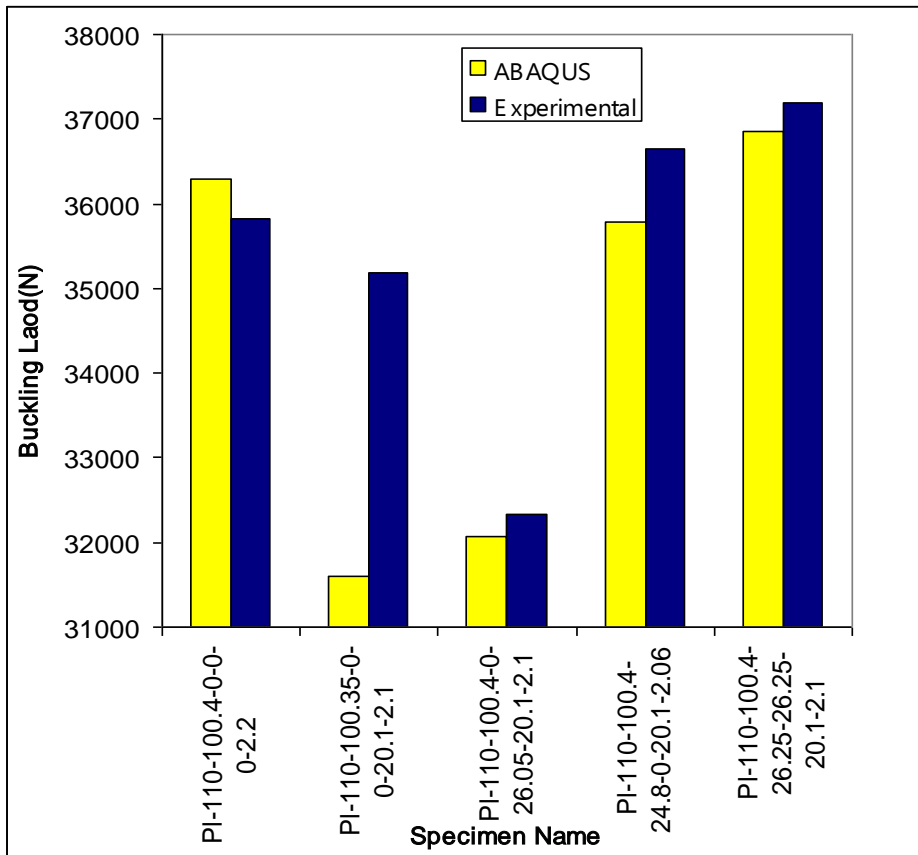
شکل ۶-۱۸ فرم کمانش تجربی و عددی نمونه Pl5c



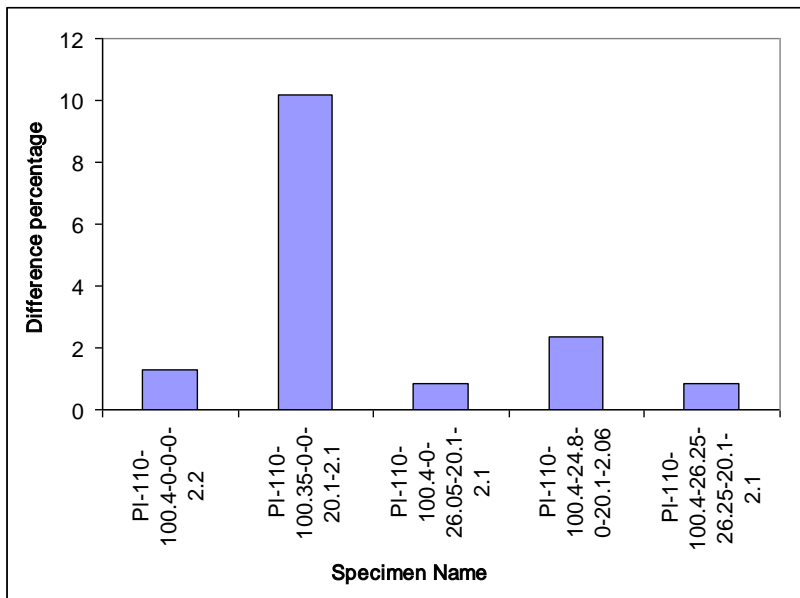
شکل ۶-۱۹ فرم کمانش تجربی و عددی نمونه pls-150-100,1-59,7-10-45-2,07



شکل ۶-۲۰ فرم کمانش تجربی و عددی نمونه pls-150-100,2-49,7-10-60-2,07

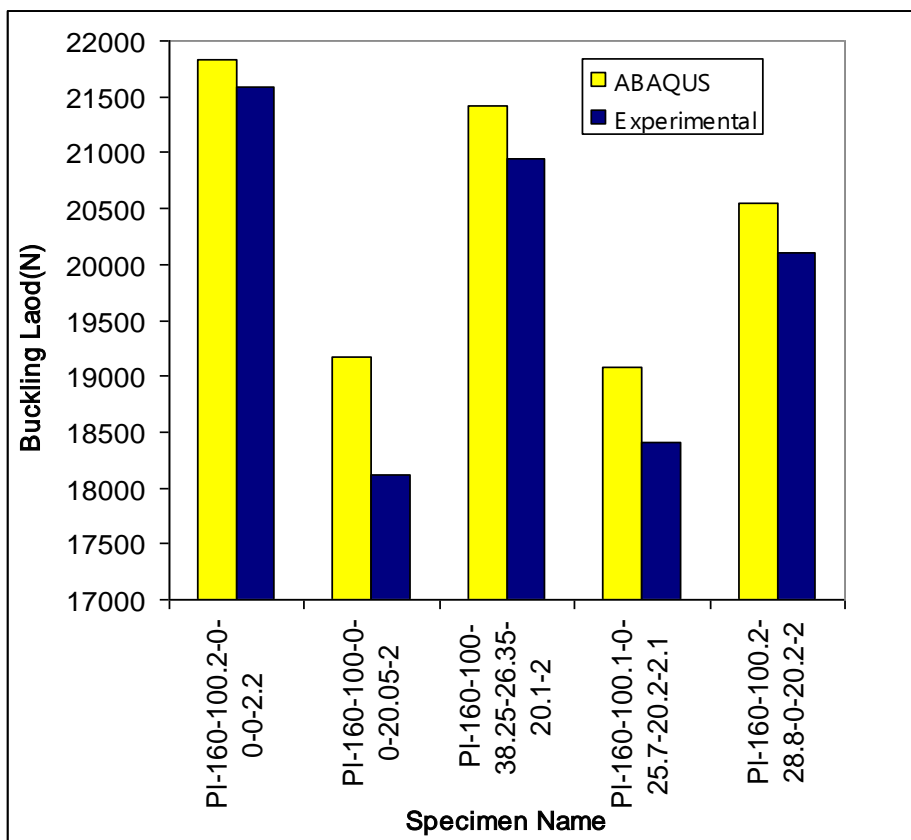


شکل ۶-۲۱ بار کمانش عددی و تجربی نمونه‌های دارای یک گشودگی دایروی با نسبت طول به عرض ۱/۱

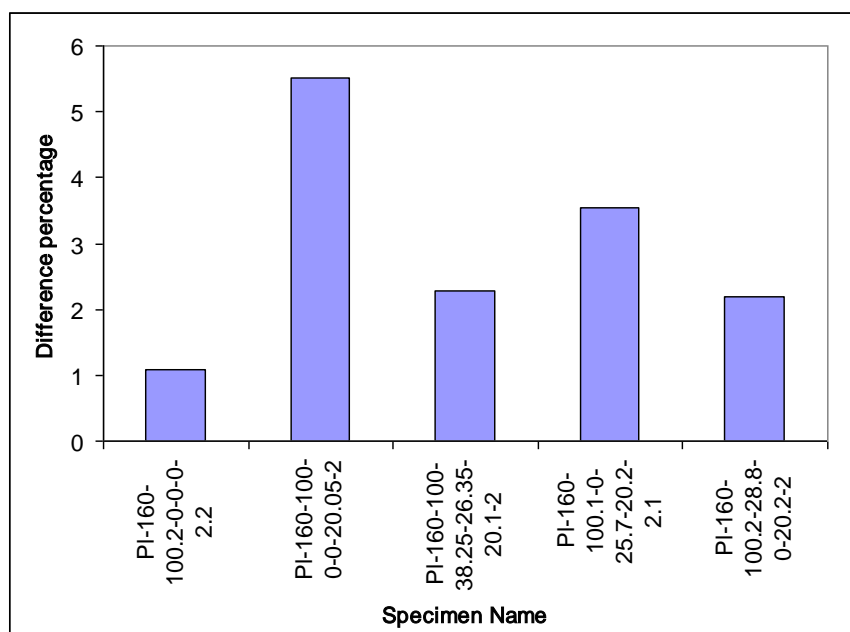


شکل ۶-۲۲ درصد اختلاف بار کمانش عددی و تجربی نمونه‌های دارای یک گشودگی دایروی با نسبت طول

به عرض ۱/۱

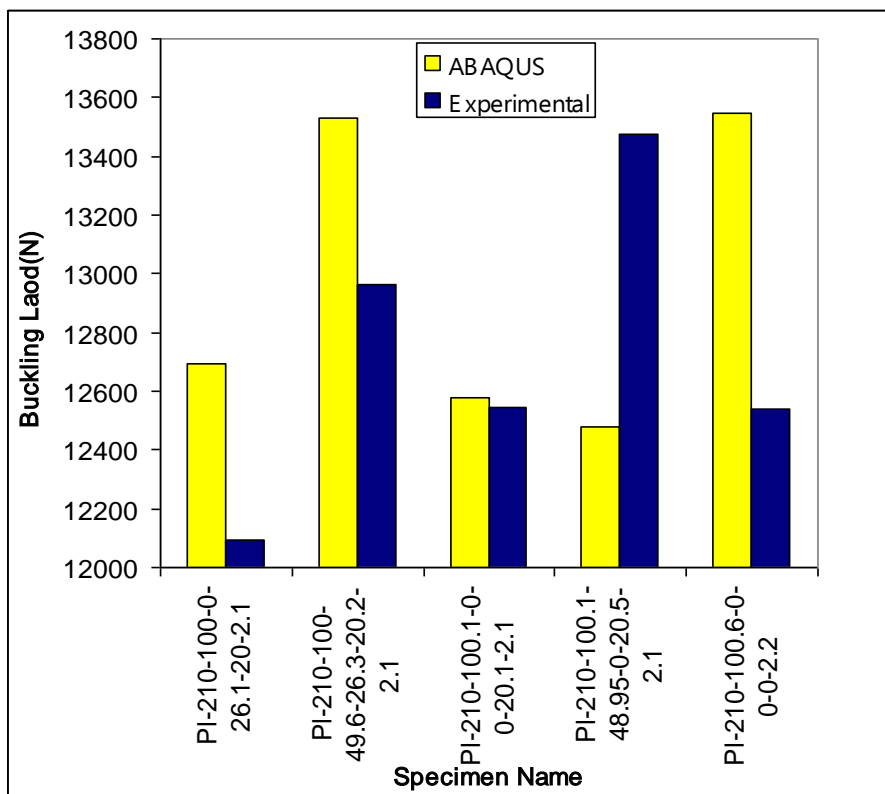


شکل ۶-۲۳ بار کمانش عددی و تجربی نمونه‌های دارای یک گشودگی دایروی با نسبت طول به عرض ۱/۶

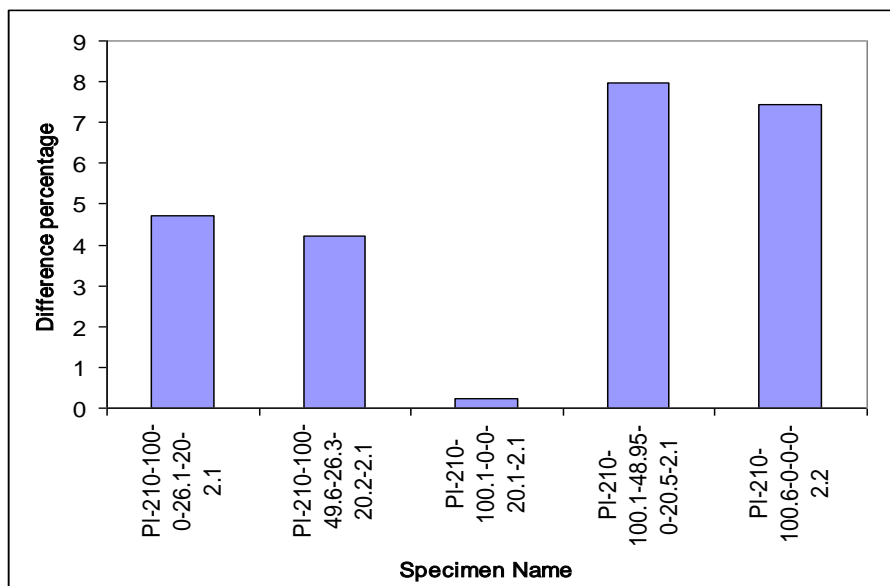


شکل ۶-۲۴ درصد اختلاف بار کمانش عددی و تجربی نمونه‌های دارای یک گشودگی دایروی با نسبت طول

به عرض ۱/۶

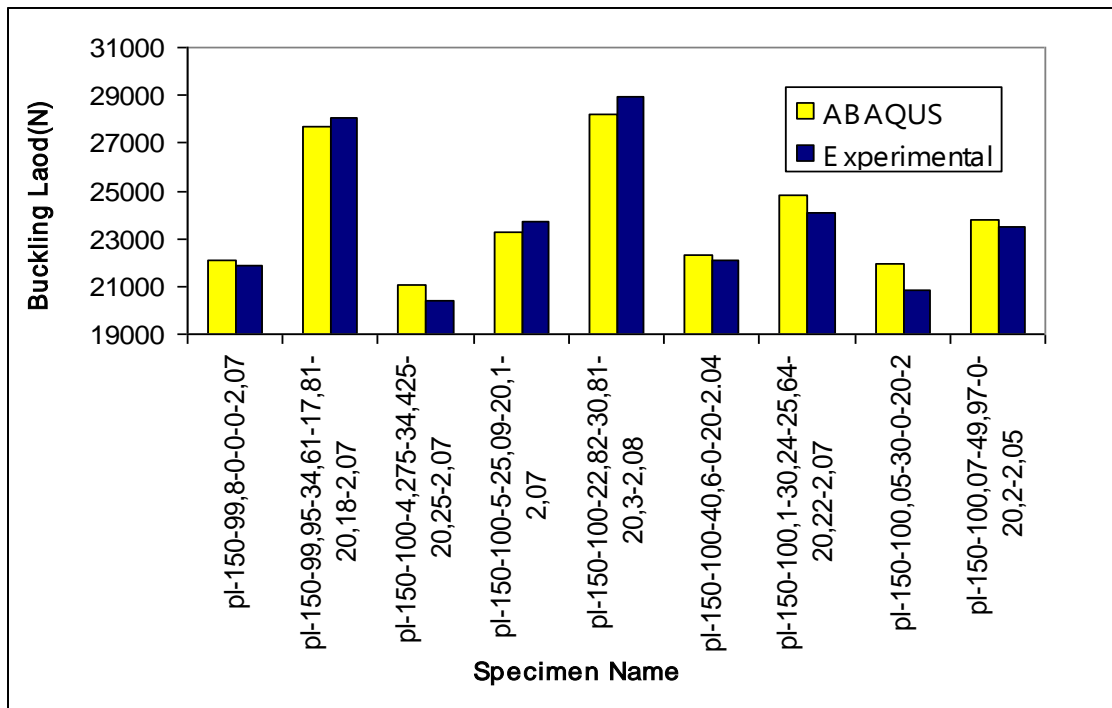


شکل ۶-۲۵ بار کمانش عددی و تجربی نمونه‌های دارای یک گشودگی دایروی با نسبت طول به عرض ۲/۱

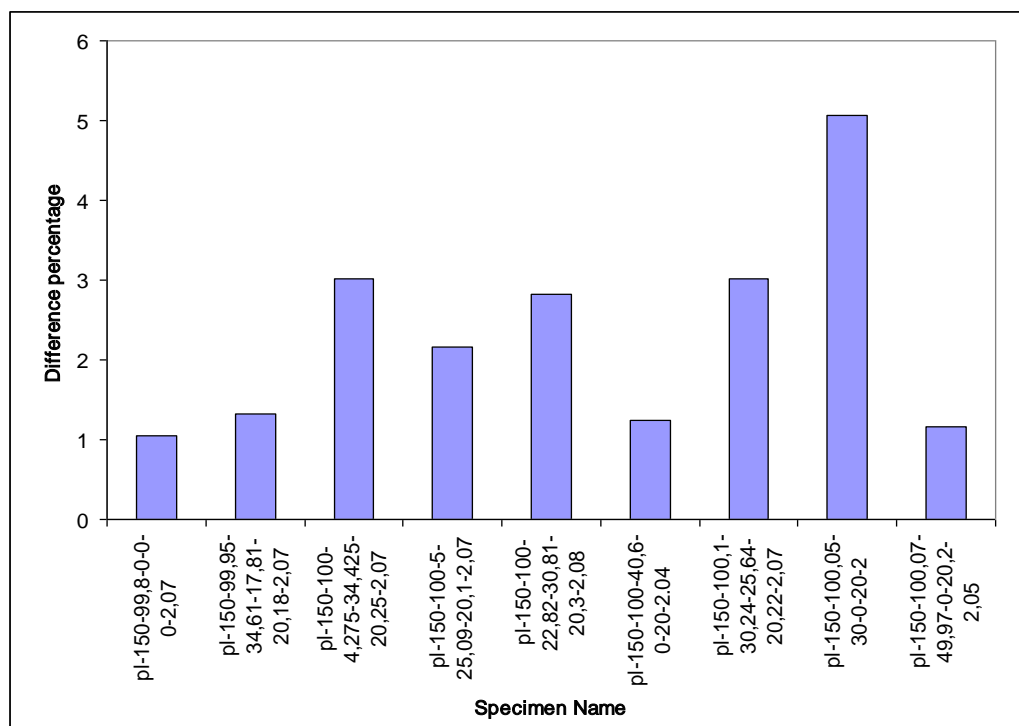


شکل ۶-۲۶ درصد اختلاف بار کمانش عددی و تجربی نمونه‌های دارای یک گشودگی دایروی با نسبت طول

به عرض ۲/۱

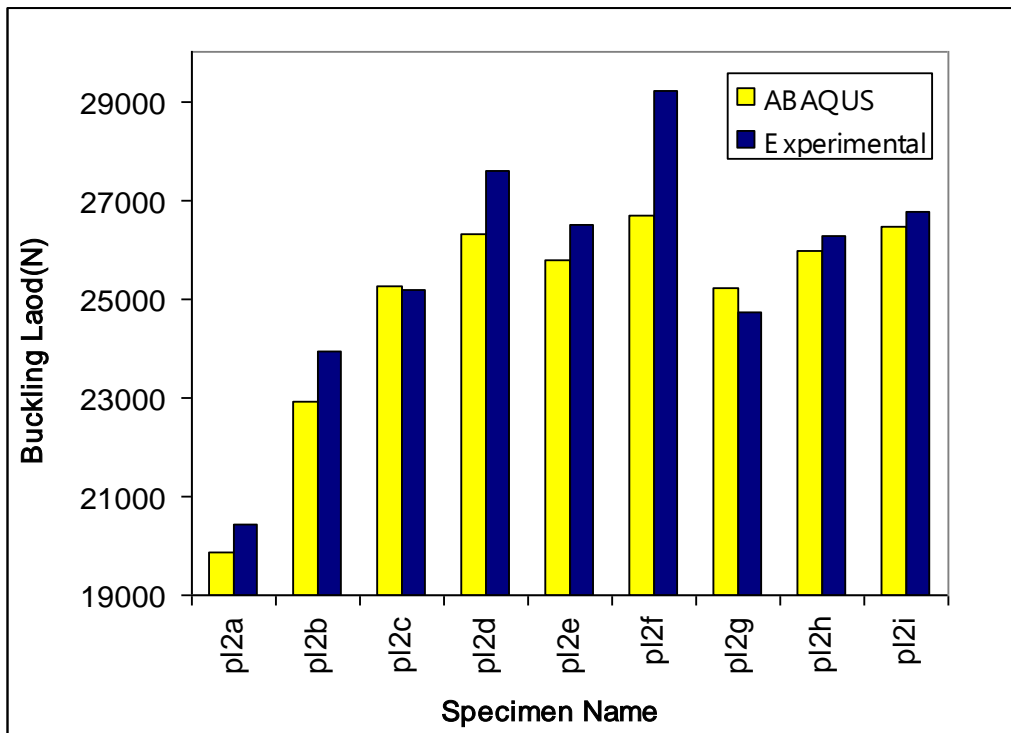


شکل ۶-۲۷ بار کمانش عددی و تجربی نمونه‌های دارای یک گشودگی دایروی با نسبت طول به عرض ۱/۵

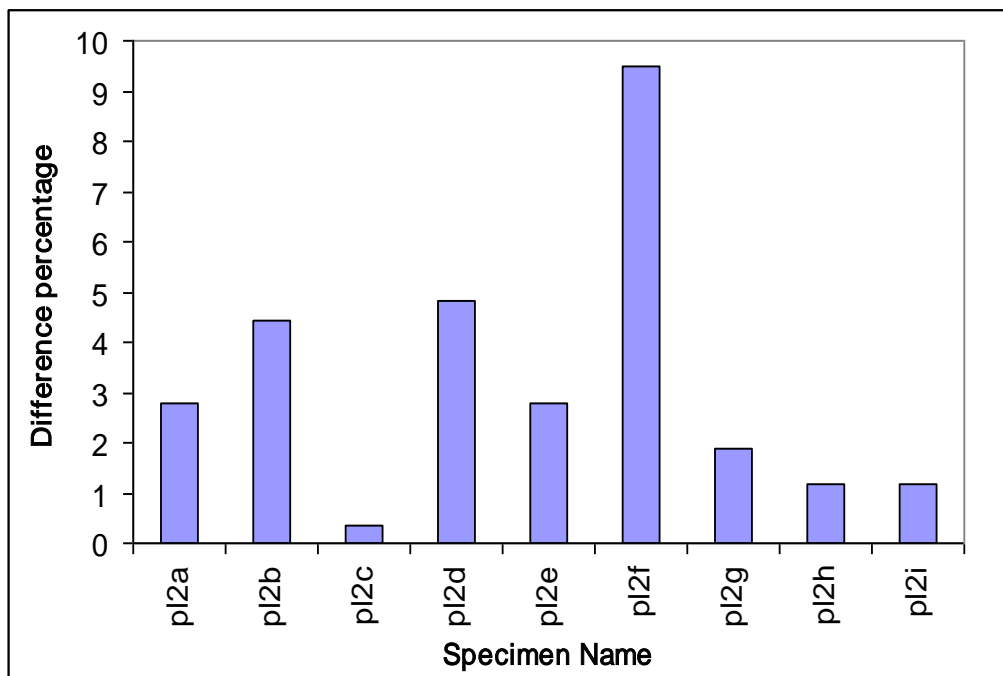


شکل ۶-۲۸ درصد اختلاف بار کمانش عددی و تجربی نمونه‌های دارای یک گشودگی دایروی با نسبت طول به عرض ۱/۵

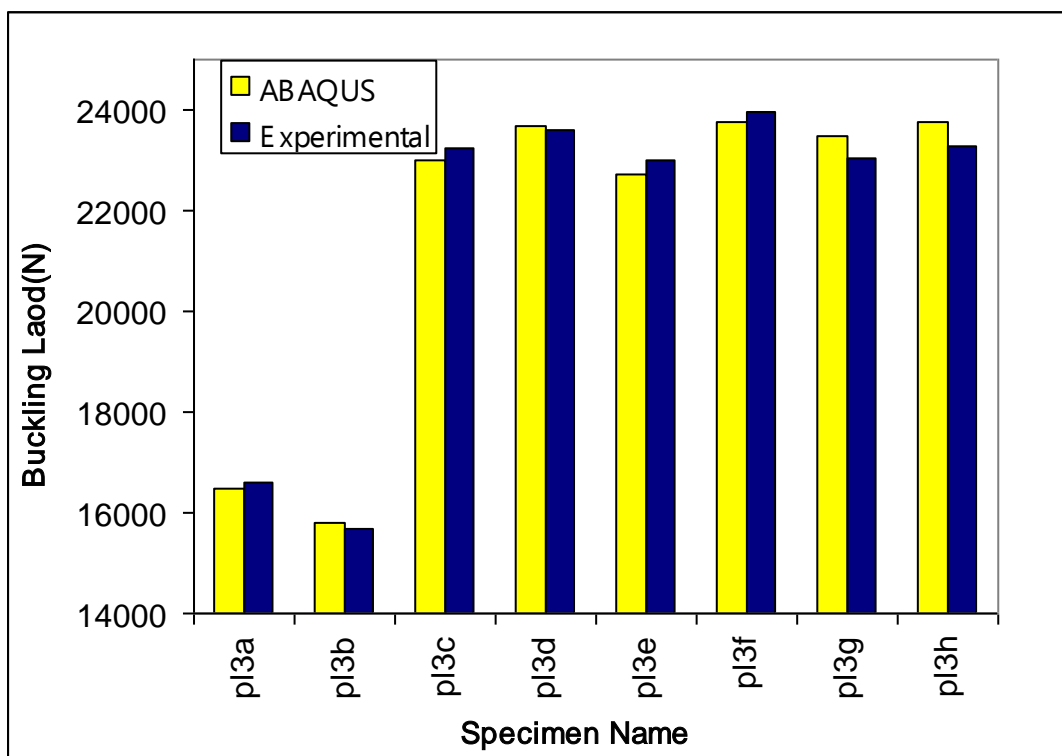
به عرض ۱/۵



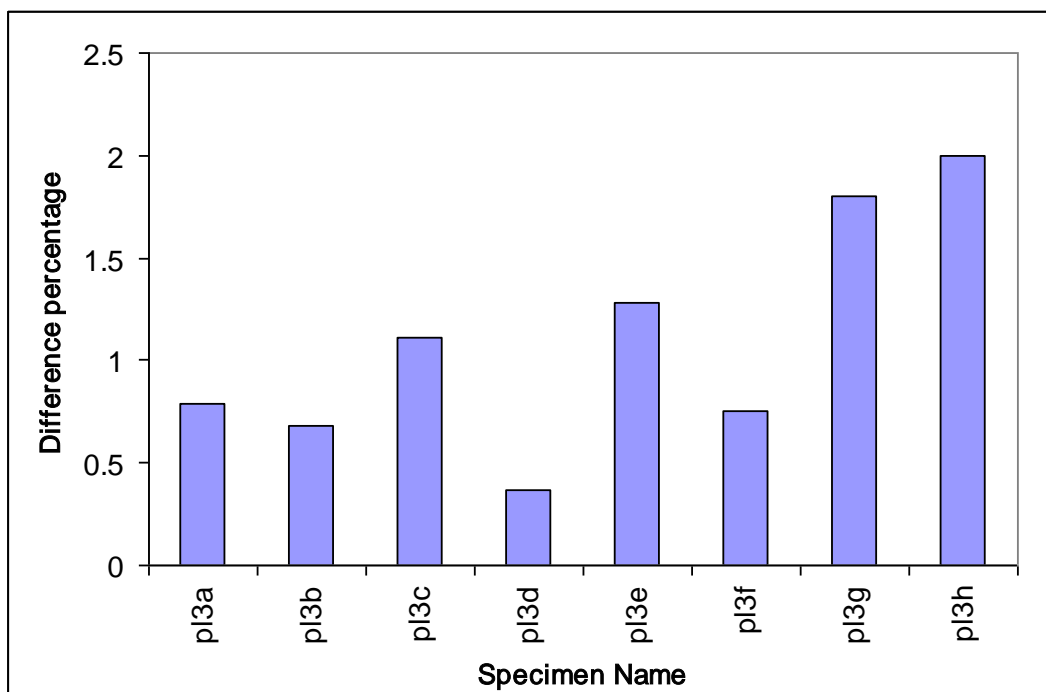
شکل ۶-۲۹ بار کمانش عددی و تجربی نمونه‌های دارای دو گشودگی دایروی



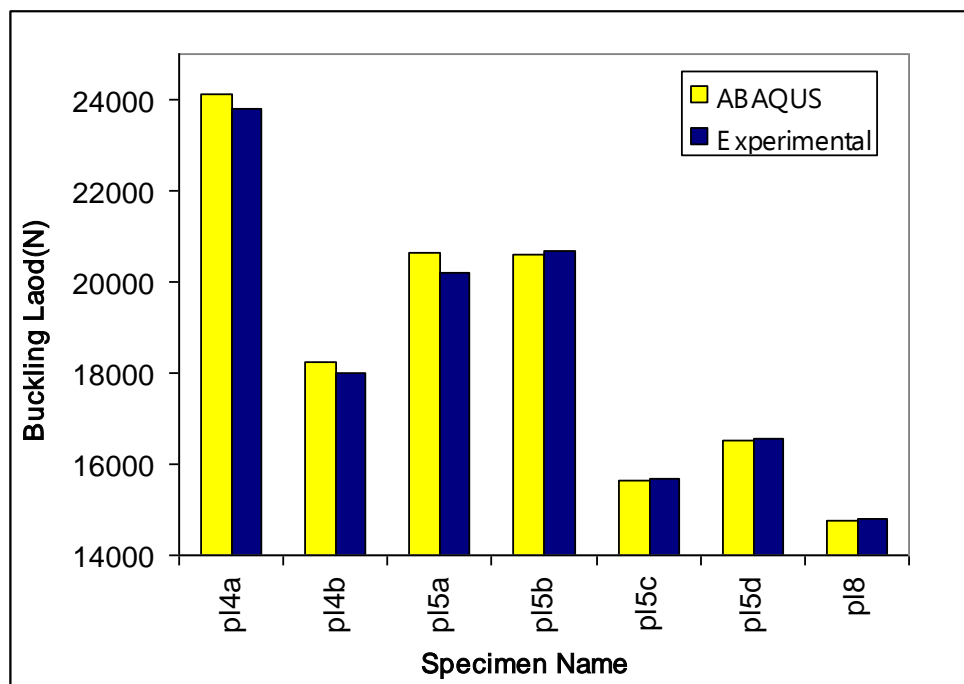
شکل ۶-۳۰ درصد اختلاف بار کمانش عددی و تجربی نمونه‌های دارای دو گشودگی دایروی



شکل ۳۱-۶ بار کمانش عددی و تجربی نمونه‌های دارای سه گشودگی دایروی

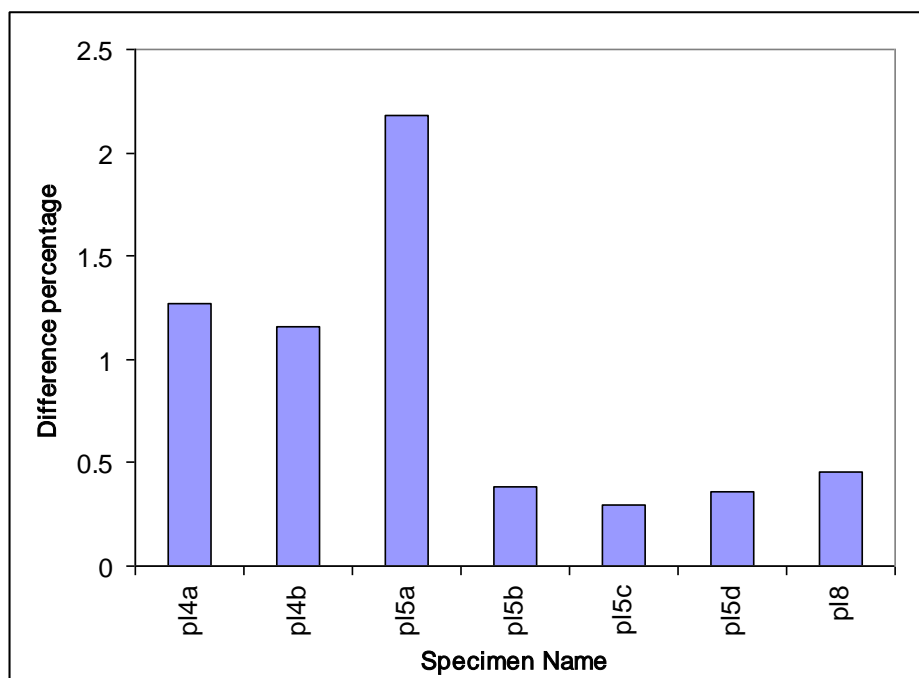


شکل ۳۲-۶ درصد اختلاف بار کمانش عددی و تجربی نمونه‌های دارای سه گشودگی دایروی



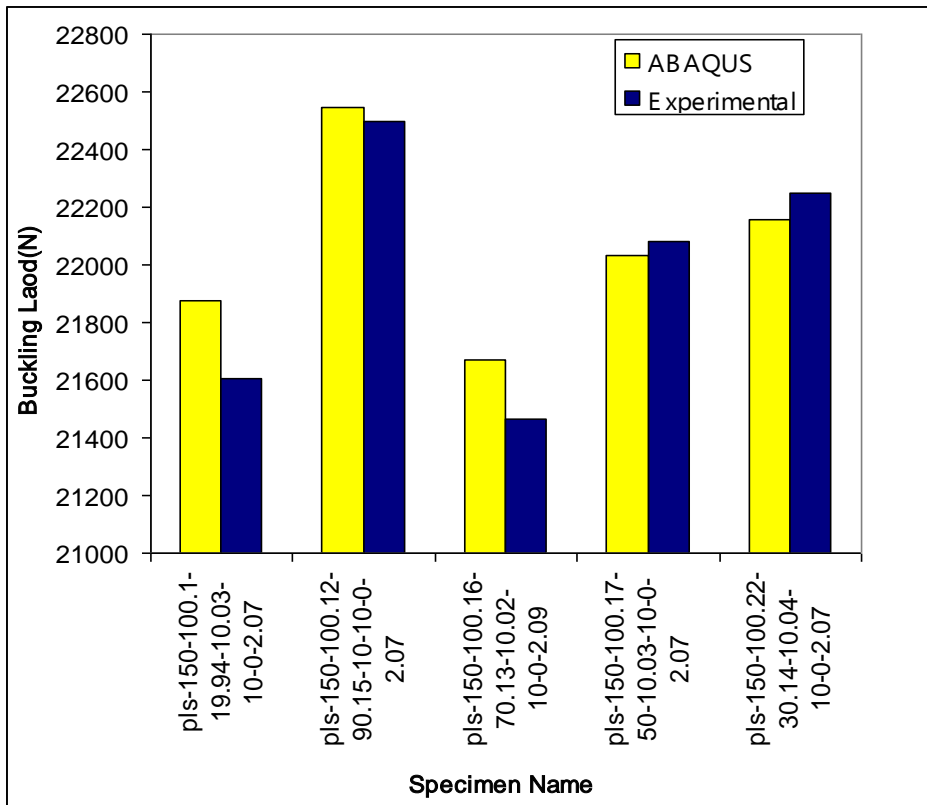
شکل ۳۳-۶ درصد اختلاف بار کمانش عددی و تجربی نمونه‌های دارای چهار، پنج و هشت گشودگی

دایروی

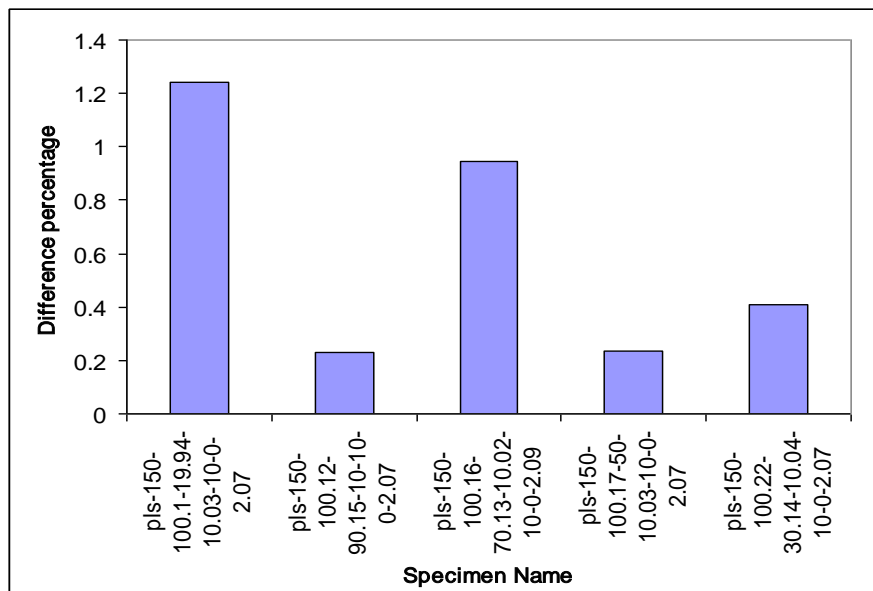


شکل ۳۴-۶ درصد اختلاف بار کمانش عددی و تجربی نمونه‌های دارای چهار، پنج و هشت گشودگی

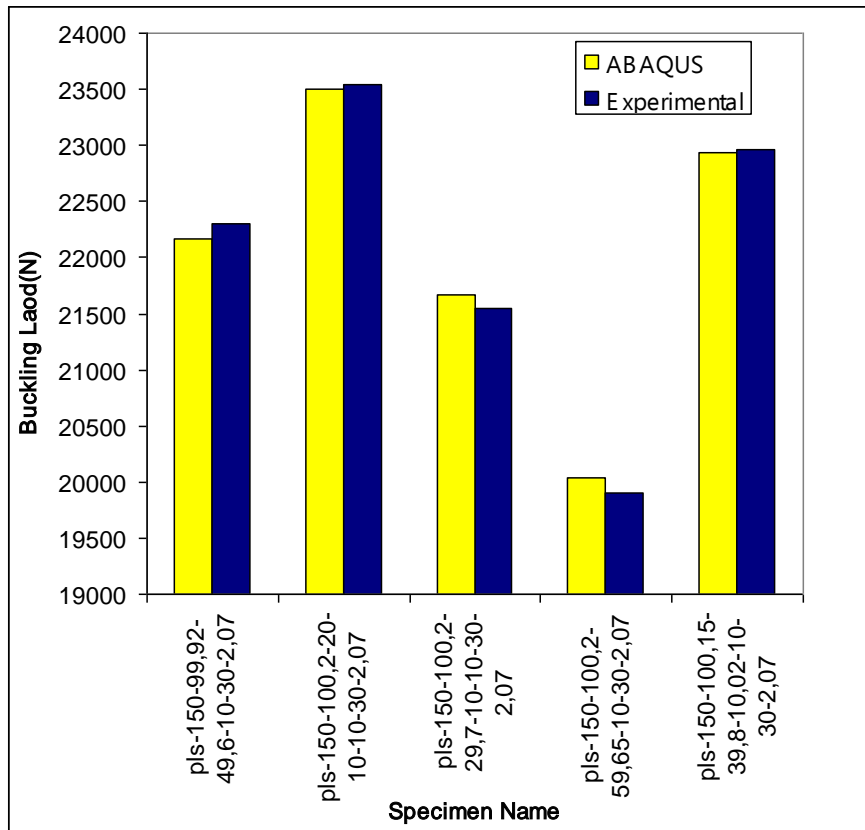
دایروی



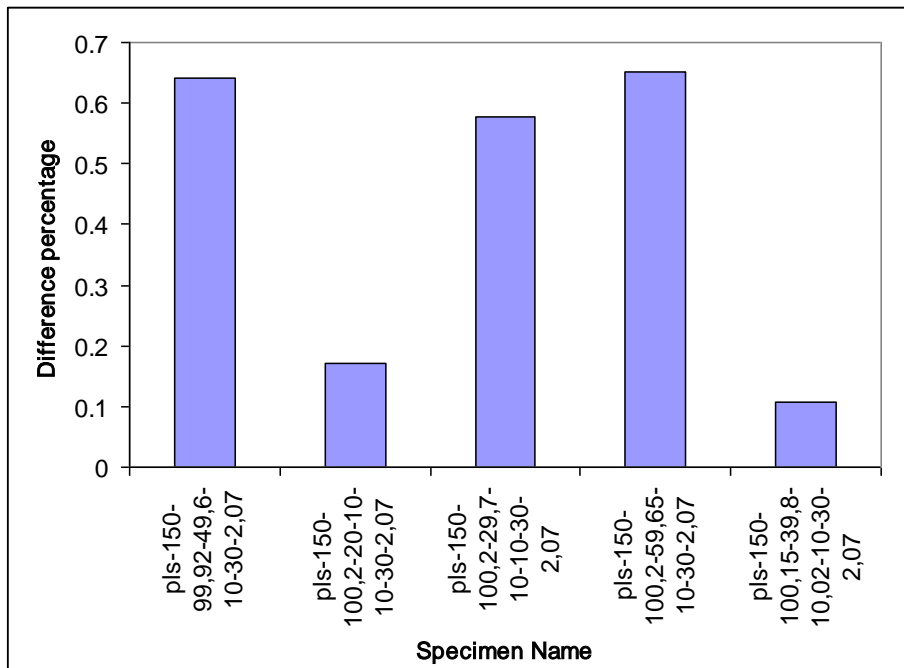
شکل ۶-۳۵ بار کمانش عددی و تجربی نمونه‌های دارای گشودگی شیاری با $\theta = 0$ درجه



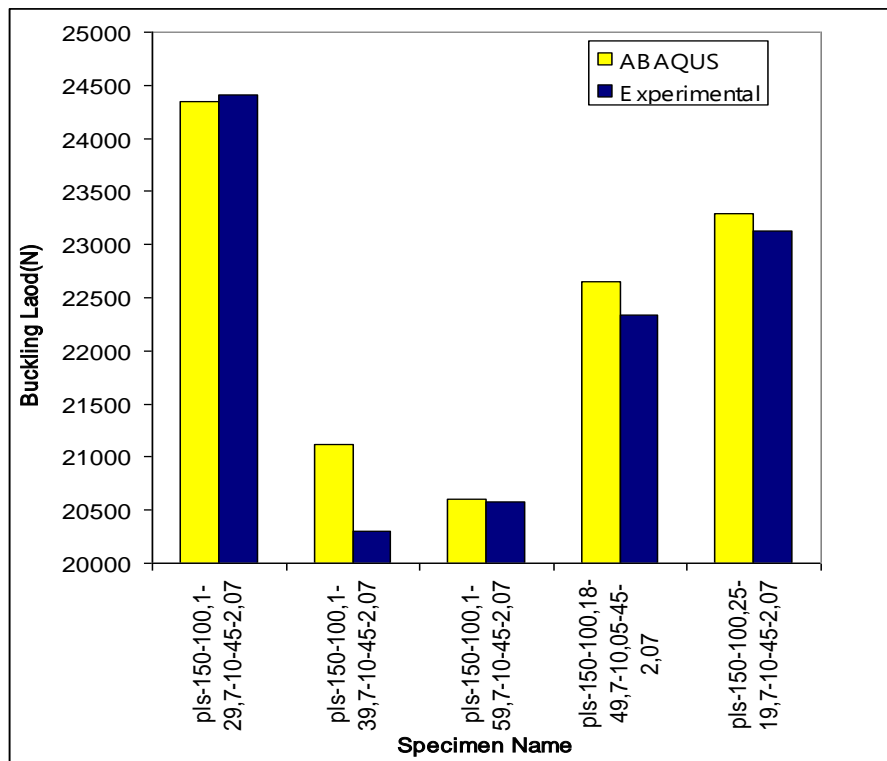
شکل ۶-۳۶ درصد اختلاف بار کمانش عددی و تجربی نمونه‌های دارای گشودگی شیاری با $\theta = 0$ درجه



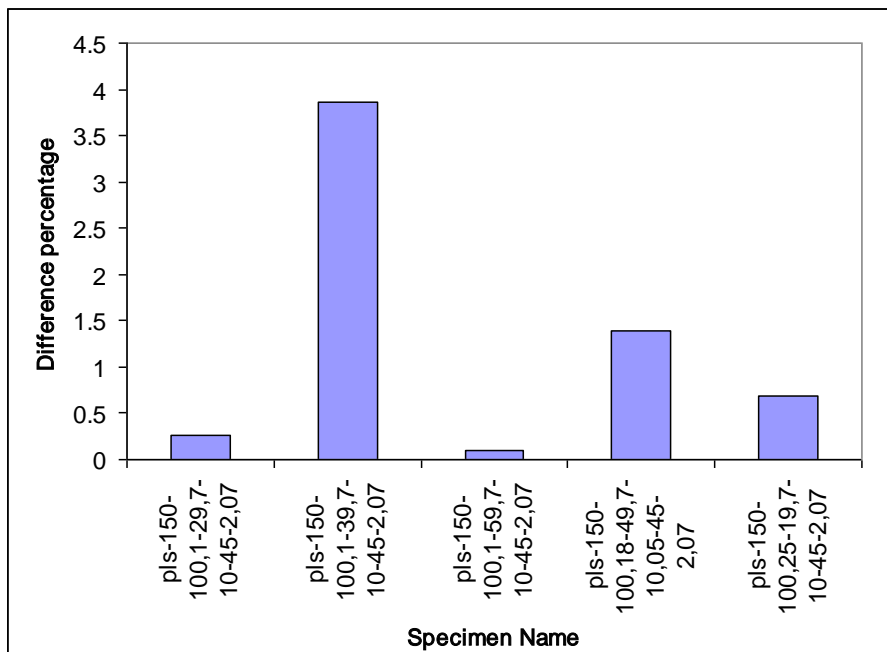
شکل ۶-۳۷ بار کمانش عددی و تجربی نمونه‌های دارای گشودگی شیاری با θ ۳۰ درجه



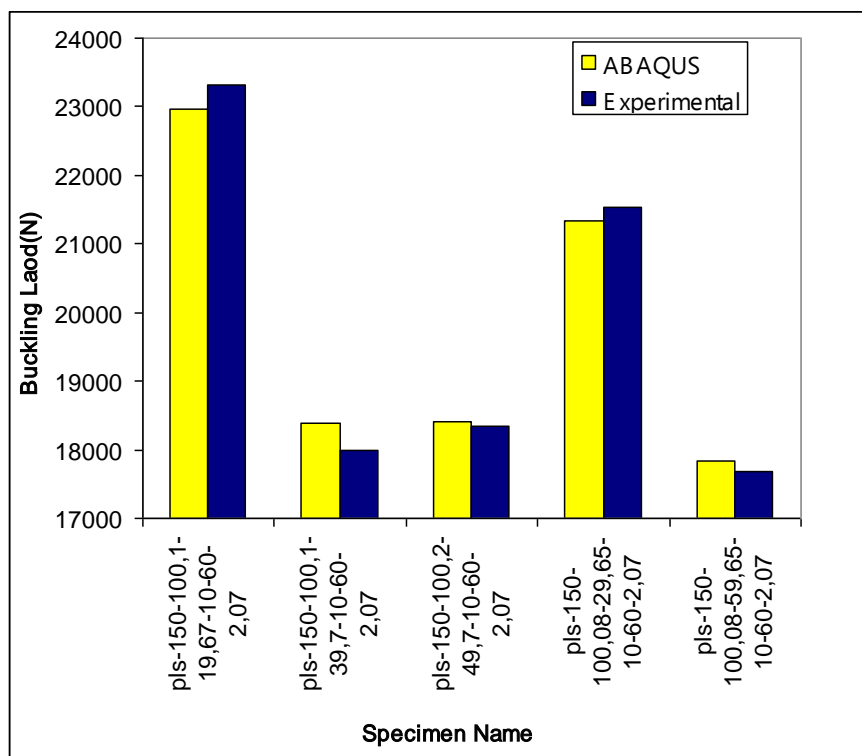
شکل ۶-۳۸ درصد اختلاف بار کمانش عددی و تجربی نمونه‌های دارای گشودگی شیاری با θ ۳۰ درجه



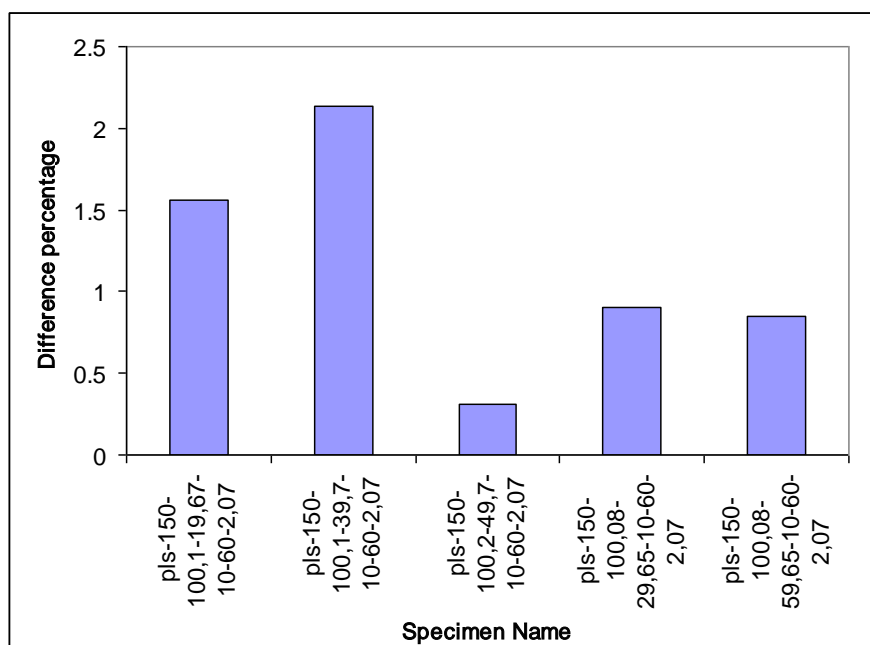
شکل ۶-۳۹ بار کمانش عددی و تجربی نمونه‌های دارای گشودگی شیاری با θ ۴۵ درجه



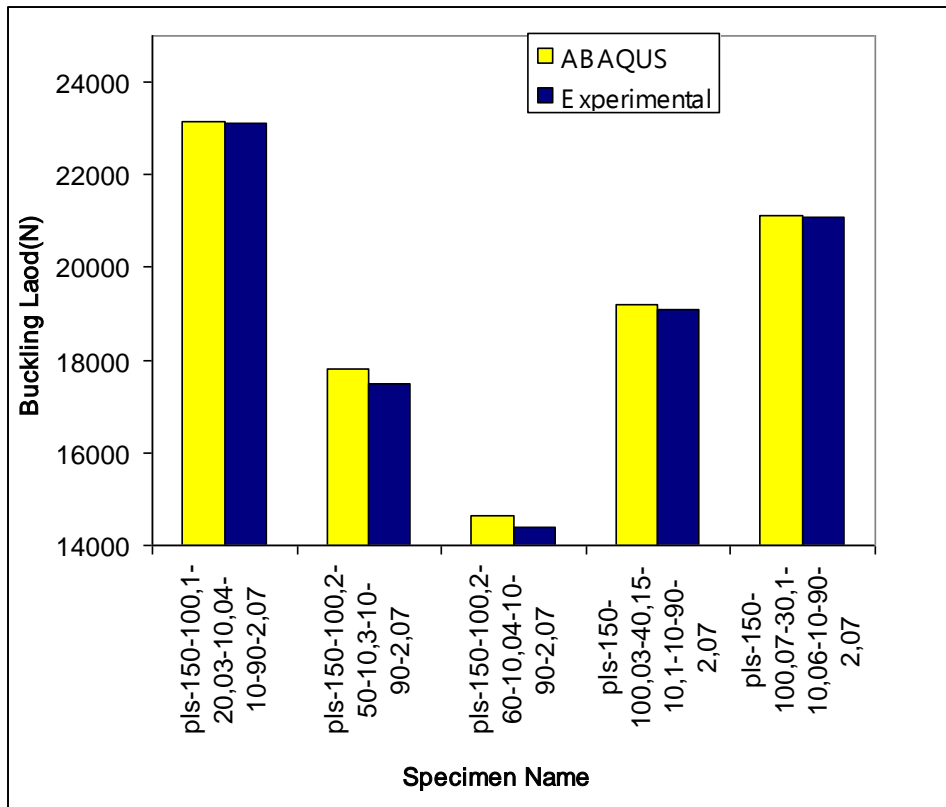
شکل ۶-۴۰ درصد اختلاف بار کمانش عددی و تجربی نمونه‌های دارای گشودگی شیاری با θ ۴۵ درجه



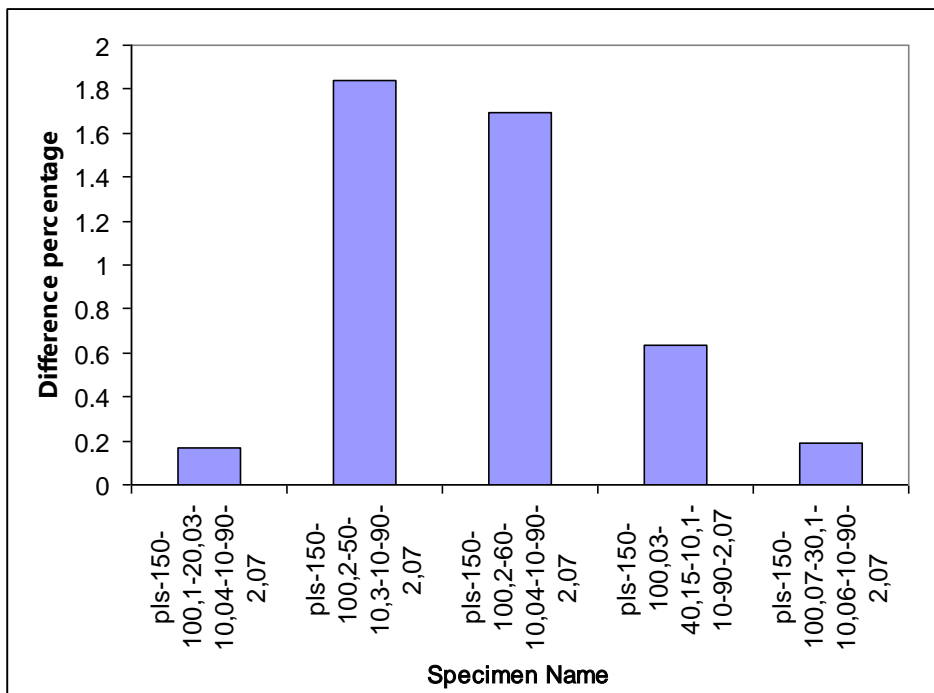
شکل ۶-۴۱ بار کمانش عددی و تجربی نمونه‌های دارای گشودگی شیاری با θ ۶۰ درجه



شکل ۶-۴۲ درصد اختلاف بار کمانش عددی و تجربی نمونه‌های دارای گشودگی شیاری با θ ۶۰ درجه



شکل ۶-۴۳ بار کمانش عددی و تجربی نمونه‌های دارای گشودگی شیاری با θ ۹۰ درجه



شکل ۶-۴۴ درصد اختلاف بار کمانش عددی و تجربی نمونه‌های دارای گشودگی شیاری با θ ۹۰ درجه

همانطور که در نمودارهای بار-جابجایی مشاهده می‌شود، به ازای نسبت طول به عرض $1/1$ و $1/5$ در منحنی بار-جابجایی، اندکی اختلاف شیب بین منحنی تجربی و FEM وجود دارد، بطوریکه شیب منحنی FEM اندکی بیشتر است. این اختلاف شیب، به دلیل ایده‌آل فرض شدن ماده در تحلیل عددی به وجود آمده است. همچنین همانطور که مشاهده می‌شود، در بیشتر نمونه‌ها، بار کمانش تجربی از نتیجه FEM کمتر می‌باشد.

در حالت واقعی چون ماده دارای ناهمگنی در جنس و ضخامت ورق، و ناخالصی‌ها در ساختار داخلی بوده، و عیب و نقص‌های داخلی ماده مانند ترک‌های میکروسکوپی و نقص در ساختار ملکولی ماده وجود دارند، بار کمانش کمتر از مقدار پیش‌بینی شده برای ماده ایده‌آل می‌باشد.

دلیل اینکه در نمونه‌های با نسبت طول به عرض کمتر بر خلاف انتظار، بار کمانش تجربی بیشتر از مقدار تجربی بدست آمده، شاید ناکارآمدی تئوری‌های حاکم بر کمانش ورق‌ها در زمینه قطعات با طول کوتاه باشد. به طوری که تئوری‌های خمشی و غشایی، که در فرمول‌بندی روابط بکار رفته در تحلیل‌های عددی نیز از این تئوری‌ها استفاده شده است، در این مورد با نتایج عملی دارای اختلاف می‌باشند و نمی‌توانند پیش‌بینی درستی در مورد نمونه‌های با طول کوتاه داشته باشند. خطای انسانی در تست عملی، وجود تنش‌های پس‌ماند فرآیند تولید در نمونه آزمایش را می‌توان به دلایل وجود اختلاف بین نتایج اضافه کرد.

به غیر از ۴ نمونه که اختلاف بین نتایج تجربی و عددی بین ۷ تا ۱۰٪ است، در اکثر نمونه‌ها، این اختلاف کمتر از ۲/۵٪ می‌باشد. به طور مثال، در همه نمونه‌های دارای گشودگی شیاری با θ برابر با ۳۰ درجه، اختلاف بین نتایج تجربی و عددی کمتر از ۰/۶٪ می‌باشد. میانگین اختلاف بین نتایج تجربی و عددی در تمامی نمونه‌ها، ۱/۹۳٪ است، که این امر، دلیلی بر صحت روش تحلیل المان محدود استفاده شده در بررسی عددی است.

همچنین همانطور که در شکل‌های ۶-۱۵ تا ۶-۲۰ ملاحظه می‌گردد، مدهای کمانش تجربی و عددی کاملاً شبیه یکدیگر هستند. در کل، جواب‌ها بسیار به هم نزدیک هستند و بنابراین نتایج تجربی، تحلیل المان محدود را تایید می‌کنند.

۲-۶- رابطه تجربی برای محاسبه بار کمانش ورق‌های دارای گشودگی شیاری

در این بخش با استفاده از چند جمله‌ایهای لاگرانژ و نتایج تجربی بدست آمده، روابطی برای محاسبه بار کمانش ورق‌های دارای گشودگی شیاری شکل، تحت بار فشاری محوری ارائه شده است. در رابطه ۱-۶ و ۲-۶، متغیر C طول شیار، و متغیر θ زاویه امتداد شیار با امتداد طولی ورق مستطیلی می‌باشند.

$$P_{cr} = 1.261466255 C^4 + 2685423.799 - 0.6587742830 \times 10^{-5} C^4 \theta^3 + 0.001242519265 C^4 \theta^2 - 0.07258892205 C^4 \theta + 0.001077229964 C^3 \theta^3 + 11.89412289 C^3 \theta - 0.06336650317 C^2 \theta^3 - 304370.2980 C - 0.2033548768 C^3 \theta^2 + 11.96400888 C^2 \theta^2 - 700.0378202 C^2 \theta + 1.580630449 C \theta^3 \quad (۱-۶)$$

$$- 298.1656822 C \theta^2 + 17429.52888 C \theta + 12215.58187 C^2 - 152414.4978 \theta + 2611.066205 \theta^2 - 207.1914457 C^3 - 13.85929253 \theta^3$$

$$P_{cr} = .00009059763100 C^4 + 0.02185823523 C^3 - 5.235863804 C^2 + 278.8146962 C + 17933.45010 \quad (۲-۶)$$

این روابط برای ورق‌های مستطیلی با نسبت طول به عرض $1/5$ ، عرض 100 و ضخامت 2 میلیمتر، که مرکز گشودگی شیاری شکل منطبق بر مرکز ورق بوده و عرض شیار 10 میلیمتر، و نقص اولیه آن در حدود 15 تا 20% ضخامت ورق باشد، معتبر است.

رابطه ۱-۶ بار کمانش را برای ورق‌های دارای گشودگی شیاری شکل، با طول شیار یعنی C متغیر از 20 تا 60 میلیمتر و زاویه θ متغیر از 30 تا 90 درجه، پیش‌بینی می‌کند. برای شیارهای با θ برابر با 0 درجه، و طول شیار متغیر، می‌توان از رابطه ۲-۶ استفاده کرد، که توسط این رابطه، می‌توان بار کمانش را برای ورق‌های دارای گشودگی شیاری شکل با طول 20 تا 90 میلیمتر، پیش‌بینی کرد.

باید توجه داشت که این روابط برای ورق‌هایی کاربرد دارند که جنس آنها مشابه فولاد بکار رفته برای ورق‌های استفاده شده در این تحقیق باشند.

فصل هفتم

نتایج و پیشنهادها

کمانش ورق‌های مستطیلی دارای گشودگی شیاری شکل و نیز گشودگی دایروی به قطر $b = 0.2$ و با نسبت ضخامت $b/t = 0.02$ ، تحت شرایط مرزی گیردار در لبه‌های تحت بار شرایط مرزی آزاد در لبه‌های بدون بار (CFCF) و با چهار نسبت طول به عرض متفاوت به روش المان محدود و به صورت تجربی مورد مطالعه قرار گرفت. در نمونه‌های با گشودگی دایروی، علاوه بر تاثیر نسبت طول به عرض، تاثیر جابجا شدن موقعیت گشودگی و نیز تاثیر تعداد گشودگی‌ها مورد بررسی قرار گرفت، و در نمونه‌های دارای گشودگی شیاری شکل، تاثیر تغییر موقعیت و مساحت گشودگی نیز بررسی شد. نتایج تجربی به دست آمده، با اختلاف بسیار اندکی با نتایج عددی، روش مورد استفاده در تحلیل کمانش ورق‌های مستطیلی دارای گشودگی را تائید می‌کنند.

نتایج حاصل که در فصول گذشته به آنها اشاره شد به اختصار چنین می‌باشند.

- از مقایسه منحنیهای حاصل از روش عددی و تجربی نتیجه میشود که این منحنیها مطابقت بسیار خوبی دارند.
- اختلاف بین مقادیر بار کمانش حاصل از روش عددی و روش تجربی برای اکثر نمونه‌ها کمتر از ۲ درصد است.

- همچنین تغییر شکل حاصل از روش اجزا محدود و روش تجربی نمونه‌ها، در حالت-های کمانش و پس‌کمانش کاملاً شبیه یکدیگر است.
- بار کمانش در تمامی نمونه‌ها بسیار کمتر از بار تسلیم بوده و کمانش الاستیک در همه نمونه‌ها رخ داد.
- حداکثر تاثیر وجود یک گشودگی ($d/b= 0.2$)، ۱۲٪ کاهش بار کمانش نسبت به نمونه فاقد گشودگی می‌باشد.
- با افزایش نسبت طول به عرض، بار کمانش به صورت چشمگیری کاهش می‌یابد.
- فاصله طولی موثر مرکز گشودگی استفاده شده از مرکز صفحه برابر با ۲۰٪ طول ورق می‌باشد. به طوریکه اگر گشودگی خارج از این فاصله واقع شود تاثیر آن در کاهش بار کمانش بسیار اندک خواهد بود.
- به دلیل شرایط مرزی آزاد در لبه‌های کناری، جابجایی گشودگی از مرکز صفحه در امتداد عرضی، تاثیر بسیار اندکی در تغییر بار کمانش دارد.
- مقدار نقص اولیه تاثیری بر رفتار پس‌کمانشی ورق مستطیلی ندارد.
- در نمونه‌های دارای گشودگی دایروی، با قرار گرفتن هر یک عدد گشودگی در محدوده فاصله موثر از مرکز صفحه در امتداد طولی، با کمانش در حدود ۱۰٪ نسبت به نمونه فاقد گشودگی کاهش می‌یابد.
- در نمونه‌های دارای گشودگی شیاری شکل، با افزایش طول شیار، بار کمانش در نمونه‌های دارای θ یکسان، افزایش پیدا می‌کند، و همچنین افزایش طول شیار، در کاهش بار کمانش، در حالت θ برابر ۹۰ درجه، بیشترین تاثیر را دارد.
- در نمونه‌های دارای گشودگی شیاری شکل، با افزایش زاویه θ از ۰ تا ۹۰ درجه، در طول شیار یکسان، بار کمانش کاهش پیدا می‌کند، و همچنین تاثیر تغییر θ در نمونه‌های دارای طول شیار بزرگتر بیشتر می‌شود.
- در نمونه‌های دارای گشودگی شیاری شکل، در حالتی که θ برابر با ۰ درجه می‌باشد، کاهش یا افزایش طول شیار تاثیر چشمگیری در مقدار بار کمانش ندارد، چرا

که در این حالت با تغییر طول شیار، هیچ تغییری در تصویر گشودگی در امتداد عرضی ورق رخ نمی‌دهد، و با بررسی نتایج در θ های دیگر، مشخص شد که هرچه اندازه تصویر گشودگی در امتداد عرضی ورق افزایش پیدا می‌کند، بار کمانش کاهش می‌یابد.

- رابطه‌ای بر اساس نتایج تجربی برای پیش‌بینی بار کمانش نمونه‌های دارای گشودگی شیاری شکل، پیشنهاد شد.

می‌توان در مطالعات آینده، تاثیر نسبت ضخامت ورق و نیز تاثیر هندسه گشودگی‌های هم‌مساحت در نسبت طول به عرض‌های مختلف را در مواد با جنس‌های متفاوت مورد بررسی قرار داد.

مراجع

- [1] Timoshenko SP, Gere JM. Theory of Elastic Stability. 2nd ed. New York (NY): McGraw-Hill Book Company, 1961.
- [2] D.O.Almorth , B.O.Brush , Buckling of bars, plates, and shells, 1975
- [3] ABAQUS User's Manual
- [4] Khaled M. El-Sawy, Aly S. Nazmy , Effect of aspect ratio on the elastic buckling of uniaxially loaded plates with eccentric holes , Thin-Walled Structures 39 (2001) 983–998
- [5] Khaled M. El-Sawy, Aly S. Nazmy, Mohammad Ikbal Martini , Elasto-plastic buckling of perforated plates under uniaxial compression , Thin-Walled Structures 42 (2004) 1083–1101
- [6] R. Narayanan and F. Y. Chow , Ultimate Capacity of Uniaxially Compressed Perforated Plates, Thin-Walled Structures 2 (1984) 241-264
- [7] Shanmugam NE, Thevendran V, Tan YH. Design formula for axially compressed perforated plates. Thin-Walled Structures 34 (1999) 1–20.
- [8] T. M. Roberts and Z. G. Azizian, Strength of Perforated Plates Subjected to In-Plane Loading, Thin-Walled Structures 2 (1984) 153-164
- [9] A. L. Yetterman and C. J. Brown, The Elastic Stability Of Square Perforated Plates, Computer & Structures Vol. 21. No. 6. pp. 1267-1272. 1985
- [10] F.S. Maan , O.M. Querin, D.C. Barton, Extension of the fixed grid finite element method to eigenvalue problems, Advances in Engineering Software (2007)
- [11] Anand V. Singh, Muhammad Tanveer, Eigenvalue analysis of doubly connected plates with different configurations, Journal of Sound and Vibration 295 (2006) 76–93
- [12] Kiyohiro Ikedaa , Toshiyuki Kitadab, Masahide Matsumurab, Yuki Yamakawa, Imperfection sensitivity of ultimate buckling strength of elastic–plastic square plates under compression, International Journal of Non-Linear Mechanics 42 (2007) 529 – 541
- [13] F.Mignot, J-P.Puel, P-M.Suquet, Homogenization and Bifurcation of Perforated Plates, Engineering science vol 18. pp. 409-414, 1980
- [۱۴] مسعود مهدیزاده رخی، بررسی عددی و تجربی کمانش پوسته‌های استوانه‌ای دارای گشودگی، پایان نامه کارشناسی ارشد، دانشگاه صنعتی شاهرود، تابستان ۸۶

Abstract

Steel plates are used in many structures, such as deck and bottom of ship structures, plate the box girders of bridges, platforms of offshore structures, and structures used in aerospace industries. In many occasions these plates are subjected to axial compressive forces, which makes them prone to instability or buckling. In many cases, it is almost inevitable to have holes in the plate elements for inspection, maintenance, and service purposes. In such cases, the presence of these holes redistributes the membrane stresses in the plates and may reduce their stability significantly. Therefore, it is necessary to carefully investigate the buckling behavior of these plates. In this investigation, the buckling behavior of rectangular perforated plates with different holes numbers, shapes, sizes and positions has been studied both numerically and experimentally. Different aspect ratios for plates are used to study effect of these parameters on buckling load. FEM using *ABAQUS* software is used for the numerical investigation. The finite element results have been agreed well the experimental results.

Key words : buckling , rectangular plate , perforated plate, axial compressive load , FEM , experimental test



shahrood university of technology
faculty of mechanical engineering

M.Sc. Thesis of Mechanical Engineering

**Numerical and Experimental
Investigation of Buckling for the
Rectangular Perforated Steel Plates With
Two Solid Edge Supports**

supervised by :

Dr. Mahmoud Shariati

& Dr. Ardeshir Karami Mohammadi

By :

Yashar Faradjian Mohtaram

Sep. 2007